

Quadratic algebras,
combinatorial physics
and
planar automaton

CMI, Chennai
6 Feb 2012

X G Viennot
LaBRI, CNRS, Bordeaux

Planar automaton

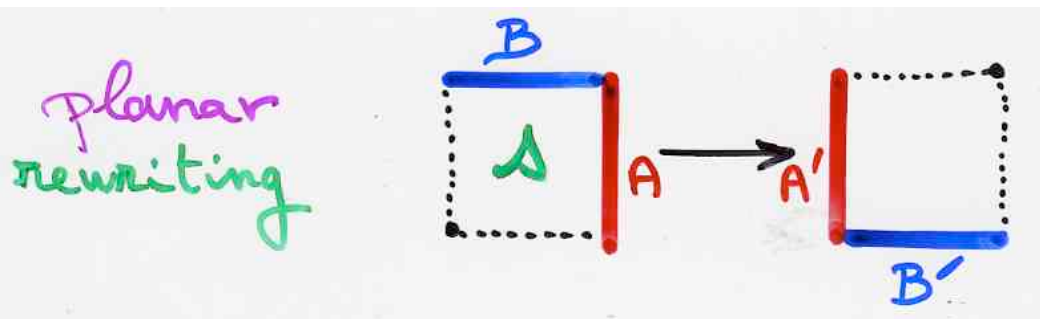
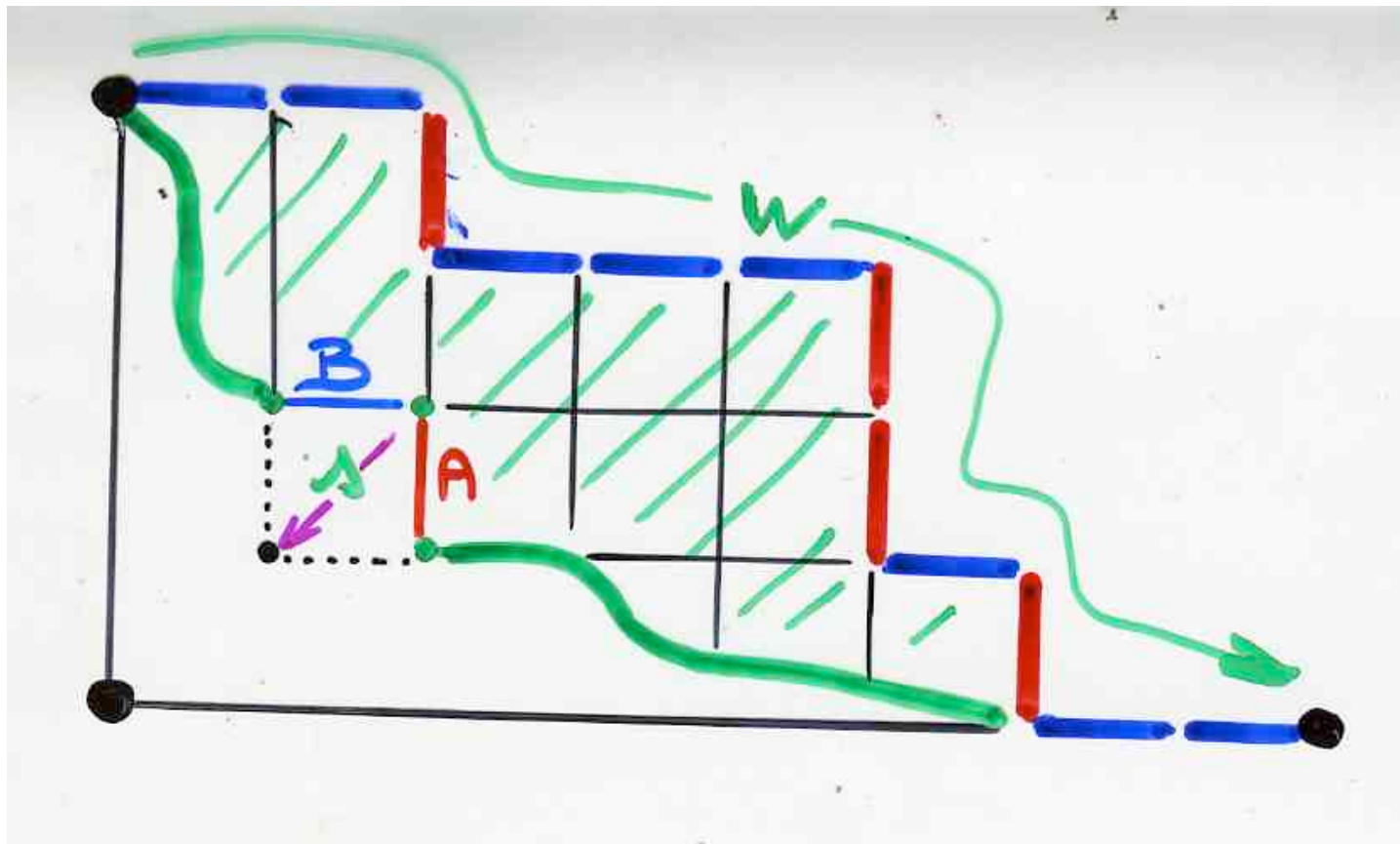
Def. planar automaton P

- 3 finite sets $\{ \cdot \}$
 - : \mathcal{B} horizontal alphabet
 - : α vertical labels
 - : S planar labels (state)

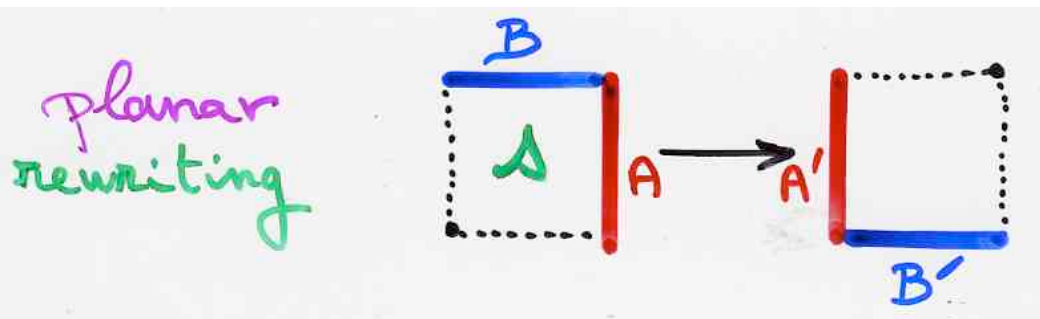
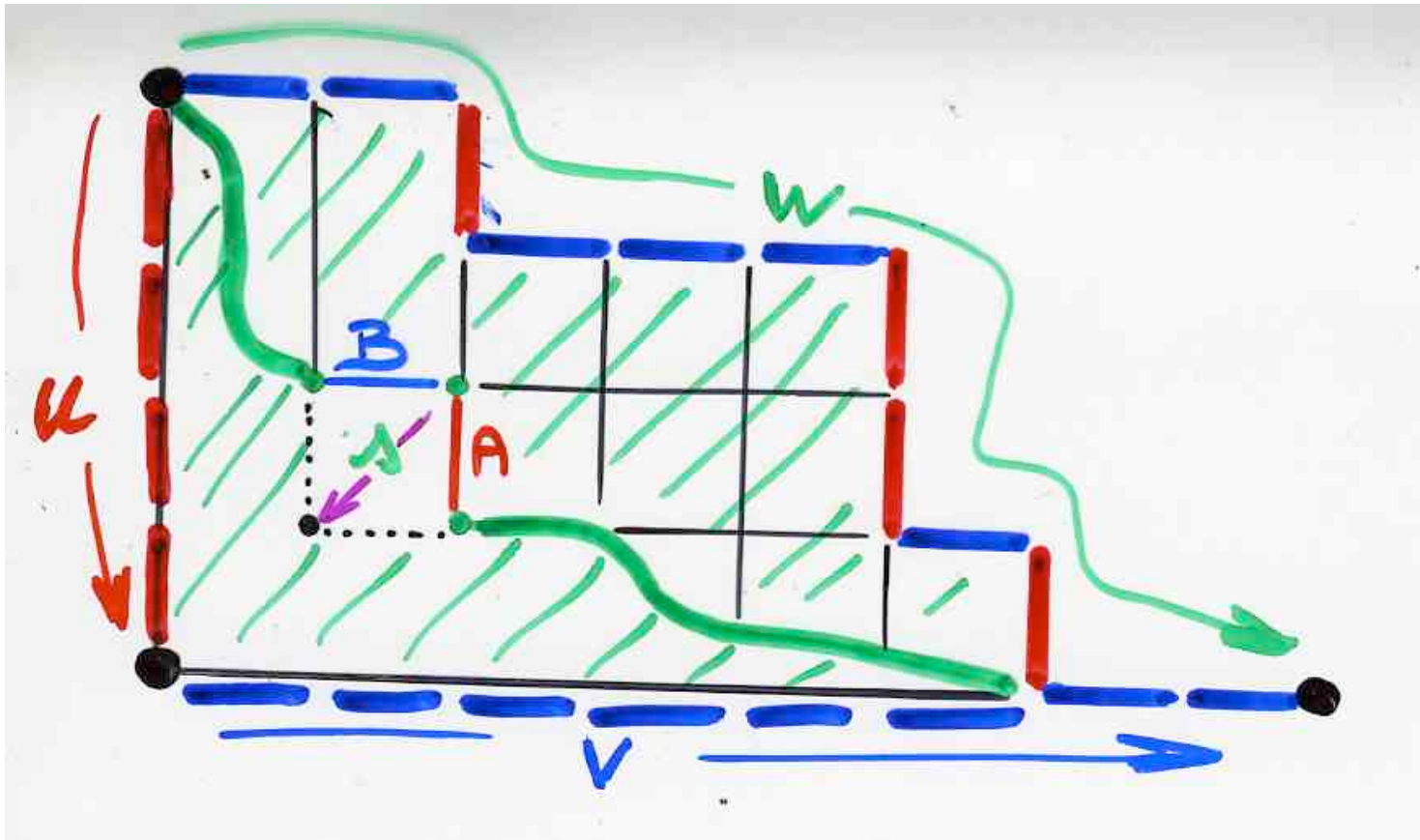
- θ (partial) transition function
 $(s, B, A) \xrightarrow{\theta} (B', A')$ or \emptyset
 $s \in S; B, B' \in \mathcal{B}; A, A' \in \alpha$

- $w \in (\alpha \cup \mathcal{B})^*$ initial word
- $uv, u \in \alpha^*, v \in \mathcal{B}^*$ final

Def. tableau T accepted by a planar automaton $P = (S, \mathcal{B}, \alpha, \theta, w, uv)$

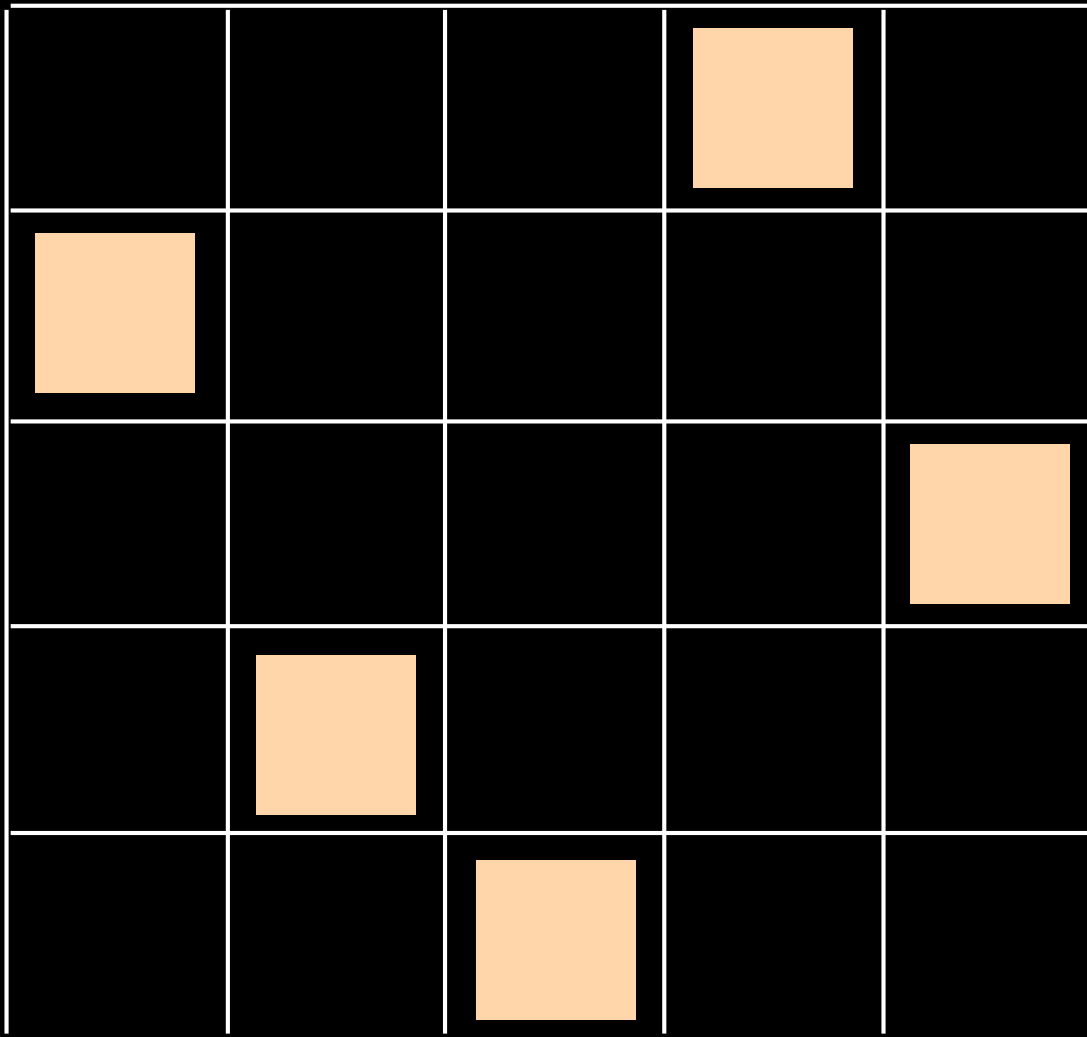


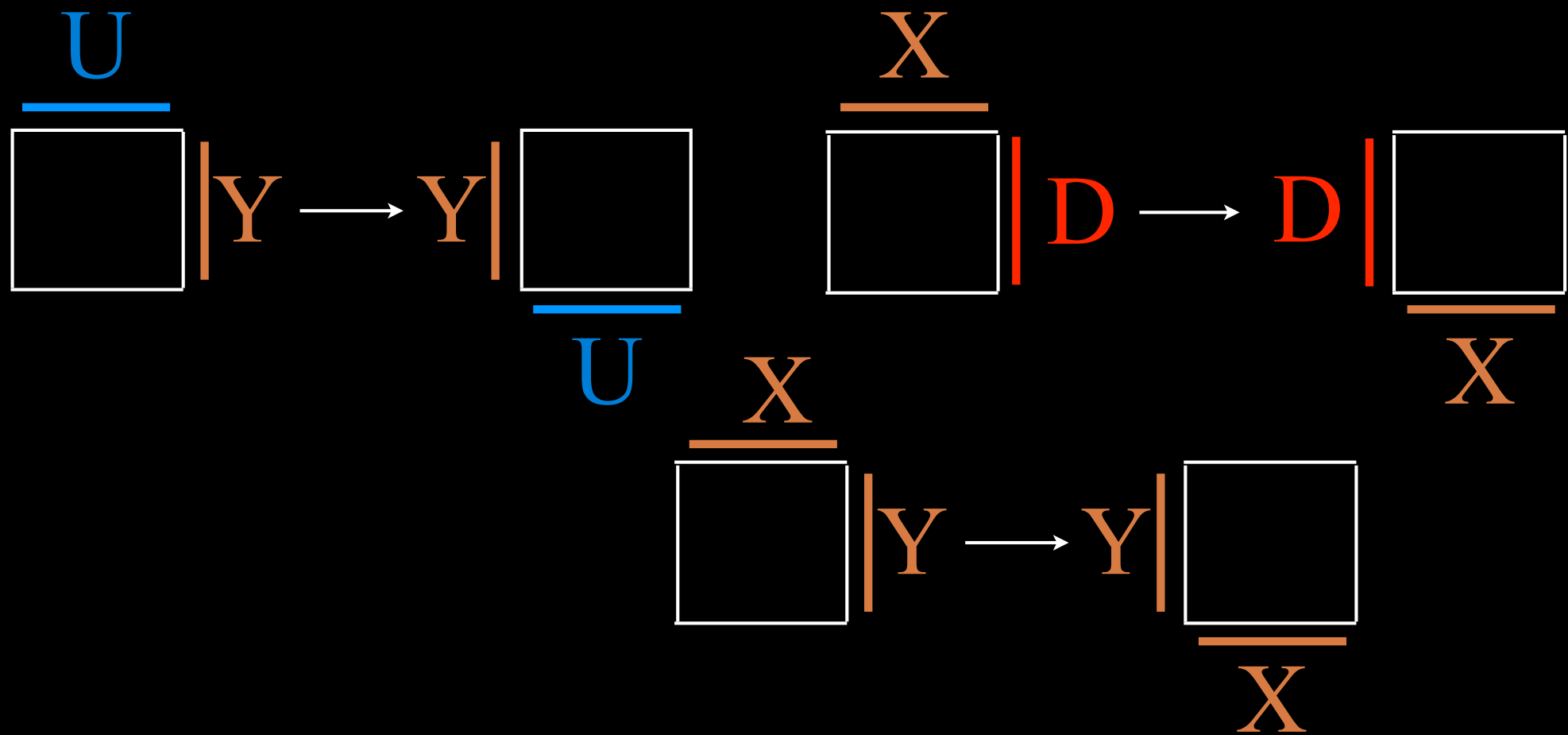
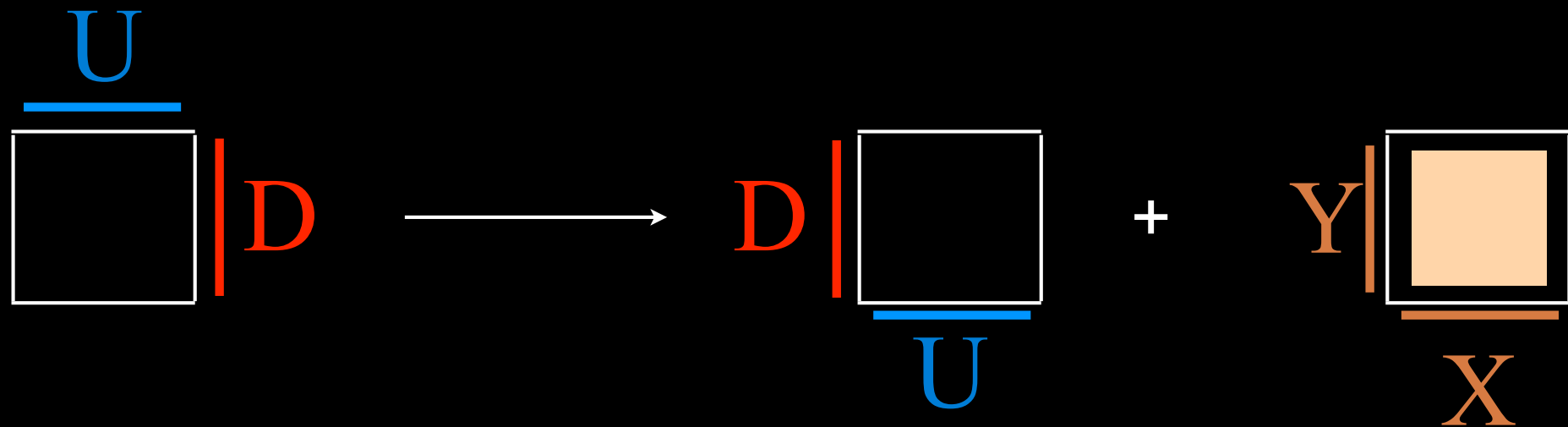
Def. tableau T accepted by a planar automaton $P = (S, \mathcal{B}, \alpha, \theta, w, uv)$



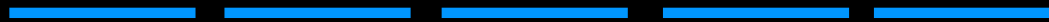
Planar automata

example 1: permutations

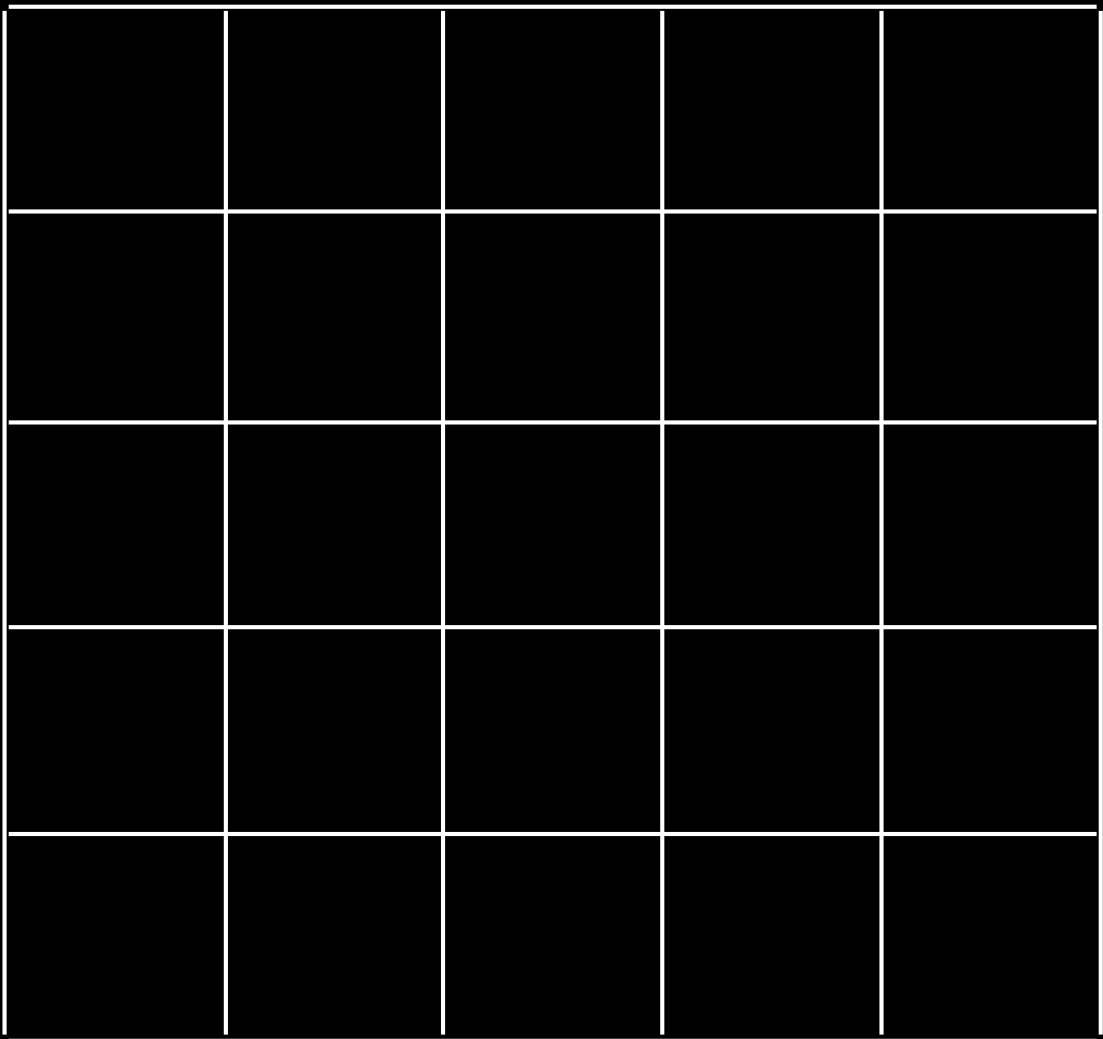




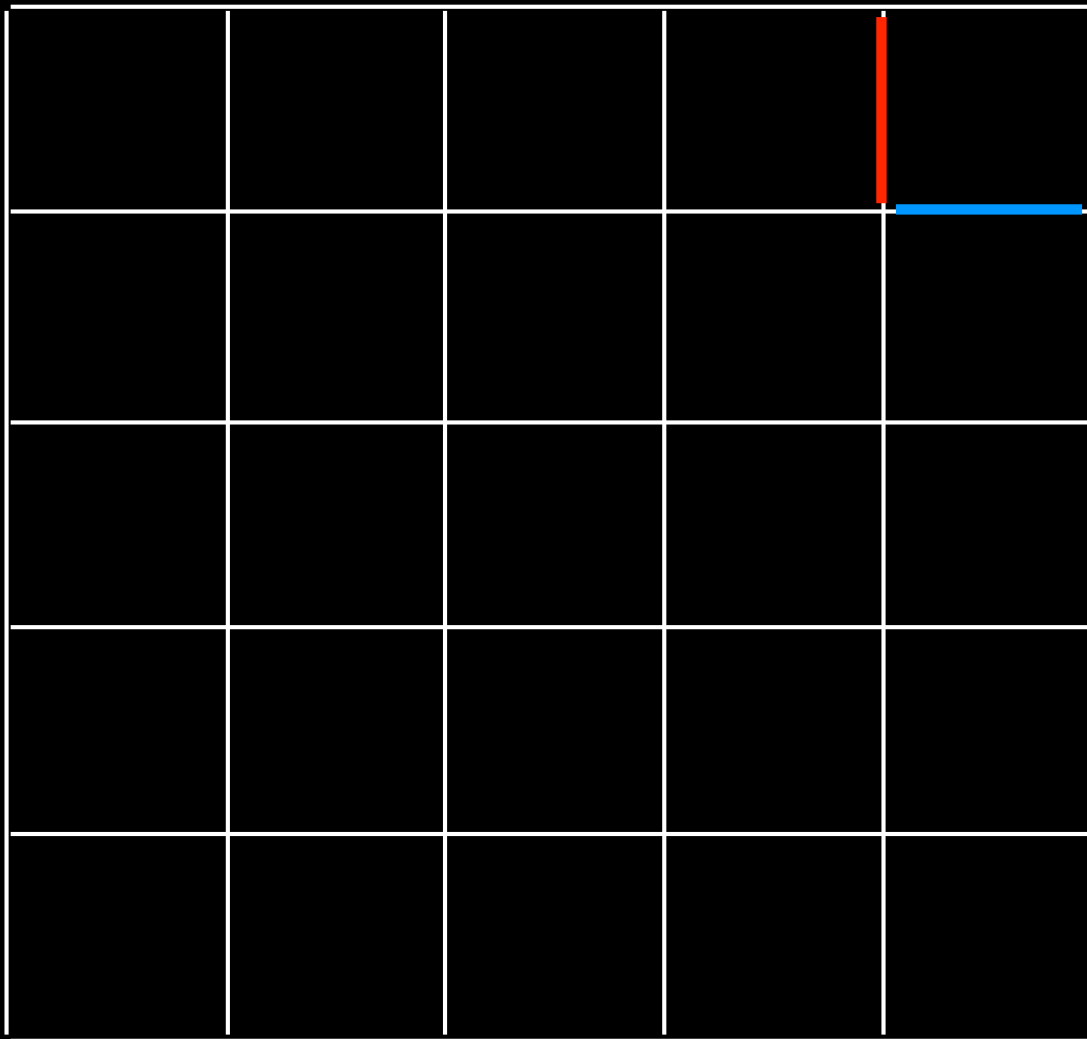
U



D

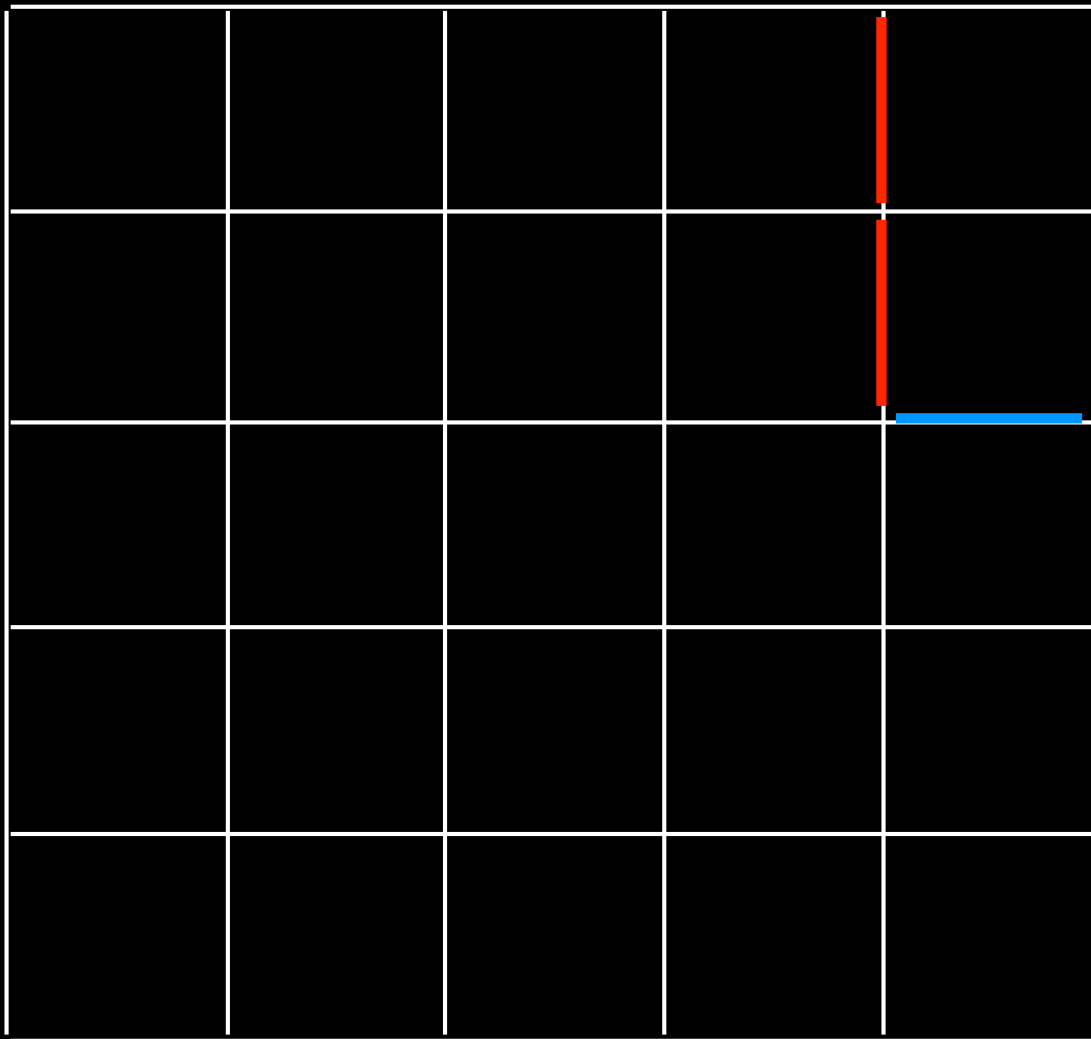


U



D

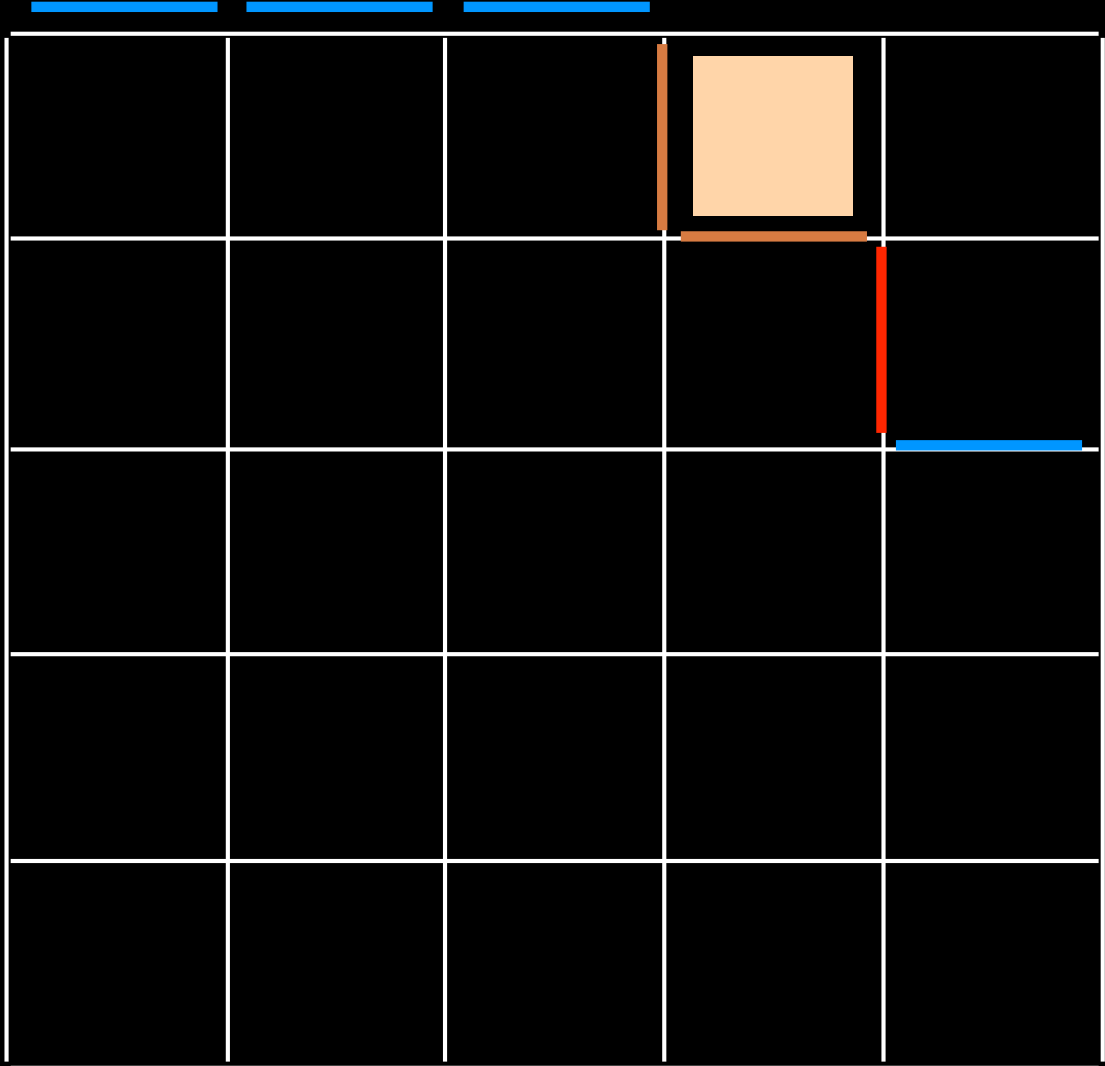
U



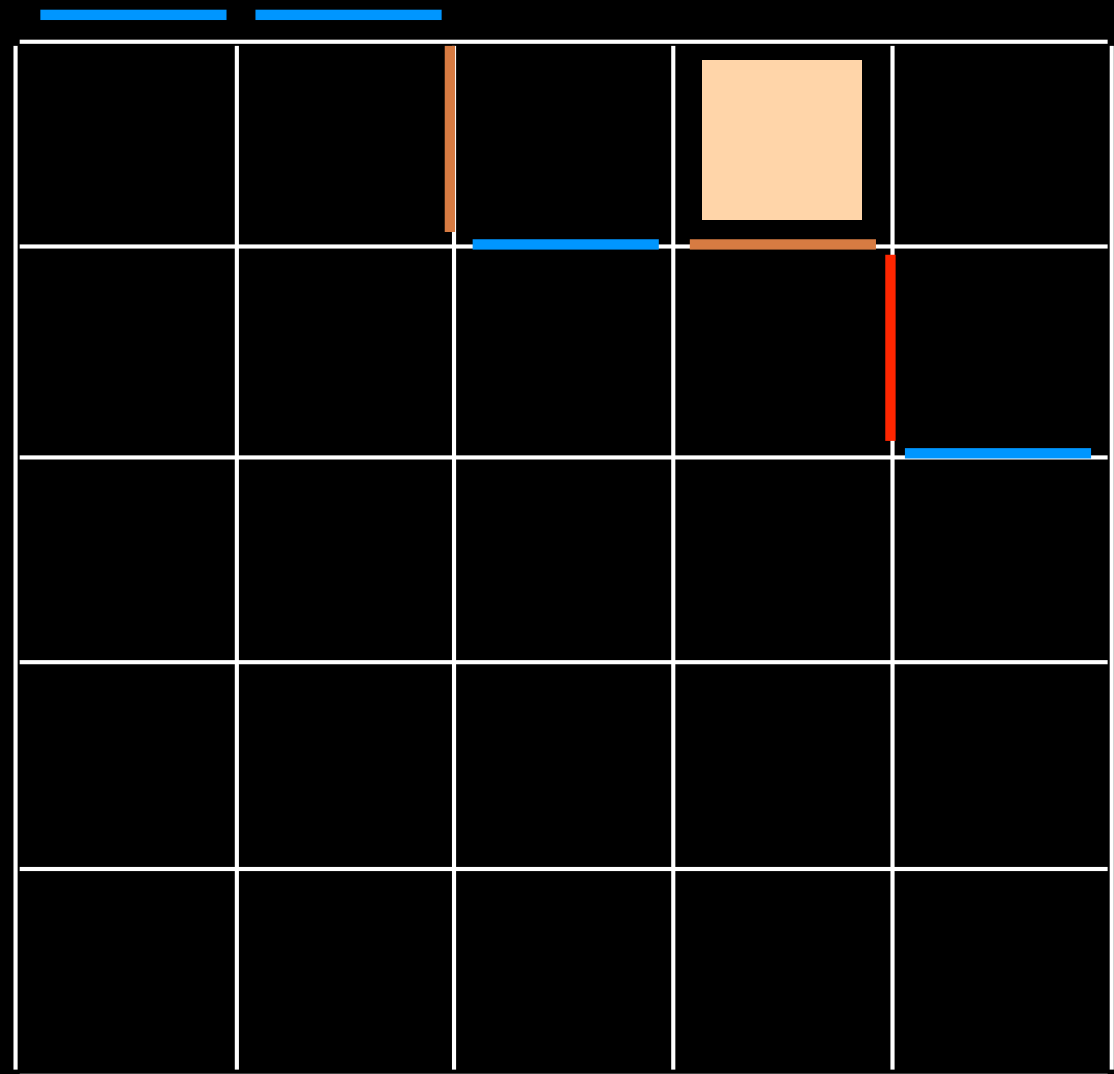
D

U

D

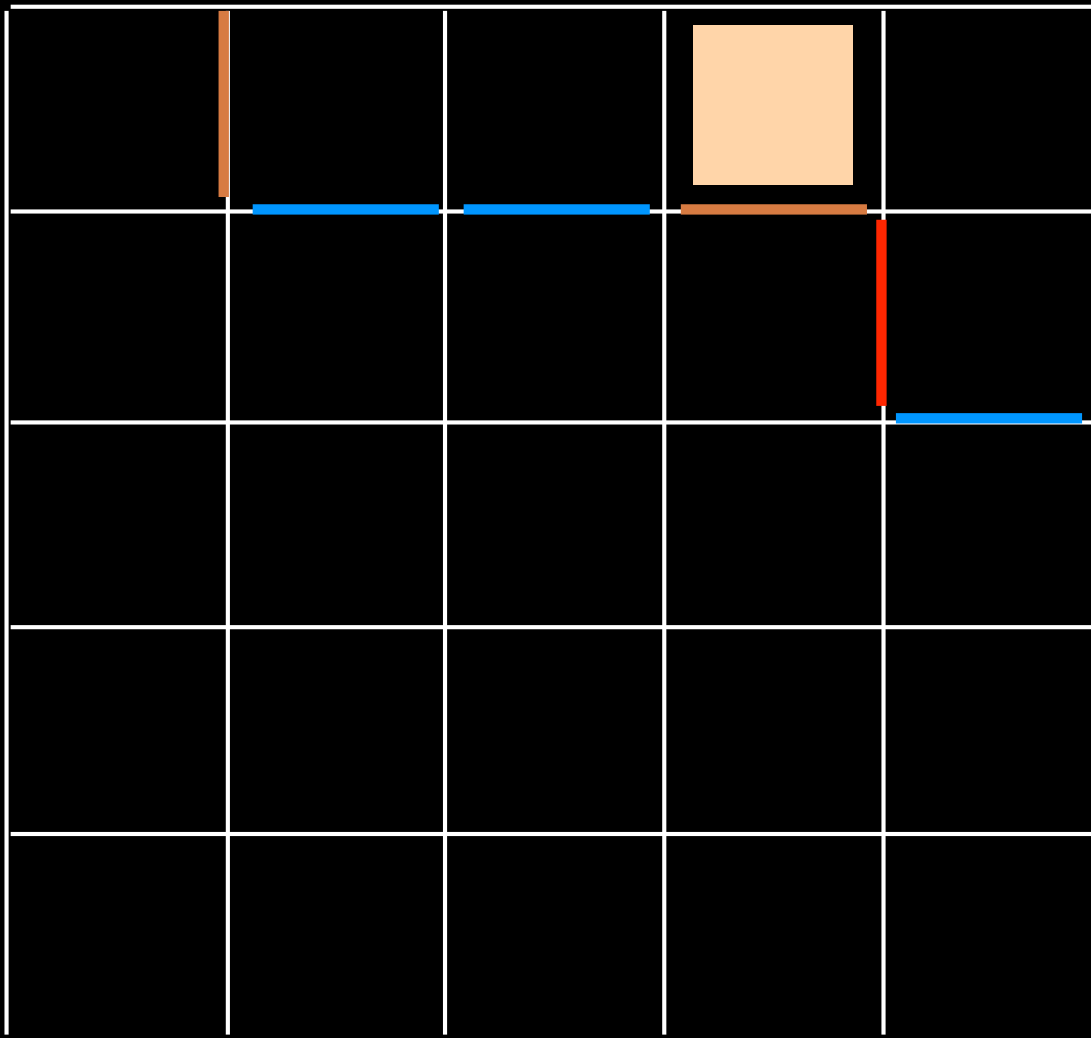
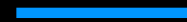


U



D

U

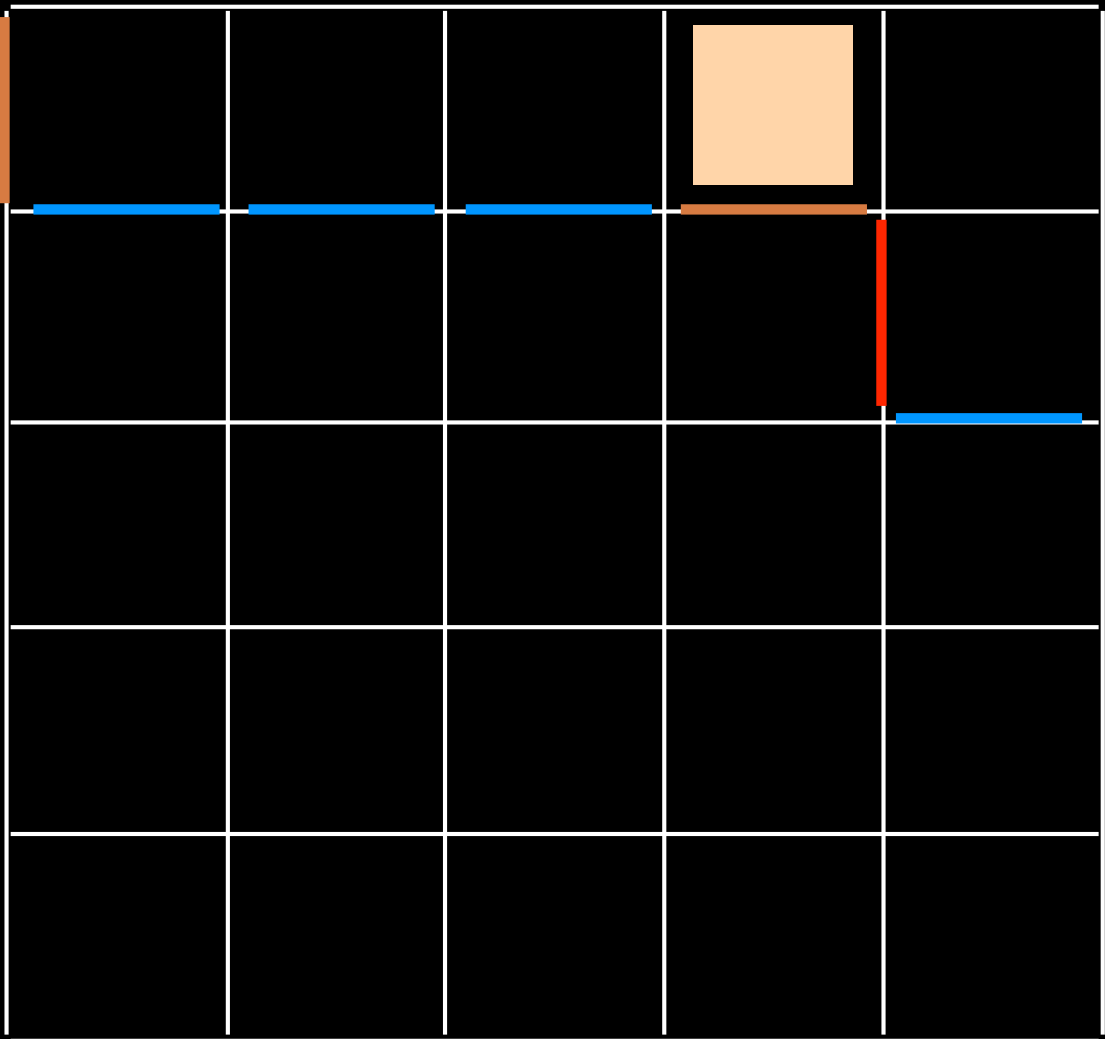


D



U

Y

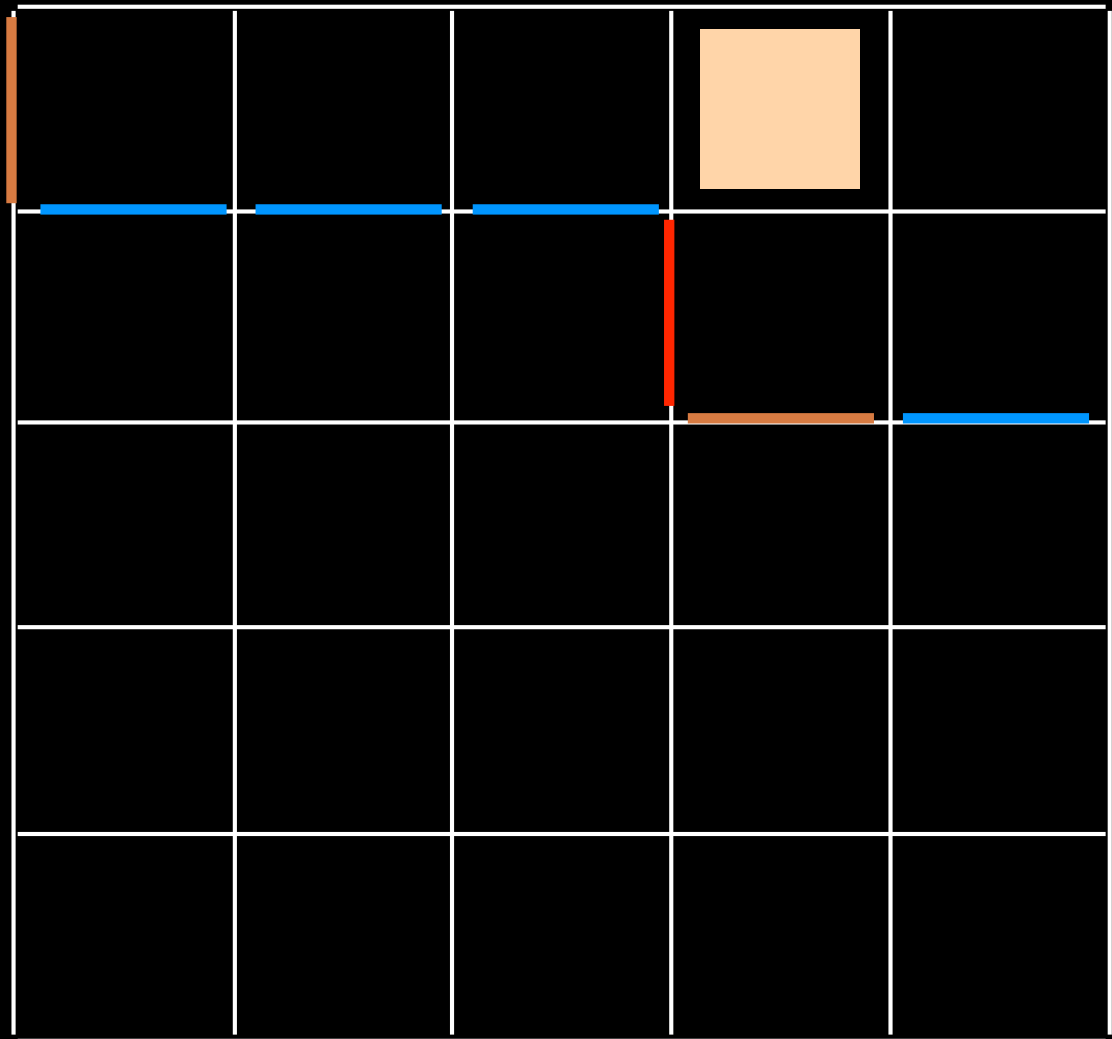


D

U

Y

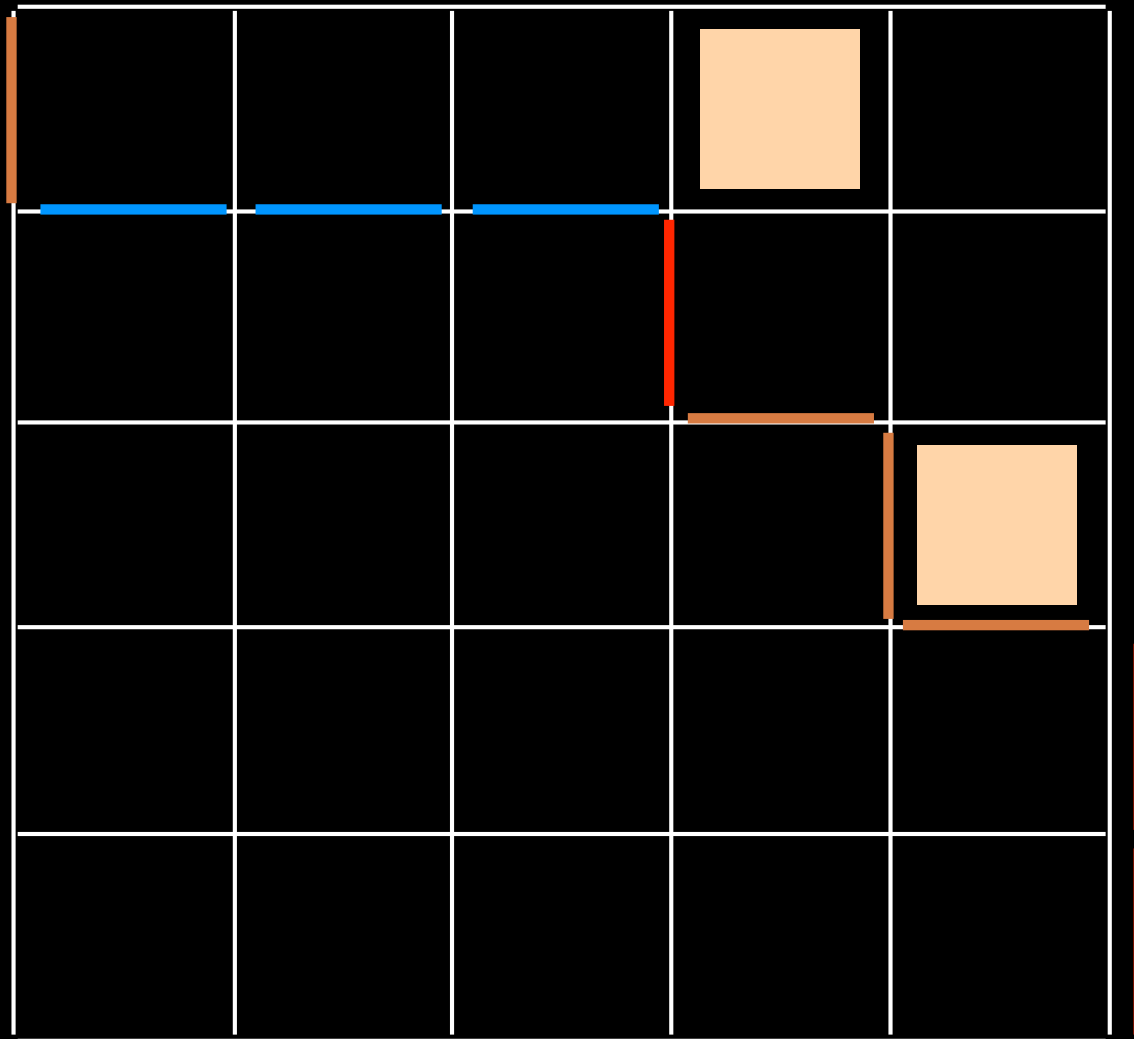
D



U

Y

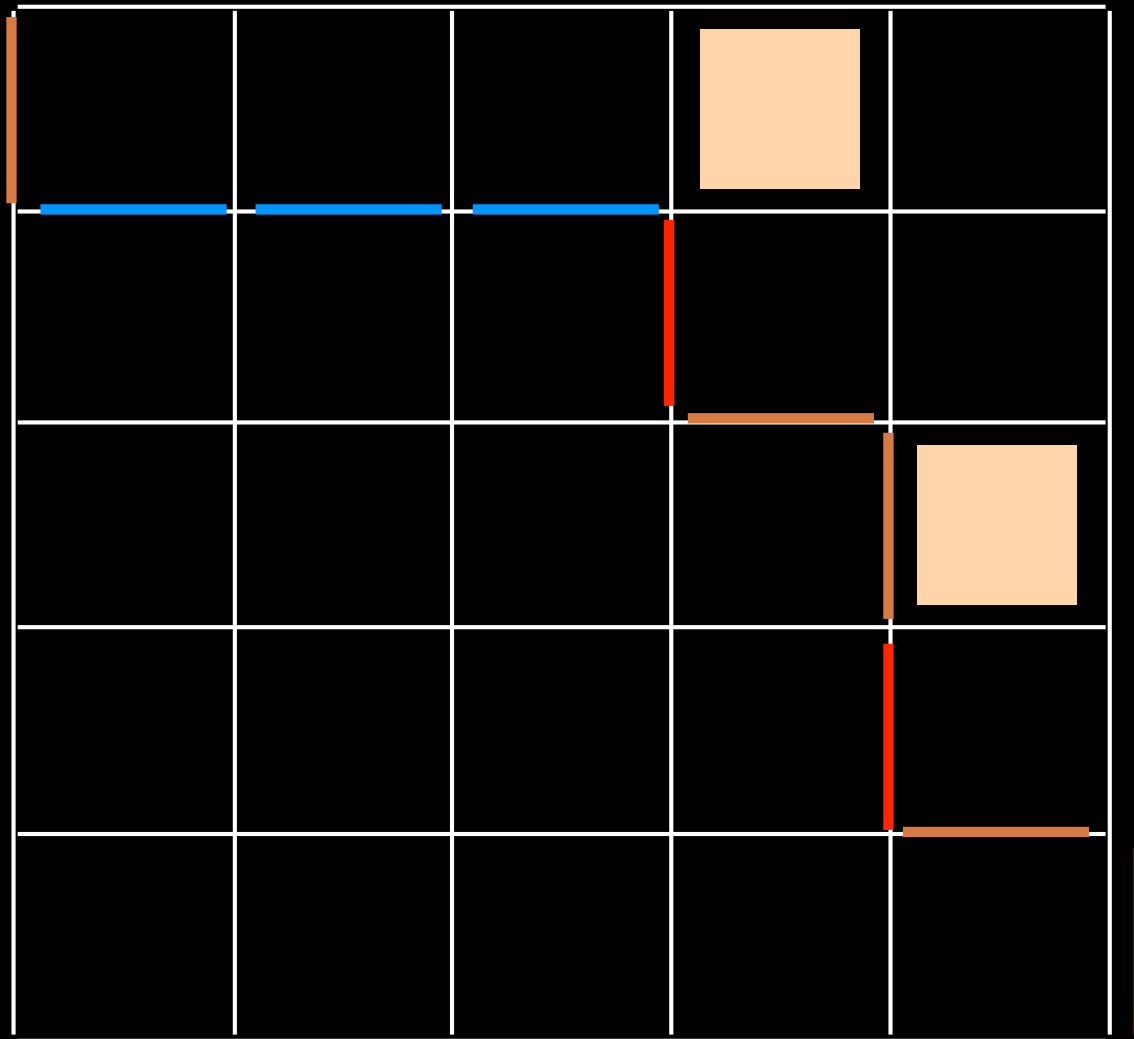
D



U

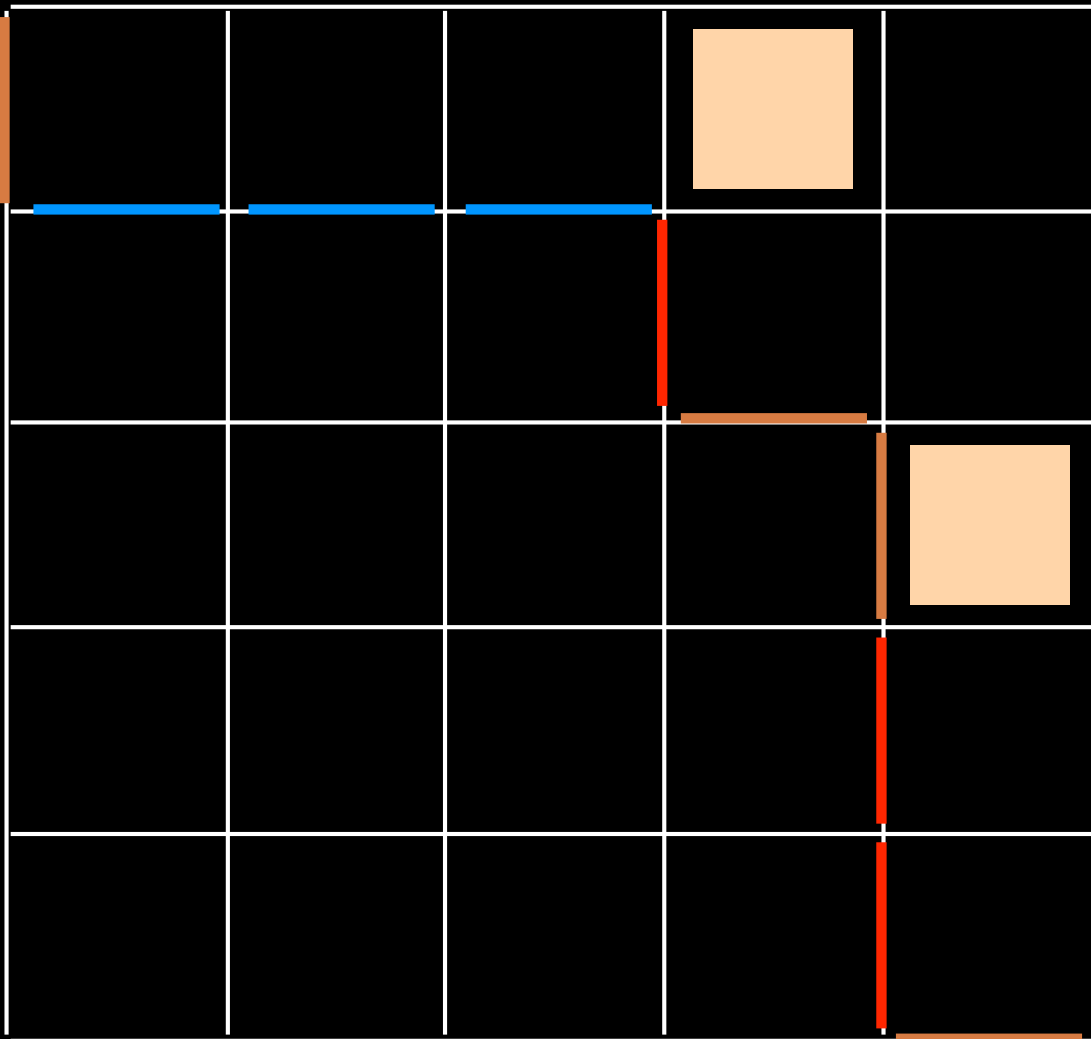
Y

D



U

Y

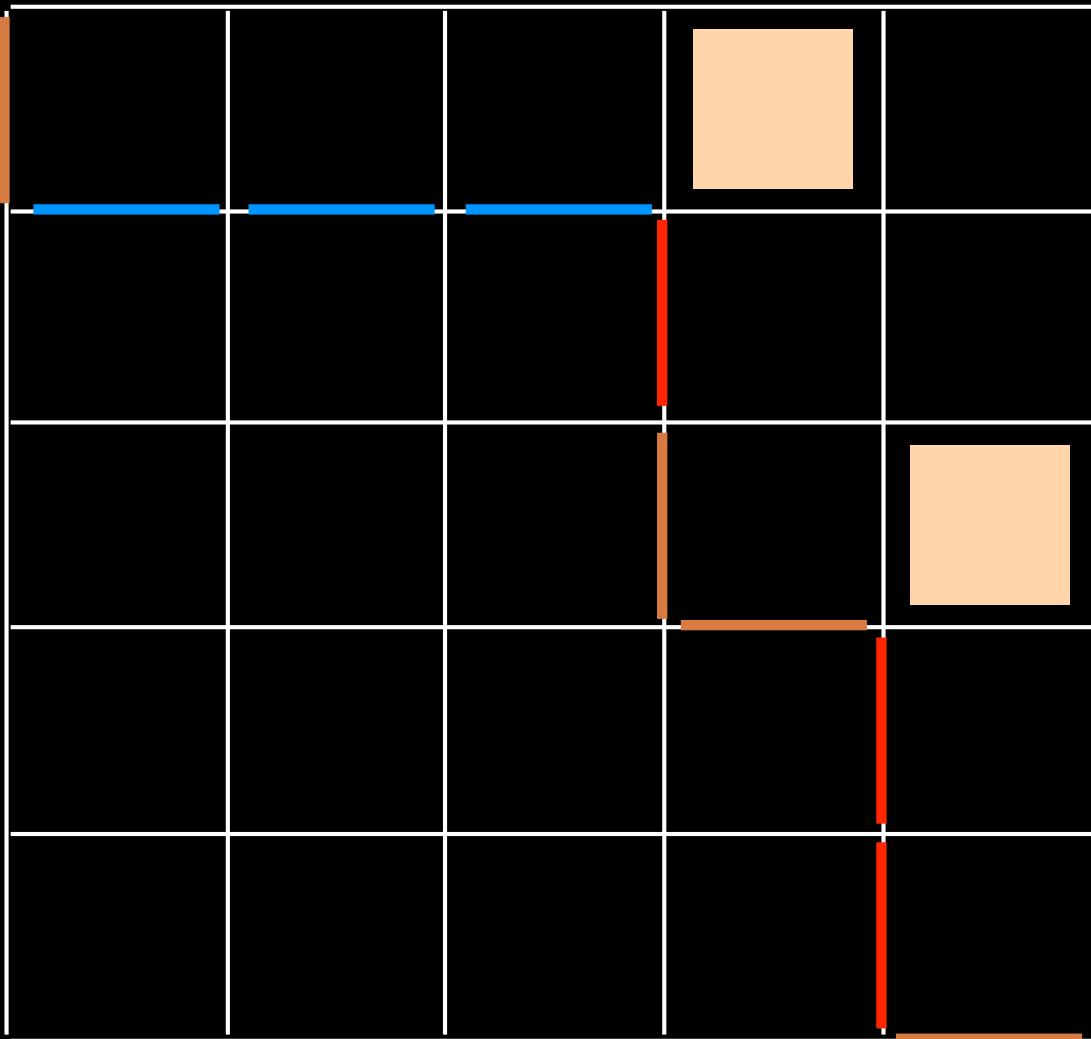


D

X

U

Y

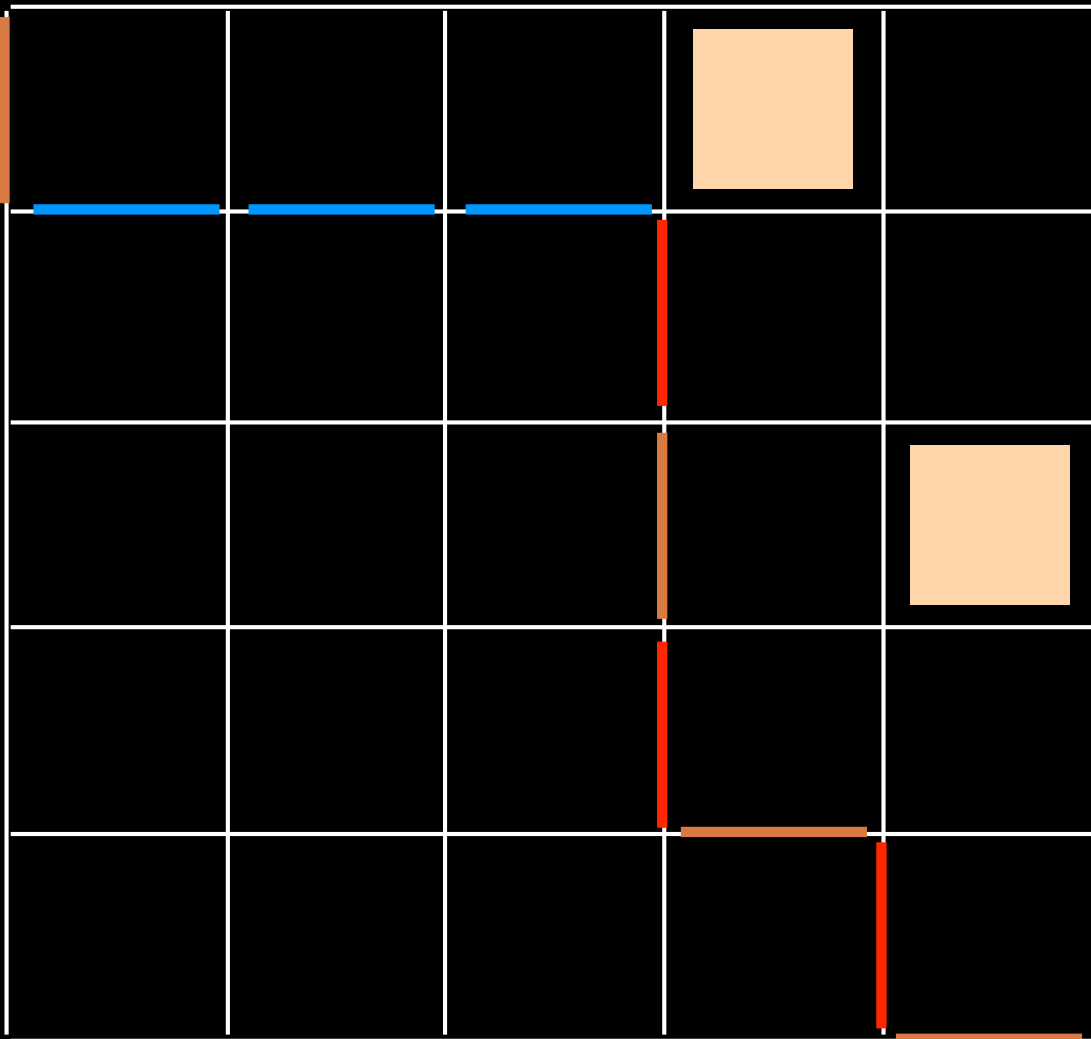


D

X

U

Y

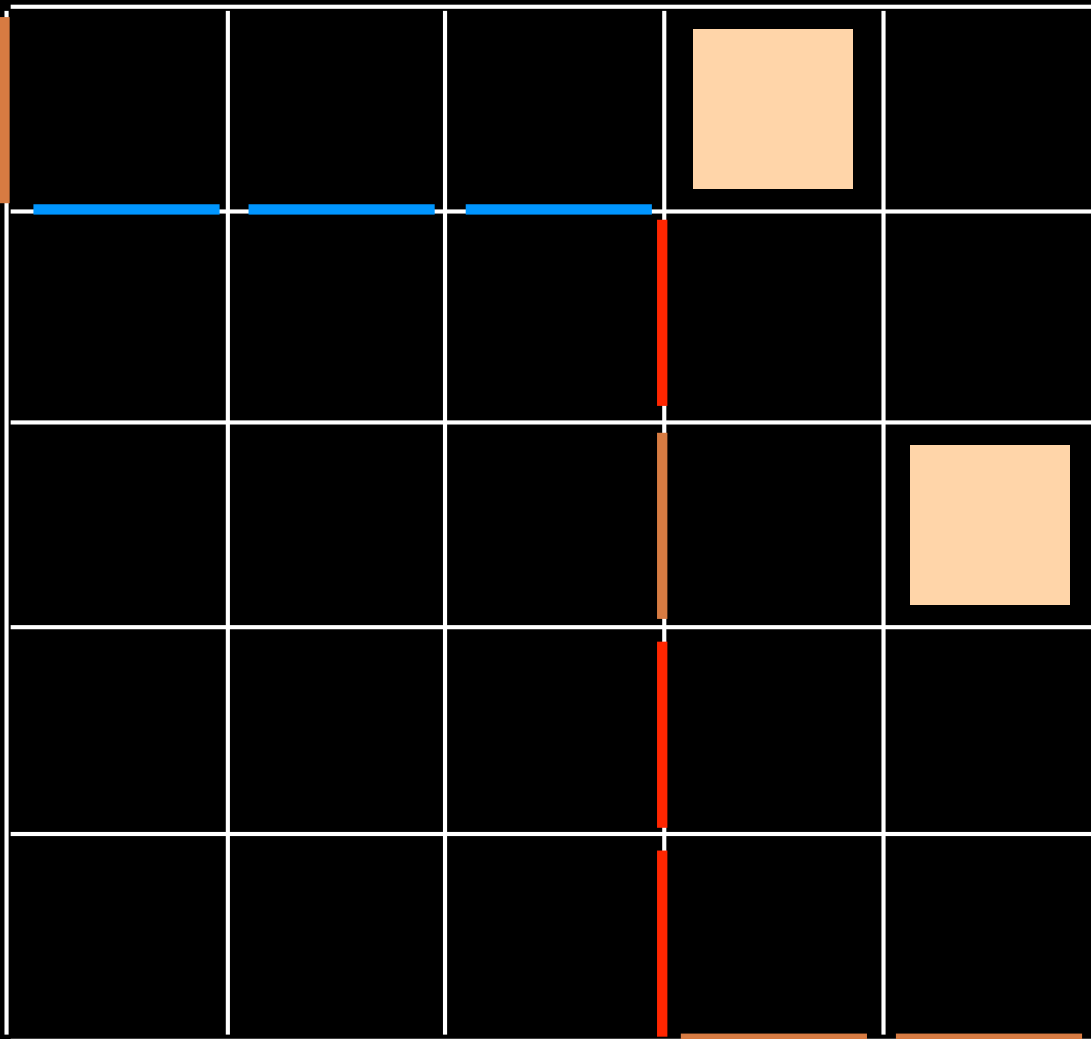


D

X

U

Y



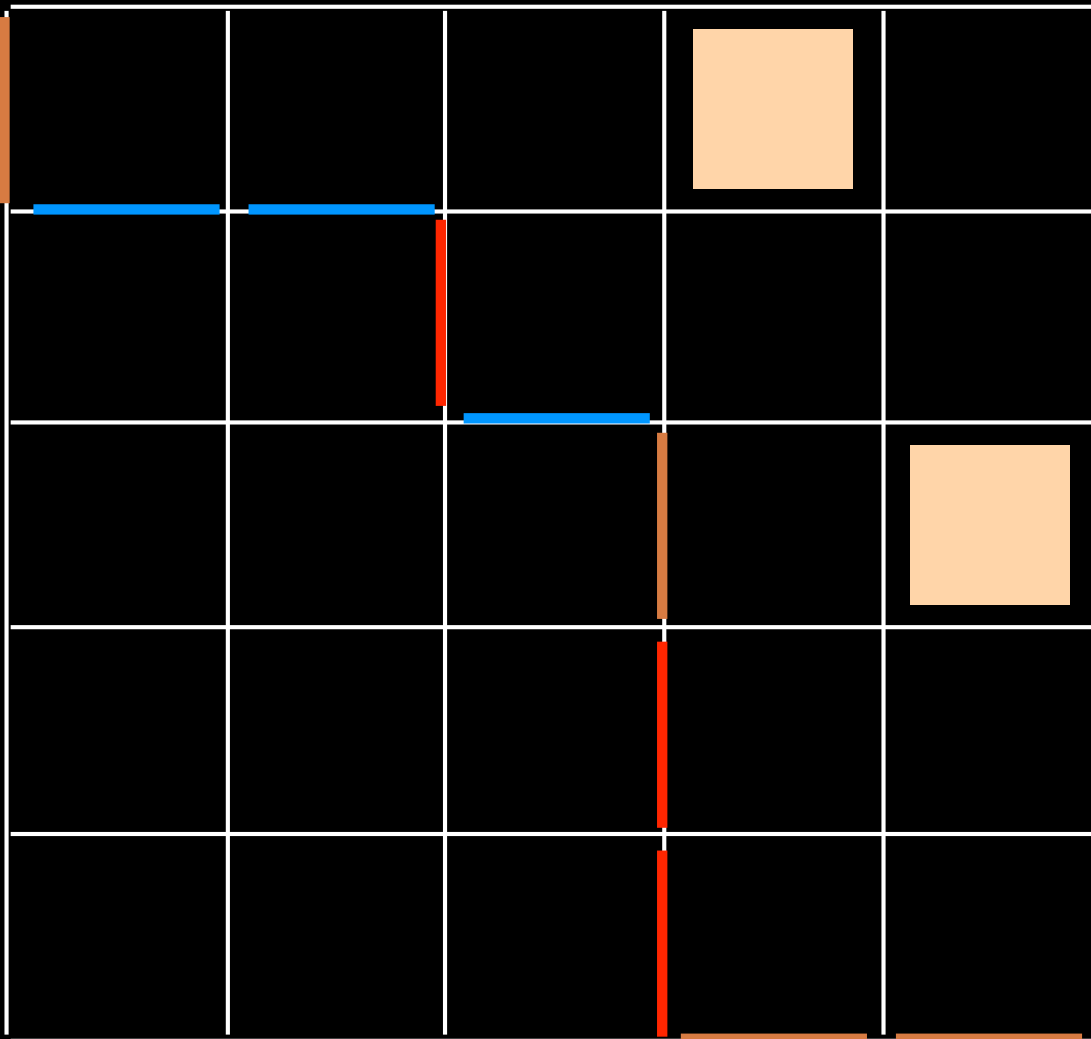
D

X

U

Y

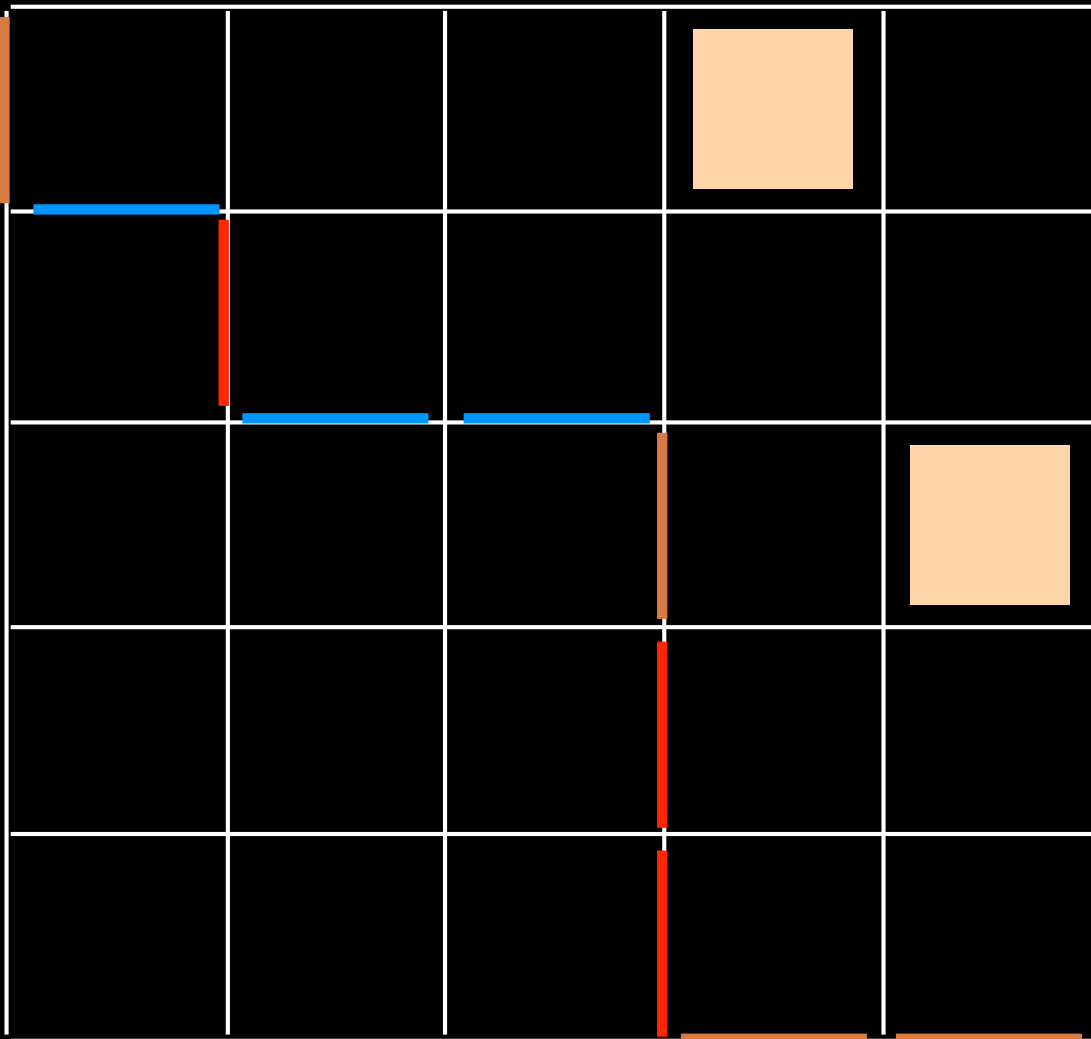
D



X

U

Y



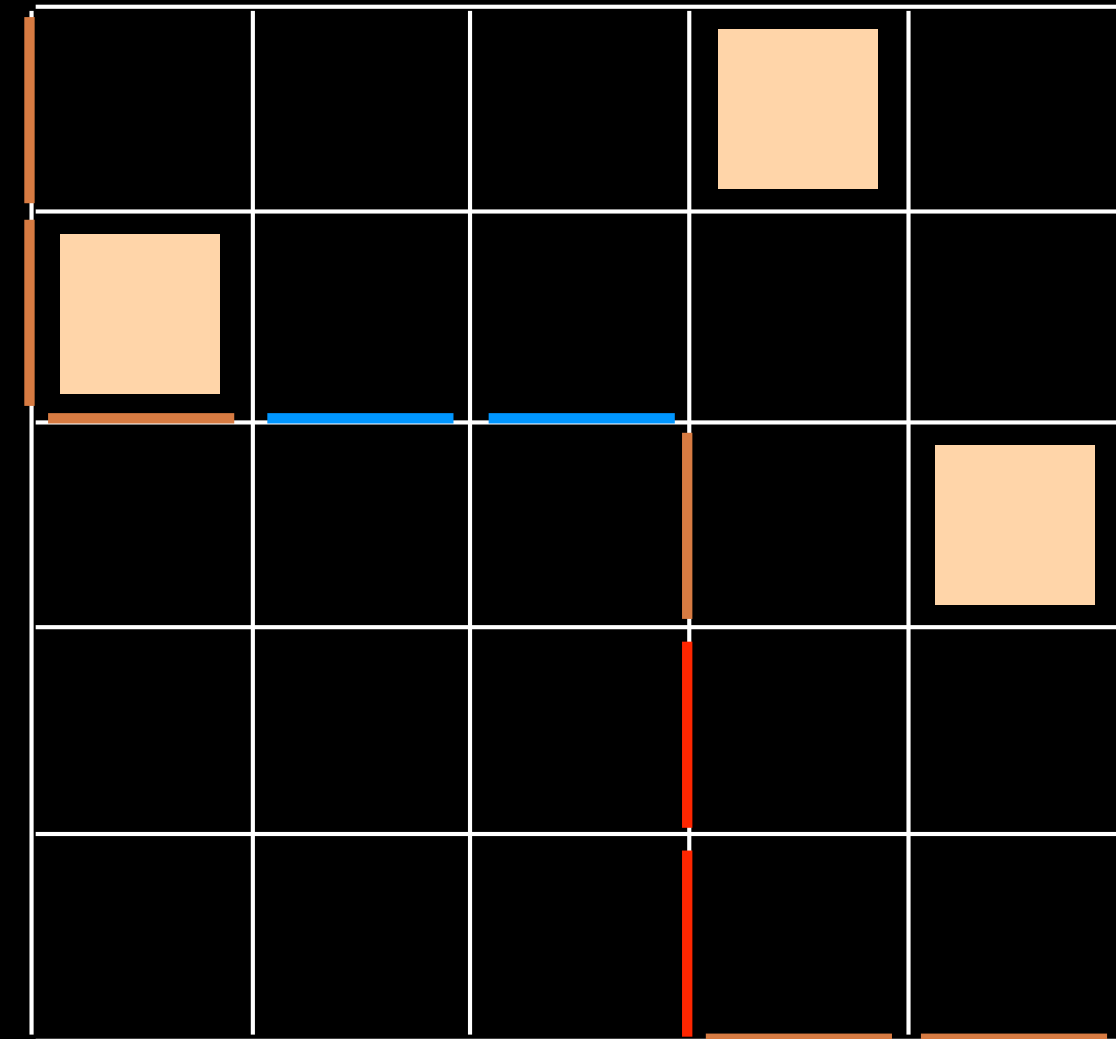
D

X

U

Y

D

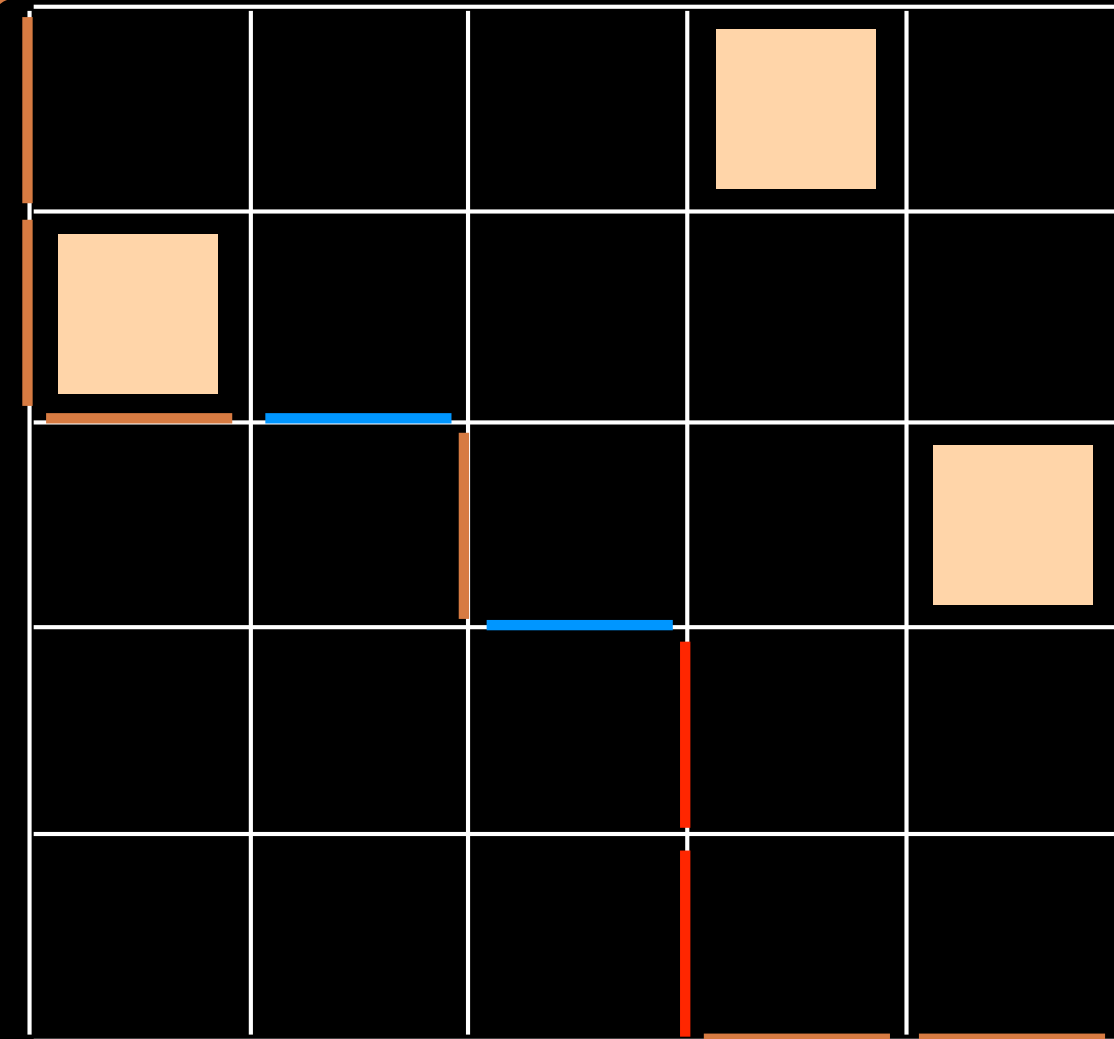


X

U

Y

D

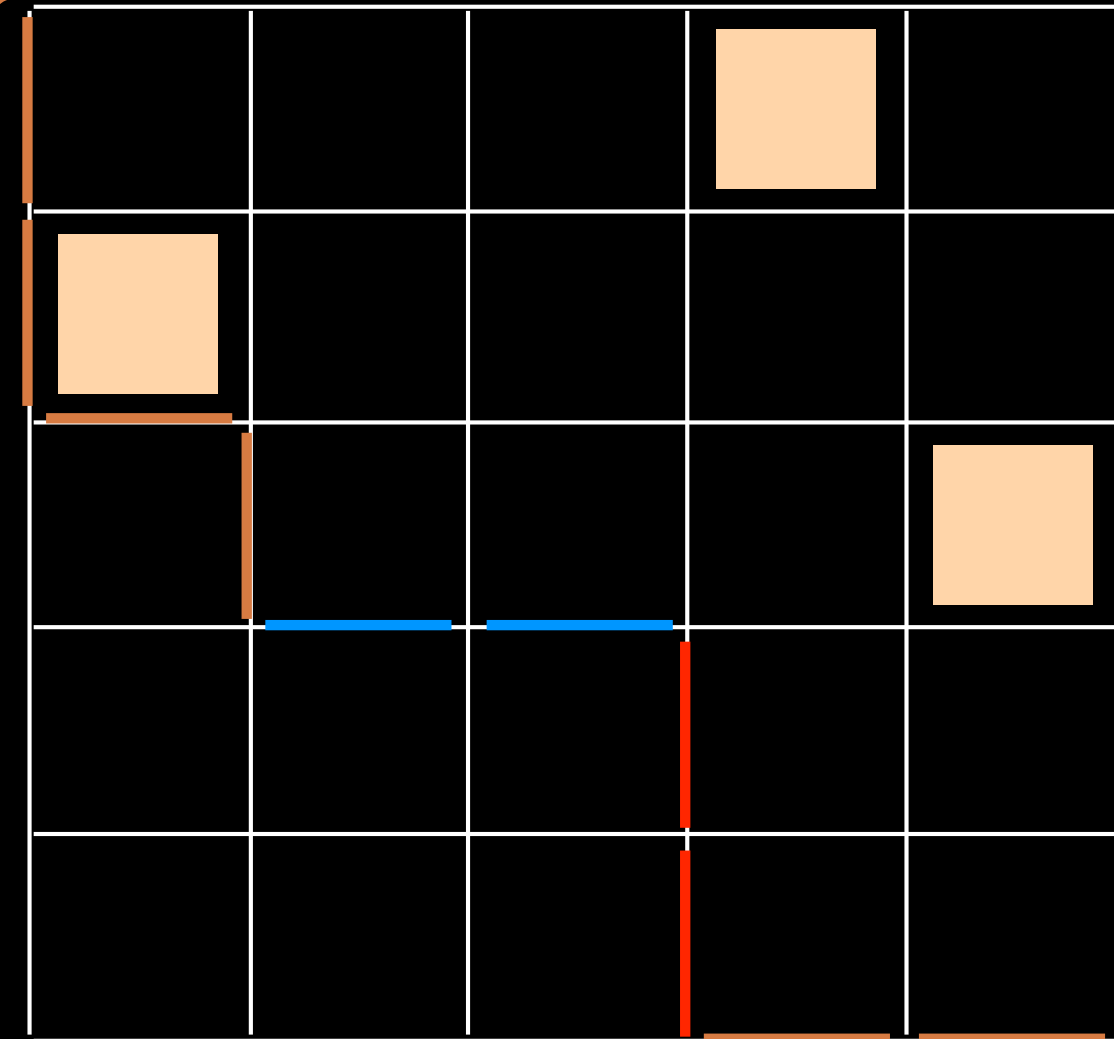


X

U

Y

D

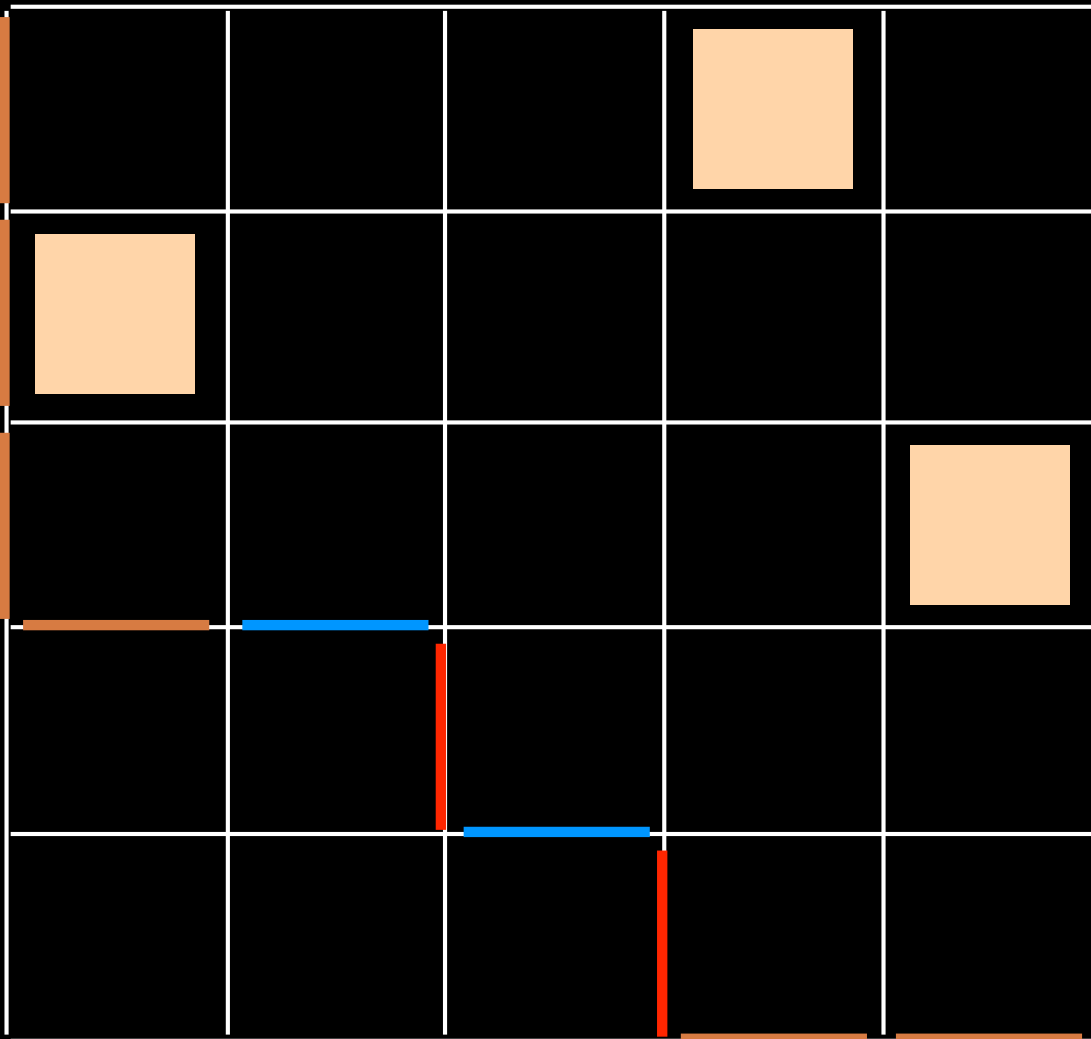


X

U

Y

D

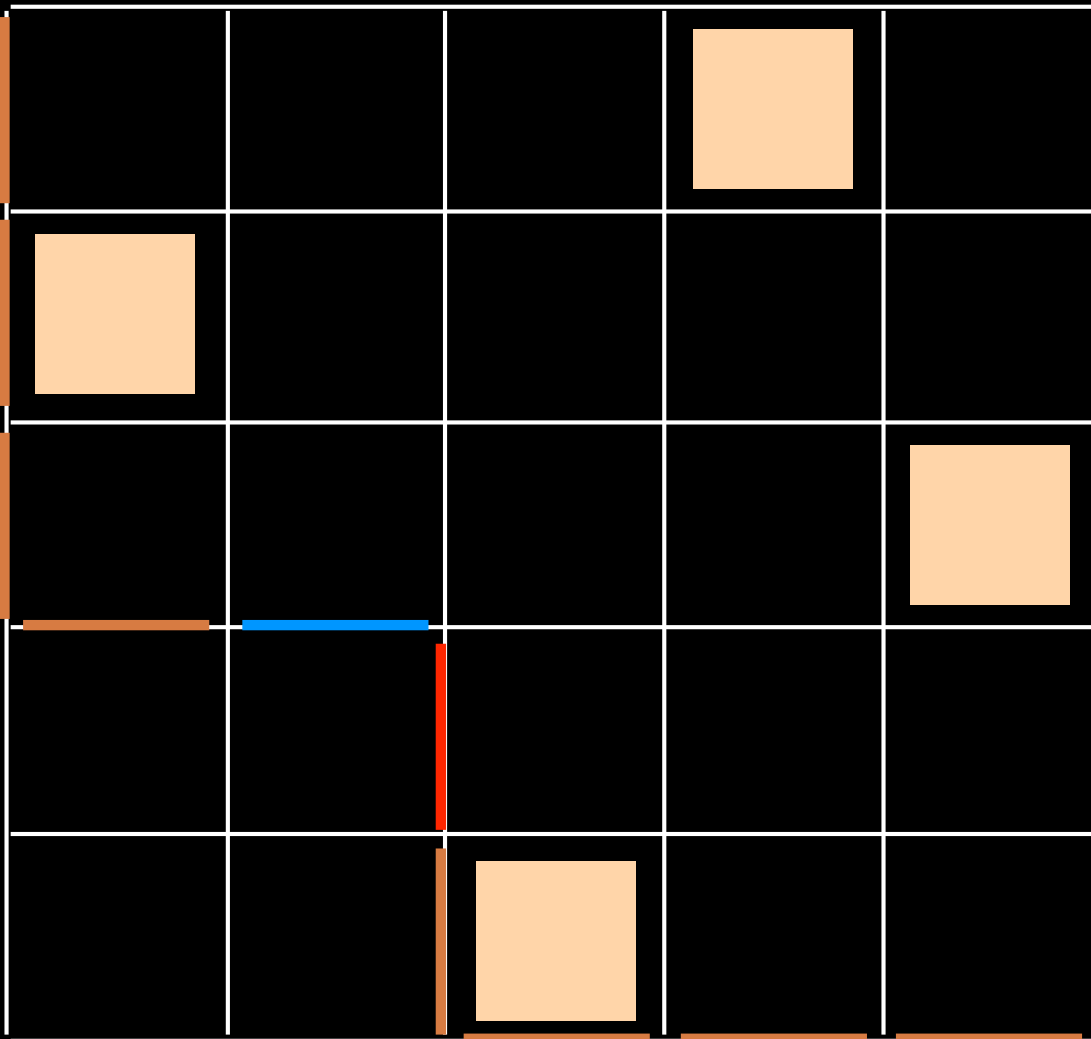


X

U

Y

D

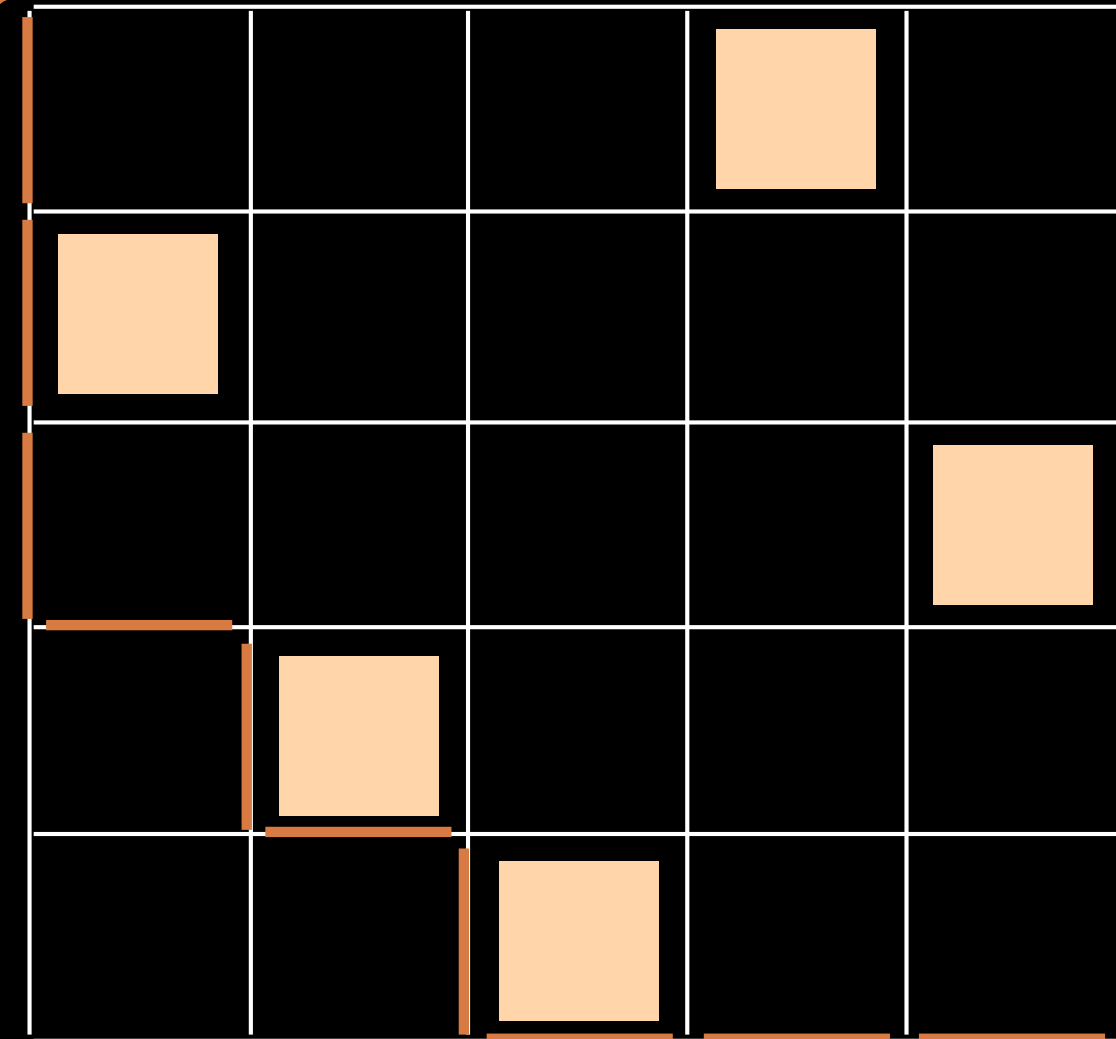


X

U

Y

D

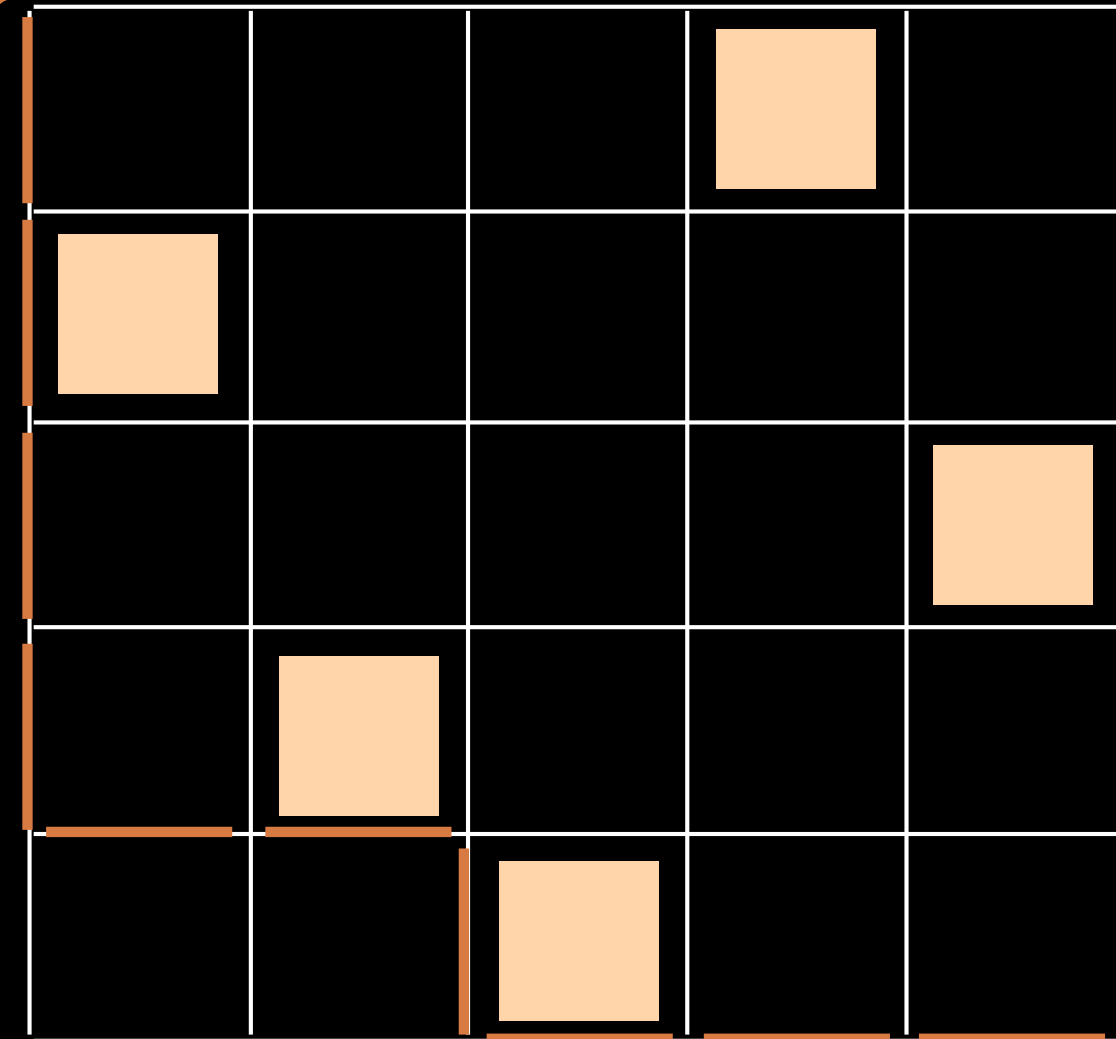


X

U

Y

D

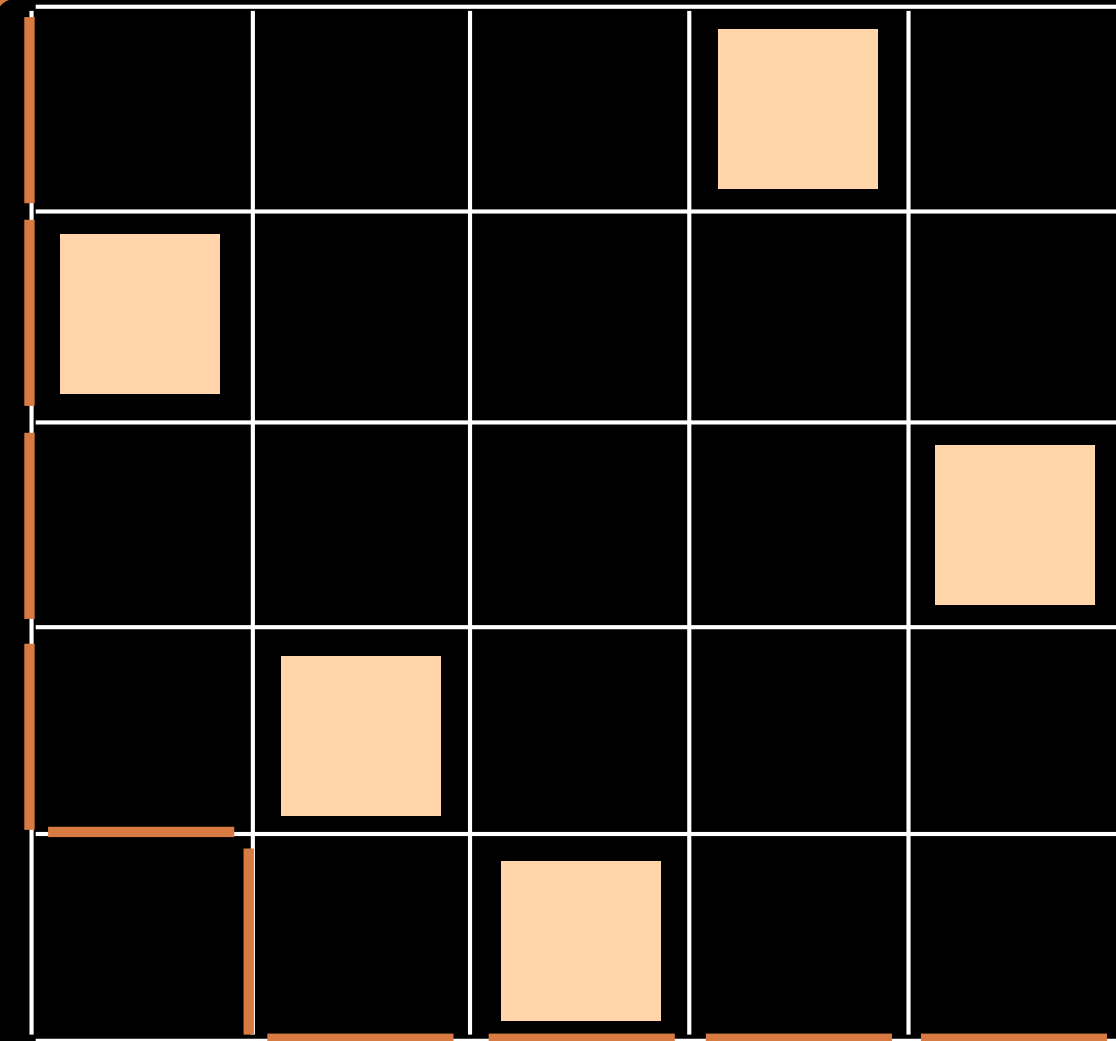


X

U

Y

D

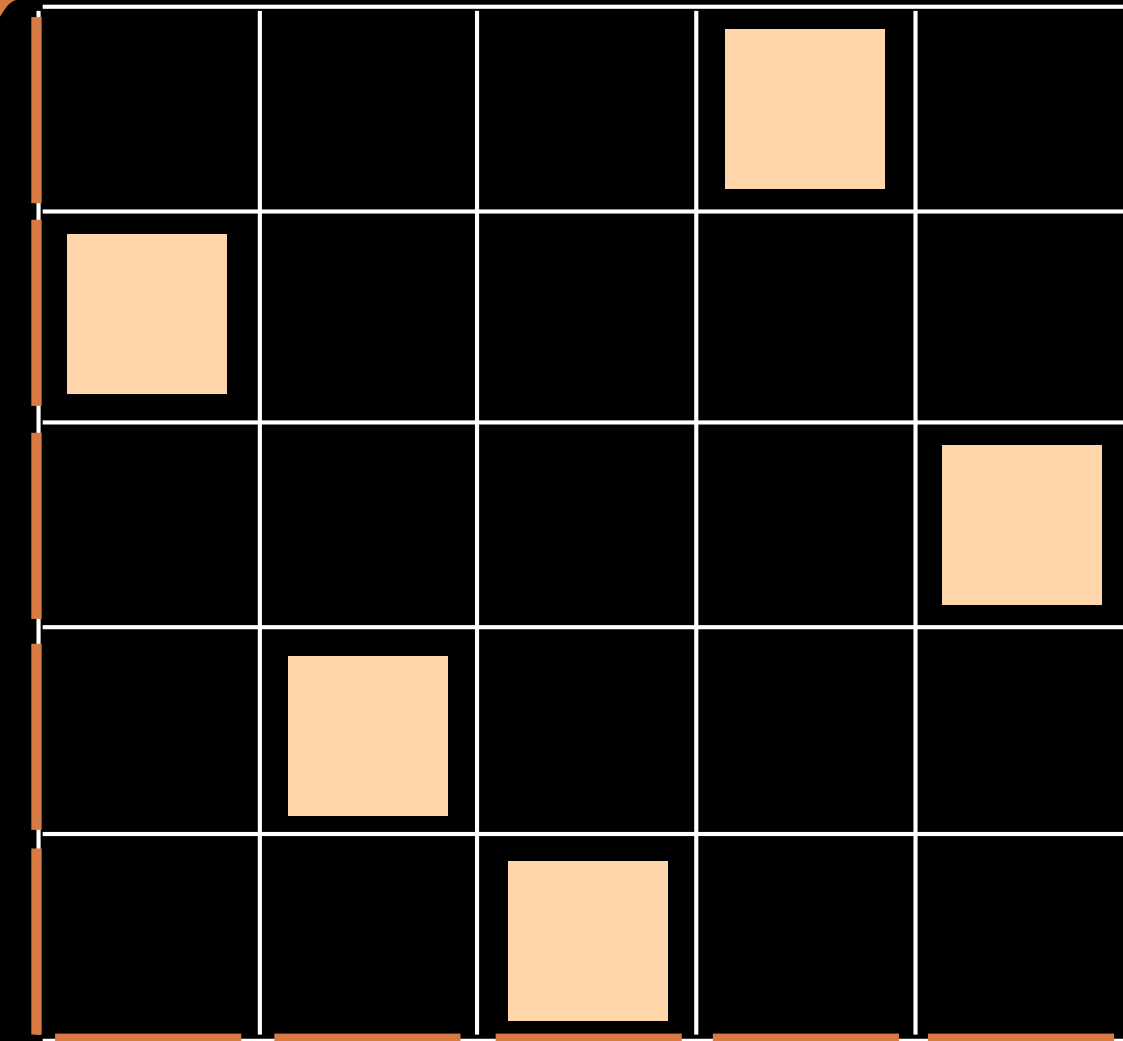


X

U

Y

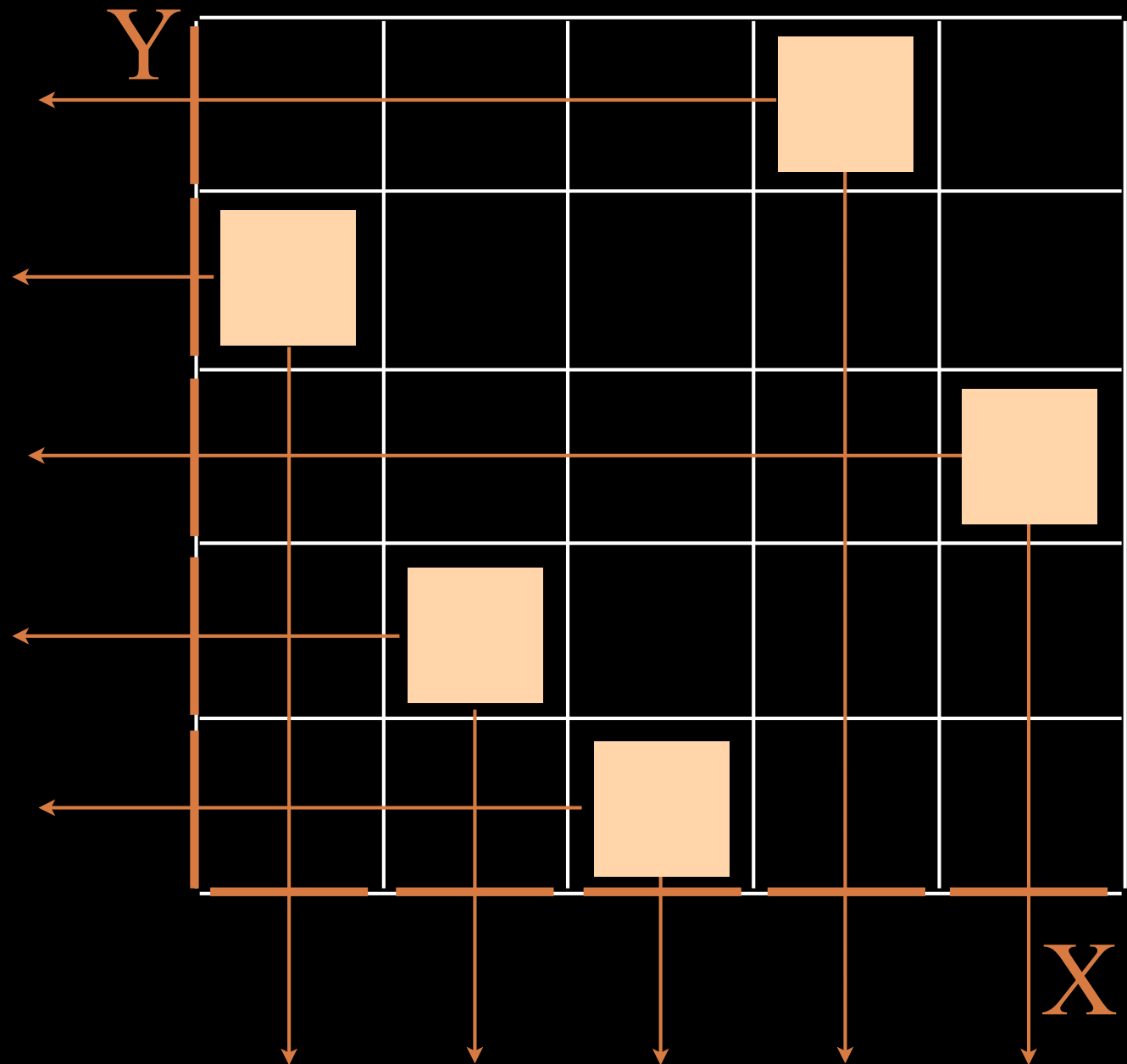
D



X

U

D

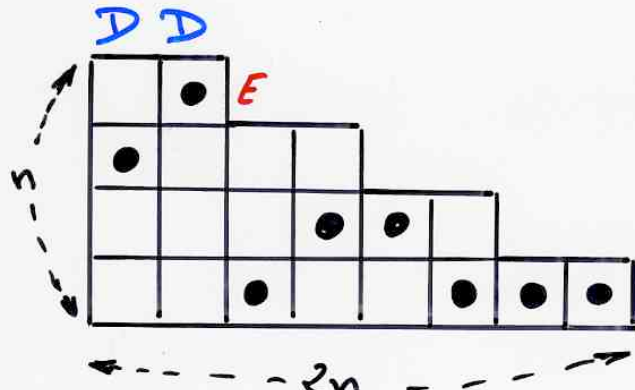


X

Planar automata

example 2: Genocchi numbers

example surjective pistol



Genocchi
numbers

$$G_{2n+2}$$

números de
Genocchi

$$G_{2n} = 2(2^{2n}-1) B_{2n}$$

Bernoulli

$$2^{2n} G_{2n+2} = (n+1) T_{2n+1}$$



Angelo Genocchi
1817 - 1889

Hinc igitur calculo instituto reperi

$$A = 1$$

$$B = 1$$

$$C = 3$$

$$D = 17$$

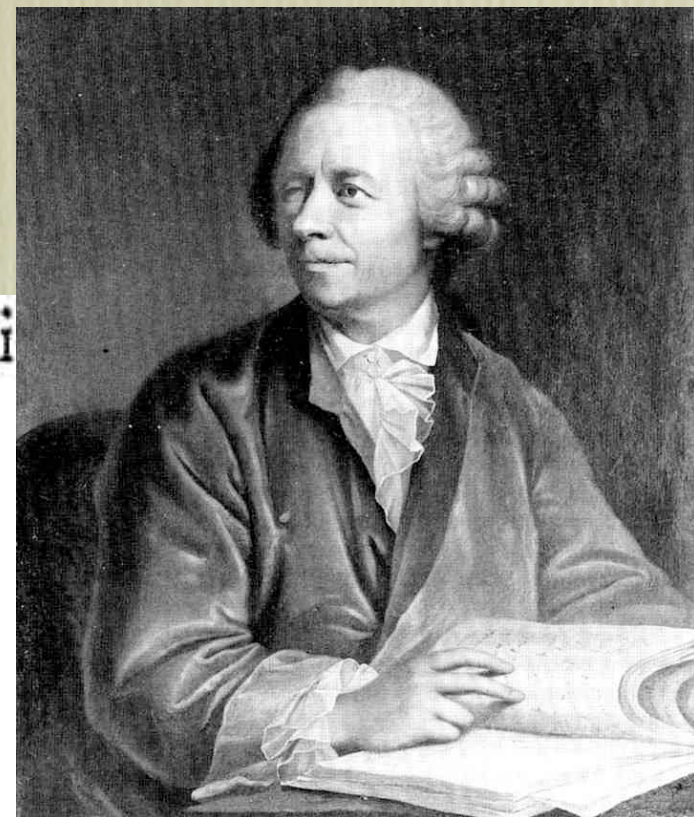
$$E = 155 = 5 \cdot 31$$

$$F = 2073 = 691 \cdot 3$$

$$G = 38227 = 7 \cdot 5461 = 7 \cdot \frac{127 \cdot 129}{3}$$

$$H = 929569 = 3617 \cdot 257$$

$$I = 28820619 = 43867 \cdot 9 \cdot 73 \quad \&c.$$



BORDEAUX 1. Le professeur Donald Knuth consacre sa vie à la programmation informatique, considérée comme un art. Il vient d'être sacré docteur honoris causa à Bordeaux

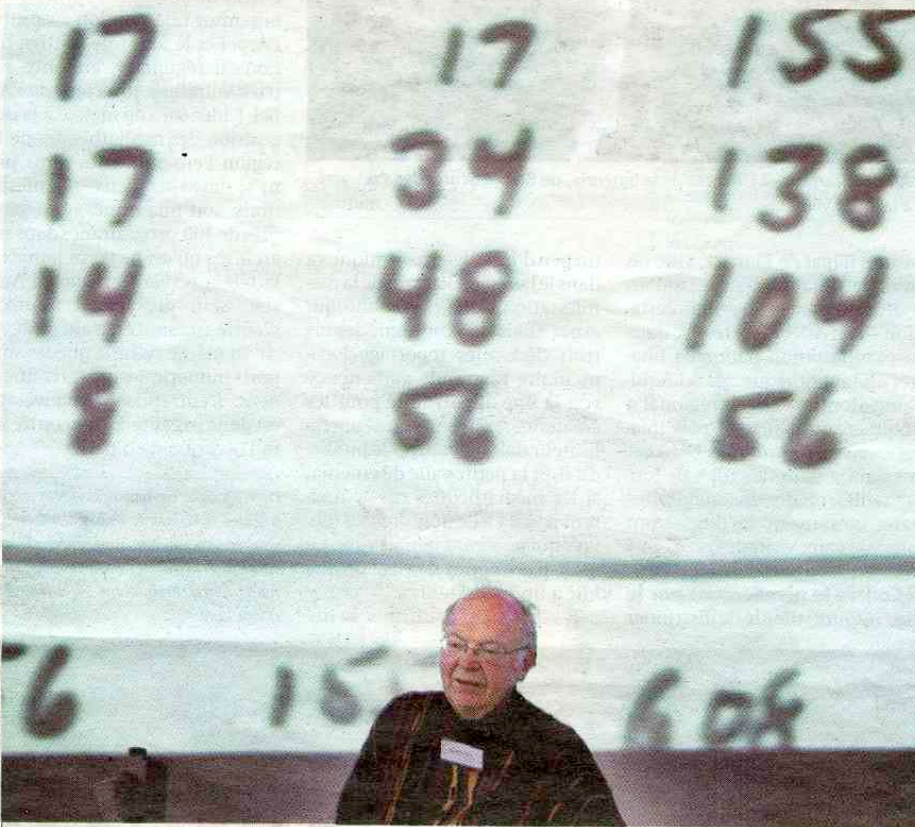
L'ermite de l'informatique

par Bernard Broustet

Une sommité de l'informatique mondiale a séjourné en Gironde ces derniers jours. Donald Knuth, 69 ans, a été sacré mardi docteur honoris causa de l'université Bordeaux 1, après avoir été lundi au centre d'une journée d'échanges qui réunissait une bonne partie du gratin français et européen de la recherche en informatique (1).

Depuis son premier contact, il y a un demi-siècle, avec un monumental et dinosaure IBM 650, Donald Knuth n'a cessé d'être habité par la passion de l'informatique. Physicien, puis mathématicien de formation, ce géant affable et modeste a voué sa vie à ce qu'il appelle « l'art de la programmation informatique ». Car, à ses yeux, plus qu'une technique, c'est une forme d'activité qui requiert à la fois rigueur, intuition et sens esthétique. Les programmes informatiques réussis ont une sorte de beauté à laquelle même les non-spécialistes peuvent être sensibles.

Une encyclopédie. Au long de sa carrière académique (pour l'essentiel à l'université californienne de Stanford), Donald Knuth a fait preuve d'une grande fécondité, en jouant notamment un rôle essentiel dans le développement de langages toujours utilisés par la communauté des mathématiciens. Mais, à 55 ans, le professeur Knuth a décidé de prendre sa retraite de Stanford. Il trouve que les fonctions administratives sont trop absorbantes pour lui permettre de mener à bien l'œuvre entamée à la fin des années 60 sous le titre de « Art of computer programming », sorte d'encyclopédie de l'algorithme et de la programmation informatique.



Donald Knuth, à Bordeaux, le 29 octobre. À 69 ans, il animait une journée d'échanges avec le gratin européen de la recherche en informatique

PHOTO LAURENT THEILLET

que. Donald Knuth a publié, il y a quelque temps déjà, les trois premiers volumes de cette gigantesque somme, traduite en russe, en japonais, en polonais, etc. mais pas en français. Le quatrième tome est pour bientôt. Et Donald Knuth se dit décidé à poursuivre sa tâche tant qu'il en aura la force. Ses ouvrages, dont les ventes cumulées au fil des ans approchent le million d'exemplaires, visent essentiellement les informaticiens et créateurs de programmes. Une communauté cer-

tes minoritaire à travers le monde, mais qui se trouve investie d'une mission considérable. En quelques décennies, l'écriture informatique a aidé à résoudre d'innombrables problèmes. « Mais il y en a tant d'autres qui attendent des solutions, notamment dans le domaine médical », affirme le professeur émérite de Stanford.

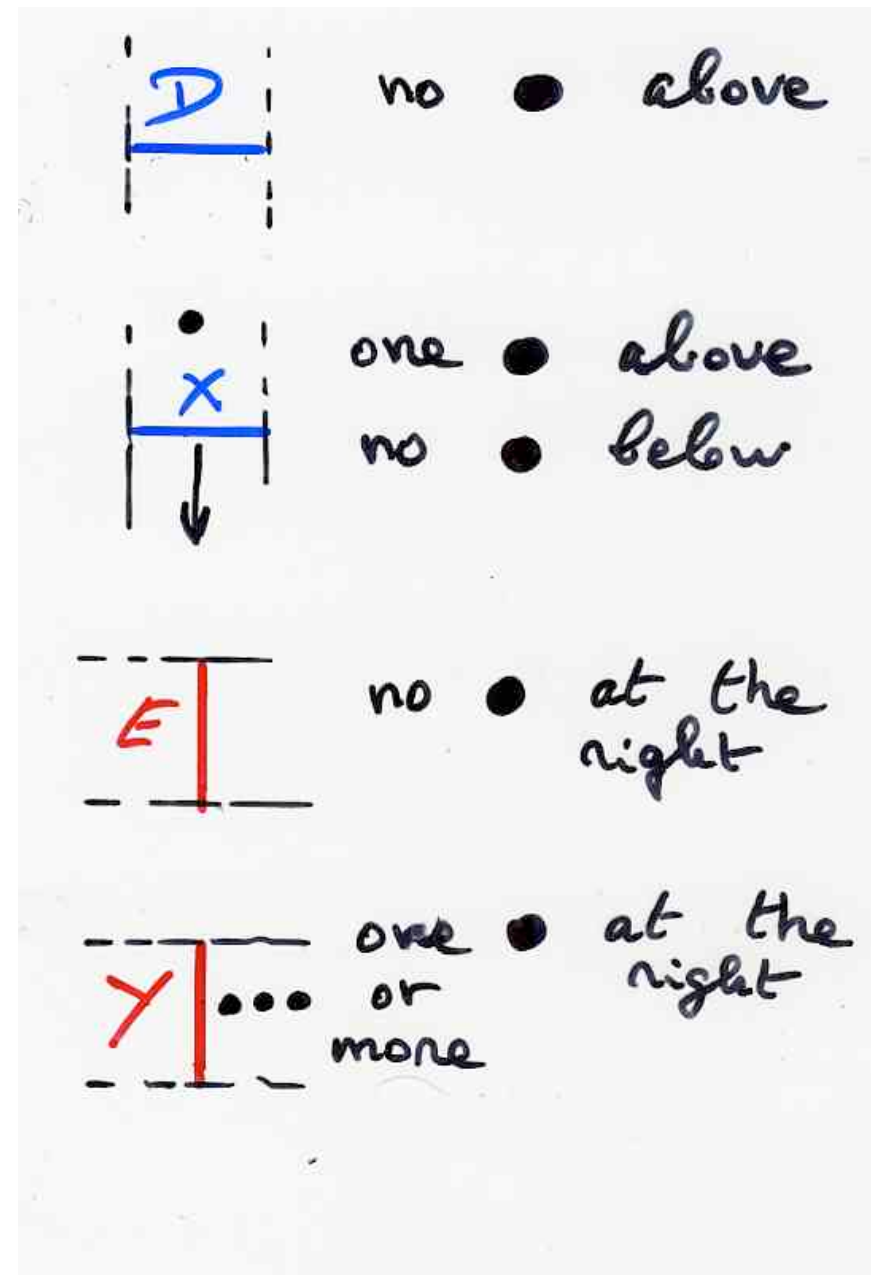
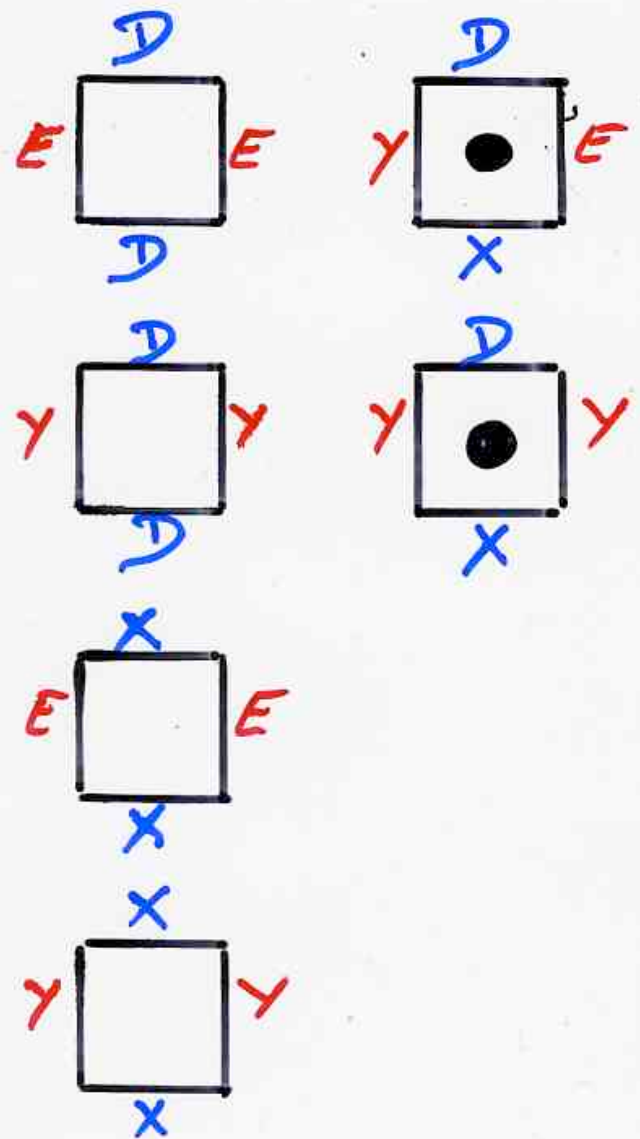
Un chèque de 2,56 dollars. Pour mener à bien sa tâche, Donald Knuth s'est imposé une vie

écrive par courrier ordinaire ou par fax, dont il prend parfois connaissance avec des mois de retard. Il s'oblige, en revanche, à tenir aussi scrupuleusement que possible sa promesse d'envoyer un chèque de 2,56 dollars à tout lecteur ayant détecté une erreur dans un de ses livres. Par ailleurs, pour se détendre, il pratique l'orgue, appris dans sa prime jeunesse auprès de son père qui partagea sa vie entre la musique et l'enseignement.

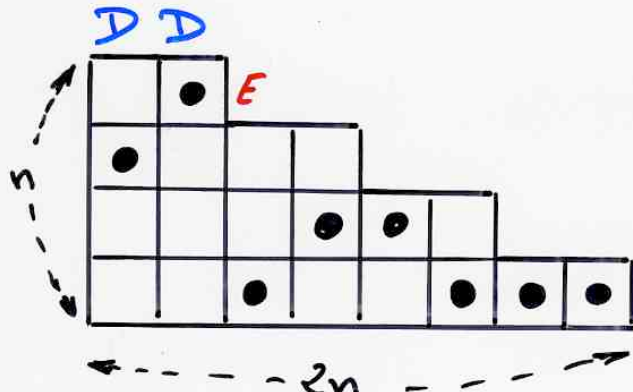
L'orgue de Sainte-Croix. Donald Knuth n'est pas fermé aux choses de ce monde. Sur son site Internet, à la rubrique « Questions qui ne me sont pas fréquemment posées », il demande entre autres : « Pourquoi mon pays a-t-il le droit d'occuper l'Irak ? ». « Pourquoi mon pays ne soutient-il pas une Cour internationale de justice ? » Mais cet homme de conscience ne se veut pas militant, pas plus qu'il n'aspire au vedettariat et à la richesse. « Beaucoup de gens, dit-il, ont tendance à considérer que l'informatique, c'est surtout des histoires de business, d'entreprise. Ce n'est pas mon cas. » Sortant de sa semi-reclusion, Donald Knuth s'est donc laissé convaincre d'accepter les hommages de l'université de Bordeaux, après celles de Harvard, d'Oxford, de Tübingen. Il a eu le coup de foudre pour la beauté et l'agrément de la ville. Et il n'oubliera sans doute pas de sitôt l'orgue illustre de l'église Sainte-Croix (2), sur lequel il a eu le honneur d'exercer son talent.

(1) Ces journées étaient organisées par le Laboratoire bordelais de recherche en informatique (Labri).

(2) Thierry Semenoux, professeur d'orgue au conservatoire de Bordeaux, a joué dans ce domaine un rôle de cicéronne auprès de Donald Knuth.



example surjective pistol



Genocchi
numbers
 G_{2n+2}

$$c(Y^n, X^{2n}; (D^2 E)^n) = G_{2n+2}$$

$u \quad v \quad w$

Planar automata

example 3:
alternating sign matrices (ASM)

Def- **ASM** alternating sign matrix

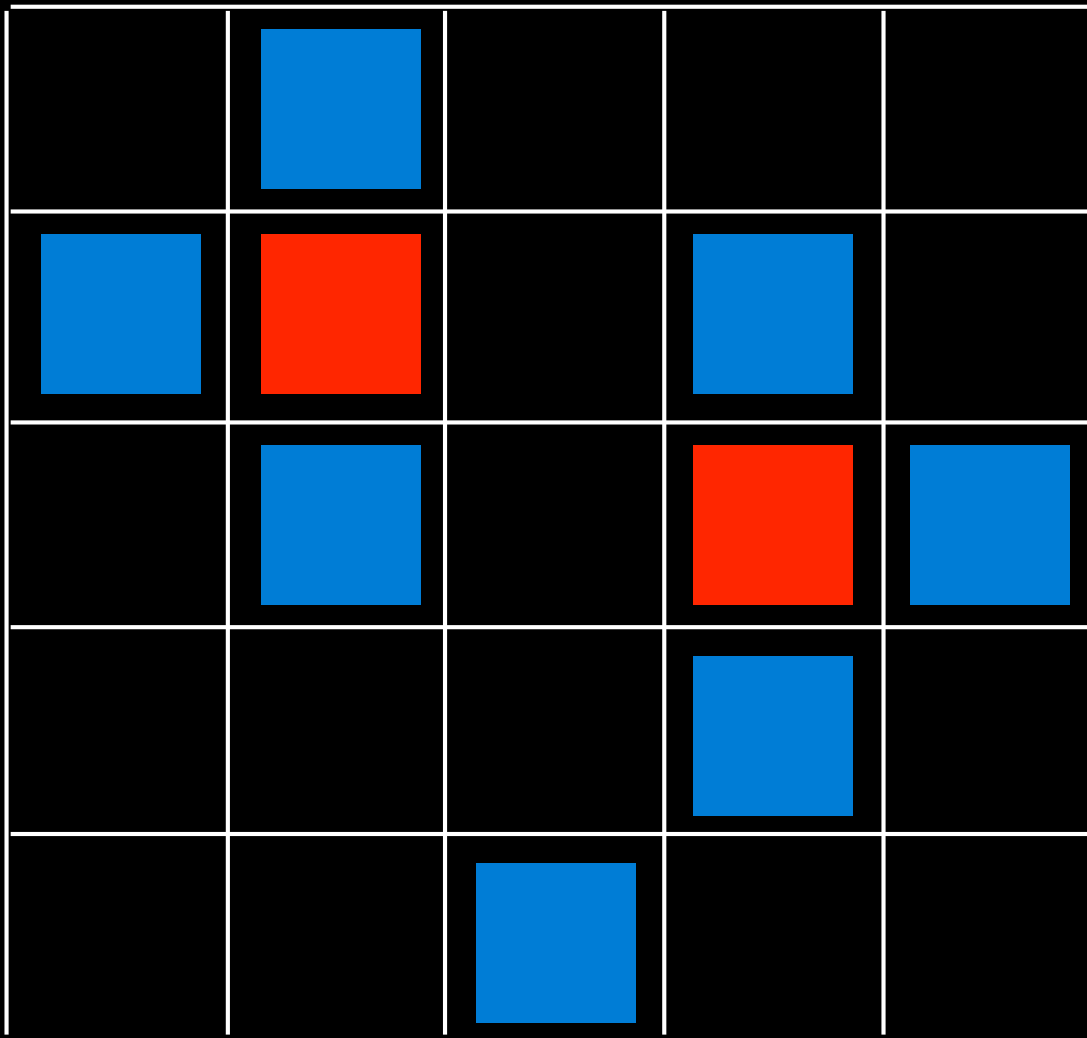
$$\begin{bmatrix} 0 & 1 & 0 & 0 & 0 \\ 1 & -1 & 0 & 1 & 0 \\ 0 & 1 & 0 & -1 & 1 \\ 0 & 0 & 0 & 1 & 0 \\ 0 & 0 & 1 & 0 & 0 \end{bmatrix}$$

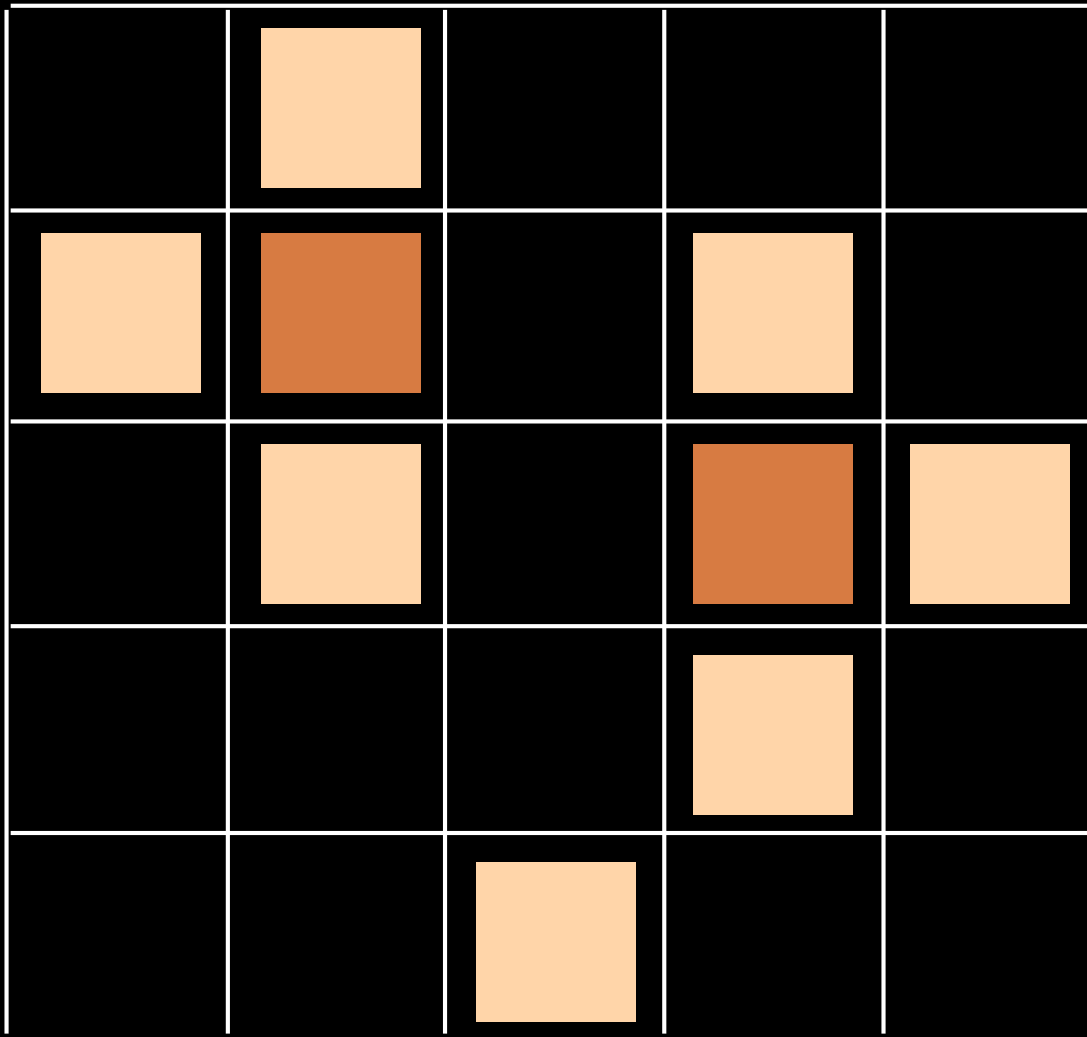
(i) entries: 0, 1, -1
(ii) sum of entries
in each row = 1
(iii) non-zero entries
alternate in
each {row column}

ASM

.	1
.	.	1
1	.	-1	.	1	.	.
.	.	.	1	-1	1	.
.	.	1	-1	1	.	.
.	.	.	1	.	.	.

Alternating
sign
matrices





Permutation σ

$$\sigma = \begin{pmatrix} 1 & 2 & 3 & 4 & 5 \\ 1 & 3 & 5 & 2 & 4 \end{pmatrix}$$

$$\begin{pmatrix} 1 & 0 & 0 & 0 & 0 \\ 0 & 0 & 1 & 0 & 0 \\ 0 & 0 & 0 & 0 & 1 \\ 0 & 1 & 0 & 0 & 0 \\ 0 & 0 & 0 & 1 & 0 \end{pmatrix}$$

$$\begin{pmatrix} 0 & 1 & 0 \\ 1 & -1 & 1 \\ 0 & 1 & 0 \end{pmatrix}$$

+ 6 permutations

1, 2, 7, 42, 429, ...

1, 2, 7, 42, 429, ...

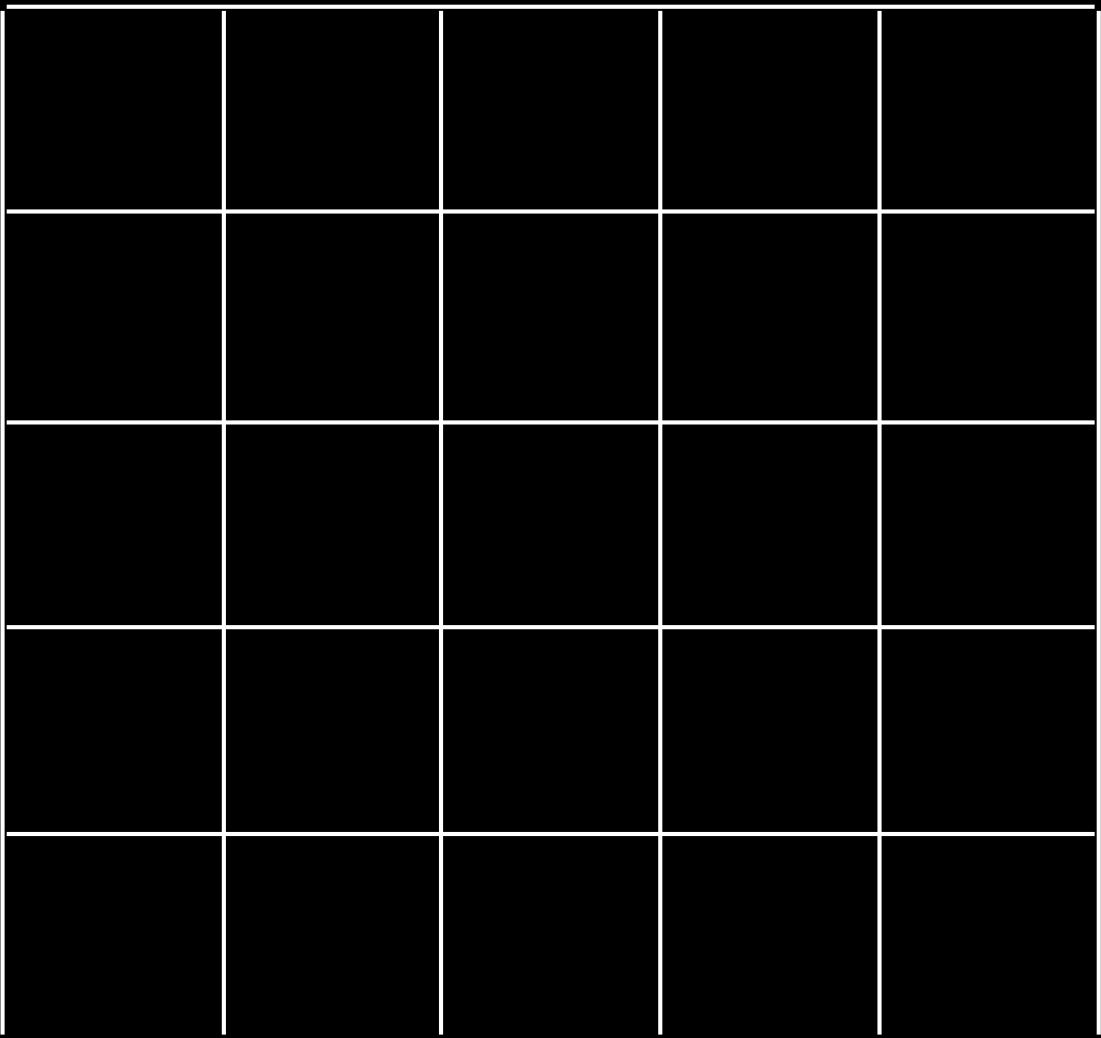
$$\frac{1! \ 4!}{n! (n+1)}$$



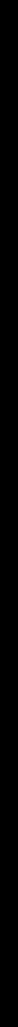
$$\frac{(3n-2)!}{(n+n-1)!}$$

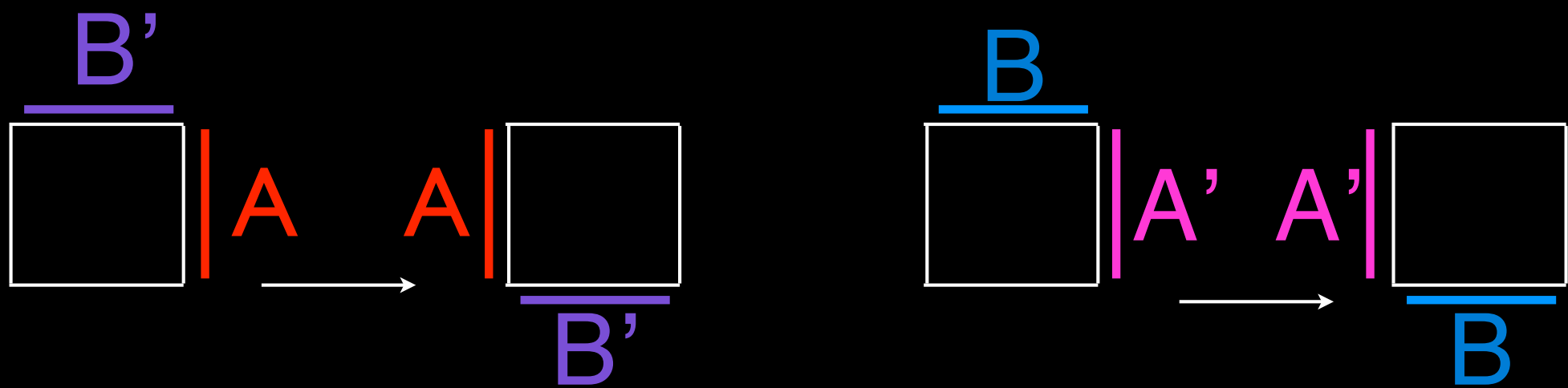
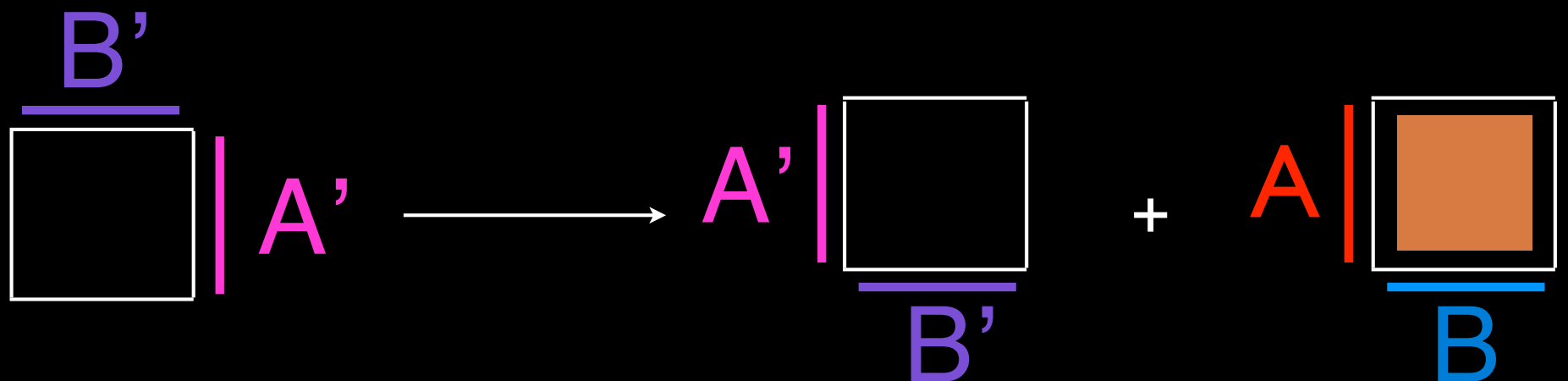
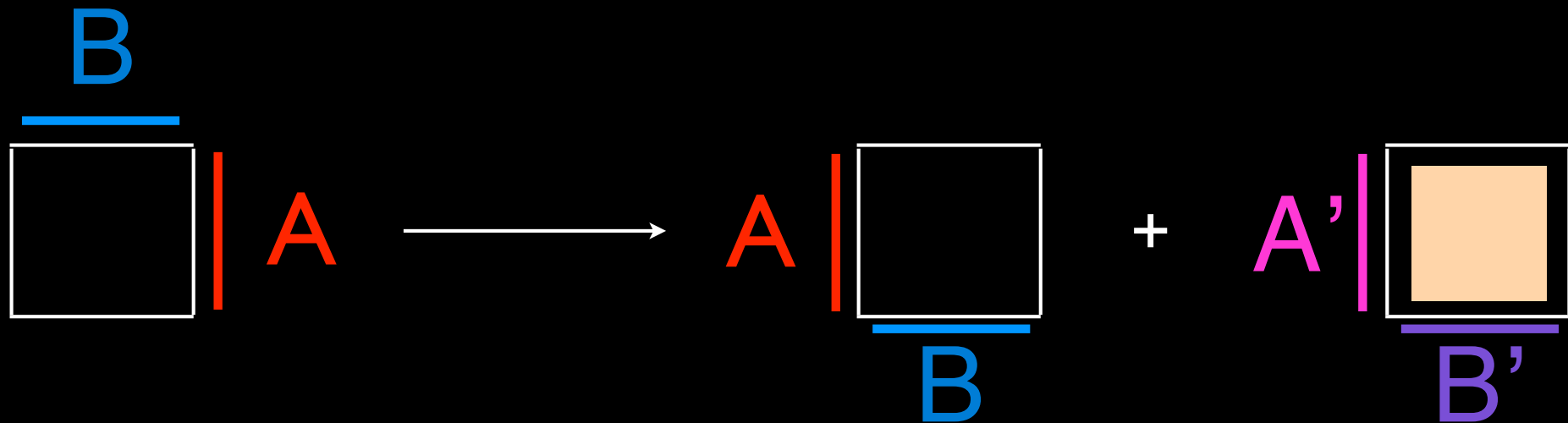
alternating sign matrices (ex-) conjecture
Mills, Robbins, Rumsey (1982)

B

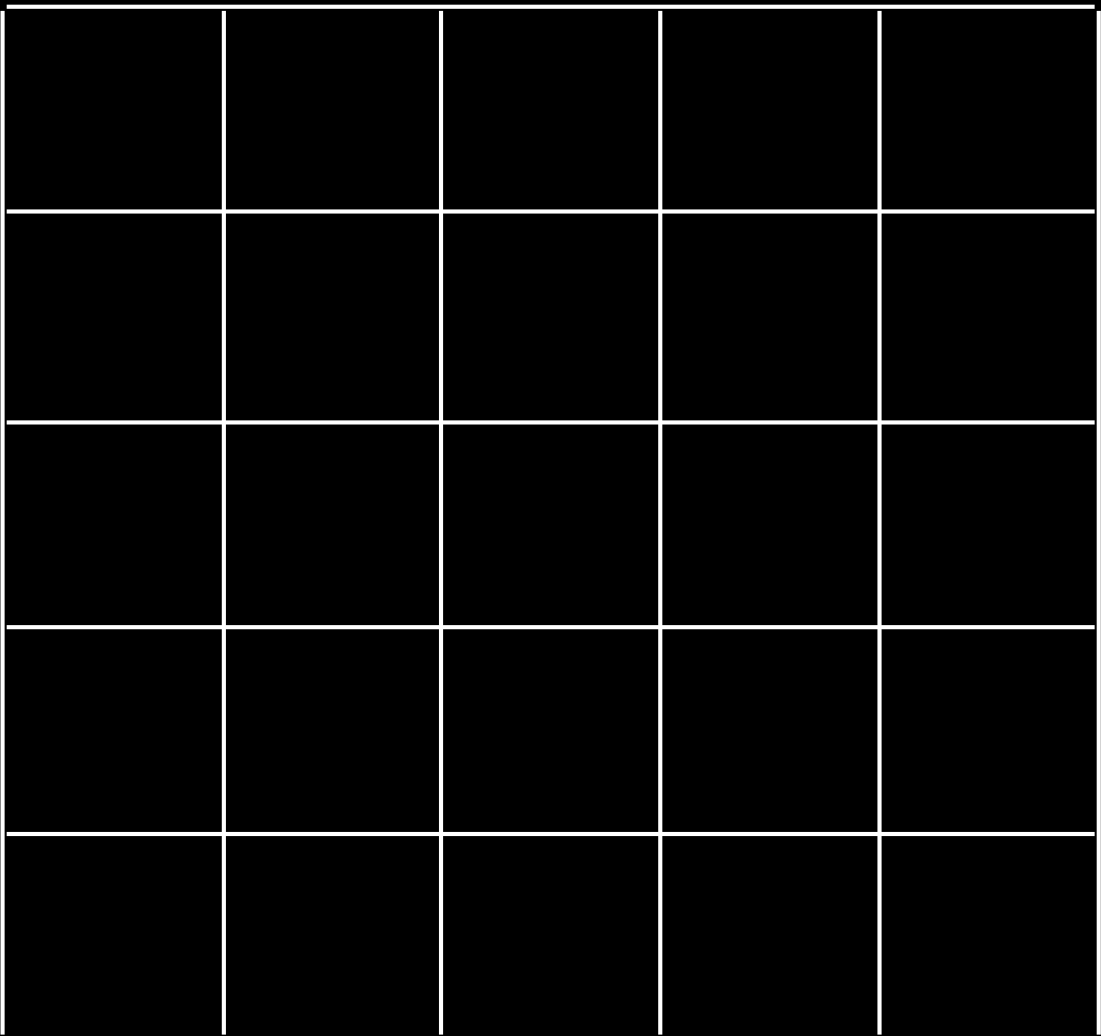


A





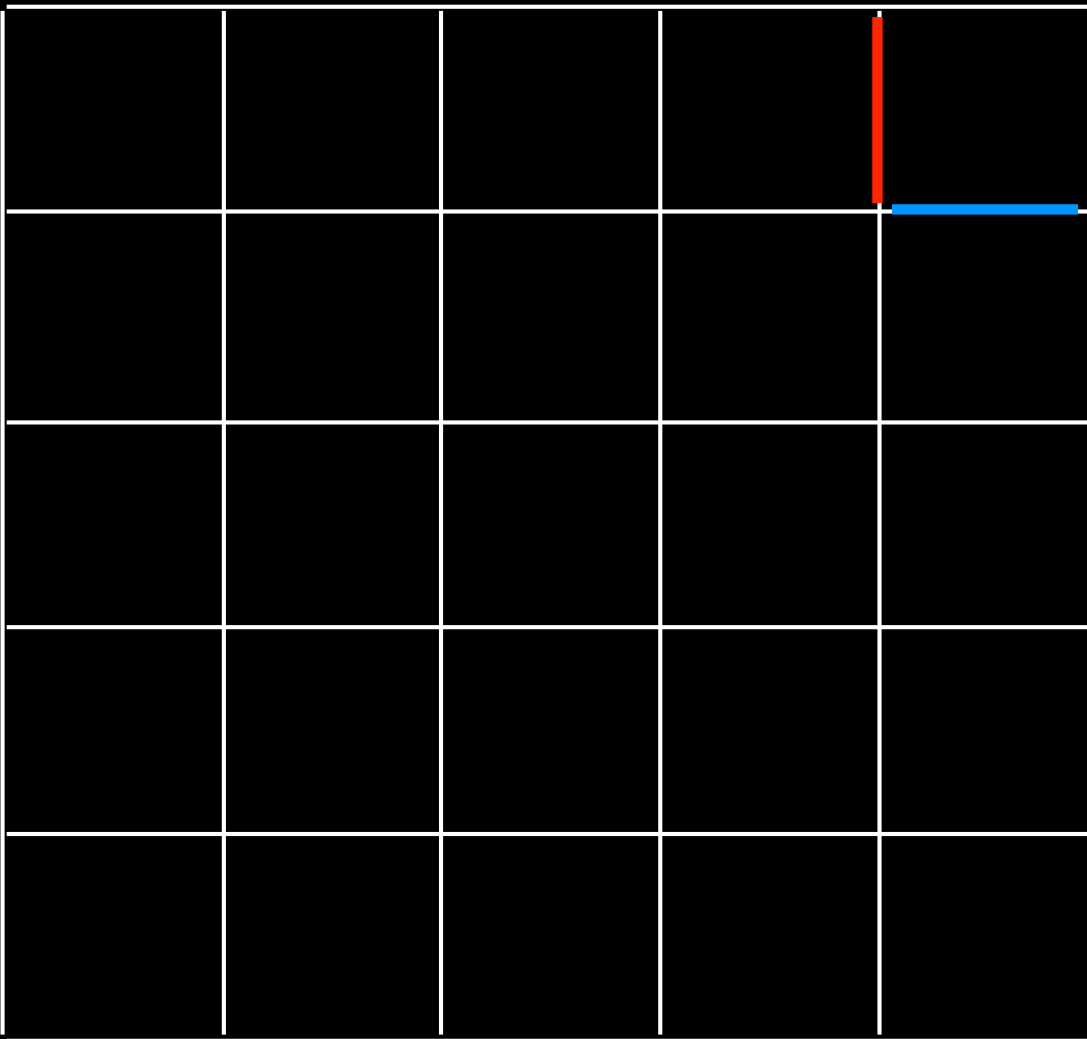
B



A

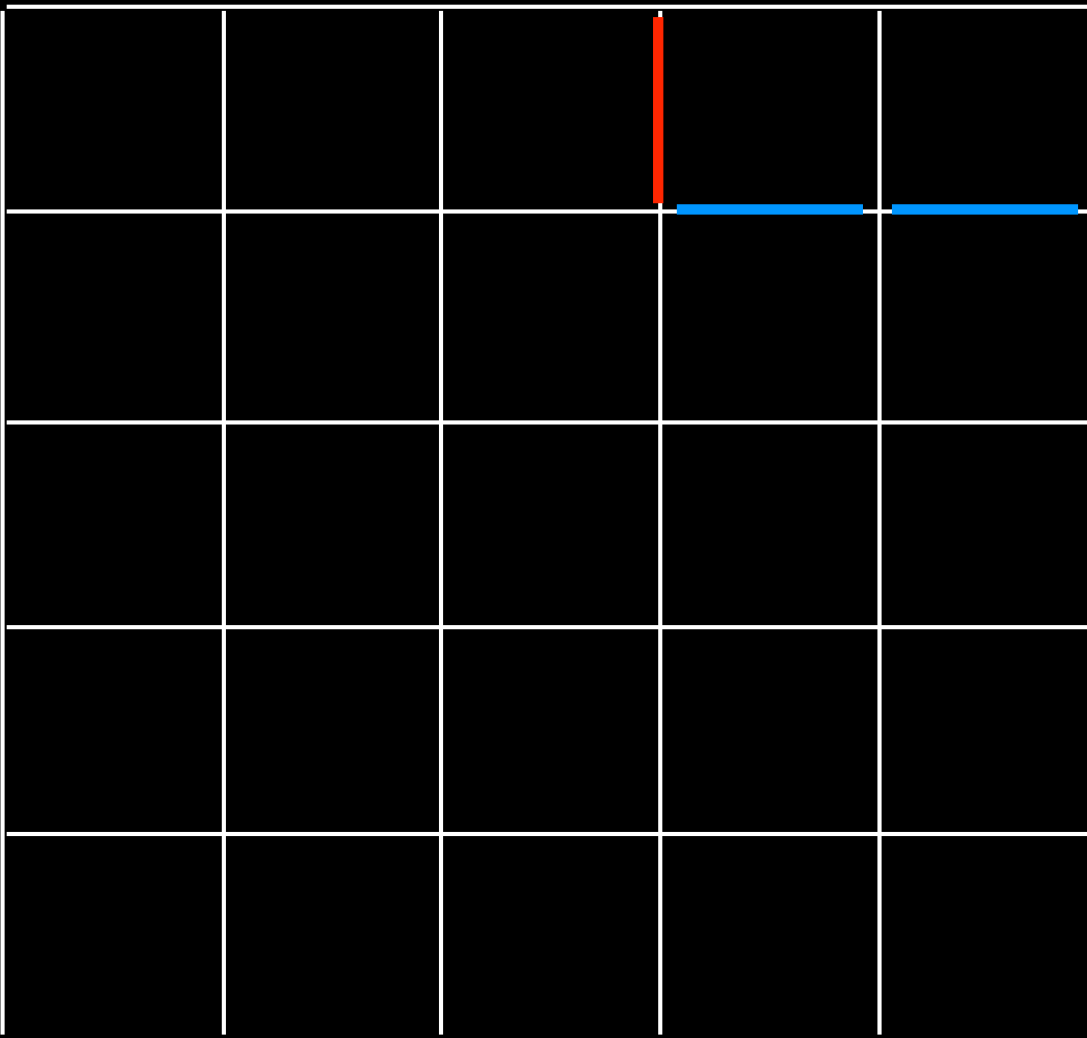


B



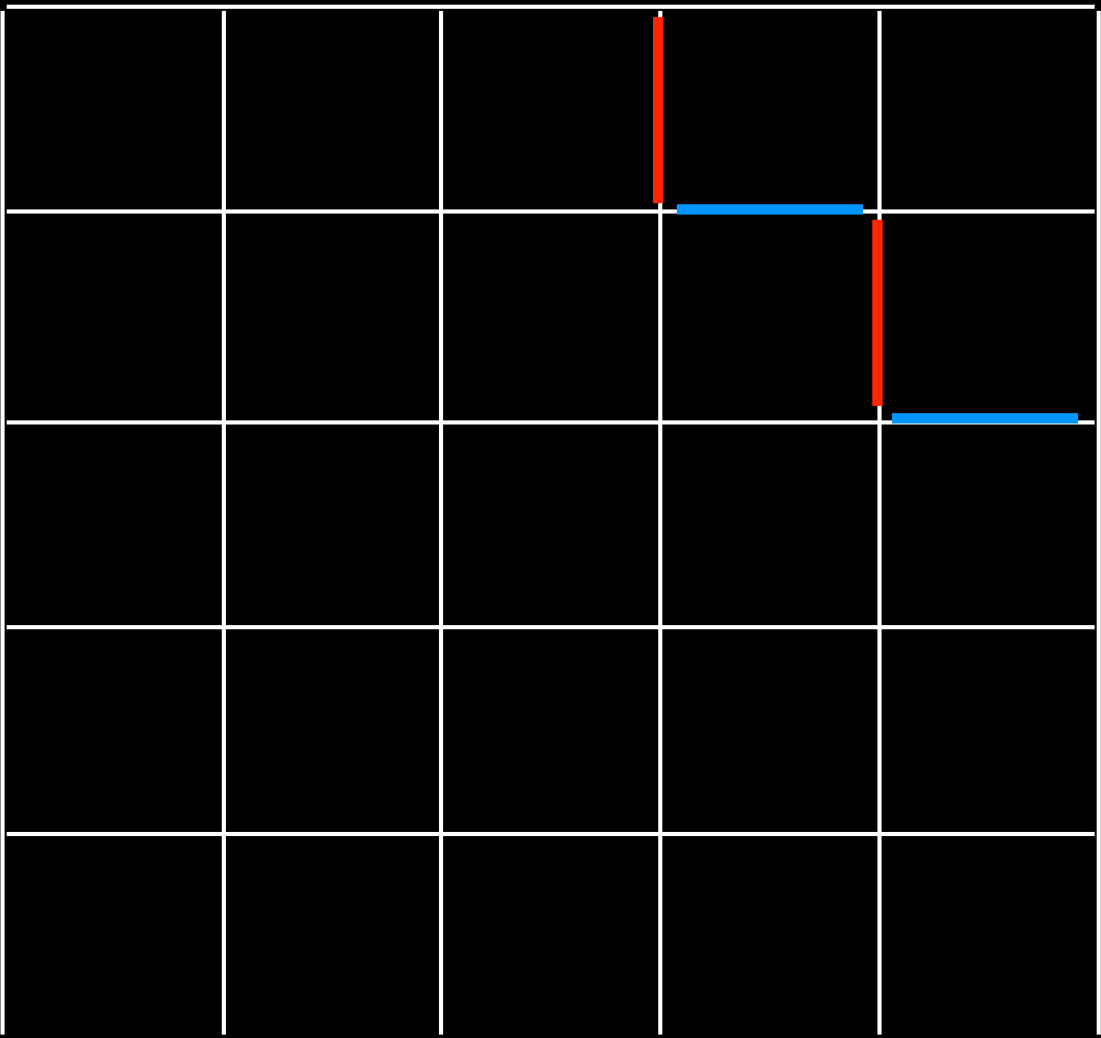
A

B



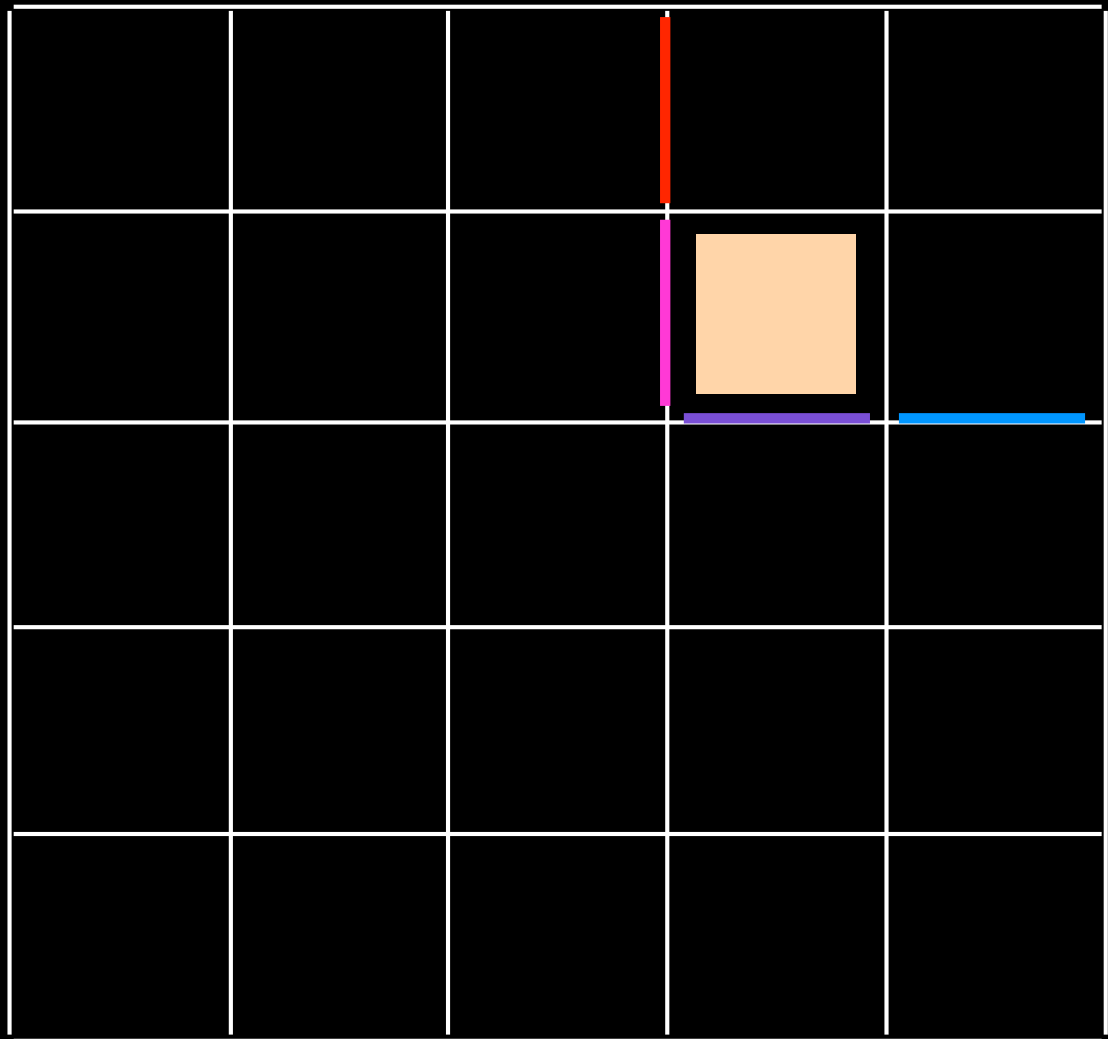
A

B



A

A' |

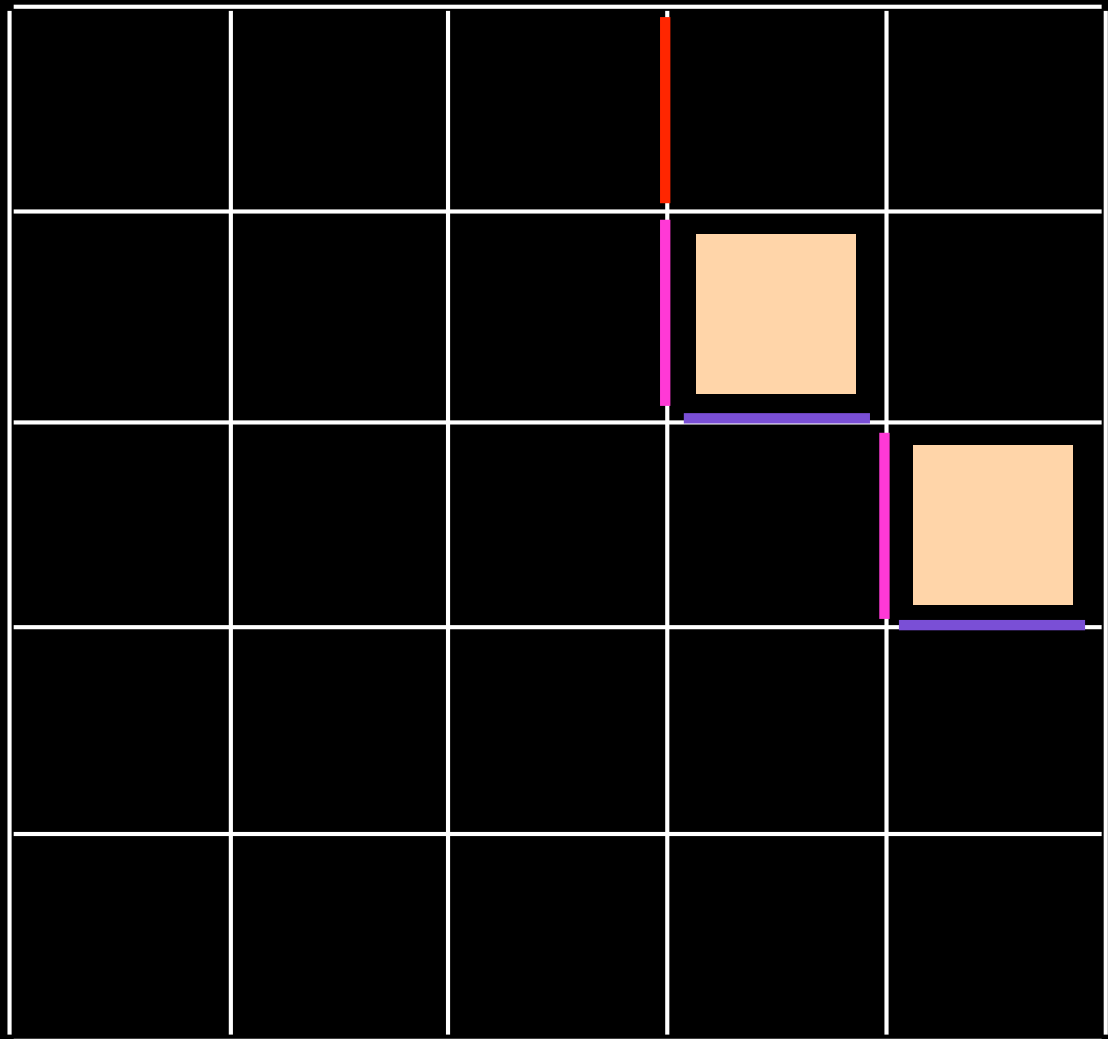


B

A

—
B'

A'

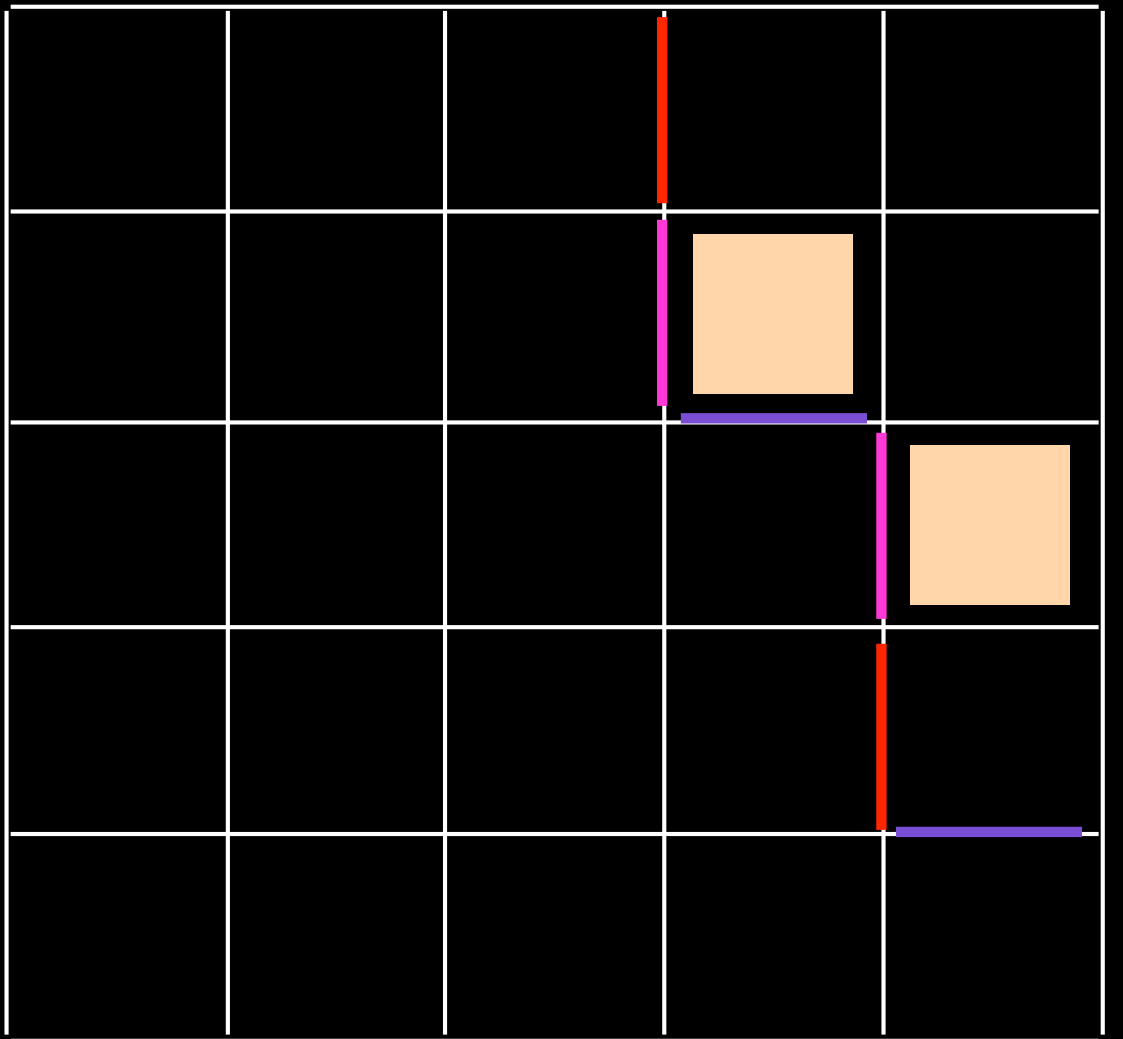


B

A

B'

A'

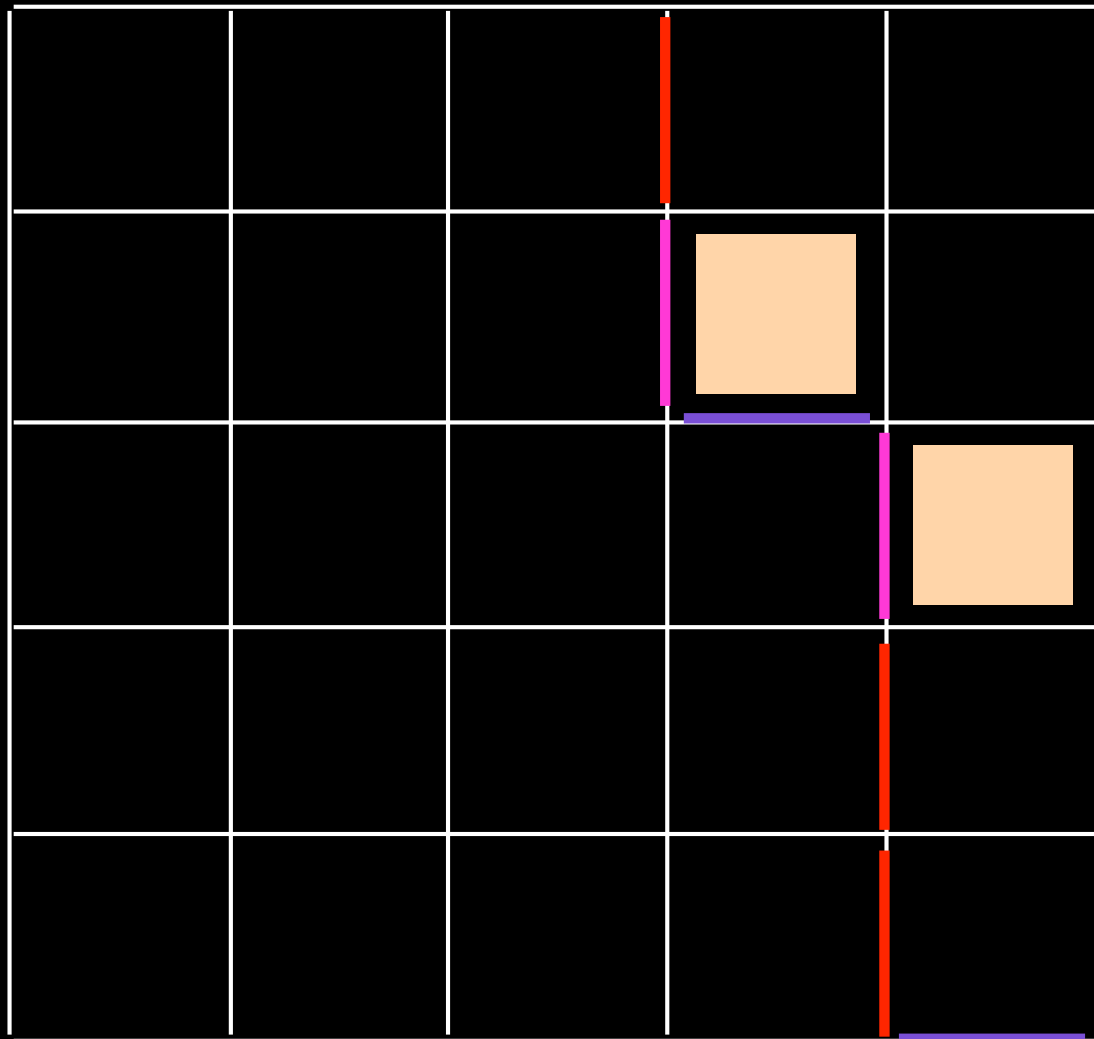


B

A

B'

A'

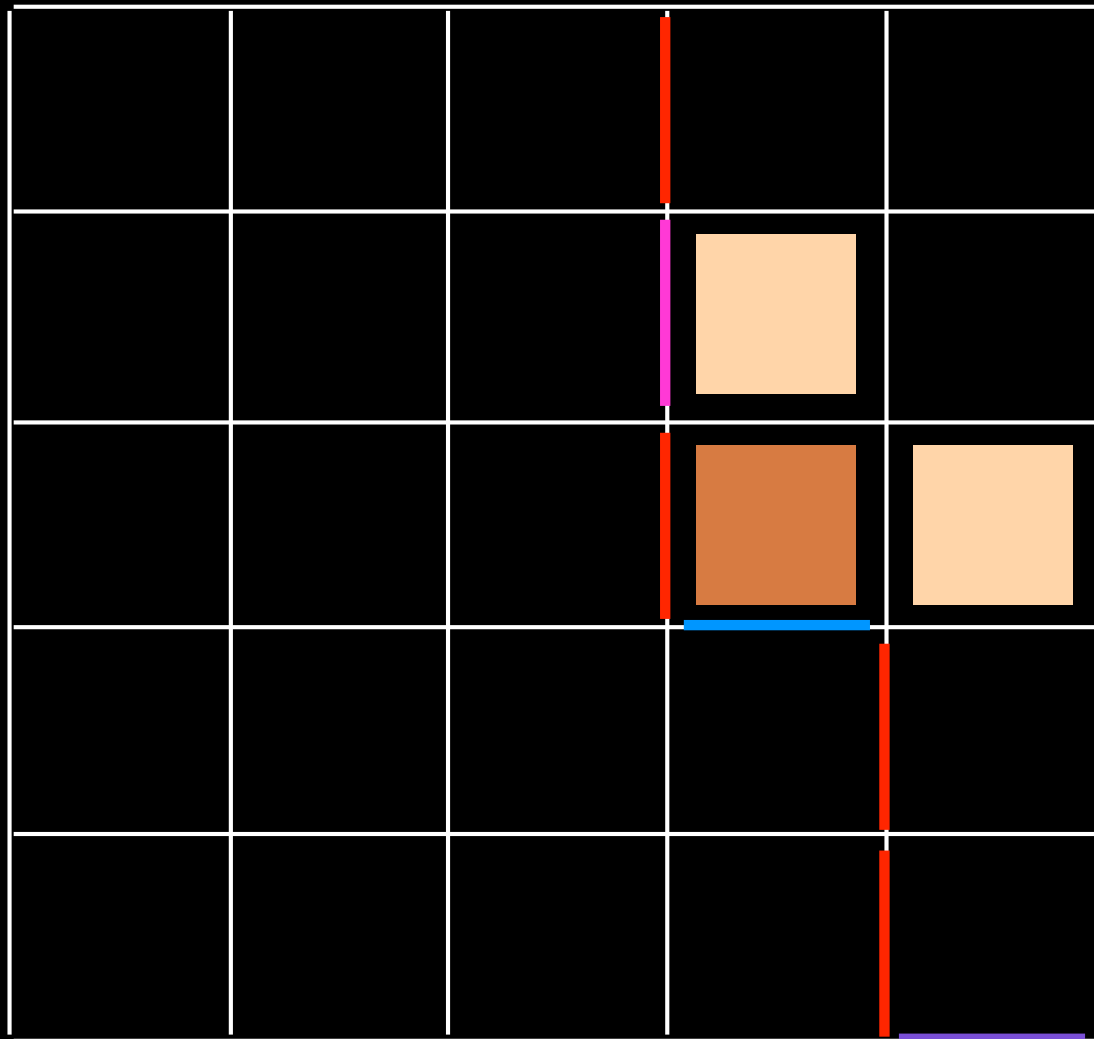


B

A

B'

A'

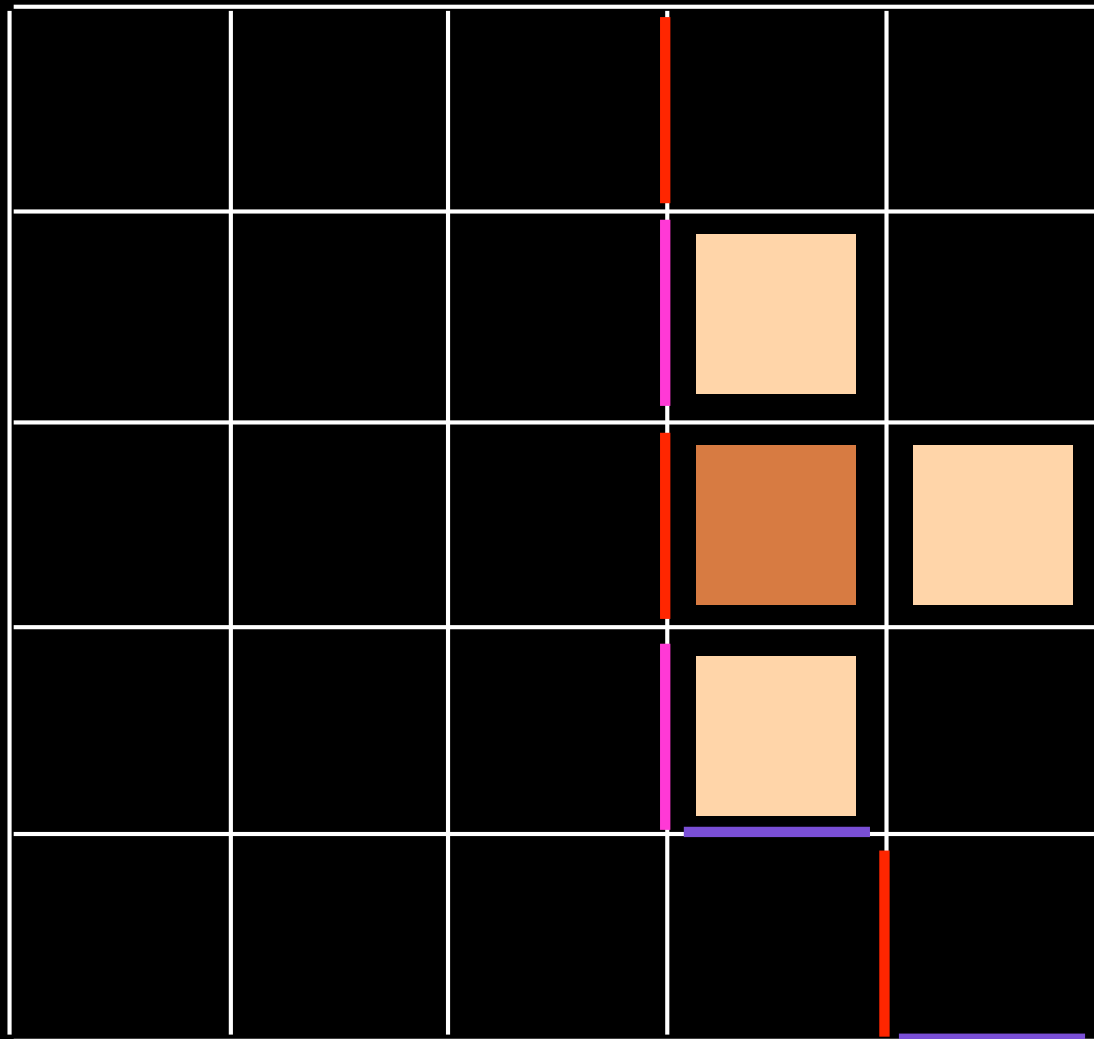


B

A

B'

A' |

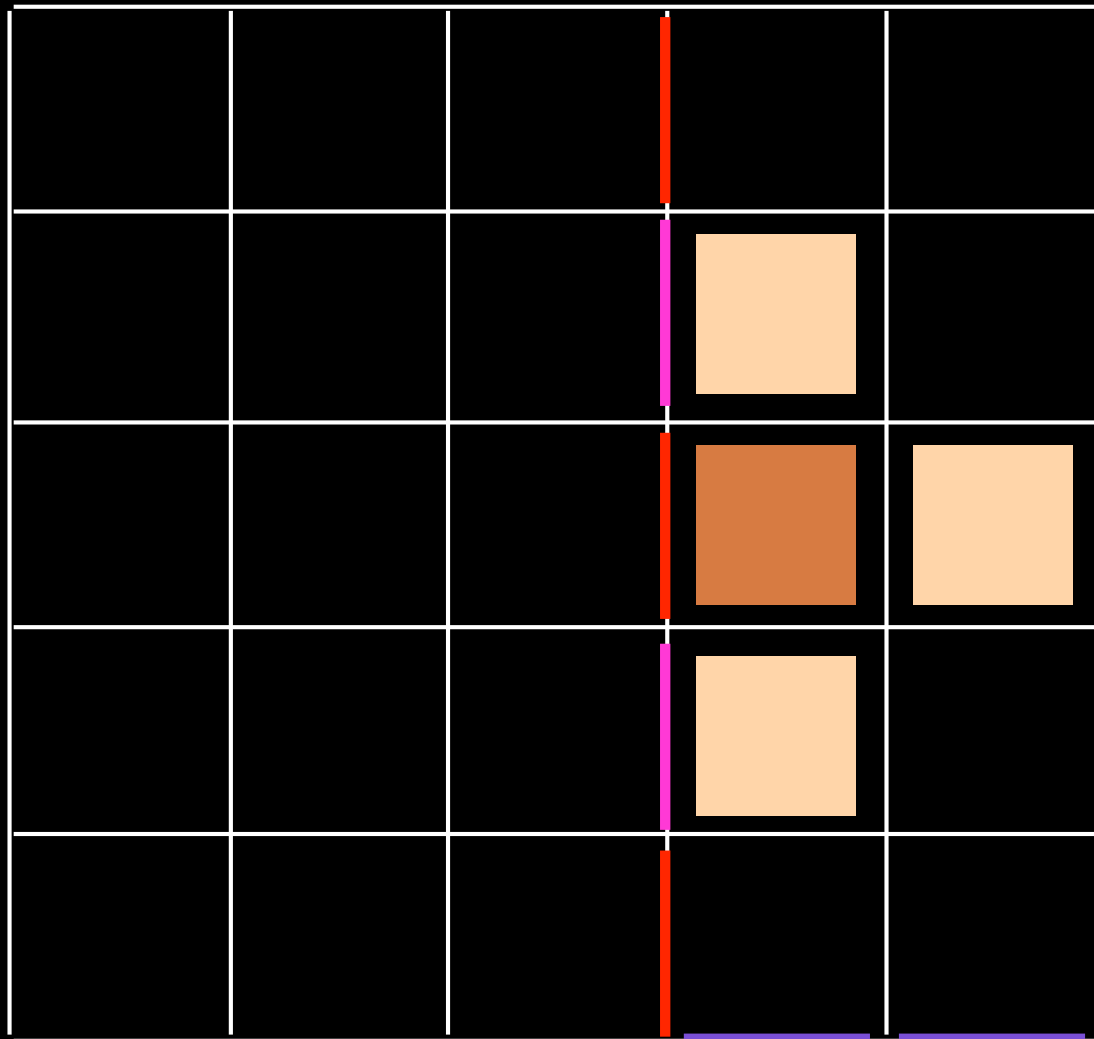


B

A

B'

A' |



B

A

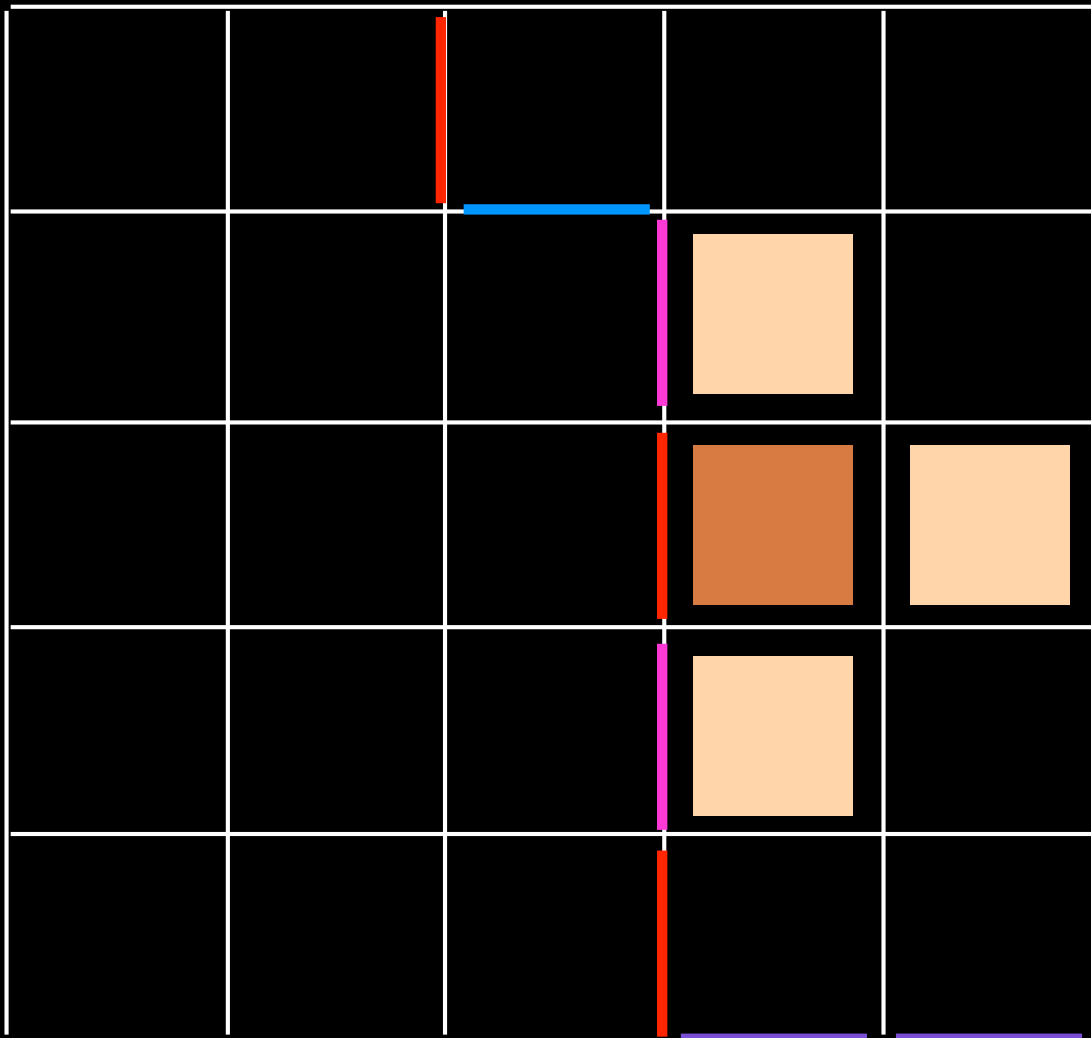
B'

B

A

A'

B'

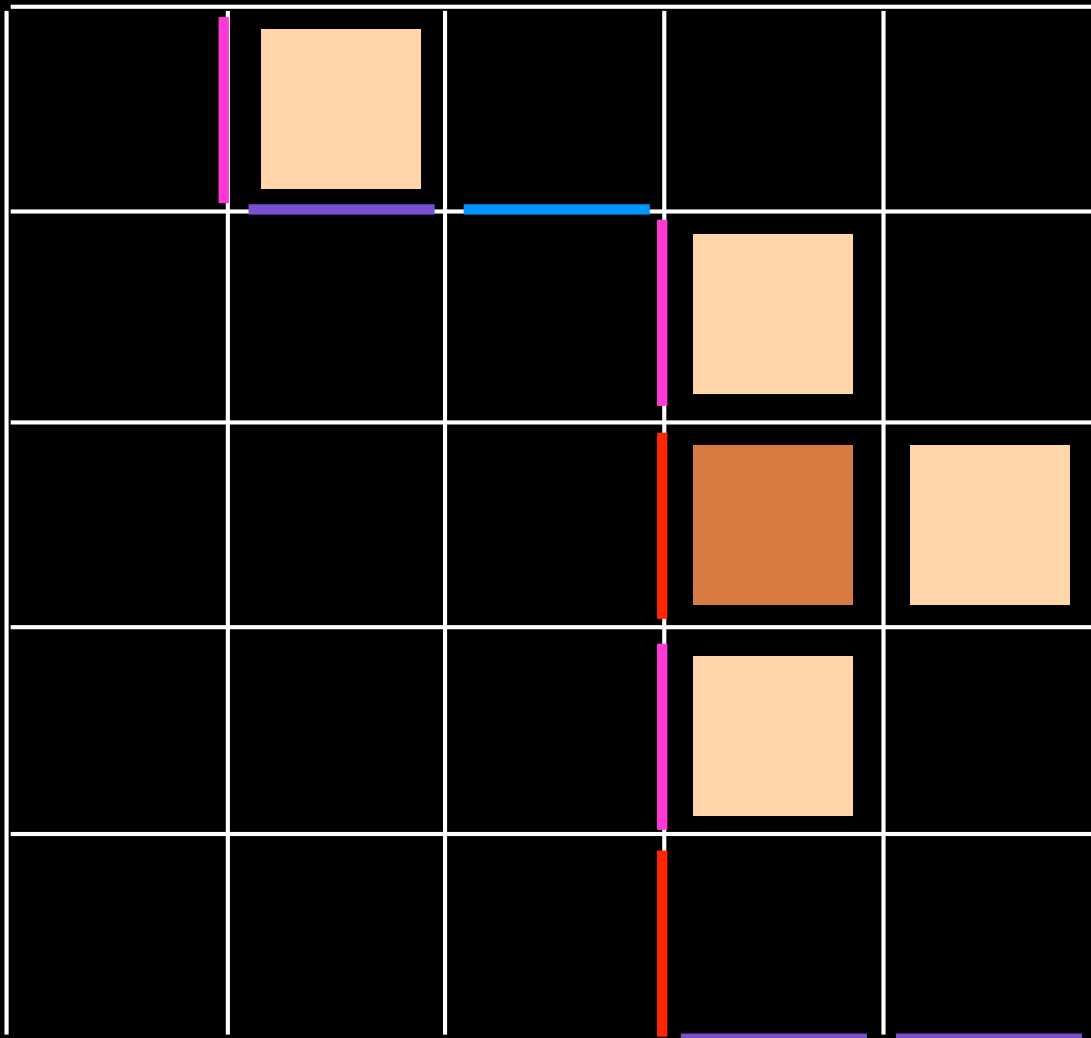


B

A

A'

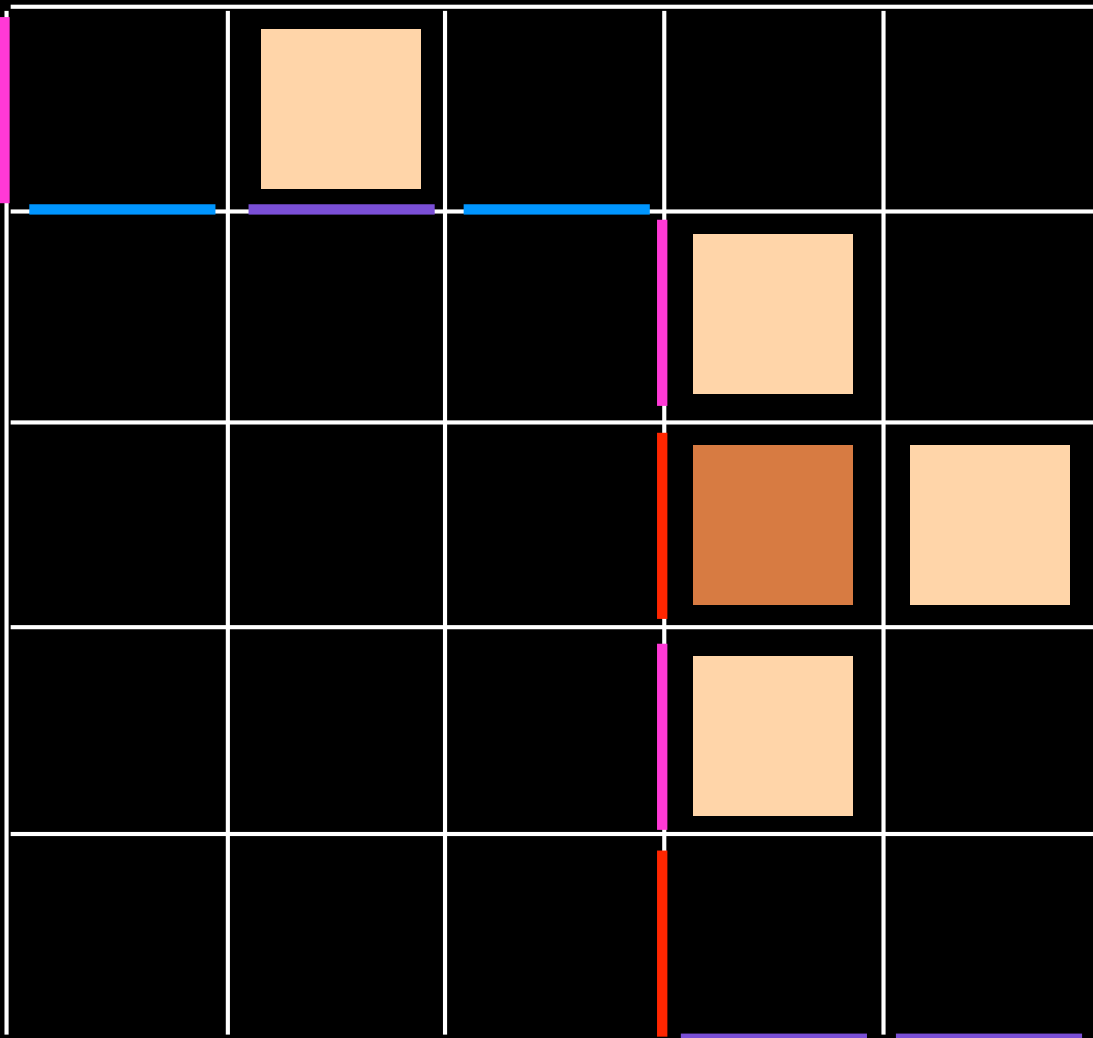
B'



B

A

A'



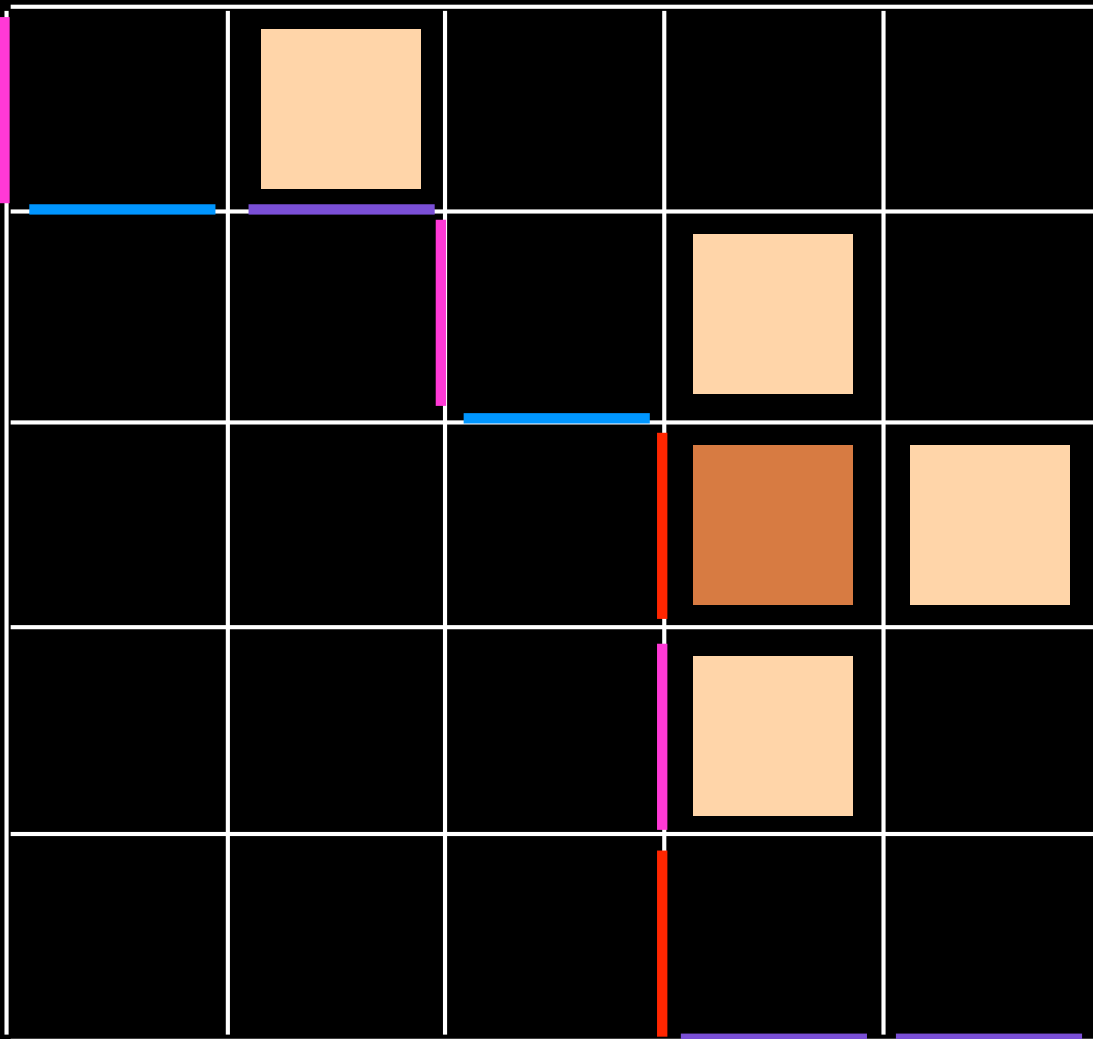
B'

B

A

A'

B'



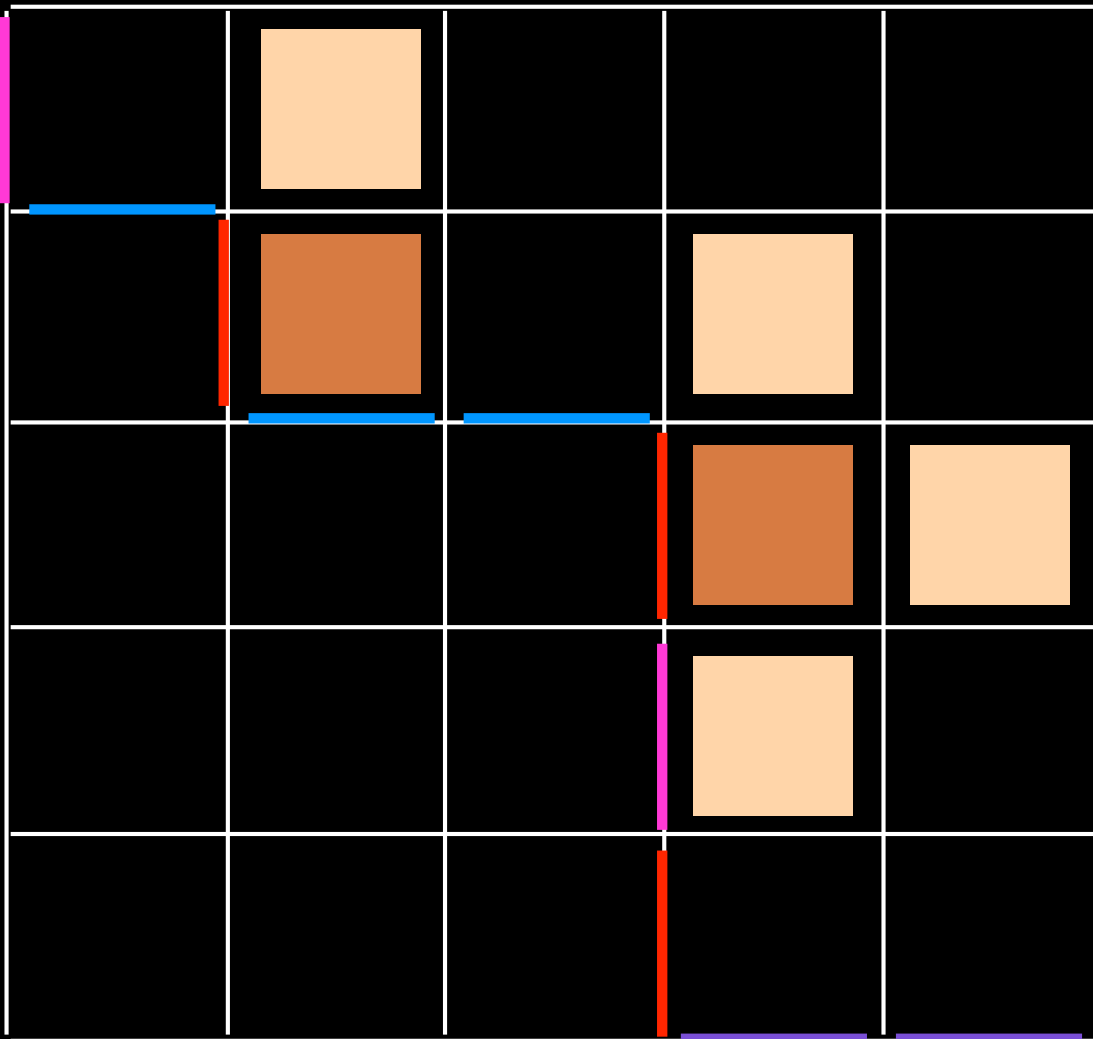
—

B

A

A'

B'



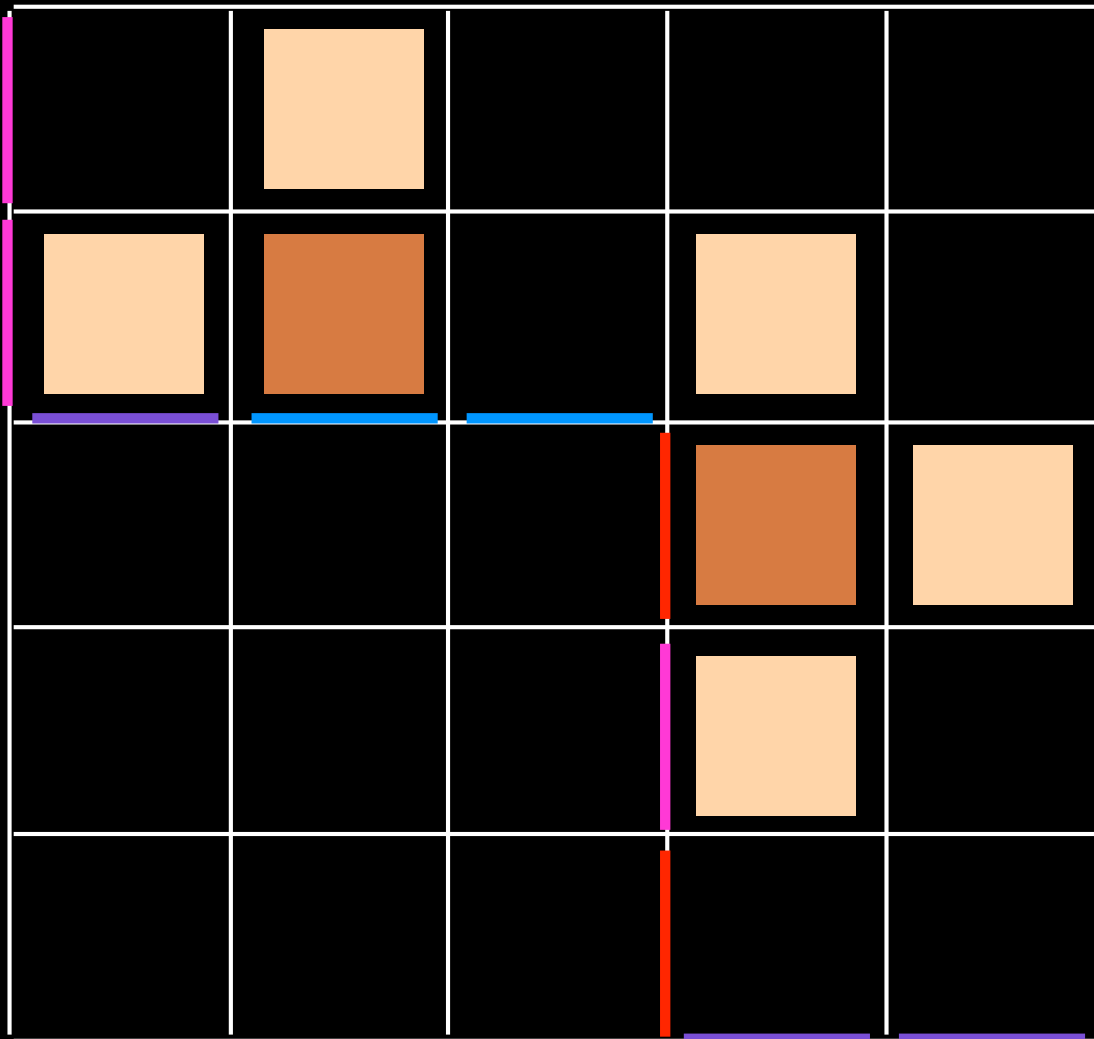
—

B

A

A'

B'



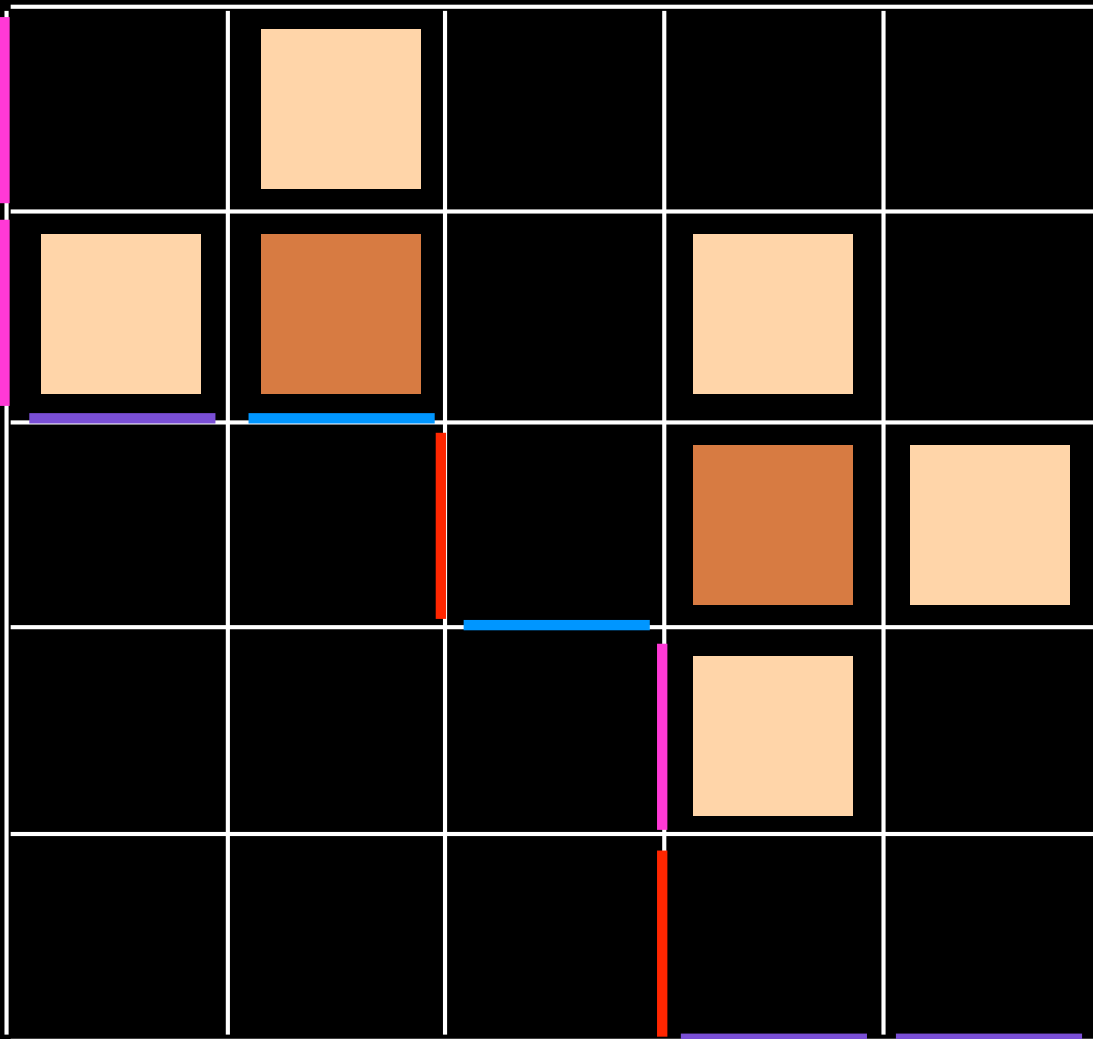
—

B

A

A'

B'



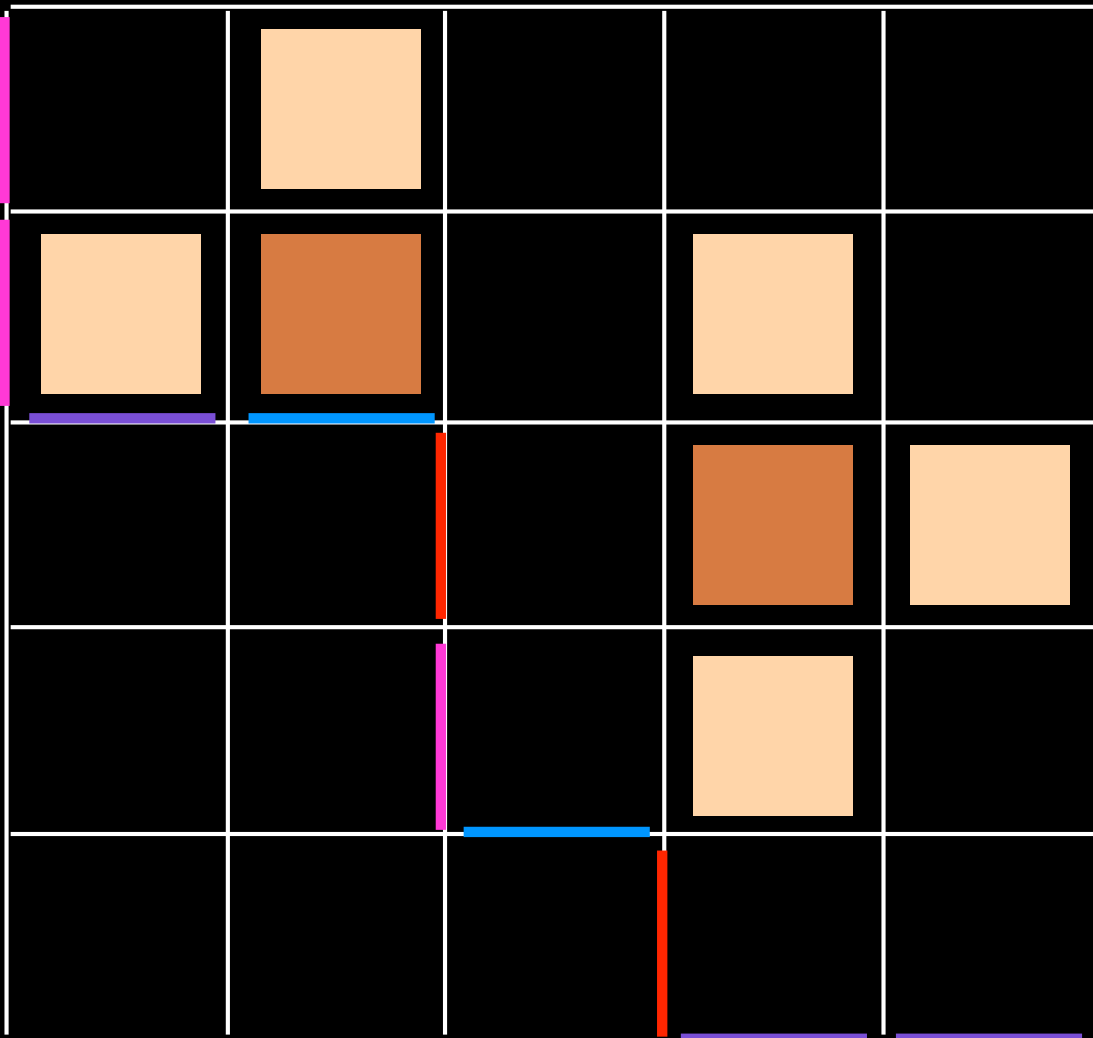
—

B

A

A'

B'



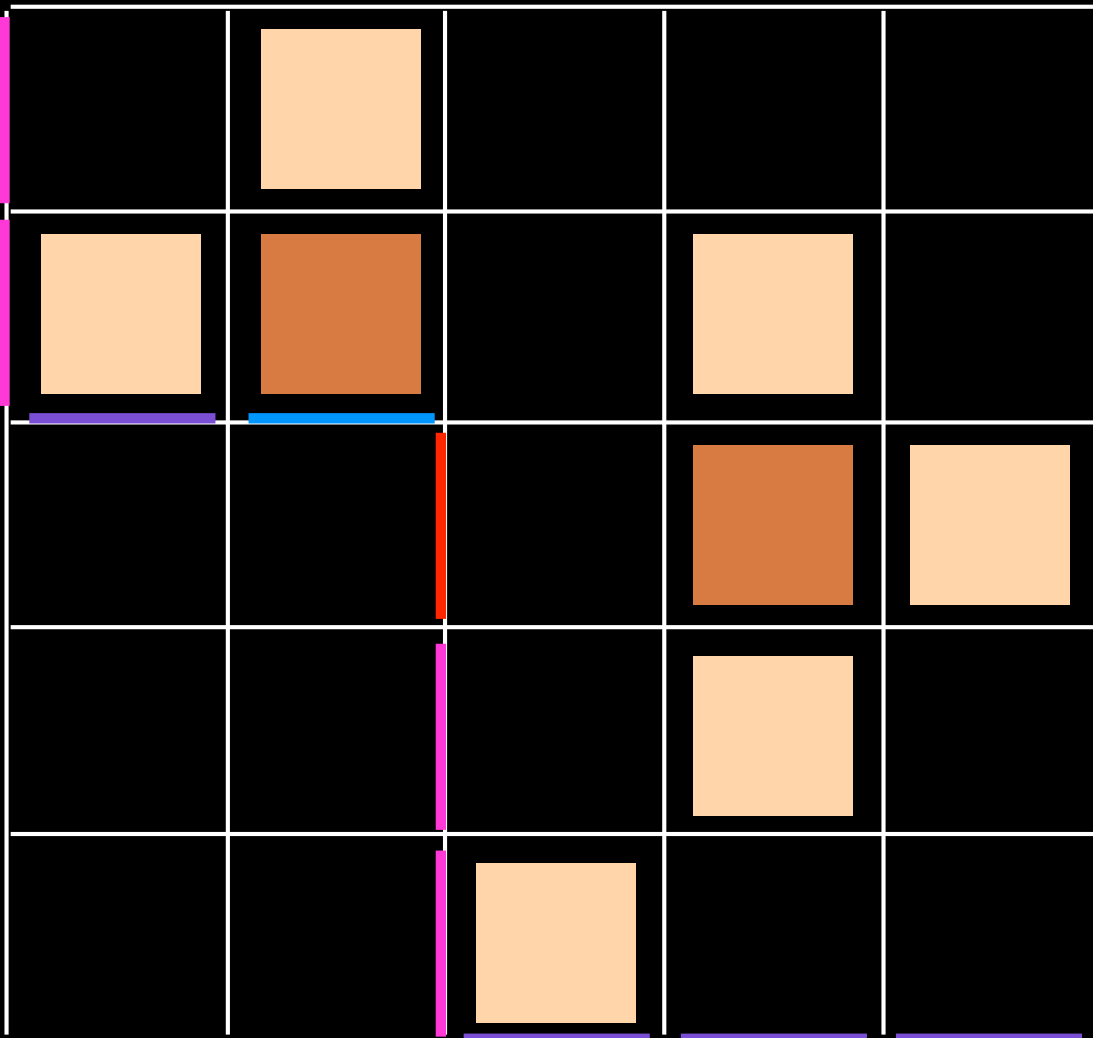
—

B

A

A'

B'



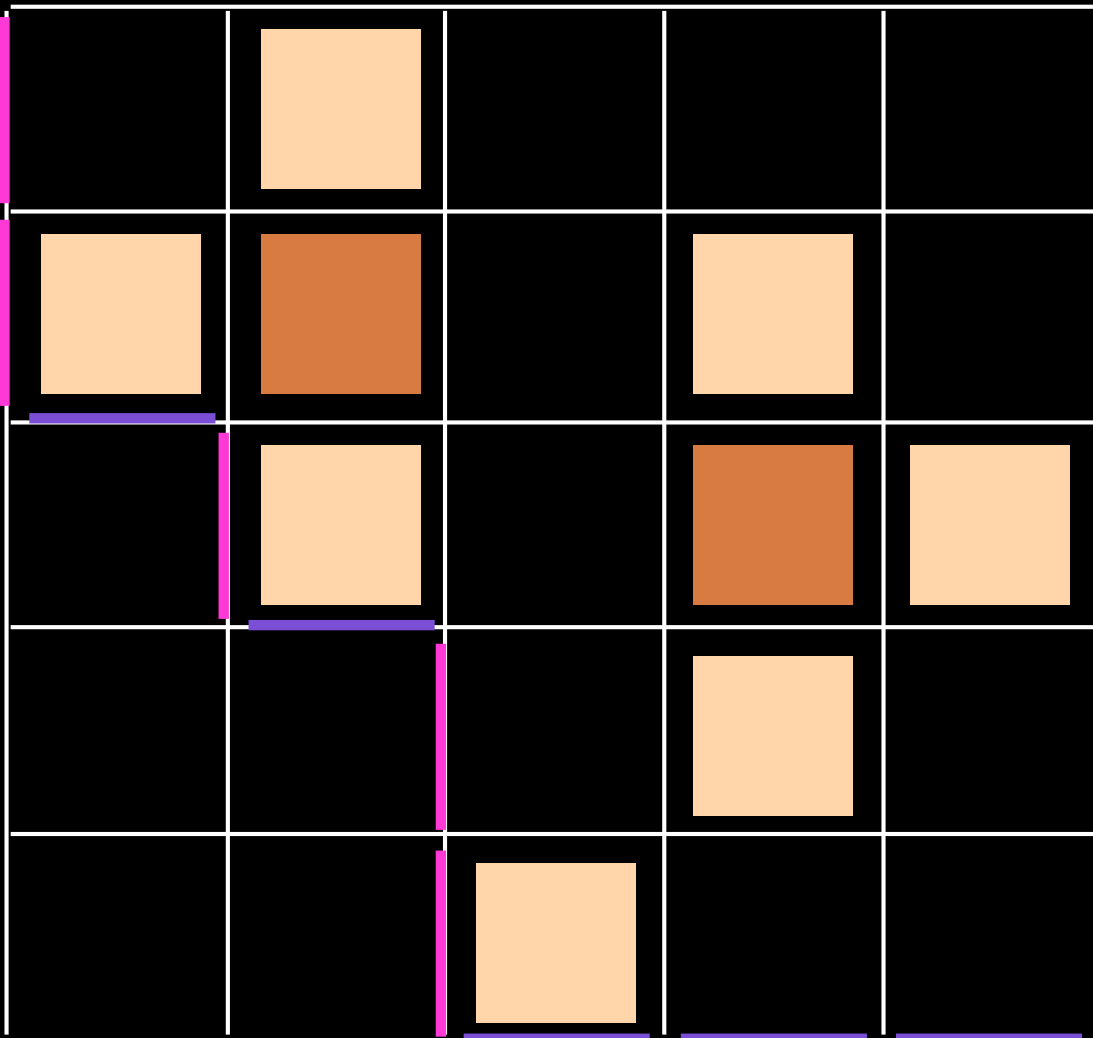
—

B

A

A'

B'



—

B

A

A'

B'



B'

B

A

A'

B'



B'

B

A

A'

B'

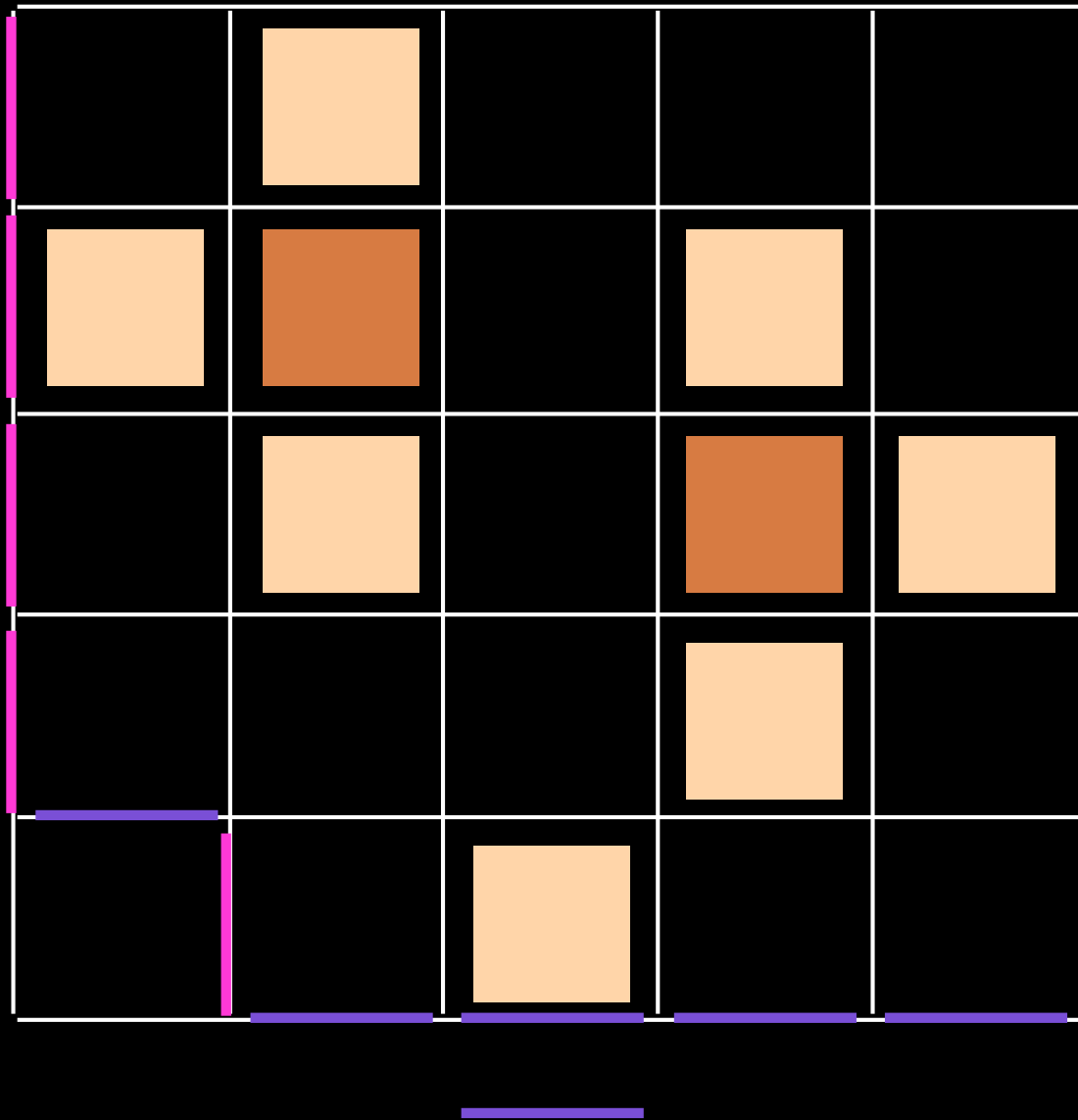
—

B

A

A'

B'

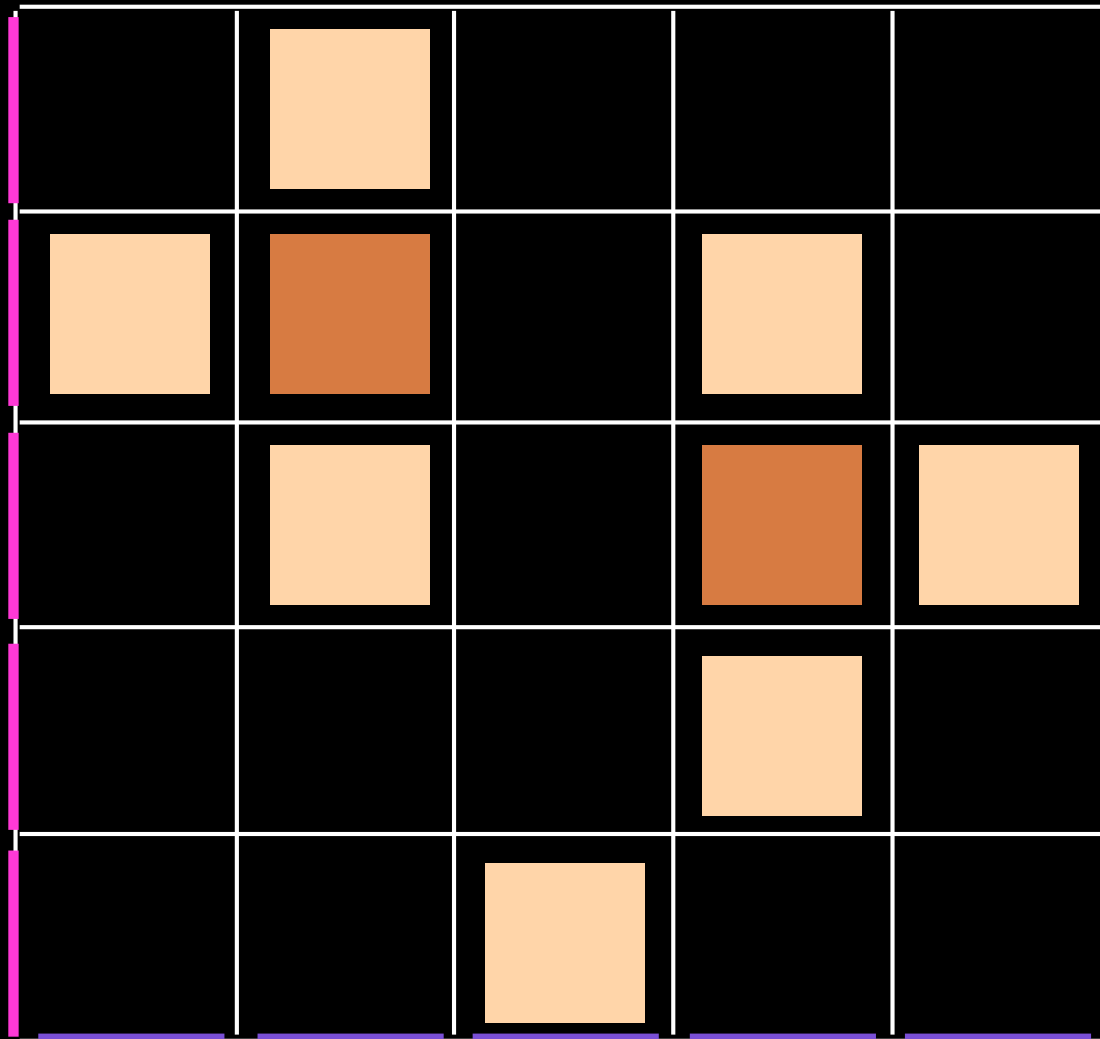


B

A

A'

B'



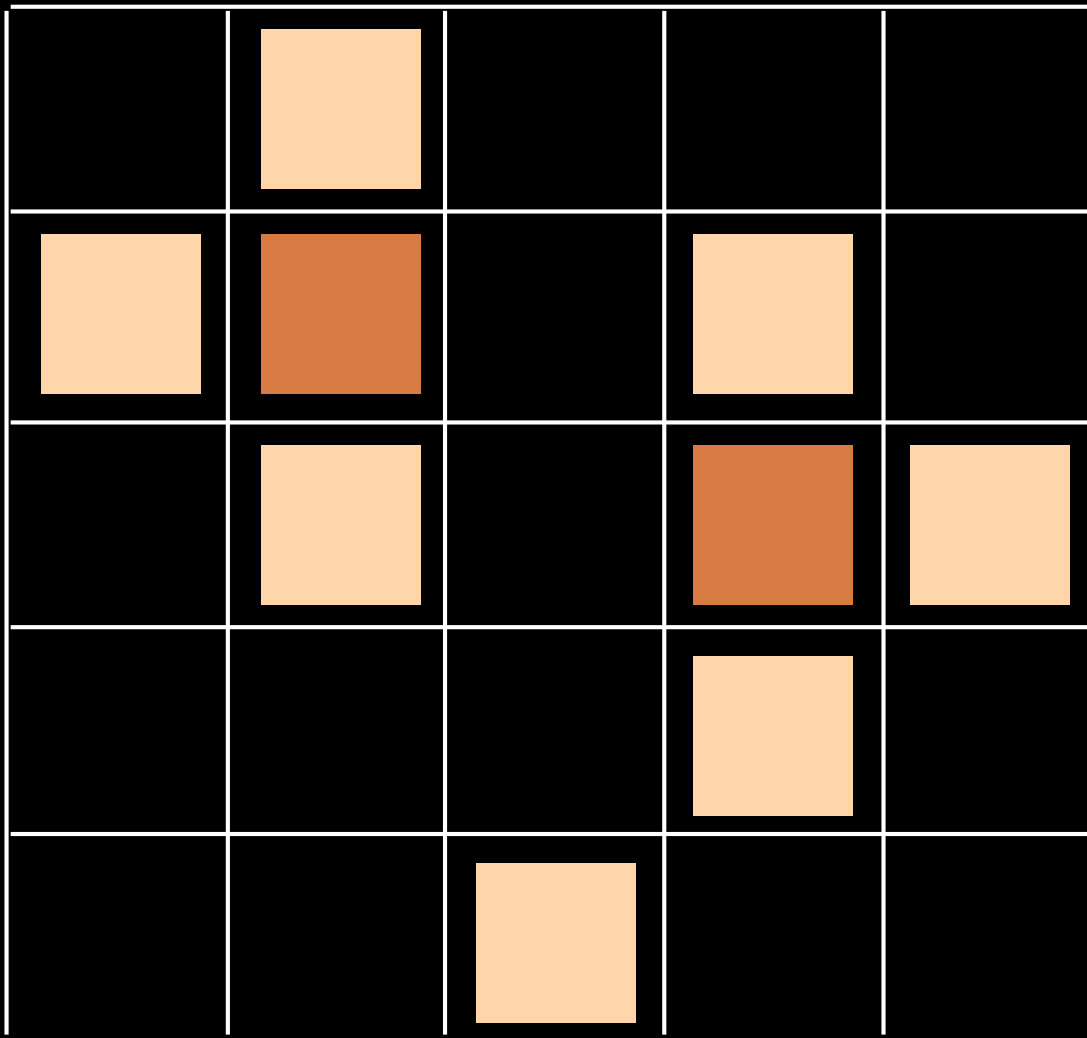
—

A'

B

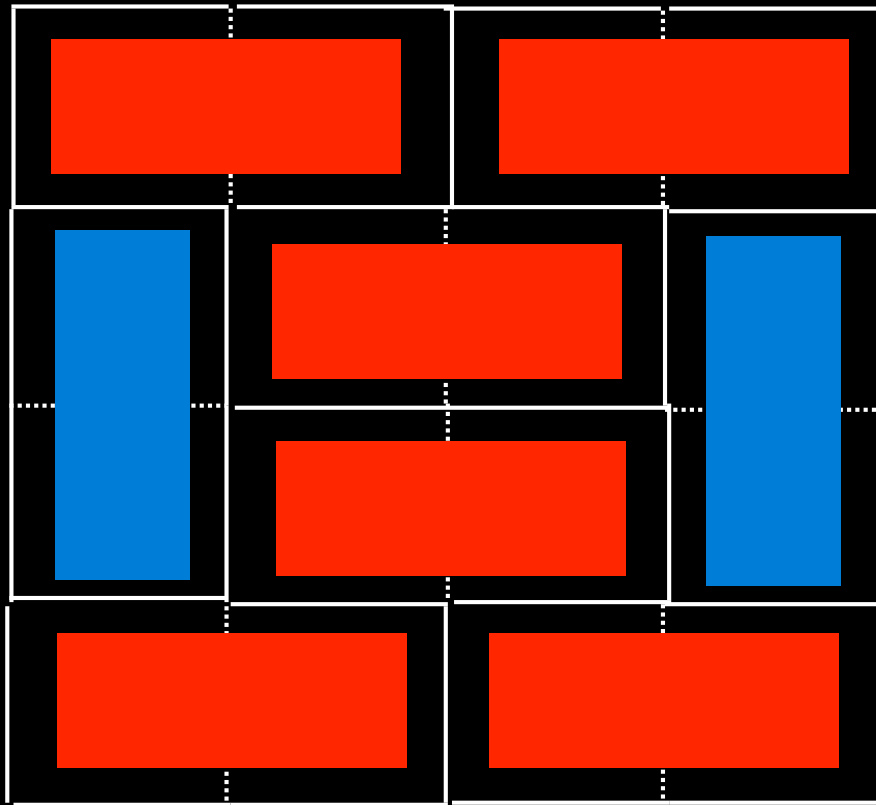
A

B'



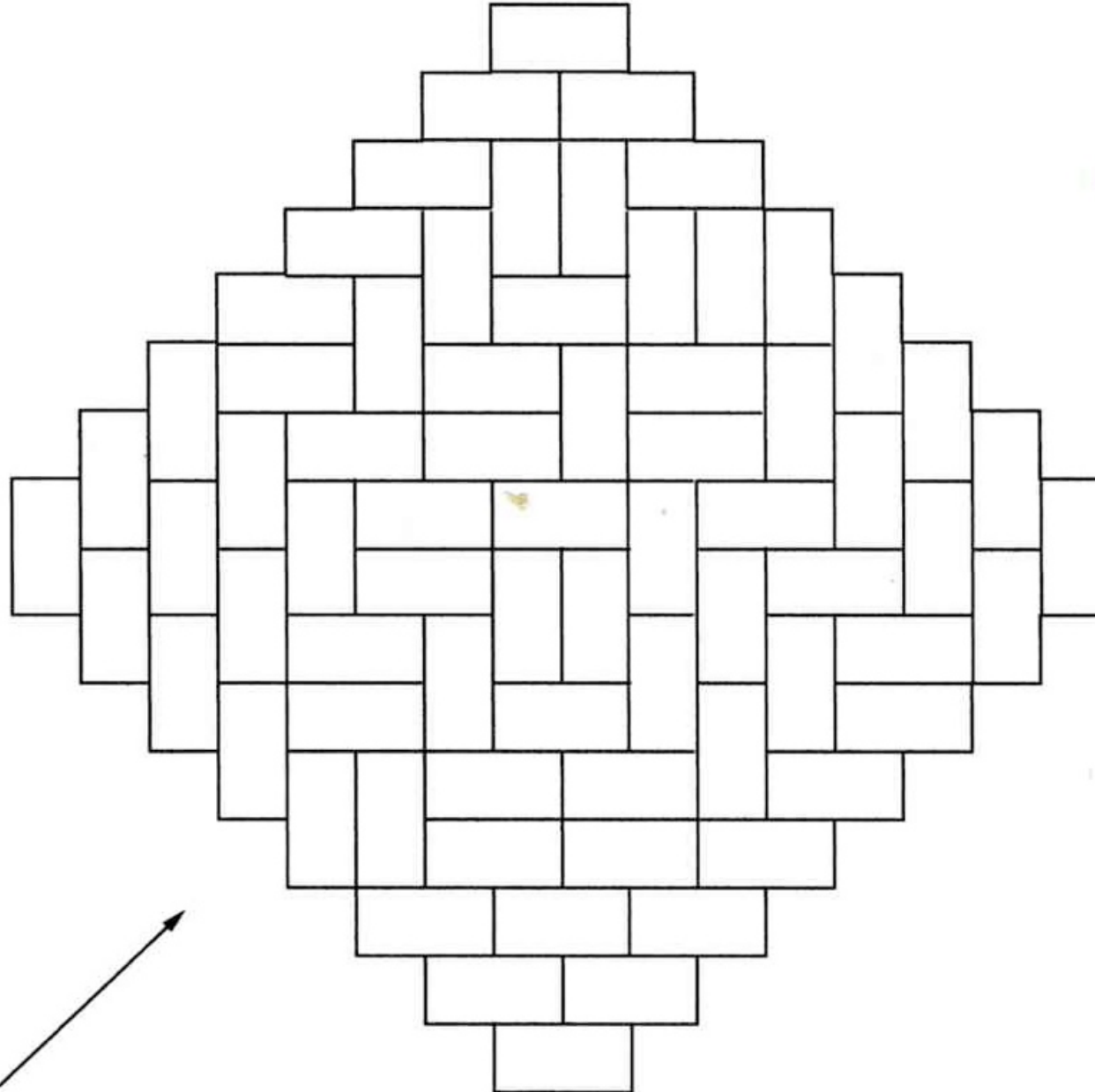
Planar automata

other examples



a tiling
on the
square lattice

$$2^{n(n-1)/2}$$



Elkies,
Kuperberg,
Larsen,
Propp
(1992)

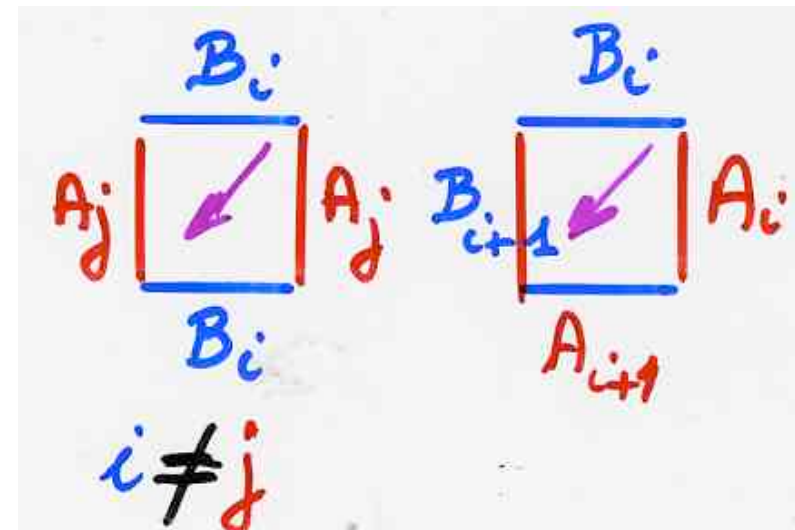
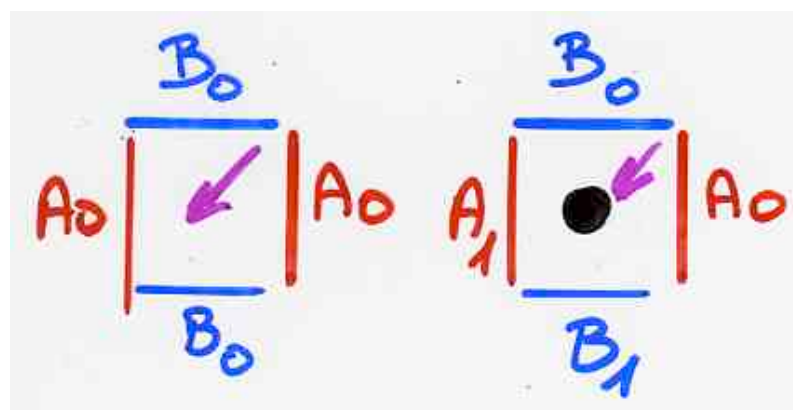
The "RSK planar automaton"

$$\mathcal{B} = \{B_0, B_1, \dots, B_k\}$$

$$\mathcal{A} = \{A_0, A_1, \dots, A_k\}$$

$$w \in \{B_0, A_0\}^*$$

$$S = \{\square, \blacksquare\}$$



$$\sigma = \begin{pmatrix} 1 & 2 & 3 & 4 & 5 & 6 & 7 & 8 & 9 & 10 \\ 3 & 1 & 6 & 10 & 2 & 5 & 8 & 4 & 9 & 7 \end{pmatrix}$$

6	10			
3	5	8		
1	2	4	7	9

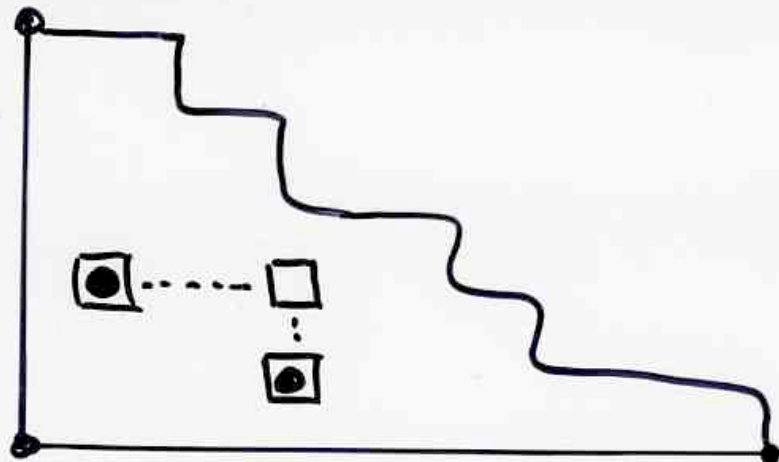
P

8	10			
2	5	6		
1	3	4	7	9

Q

The Robinson-Schensted correspondence (RSK)

«Figures»
accepted by planar automata ?

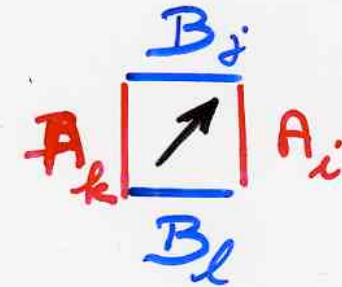
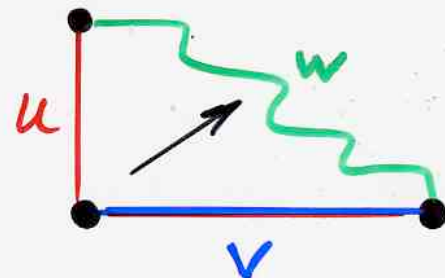


Postnikov

J-diagrams

Le - ...

reverse planar automata



relation with quadratic algebras

Heisenberg
operators
 U, D

$$UD = DU + I$$

$$UD = DU + I$$

$$UD \rightarrow DU$$

$$UD \rightarrow I$$

$$UD = D U + I$$

Lemme - Tout mot $w \in \{U, D\}^*$
s'écrit

$$w = \sum_{i,j \geq 0} c_{i,j}(w) D^i U^j$$

unicité

$$UD = DU + \text{Id}$$

$$U^n D^n = ?$$

$$\begin{aligned} UUUDDDD &= UU(DU + \text{Id})DD \\ &= UUDUDD + UUDD \\ &= UDUUDD + 2 UUDD \\ &= DUVUDD + 3 UUDD \end{aligned}$$

$$\begin{aligned}
 UUDD &= UDUUD + UD \\
 &= \overbrace{DUU}^{\text{DU}} D + 2 UD \\
 &= \underbrace{DUUD}_{\text{DU}} U + \underbrace{DU}_{\text{DU}} + 2 (DU + Id) \\
 &= \overbrace{DUU}^{\text{DU}} + 2 \underbrace{DU}_{\text{DU}} \\
 &= DDUU + 4 DU + 2 Id
 \end{aligned}$$

$$\begin{aligned}
 U^3 D^3 &= DU (DDUU + 4 DU + 2 Id) + \\
 &\quad 3 (DDUU + 4 DU + 2 Id) \\
 &= DDUDUU + DDUU \\
 &\quad + 4 (DDUU + DU) + 2 DU \\
 &\quad + 3 DDUU + 12 DU + 6 Id \\
 &= D^3 U^3 + 9 D^2 U^2 + 18 DU + 6 Id
 \end{aligned}$$

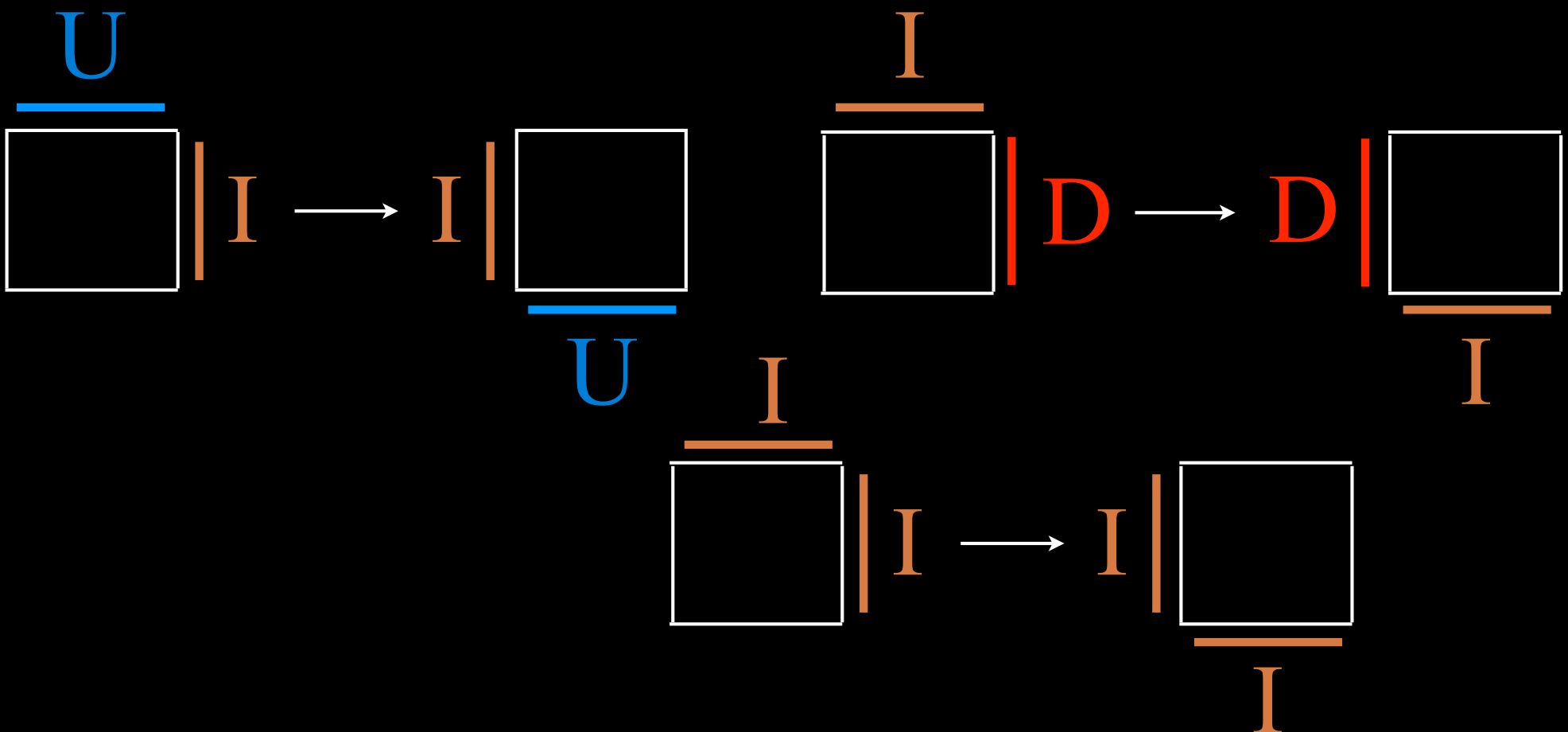
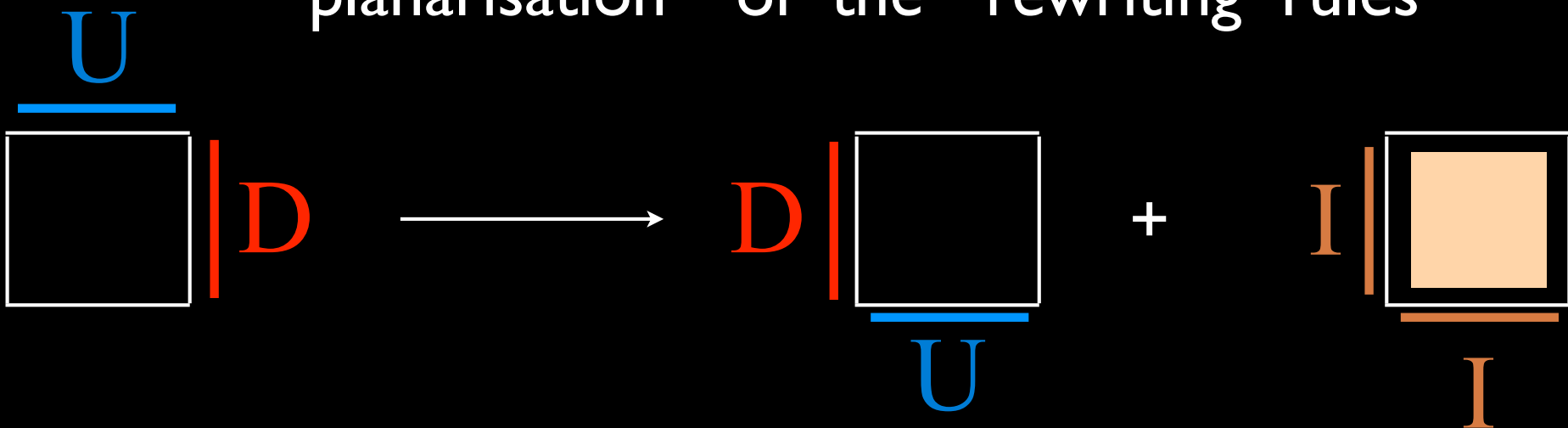
$$U^n D^n = \sum_{0 \leq i \leq n} c_{n,i} D^i U^i$$

normal ordering

$$c_{n,0} = n!$$

$$c_{n,i} = \binom{n}{i}^2 (n-i)!$$

“planarisation” of the “rewriting rules”



$$\frac{U}{\overline{U}} | D \longrightarrow D | \frac{\bullet}{\overline{U}} + I | \frac{\square}{\overline{I}}$$

$$\frac{U}{\overline{U}} | I \longrightarrow I | \frac{\square}{\overline{U}} \quad \frac{I}{\overline{I}} | D \longrightarrow D | \frac{\square}{\overline{I}}$$

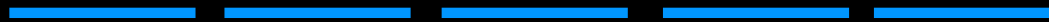
$$\frac{I}{\overline{I}} | I \longrightarrow I | \frac{\square}{\overline{I}}$$

$$\left\{ \begin{array}{l} UD = DU + I_v I_h \\ U I_v = I_v U \\ I_h D = D I_h \\ I_h I_v = I_v I_h \end{array} \right.$$

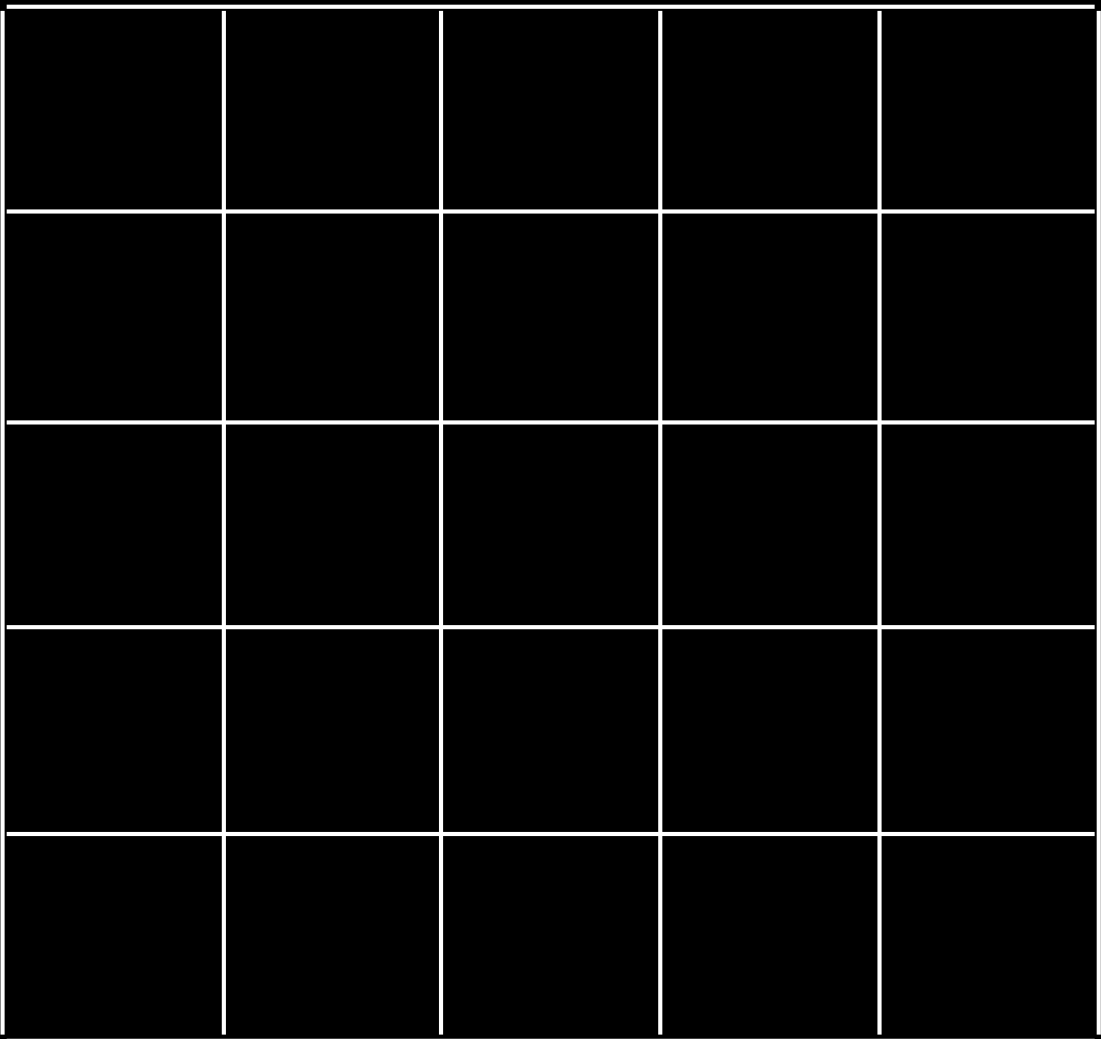
$$\left\{ \begin{array}{l} UD \rightarrow DU \qquad \qquad \qquad UD \rightarrow I_v I_h \\ U I_v \rightarrow I_v U \\ I_h D \rightarrow D I_h \\ I_h I_v \rightarrow I_v I_h \end{array} \right.$$

rewriting rules

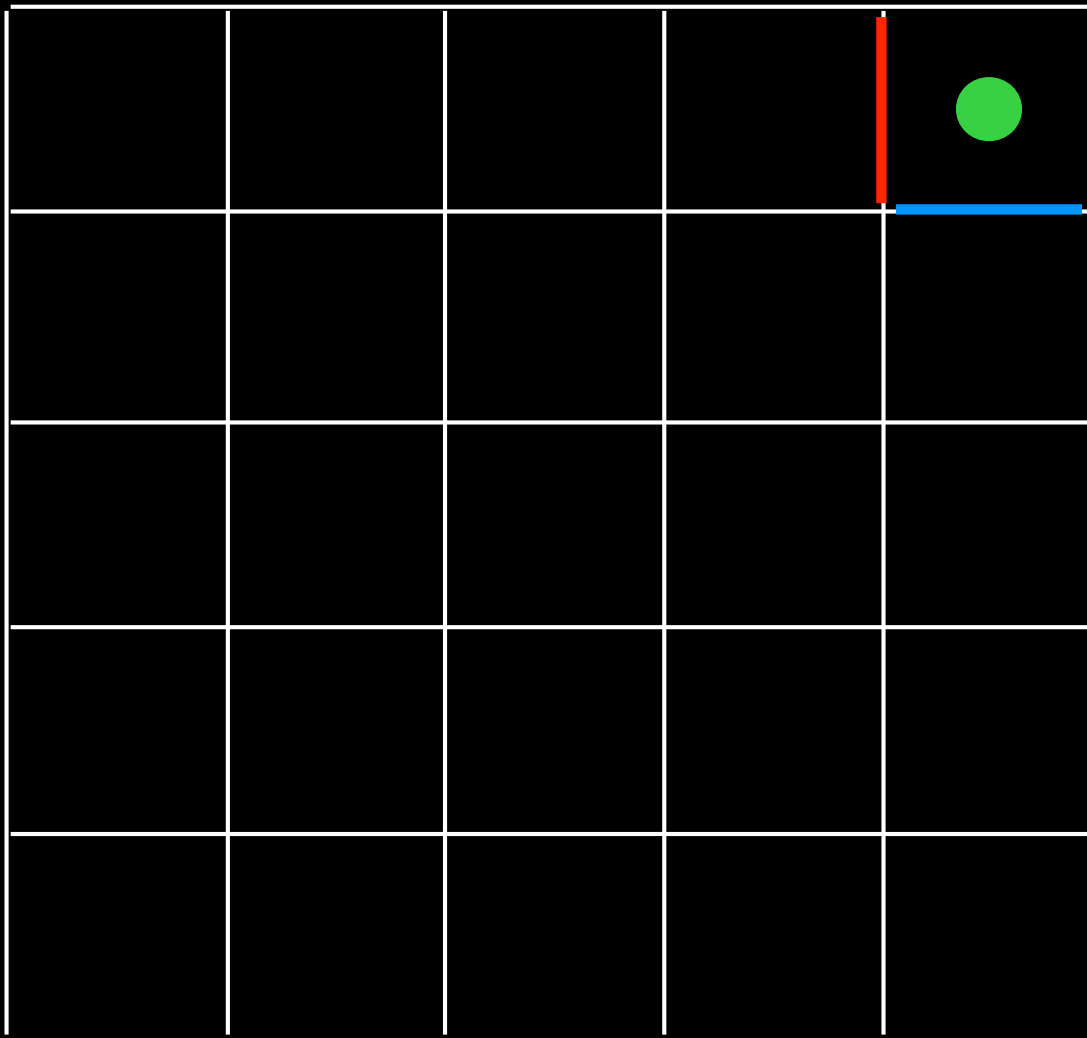
U



D

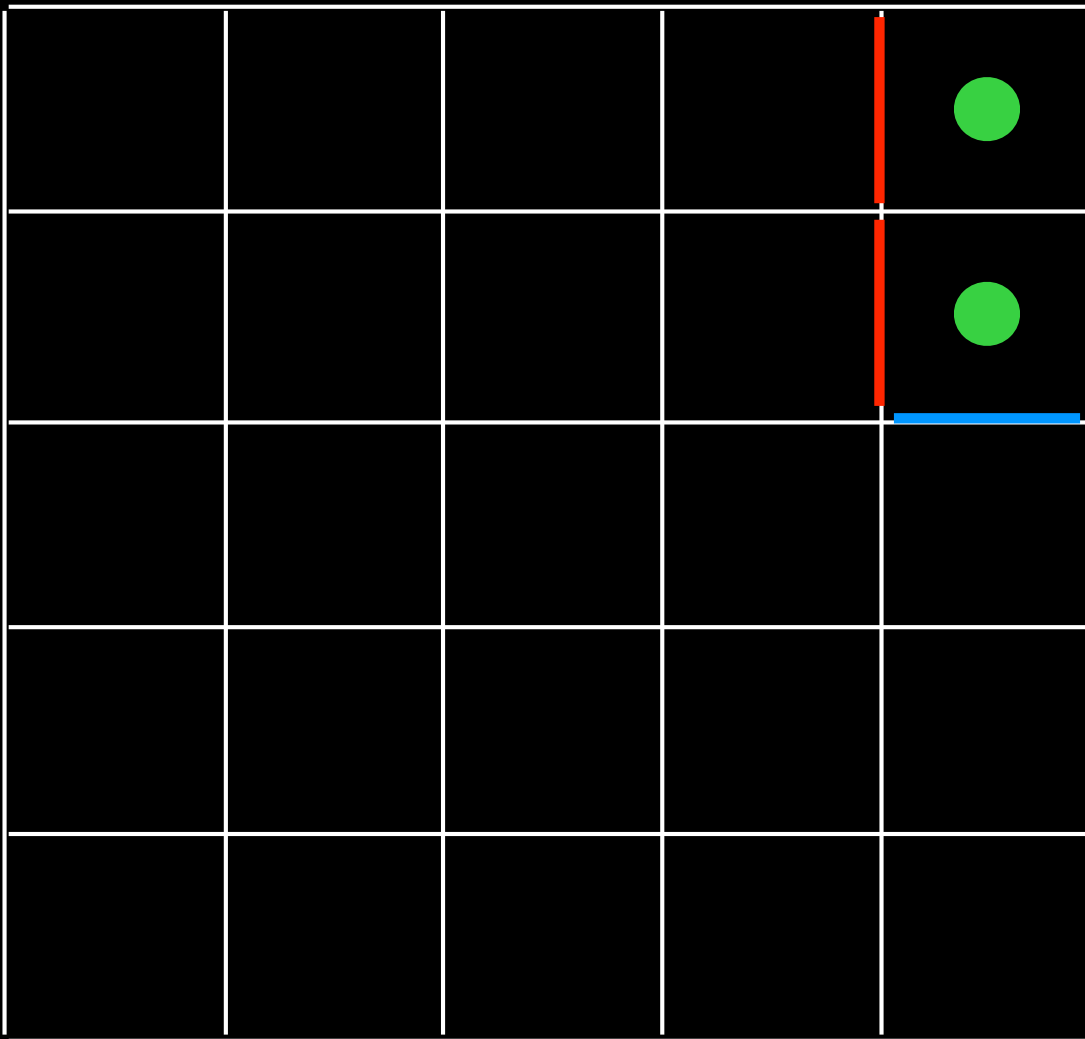


U



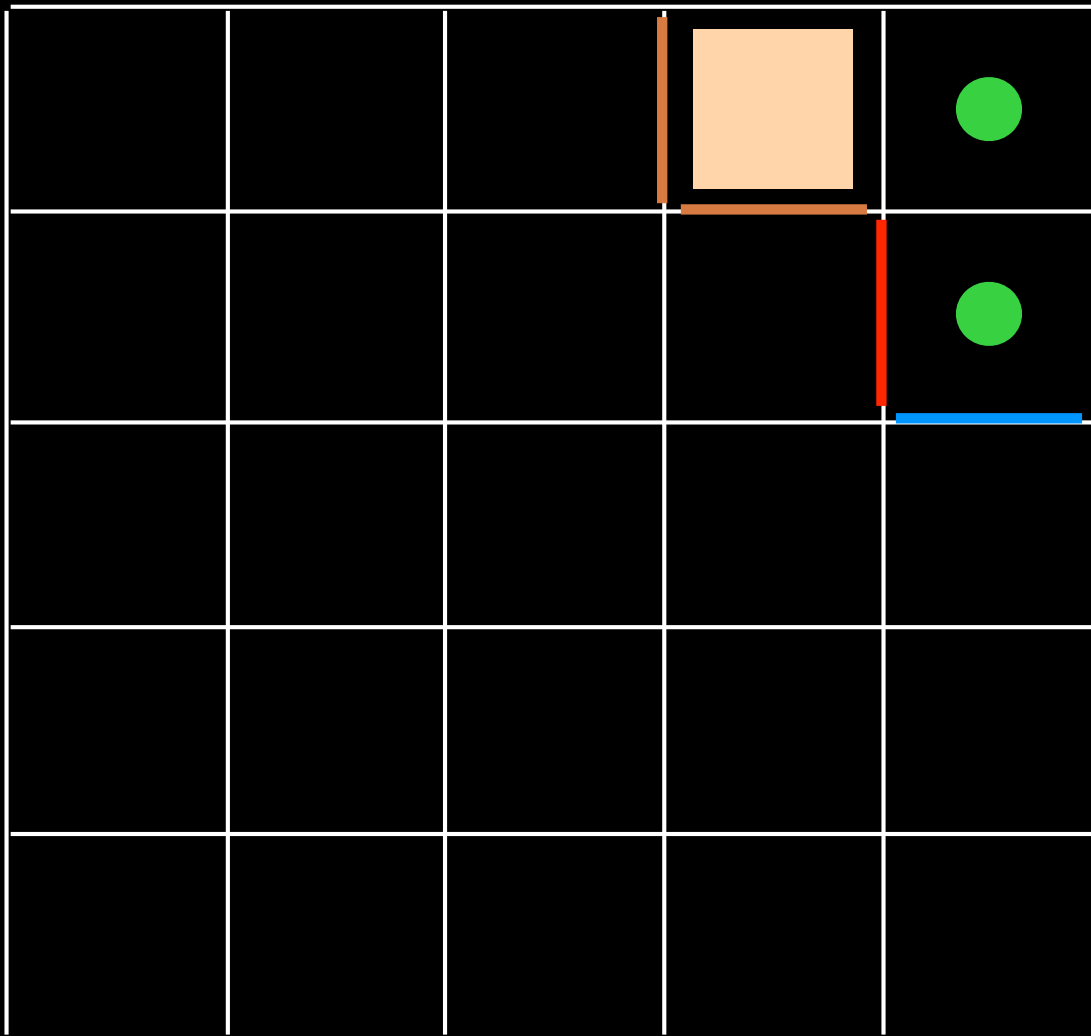
D

U



D

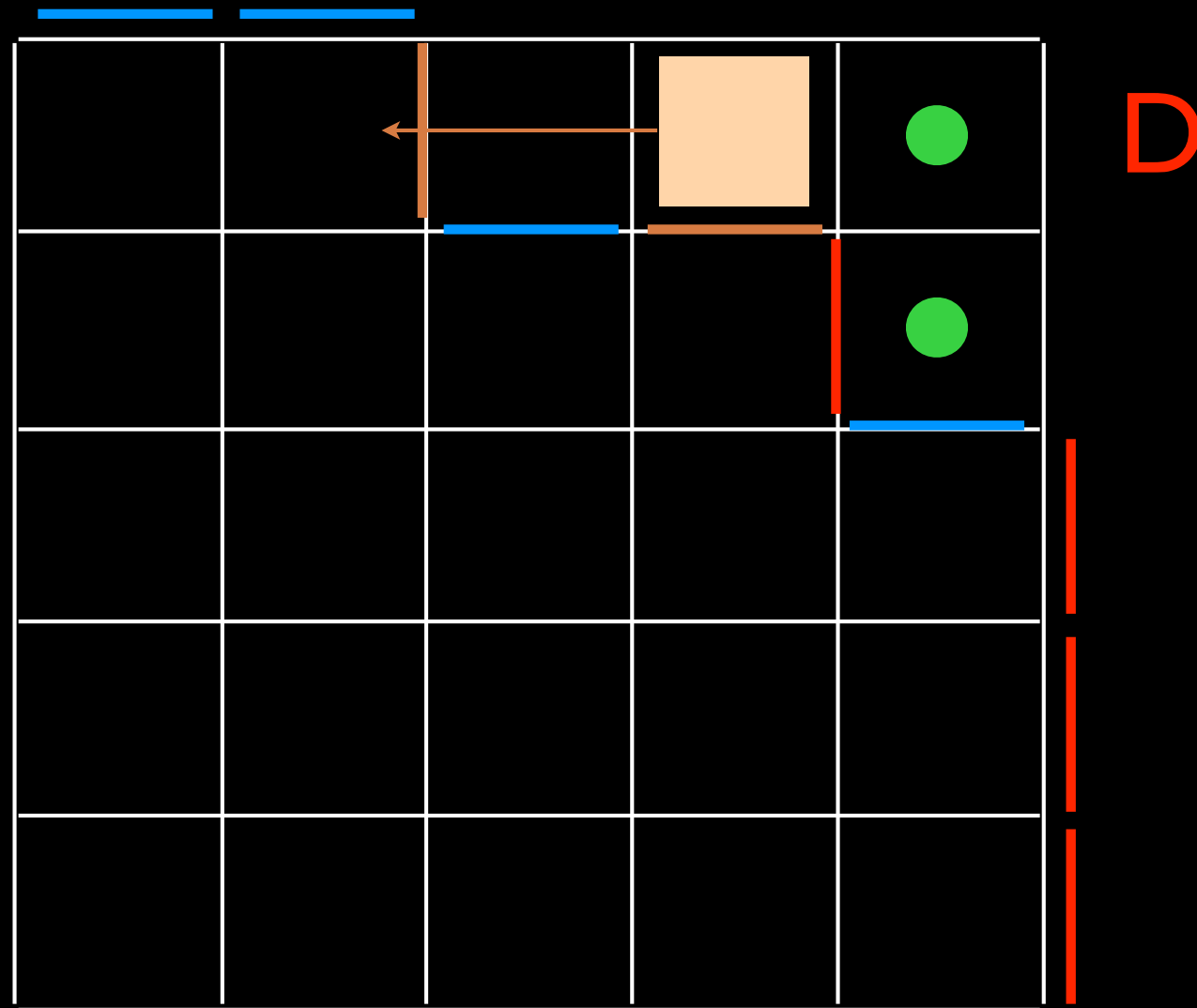
U



D

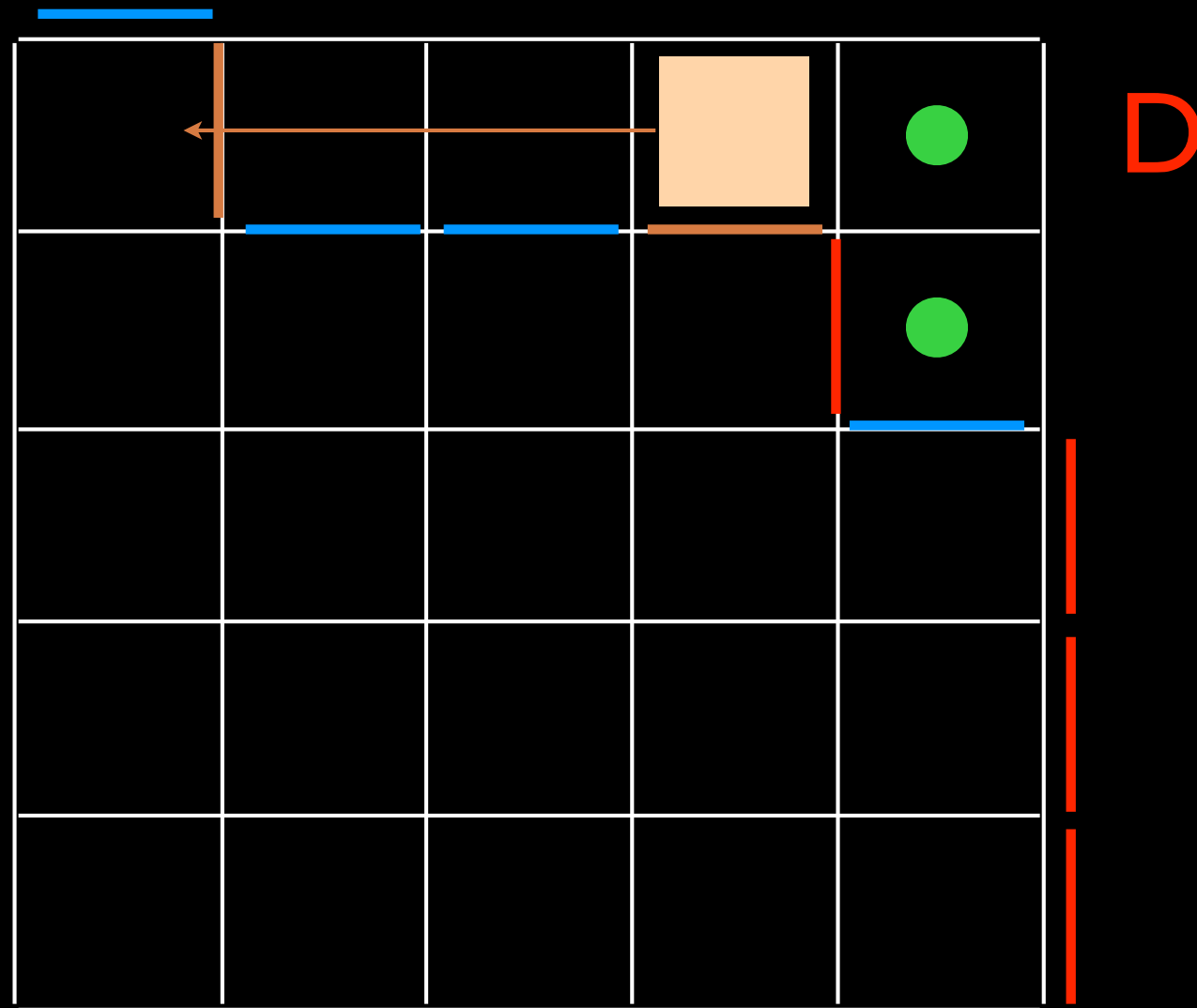


U

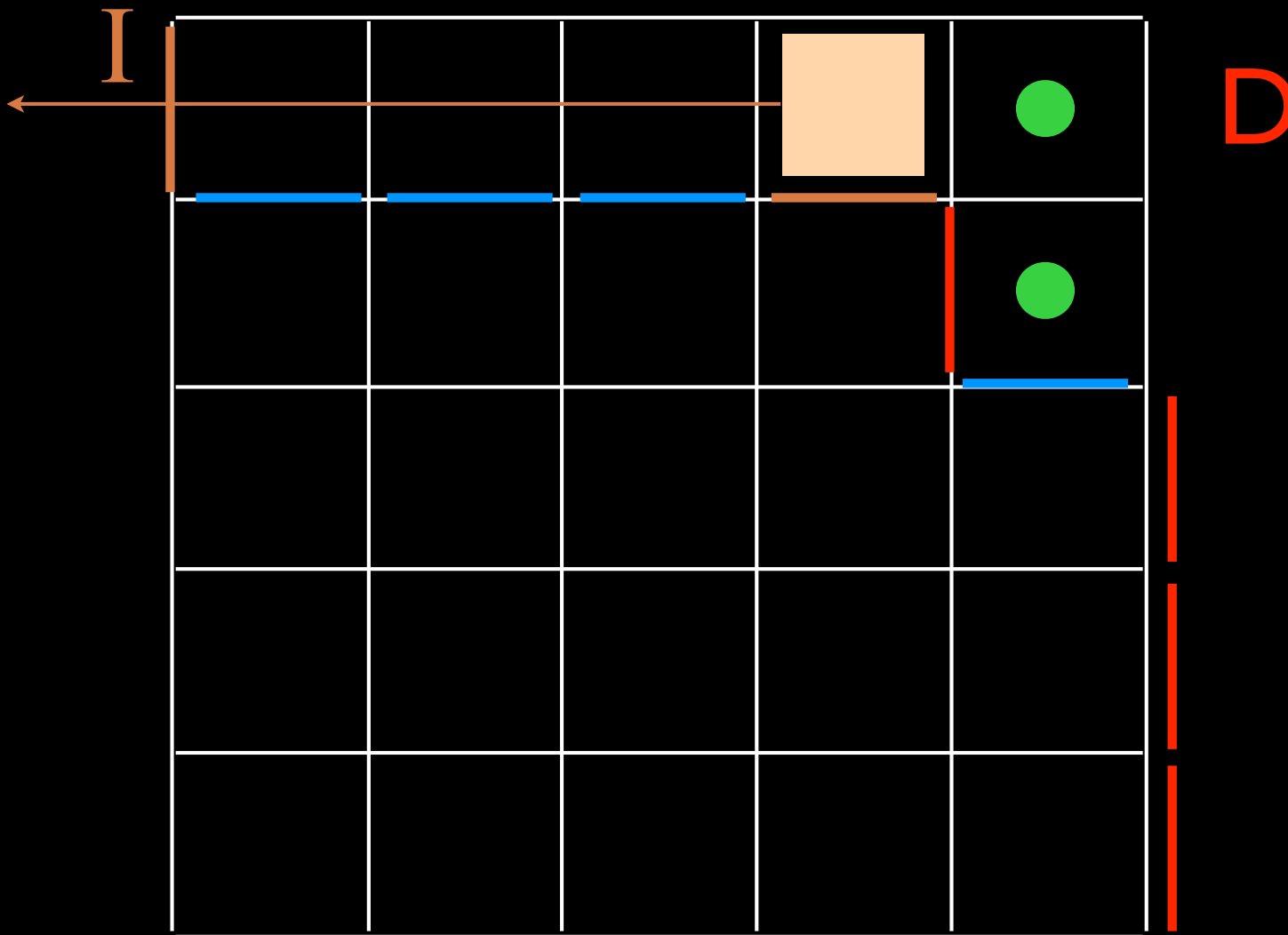


D

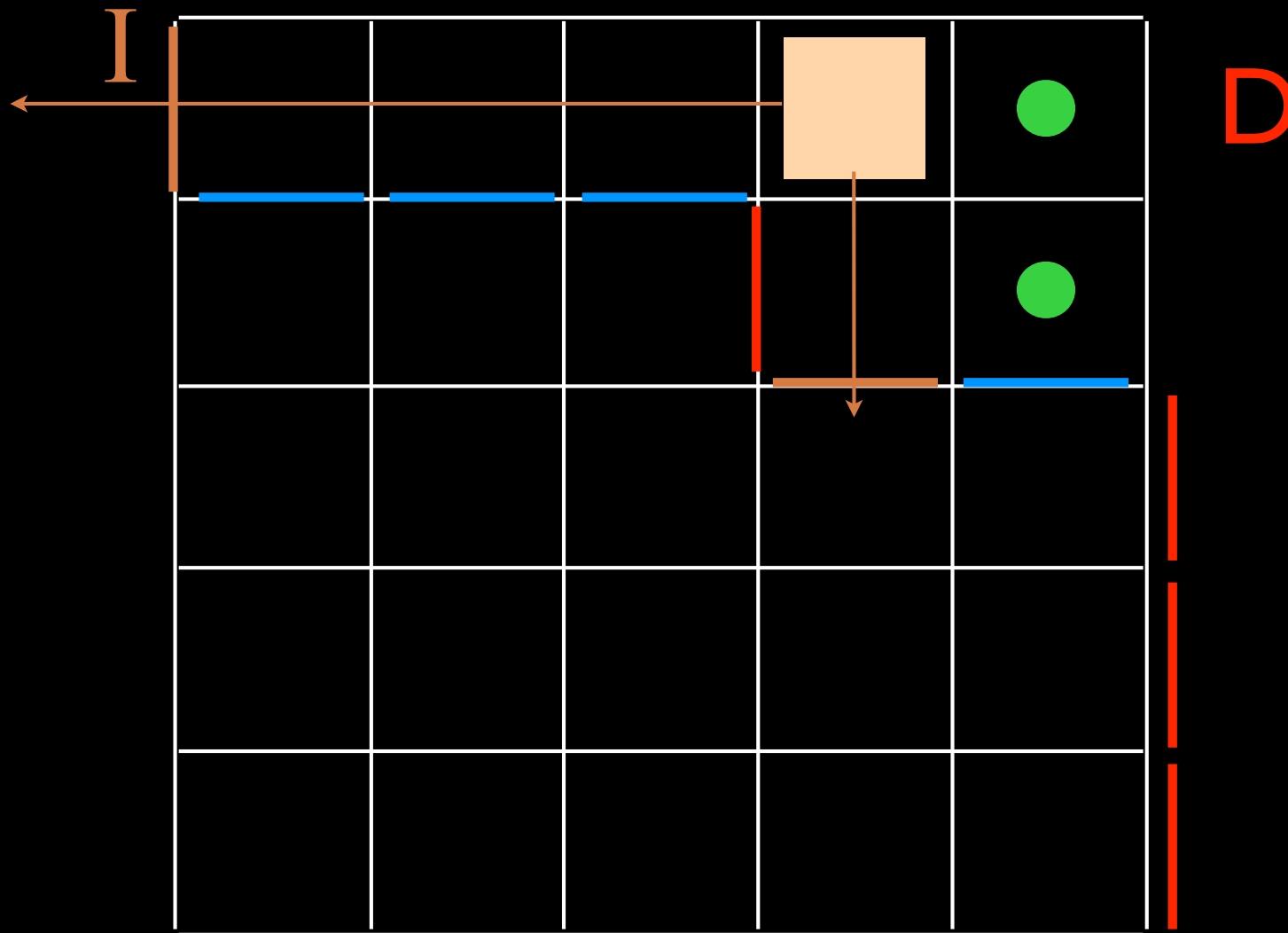
U



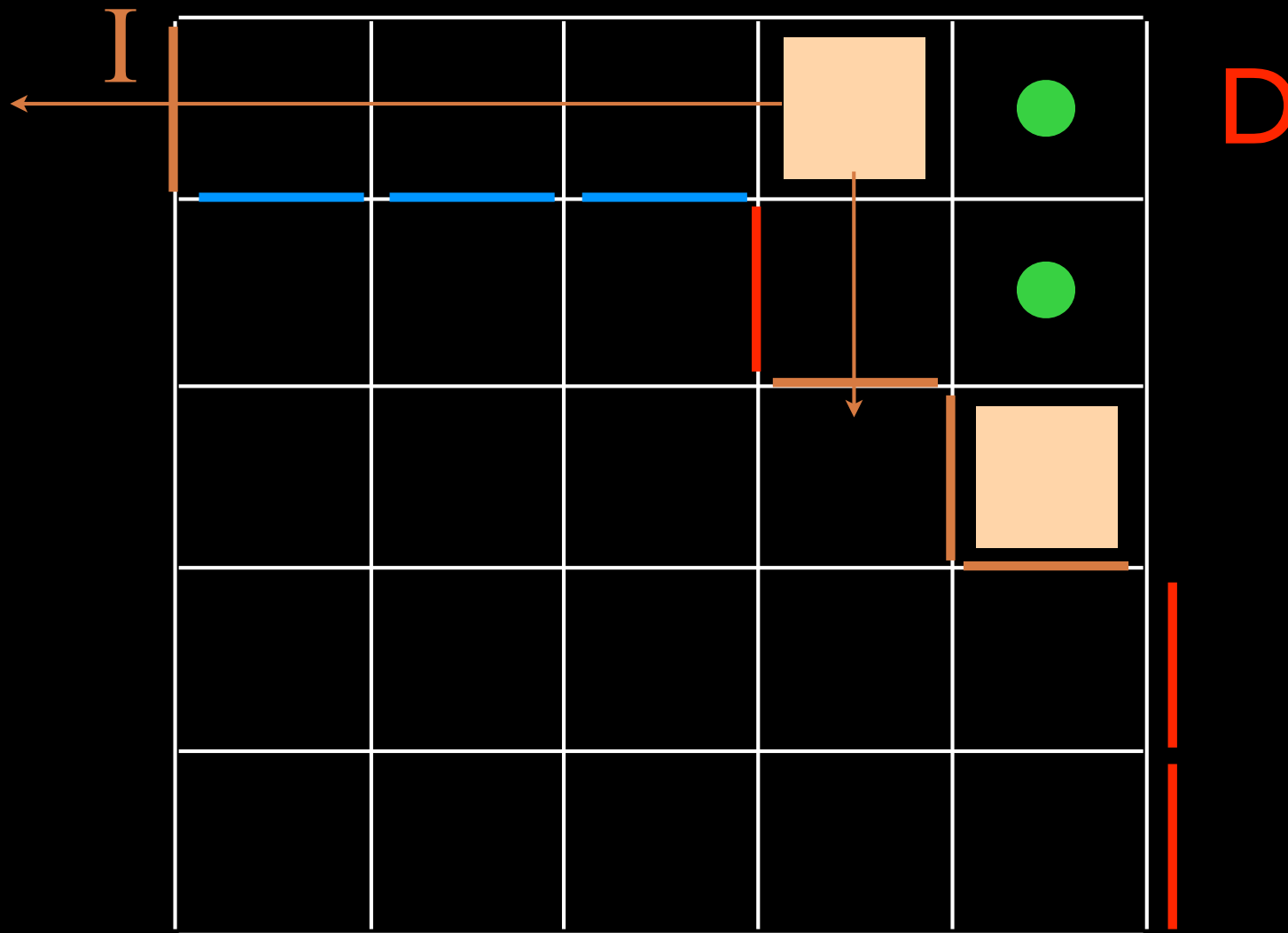
U



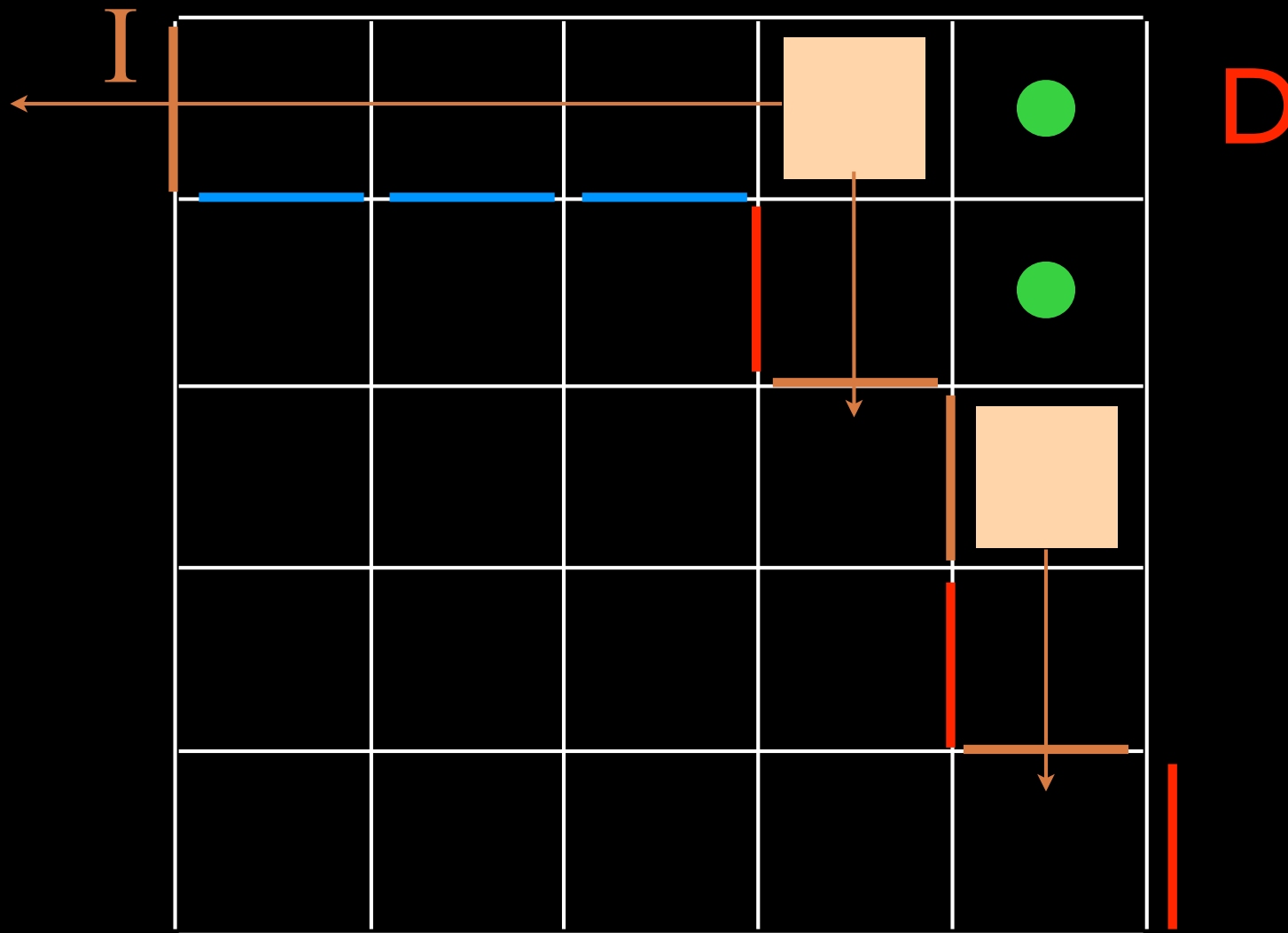
U



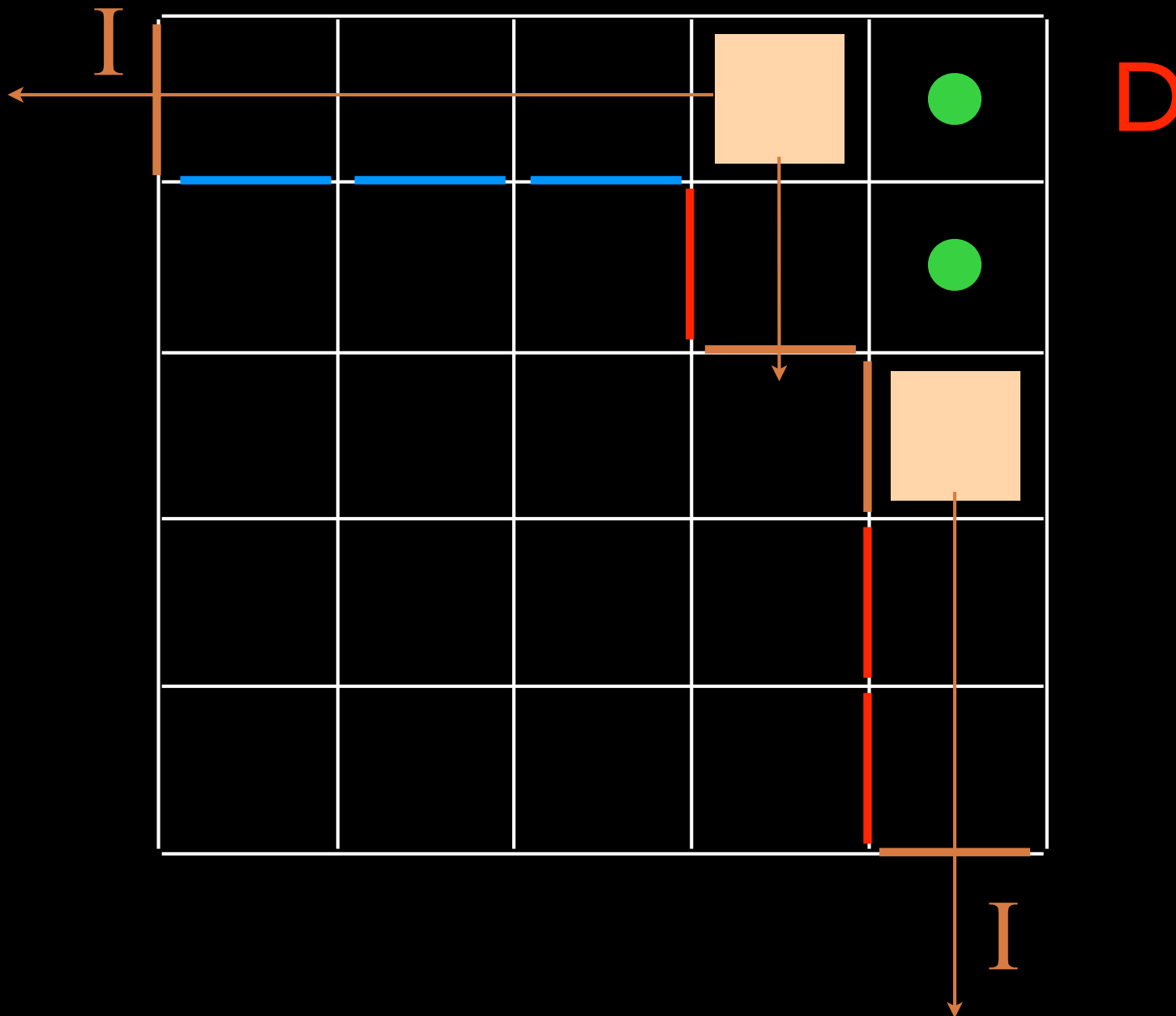
U



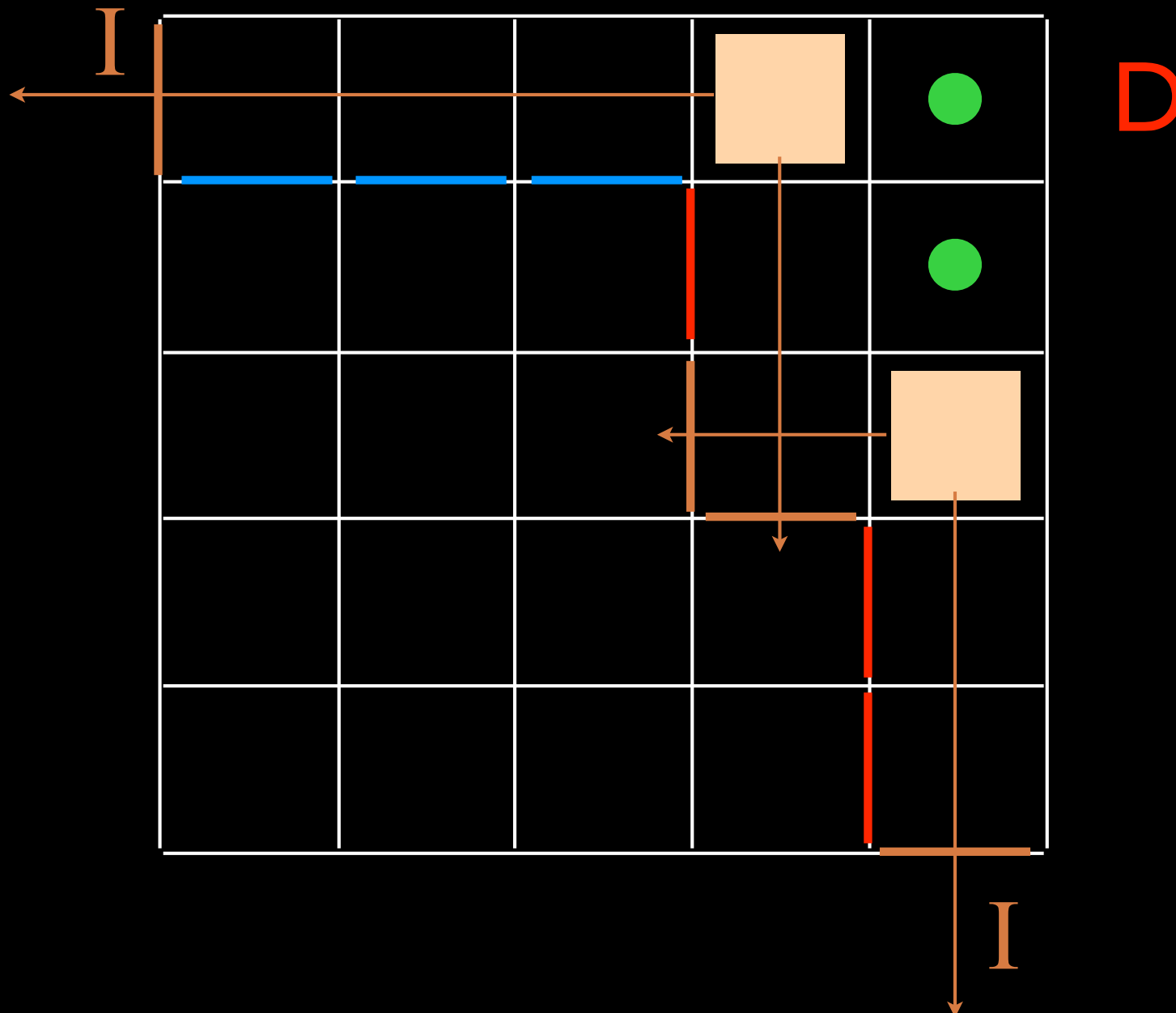
U



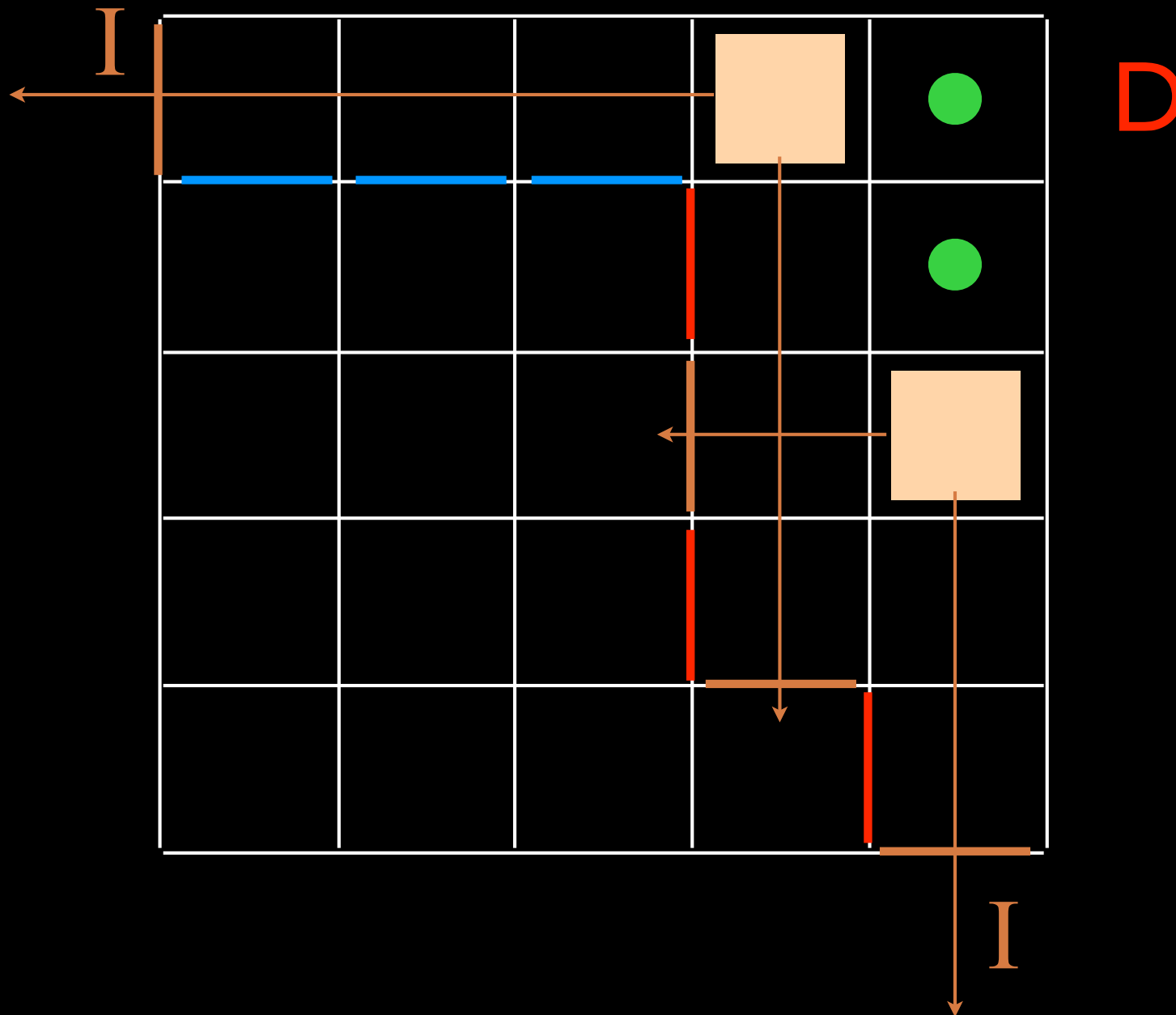
U



U



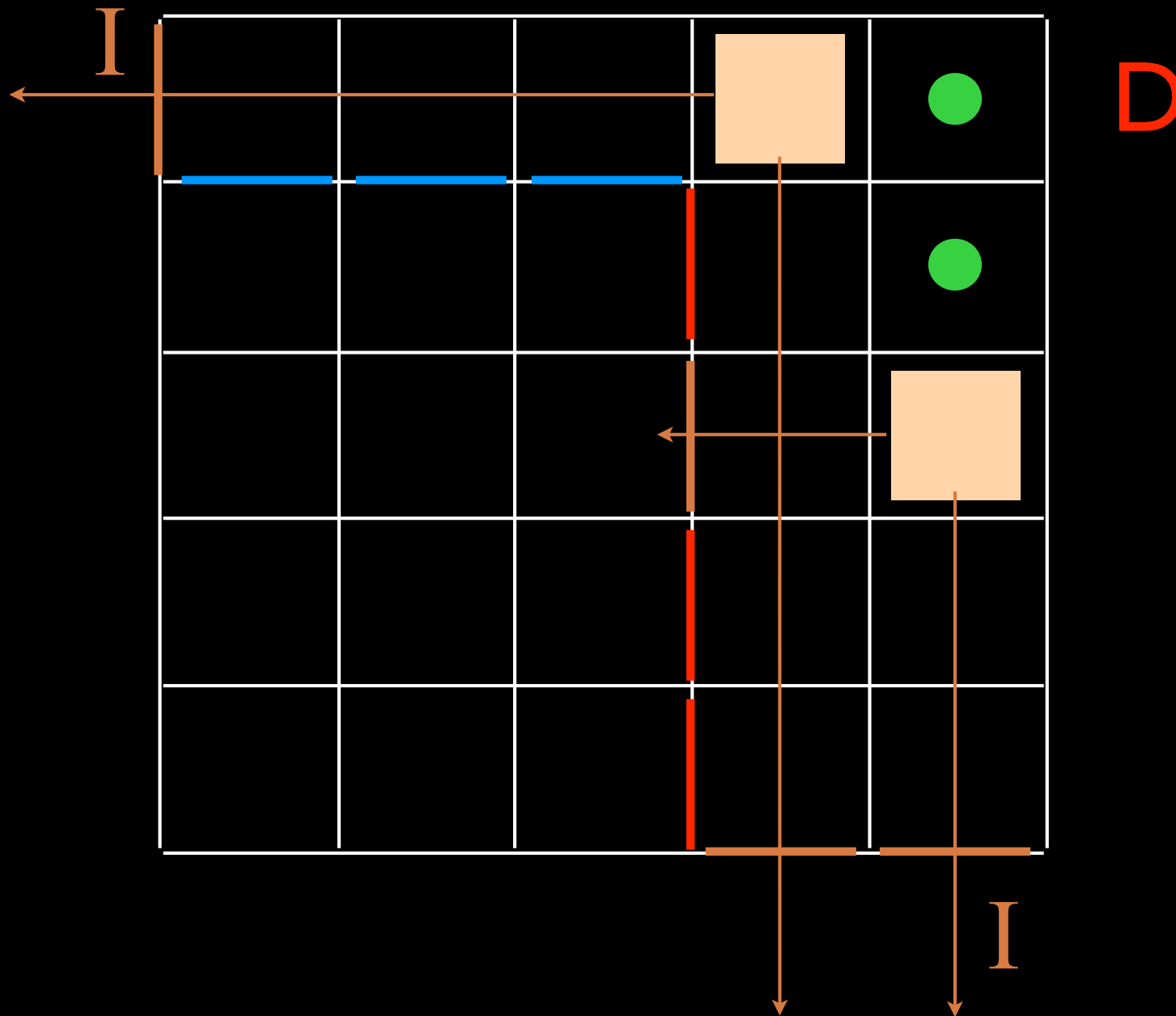
U



D

I

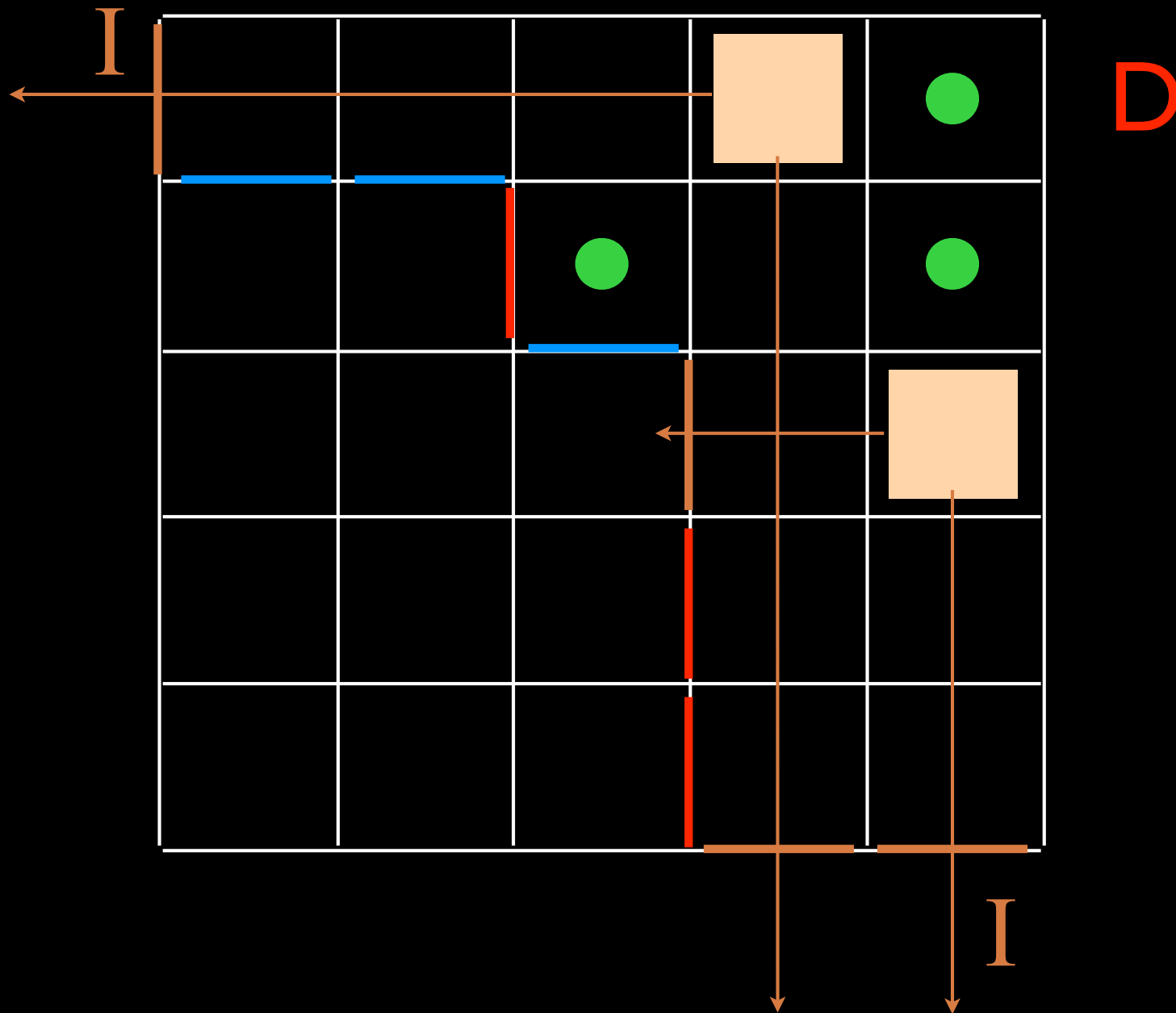
U



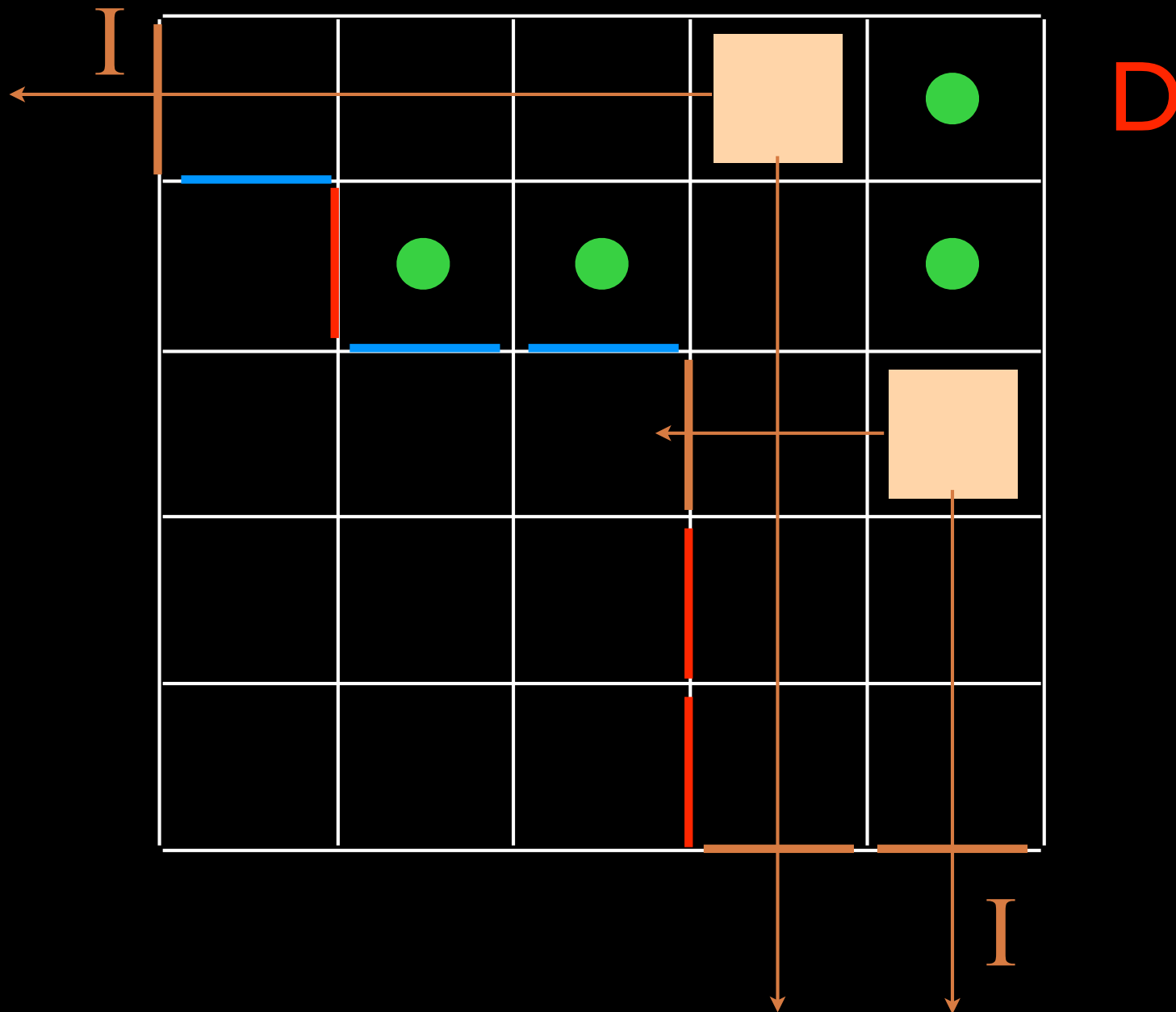
D

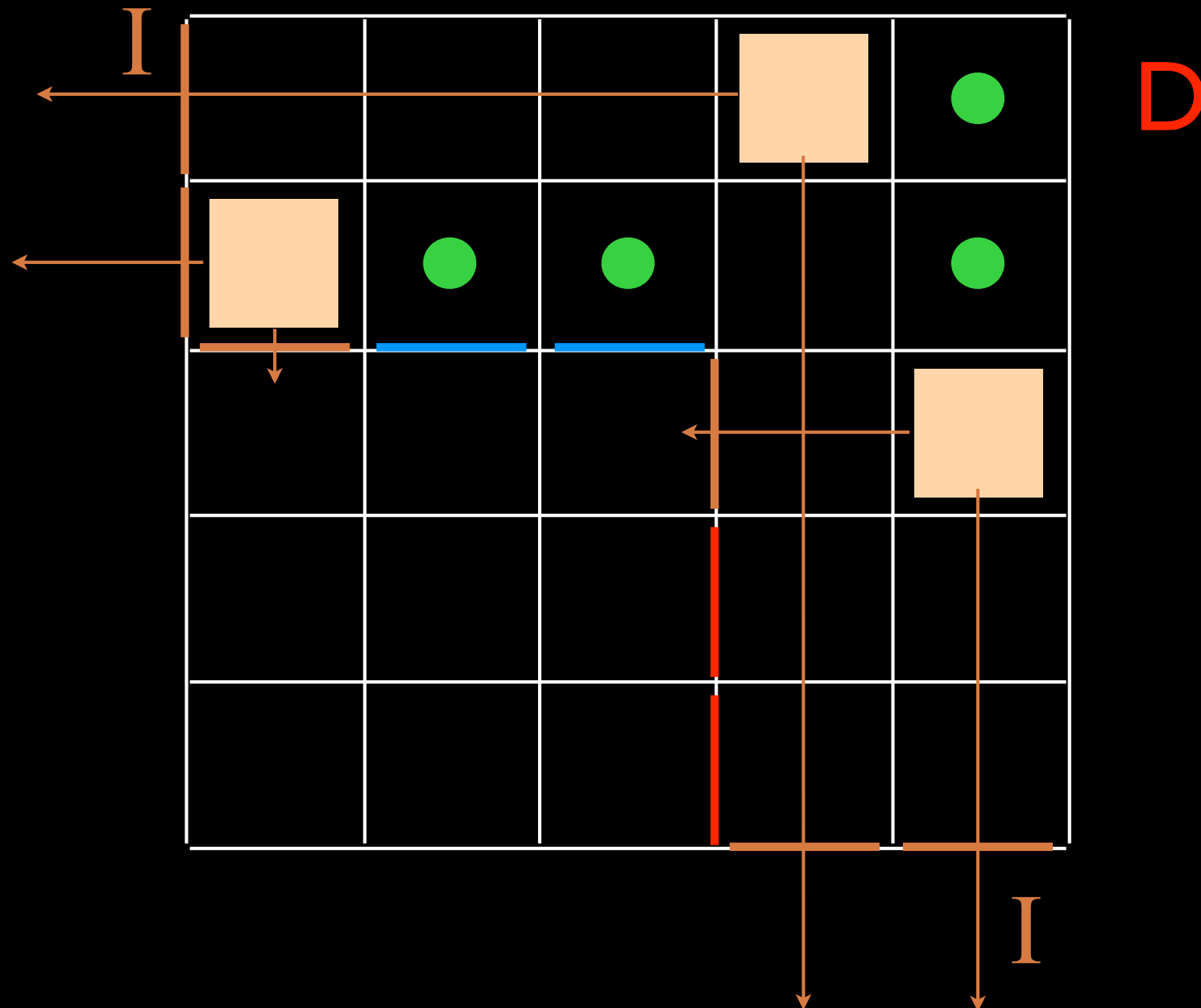
I

U

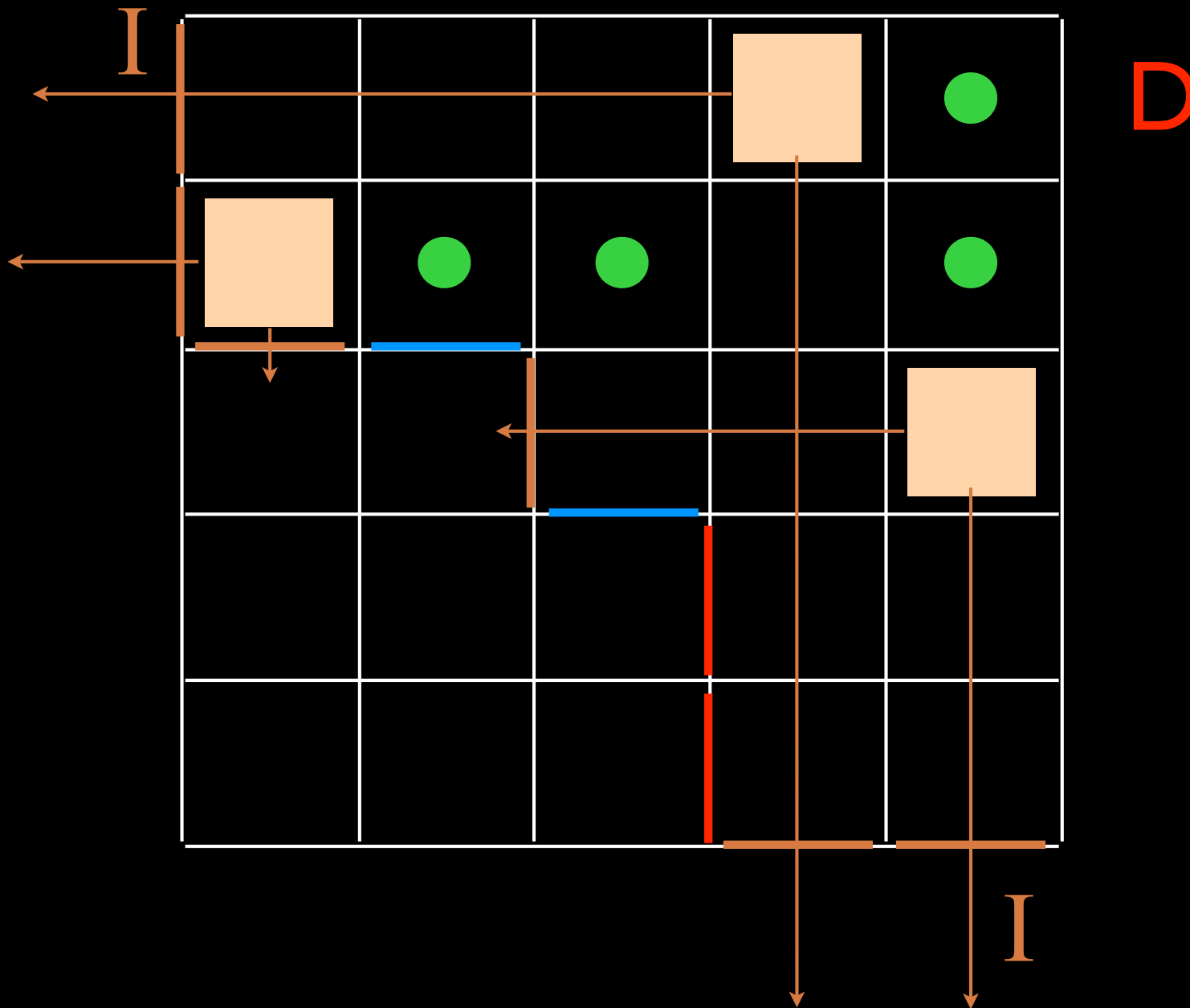


U

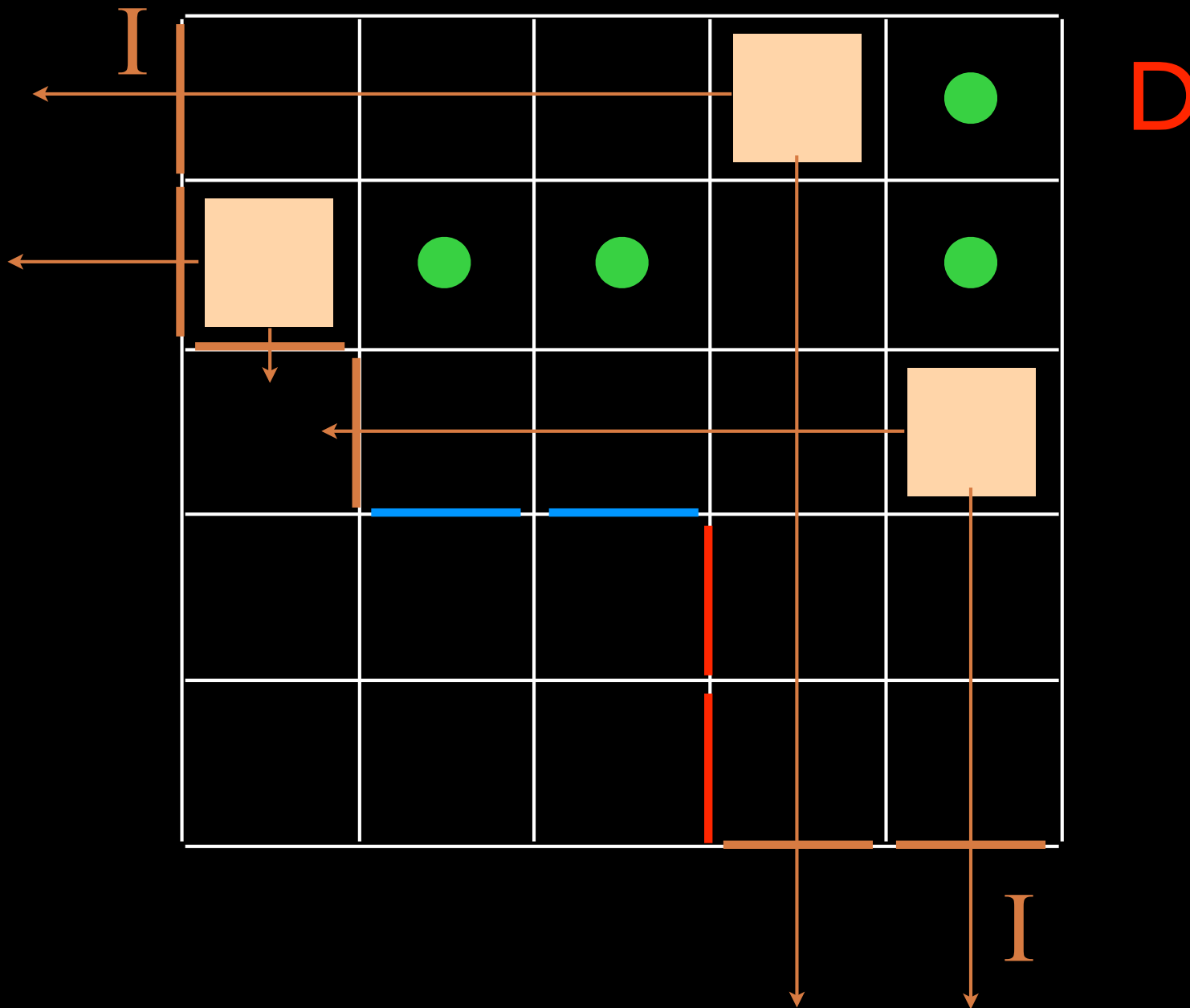




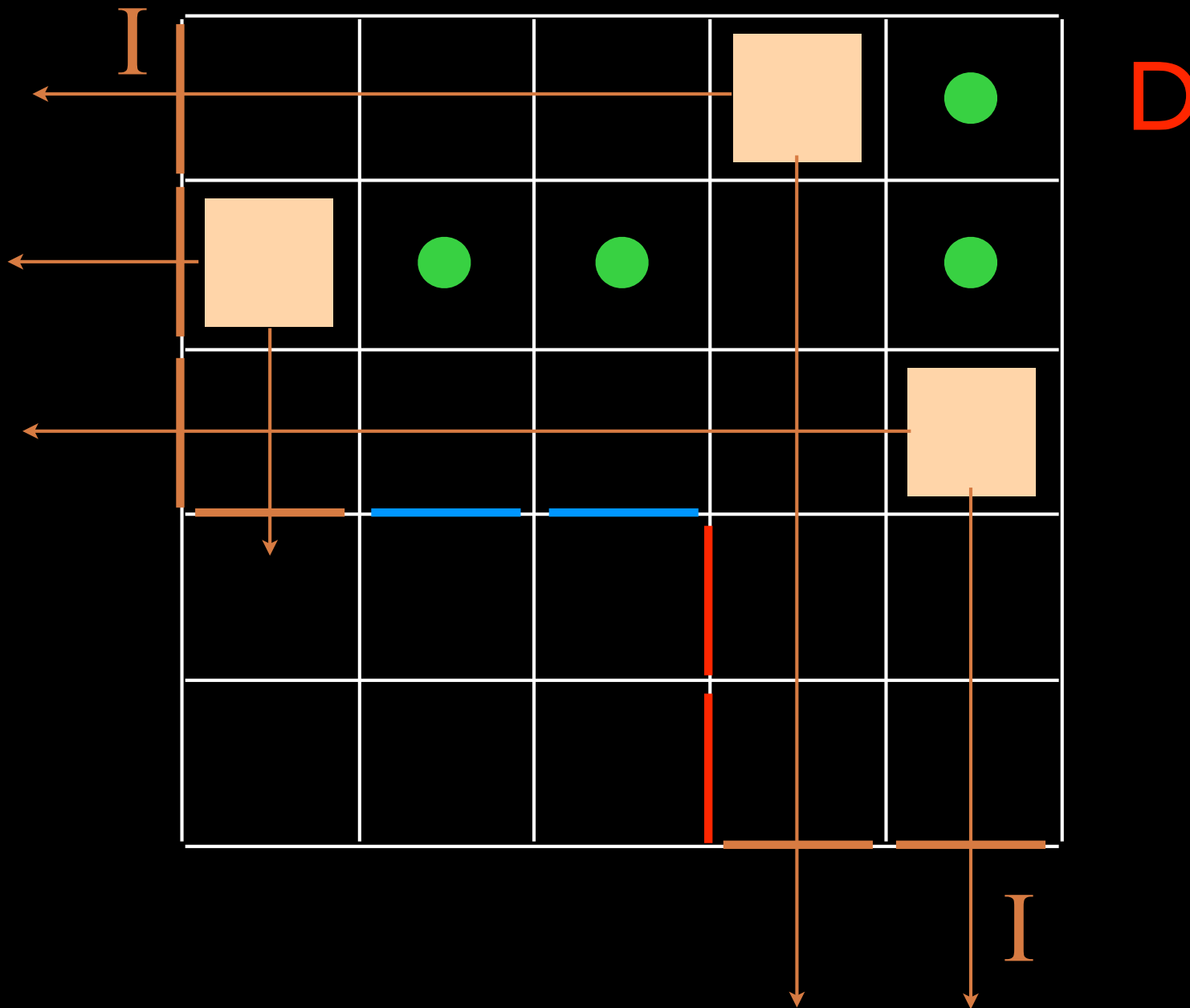
U



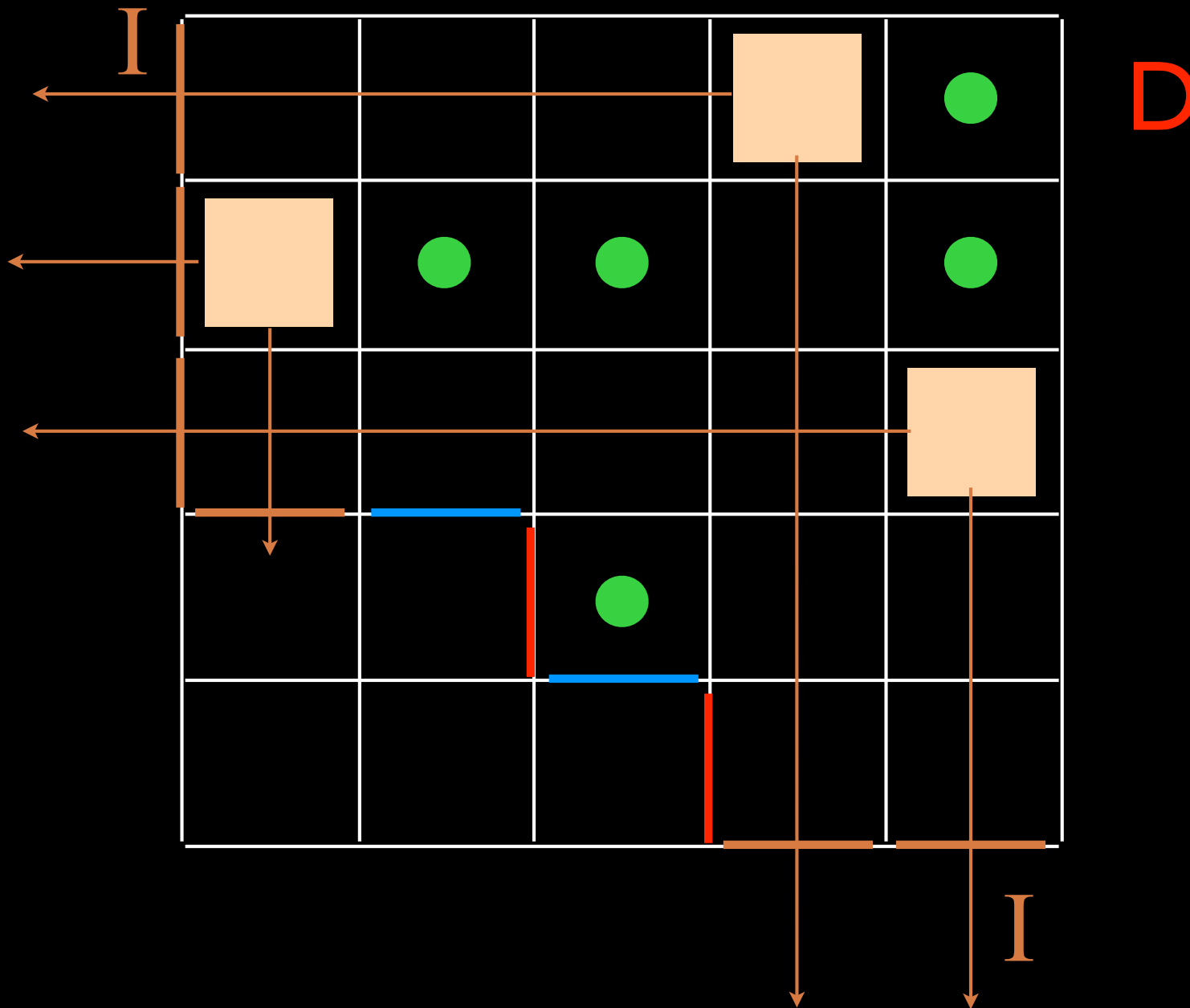
U



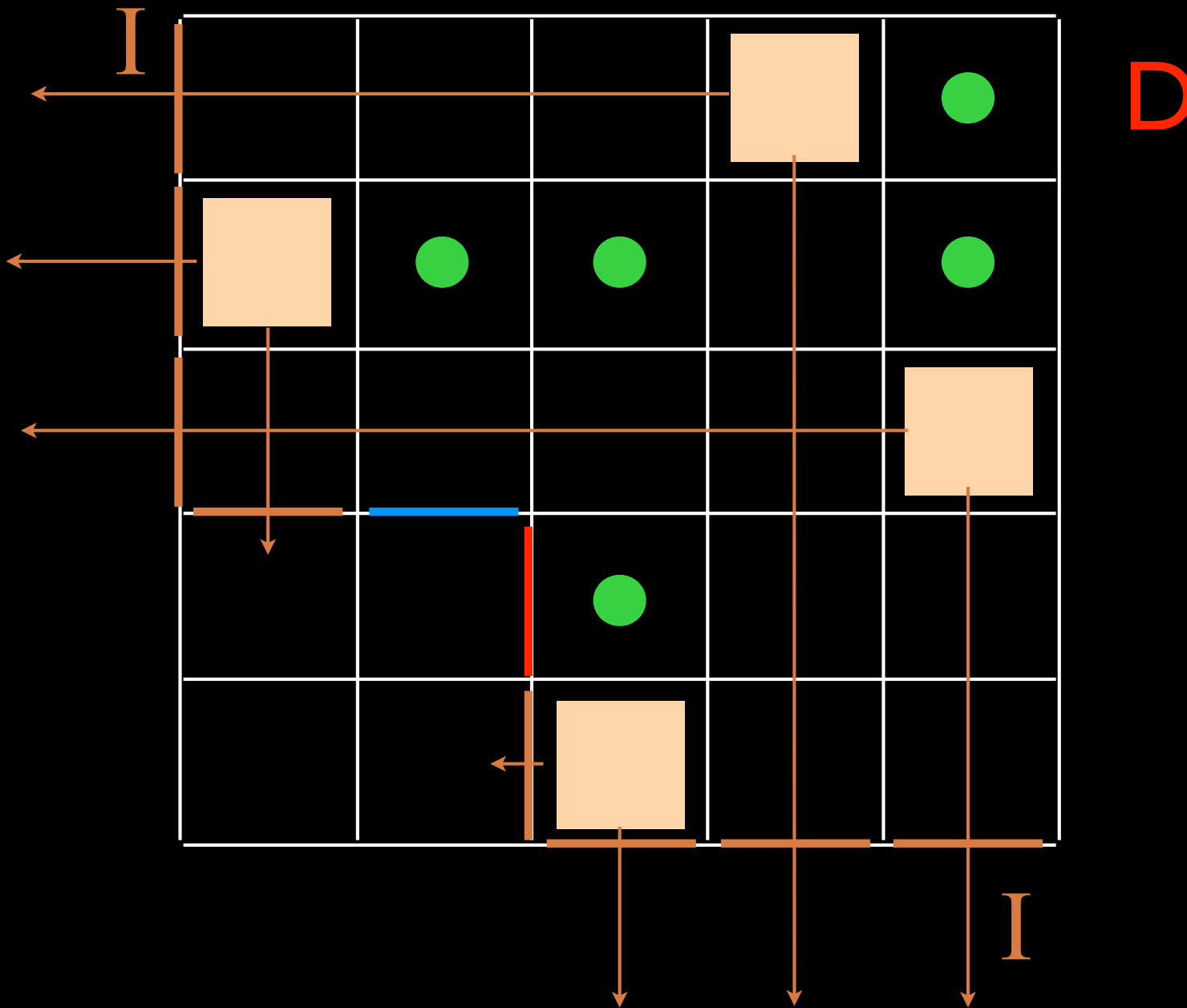
U



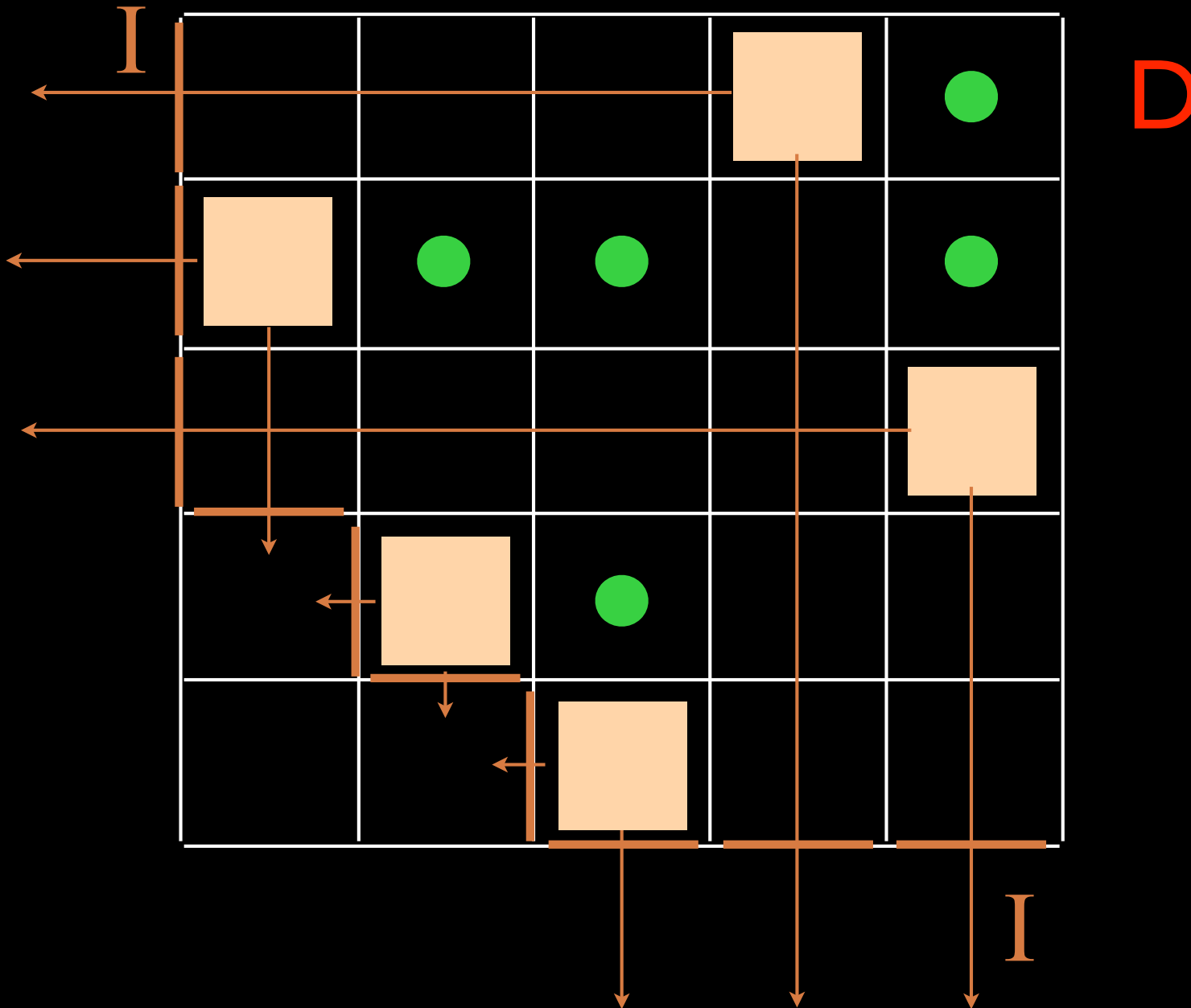
U



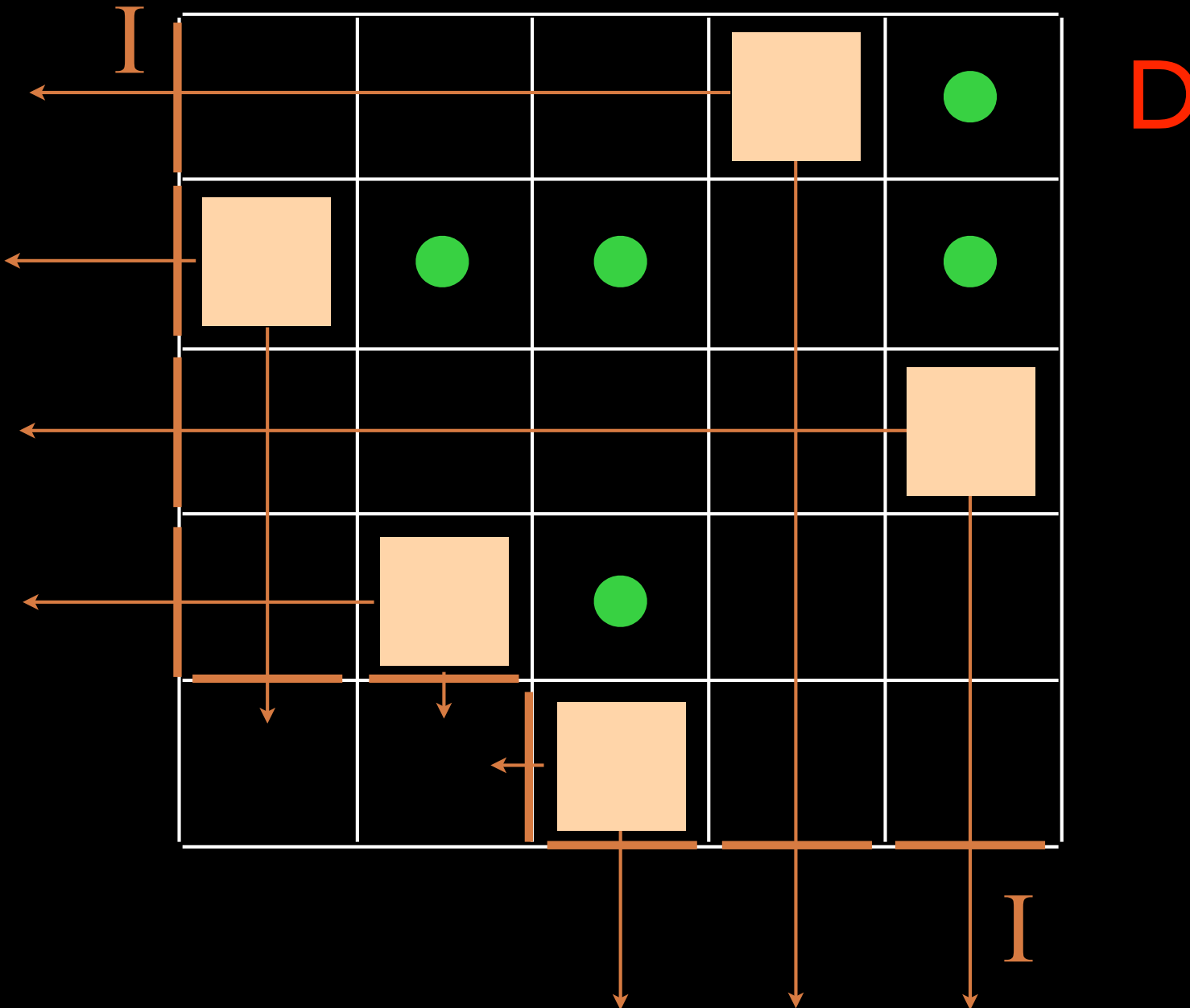
U



U



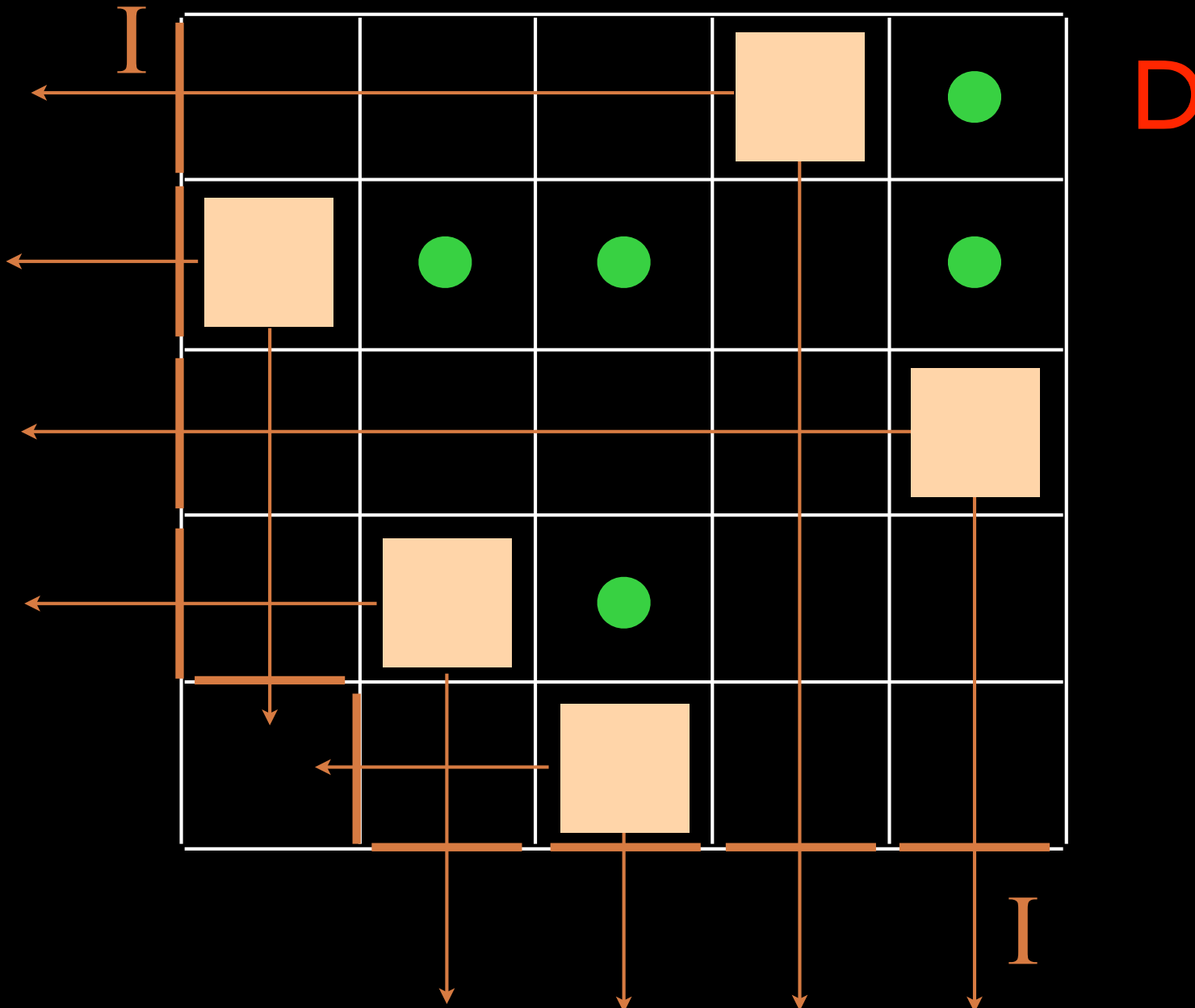
U



D

I

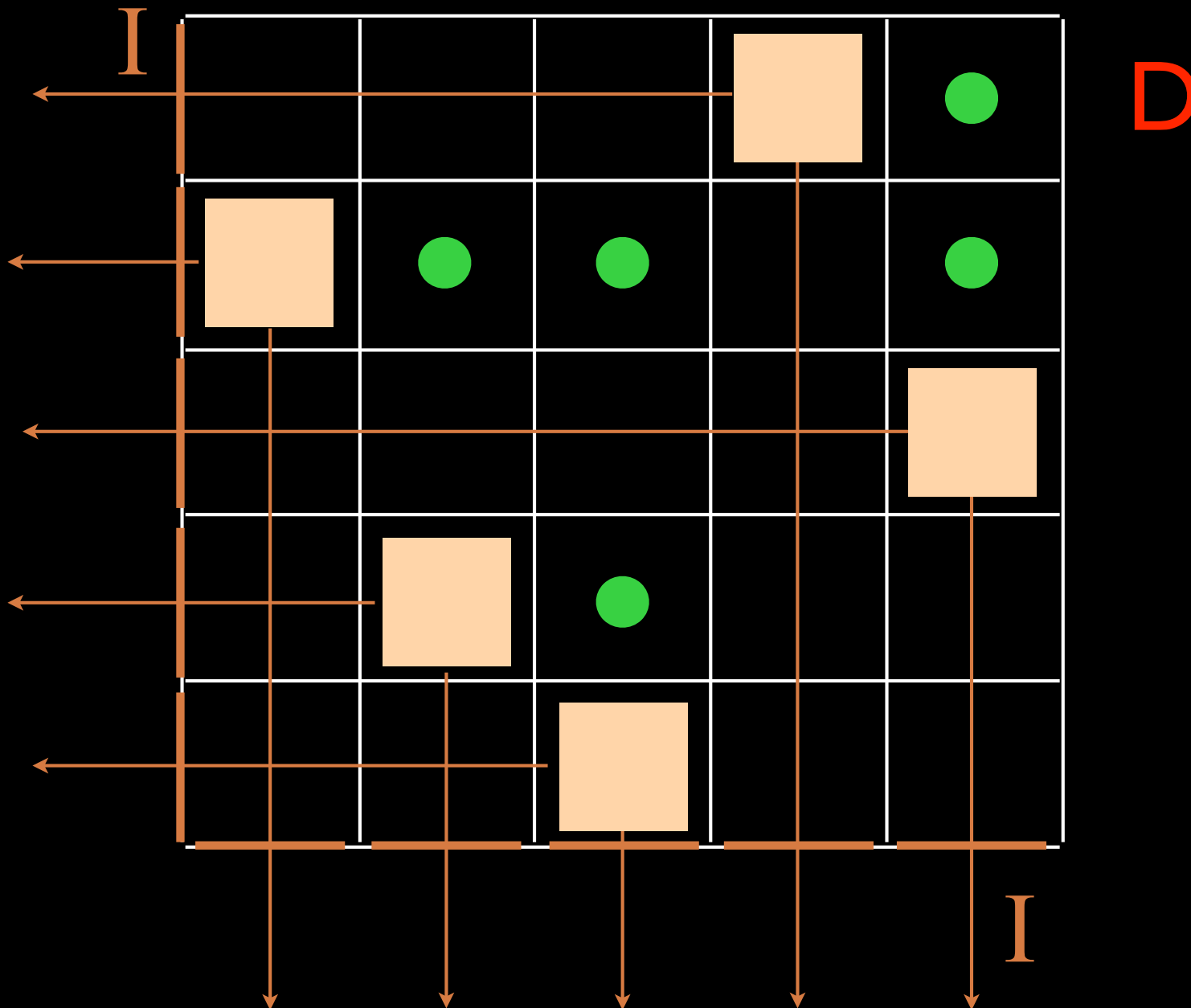
U



D

I

U



$$\left\{ \begin{array}{l} \textcolor{blue}{UD = DU + I_v I_h} \\ \textcolor{blue}{U I_v = I_v U} \\ \textcolor{brown}{I_h D = D I_h} \\ \textcolor{brown}{I_h I_v = I_v I_h} \end{array} \right.$$

Quadratic algebra \mathbb{Q}

5 rewriting rules

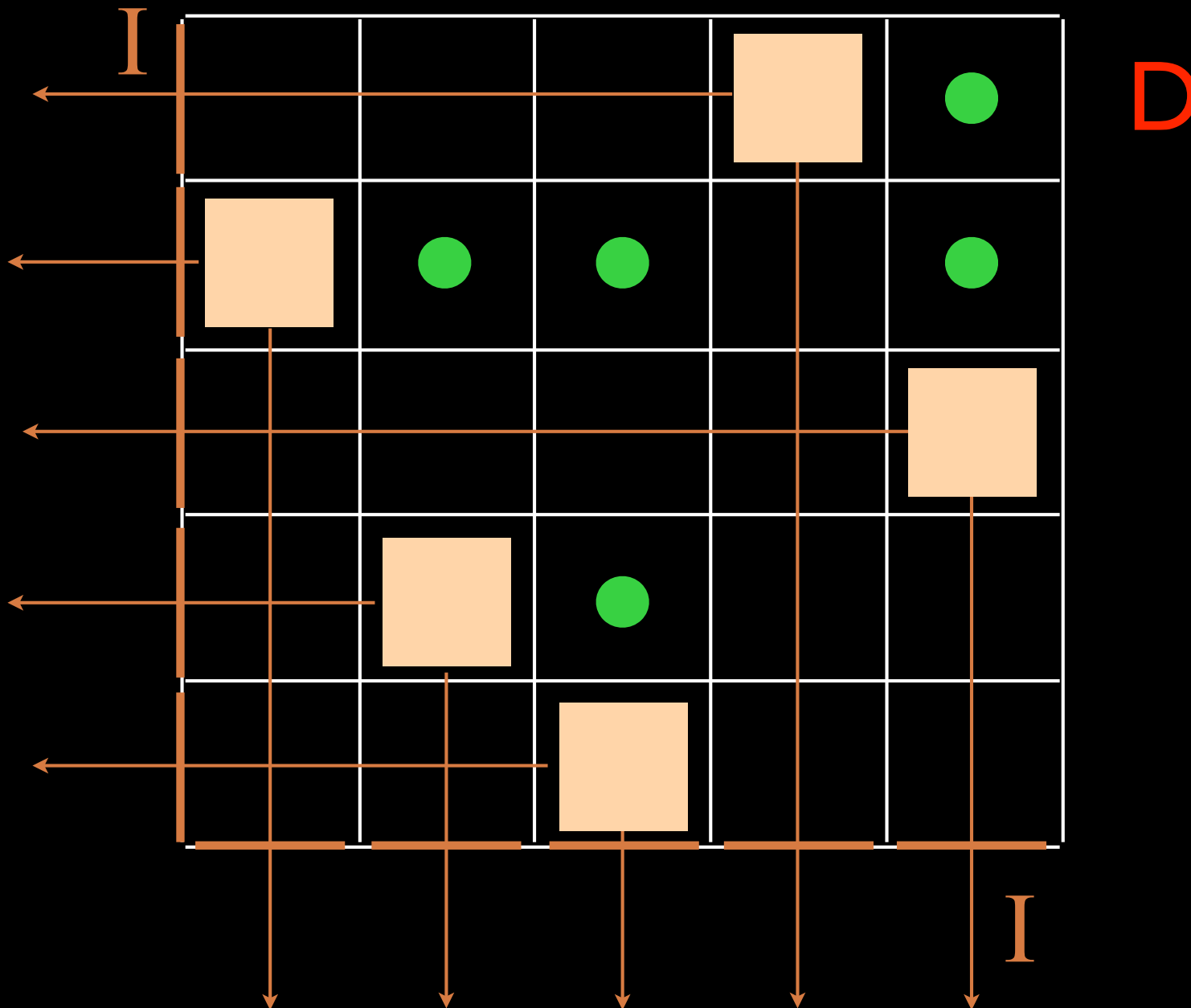
"complete"



\mathbb{Q} -tableau (5 labels)

\mathbb{Q} -tableau (2 labels)

U



$$U^n D^n = \sum_{0 \leq i \leq n} c_{n,i} D^i U^i$$

normal ordering

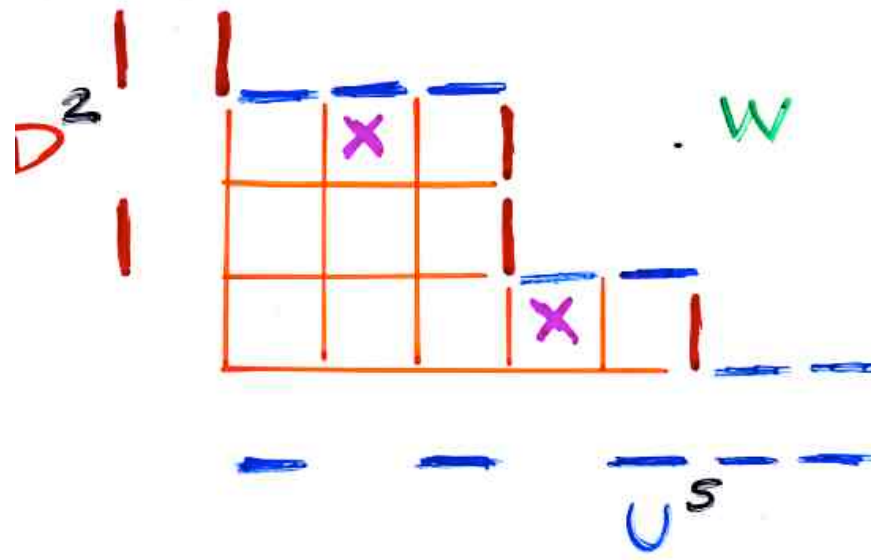
$$c_{n,0} = n!$$

$$c_{n,i} = \binom{n}{i}^2 (n-i)!$$

notation

$$w \rightarrow F_w$$

diagram Ferrers



Prop- $c_{v,i} (w)$ = nb de "placement" de \star sur F tours

$$\text{avec } i = |W|_D - k$$

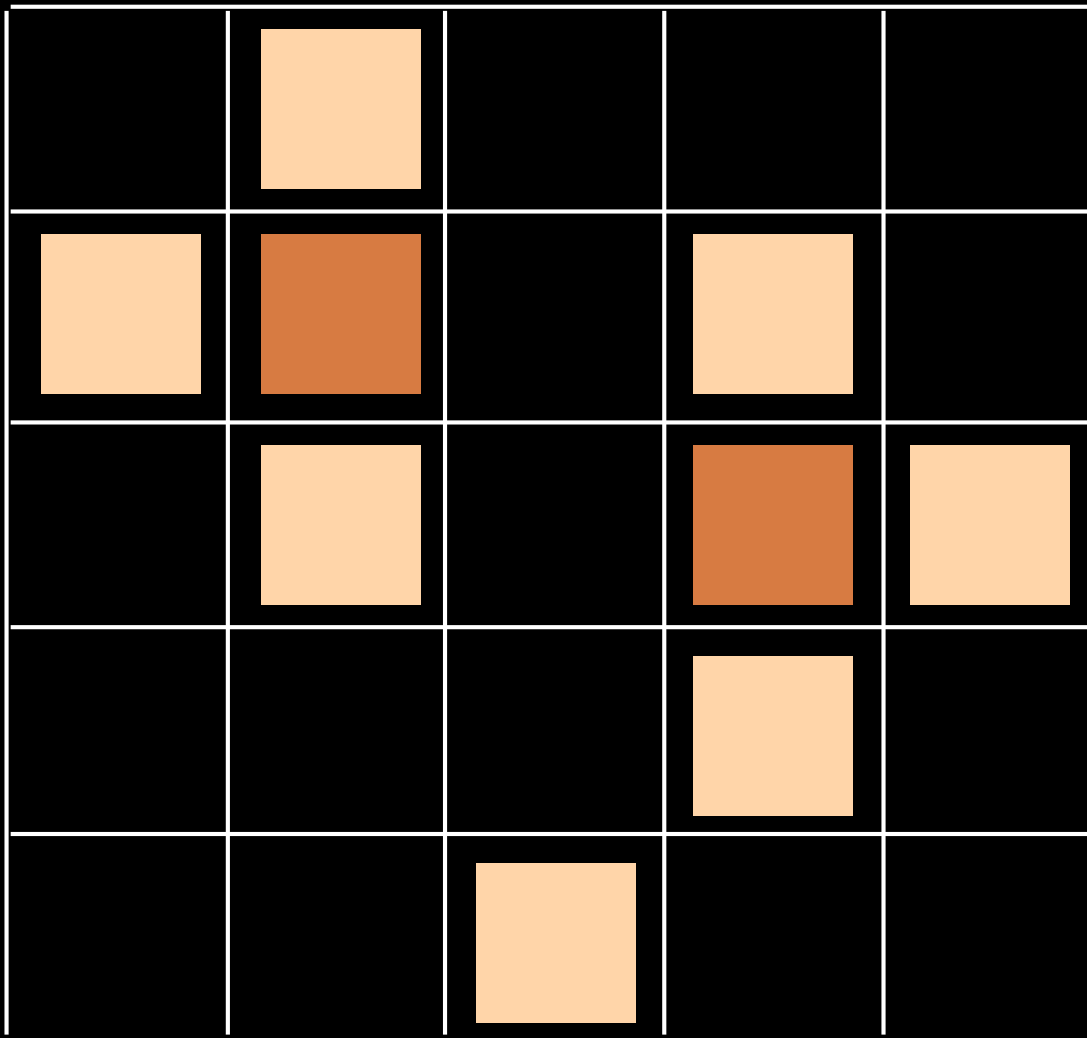
$$j = |W|_U - k$$

quadratic algebra for
alternating sign matrices (ASM)

ASM

.	1
.	.	1
1	.	-1	.	1	.	.
.	.	.	1	-1	1	.
.	.	1	-1	1	.	.
.	.	.	1	.	.	.

Alternating
sign
matrices



A, A', B, B'

commutations

$$\begin{cases} BA = AB + A'B' \\ B'A' = A'B' + AB \end{cases}$$

$$\begin{cases} B'A = AB' \\ BA' = A'B \end{cases}$$

Lemma. Any word $w(A, A', B, B')$ in letters A, A', B, B' , can be uniquely written

$$\sum C(u, v; w) \underbrace{u(A, A')}_{\substack{\text{word} \\ \text{in } A, A'}} \underbrace{v(B, B')}_{\substack{\text{word} \\ \text{in } B, B'}}$$

Prop. For $w = B^n A^n$
 $u = A'^n, v = B'^n$

$C(u, v; w)$ = the number of
 $n \times n$ ASM (alternating sign matrices)

complete Q-tableaux

Quadratic algebra \mathbb{Q}

generators $\mathcal{B} = \{B_j\}_{j \in J}$
 $\mathcal{A} = \{A_i\}_{i \in I}$

commutation relations

$$B_j A_i = \sum_{k,l} c_{ij}^{kl} A_k B_l \quad \text{for every } \begin{matrix} i \in I \\ j \in J \end{matrix}$$

lemma. In \mathbb{Q} every word $w \in (\mathcal{A} \cup \mathcal{B})^*$
 can be written in a unique way

$$w = \sum_{\substack{u \in \mathcal{A}^* \\ v \in \mathcal{B}^*}} c(u, v; w) uv$$

This polynomial can be obtained by successive rewriting rules:

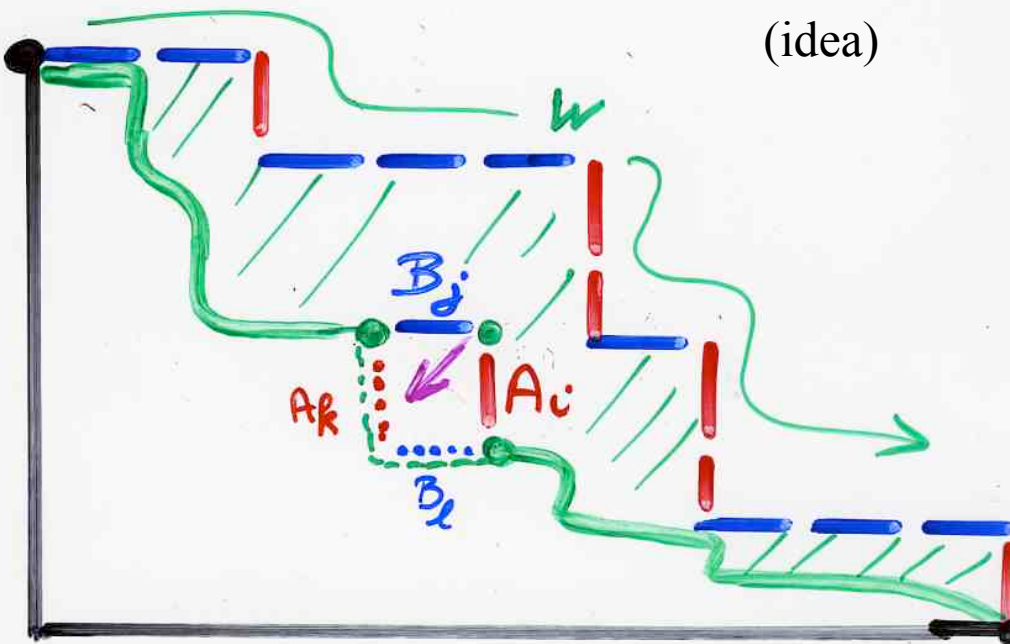
any occurrence $B_j A_i \rightarrow \sum c_{ij}^{kl} A_k B_l$

until no more such occurrence.

(Lemma) independent of the order of rewriting

Proof:

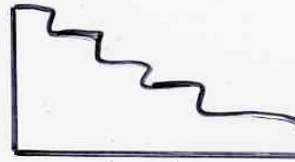
(idea)



complete

Def. Q-tableau

Ferrers diagram F

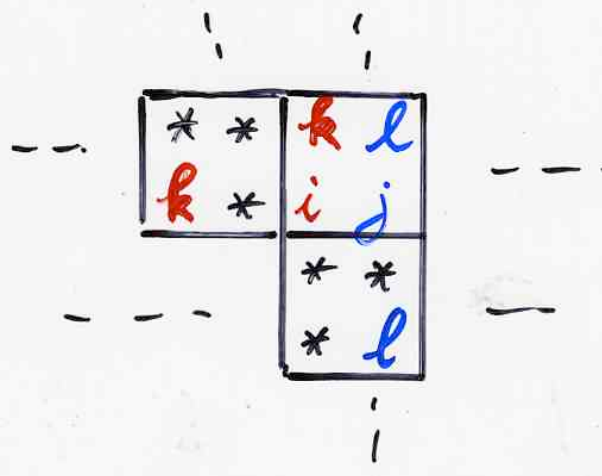


each cell $\alpha \in F$ labeled



$i, k \in I$
 $j, l \in J$

with "compatibility" condition:



commutation relations

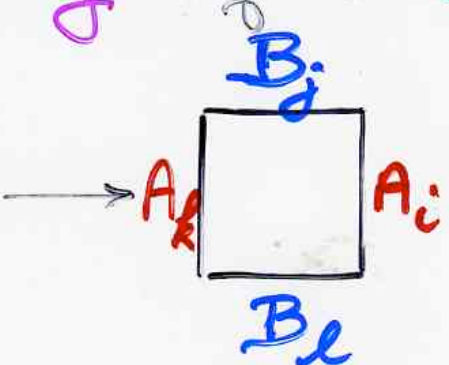
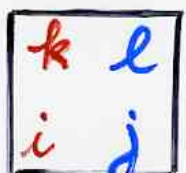
$$B_j A_i = \sum_{k, l} c_{ij}^{kl} A_k B_l$$

$i \in I$
 $j \in J$

complete

Def. edge-labeling of a Q-tableau T

each cell α

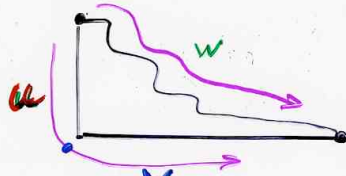


complete

Def. For T a Q -tableau

$$\begin{array}{l} uw\mathbf{b}(T) \in (\mathcal{A} \cup \mathcal{B})^* \\ lw\mathbf{b}(T) \end{array}$$

upper word border
lower word border



complete

Def. weight of a Q -tableau T

$$p(T) = \prod_{\substack{\text{cells} \\ \text{def}}} c_{i,j}^{k,l}$$

$$\alpha = \begin{bmatrix} k & l \\ i & j \end{bmatrix}$$

Prop For any $w \in (\mathcal{A} \cup \mathcal{B})^*$, $u \in \mathcal{A}^*$, $v \in \mathcal{B}^*$

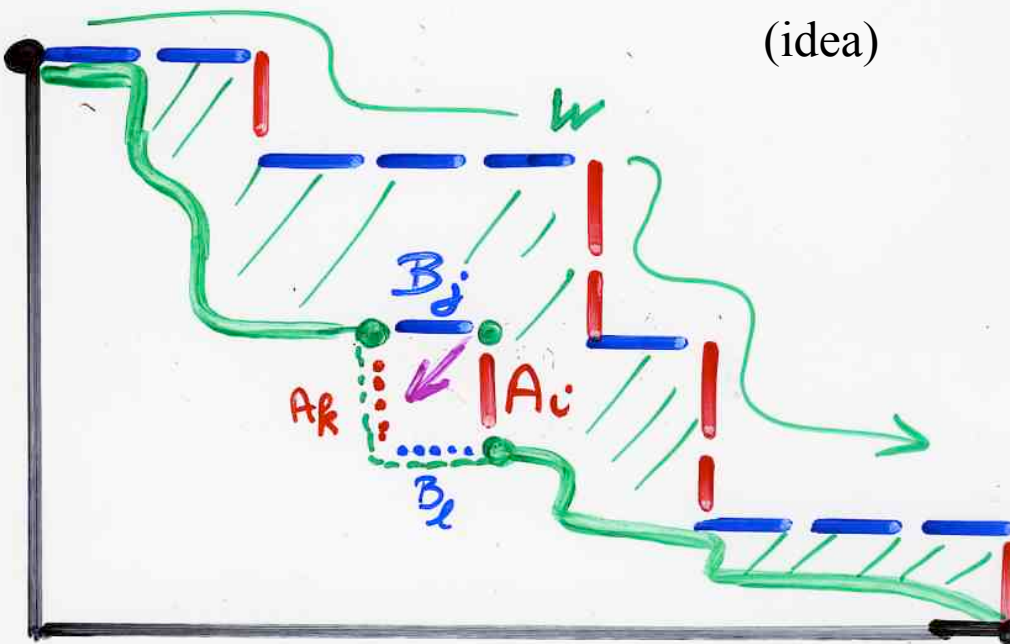
$$c(u, v; w) = \sum_T p(T)$$

complete Q -tableau

$$\begin{aligned} uw\mathbf{b}(T) &= w \\ lw\mathbf{b}(T) &= uv \end{aligned}$$

Proof:

(idea)



Q-tableaux

S set of labels

$$\varphi : \left\{ \begin{bmatrix} k-l \\ i-j \end{bmatrix} \right\} = R \longrightarrow S$$

set of rewriting rules

$$B_j A_i \rightarrow C_{ij}^{kl} A_k B_l$$

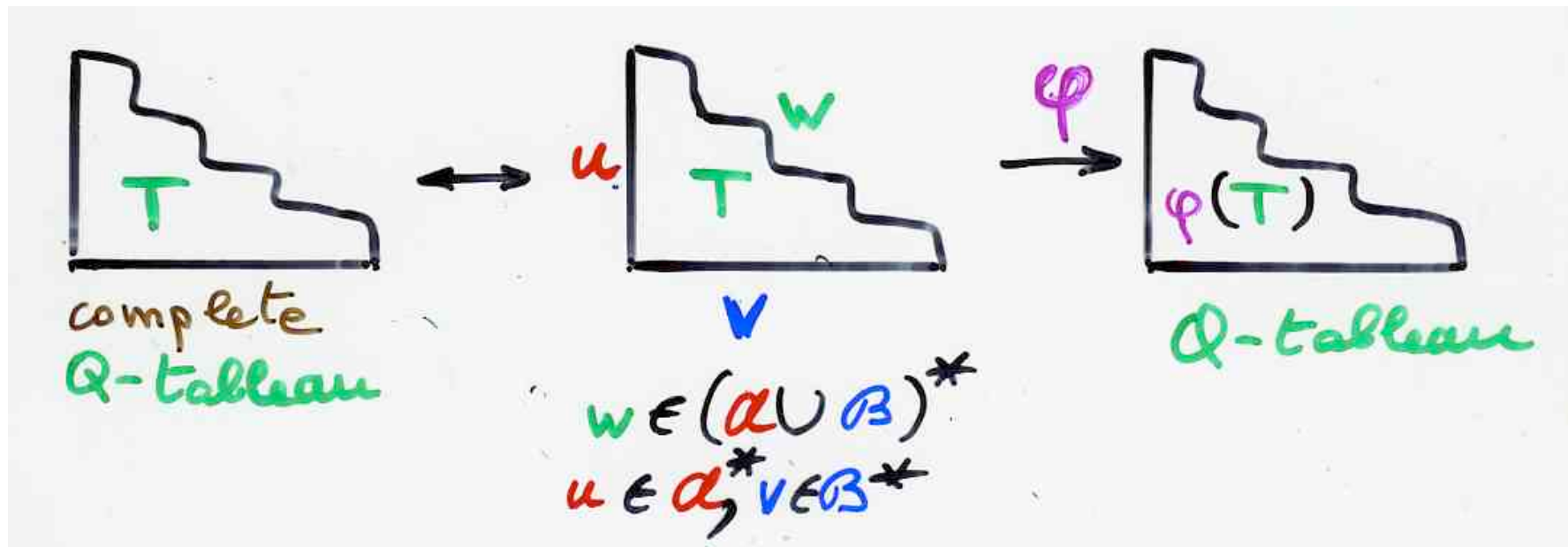
such that:

$$\text{if } \begin{pmatrix} k & l \\ i & j \end{pmatrix} \neq \begin{pmatrix} k' & l' \\ i' & j' \end{pmatrix} \text{ and } \varphi \begin{pmatrix} k & l \\ i & j \end{pmatrix} = \varphi \begin{pmatrix} k' & l' \\ i' & j' \end{pmatrix}$$

$$\text{then } (i, j) \neq (i', j')$$

Def- Q-tableau

"image" by φ of a
"complete Q-tableau"



w-compatible

w fixed
 $\{ \text{set of Q-tableaux } w\text{-compatible} \}$

\Updownarrow bijection

$\{ \text{set of complete Q-tableaux } T \}$
 with $uwb(T) = w$

Q-tableaux:
examples

$$iU\mathcal{D} = \mathcal{D}U + I$$

Weyl-Heisenberg algebra

$$\left\{ \begin{array}{l} UD = qDU + I_v I_h \\ UI_v = I_v U \\ I_h D = D I_h \\ I_h I_v = I_v I_h \end{array} \right.$$

$$w = U^n D^n$$

$$uv = I_v^n I_h^n$$

$$c(u, v; w) = n!$$

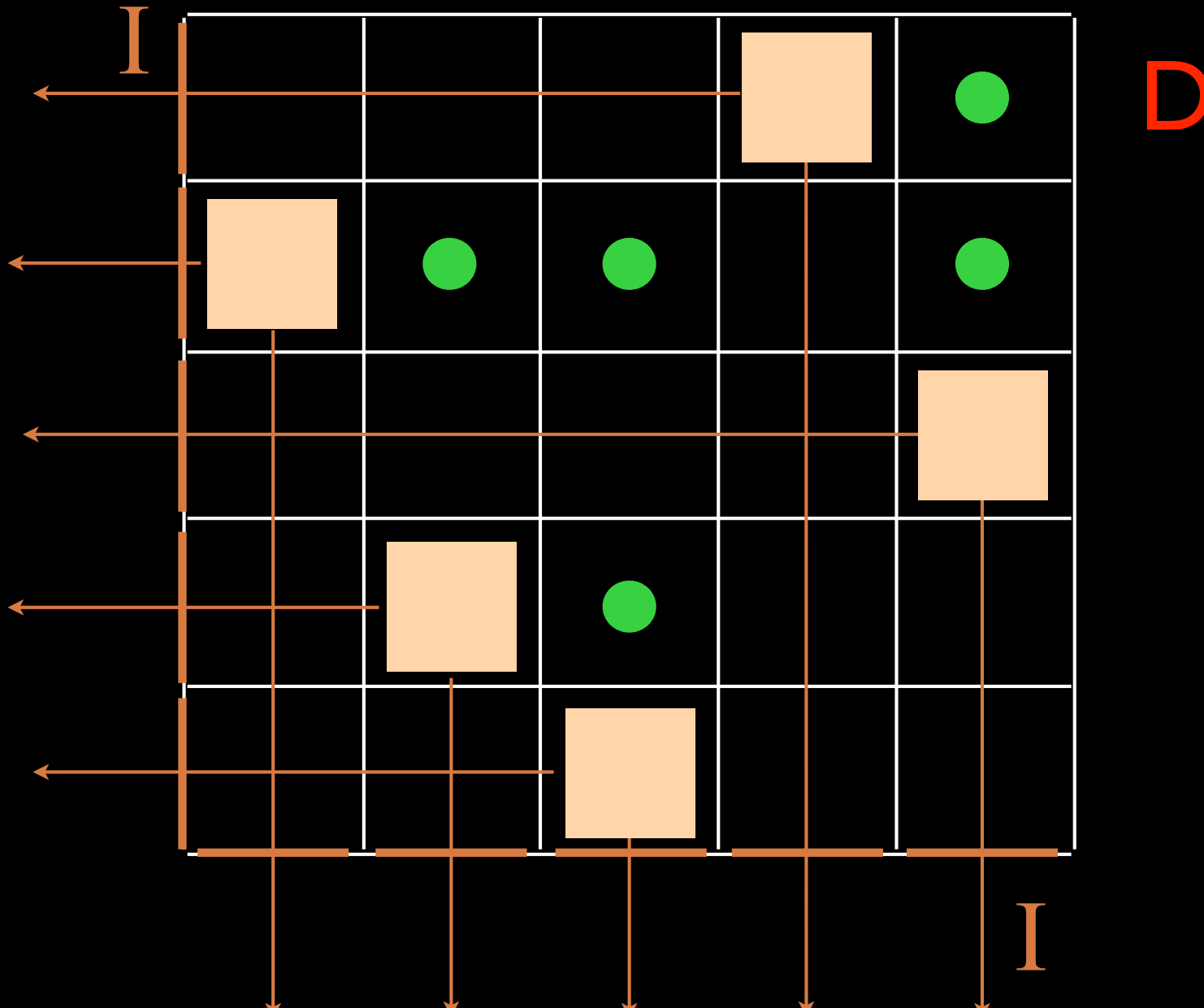
complete

Q-tableau

$$\begin{cases} uw b(T) = U^n D^n \\ lw b(T) = I_v^n I_h^n \end{cases}$$

\longleftrightarrow Permutations
 G_n

U

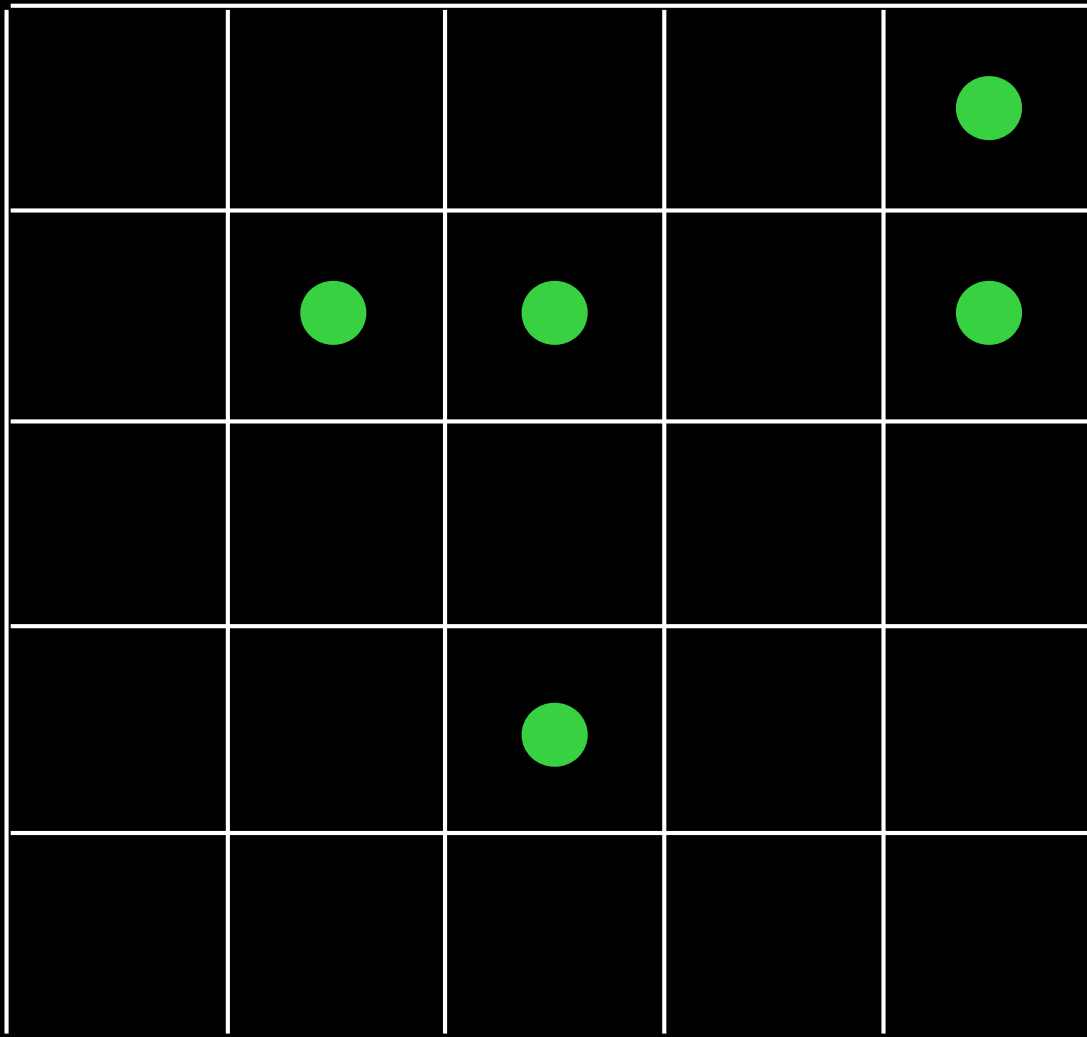


D

permutation as a complete Q-tableau

A 5x5 grid with 5 orange squares placed at (1,4), (2,2), (3,5), (4,3), and (5,1).

permutation as a Q-tableau



another Q-tableau:
Rothe diagram of a permutation

équivalence
Q-tableaux -- planar automaton

equivalence

Q-tableaux



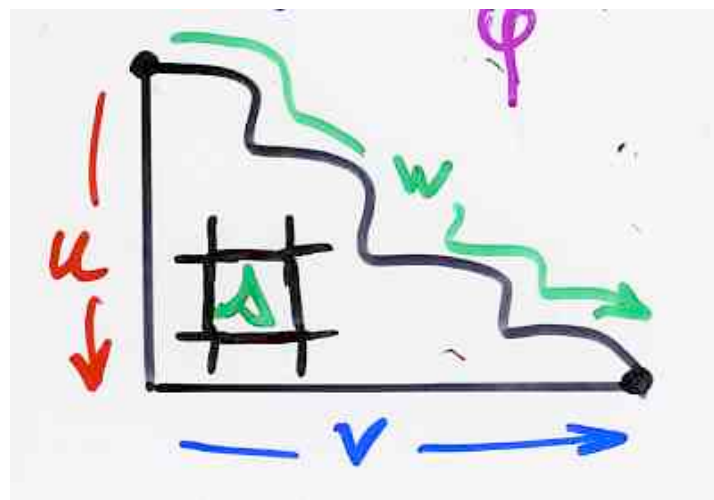
tableaux

accepted by a

Q quadratic
algebra



Ψ



tableaux

accepted by a

planar automaton

$$P = (S, B, \alpha, \theta, w, uv)$$

with P satisfying

$$\theta(s, B, A) = \theta(t, B, A)$$



$$s = t$$

$$BA = \sum_{s \in S} A'B'$$

$$(B', A') = \theta(s, B, A)$$

The 8-vertex algebra
(or XYZ - algebra)
(or Z - algebra)

The quadratic algebra \mathbb{Z}

4 generators $B_0 A_0 BA$
8 parameters $q_{...}, t_{...}$

$$\left\{ \begin{array}{l} BA = q_{00} AB + t_{00} A_B \\ B_0 A_0 = q_{00} A_0 B_0 + t_{00} AB \\ B_0 A = q_{00} A B_0 + t_{00} A_B \\ BA_0 = q_{00} A_0 B + t_{00} AB_0 \end{array} \right.$$

alternating sign matrices (ASM)
(as a Q-tableau)

$$t_{00} = t_{00}^* = 0$$

The quadratic algebra \mathbb{Z}

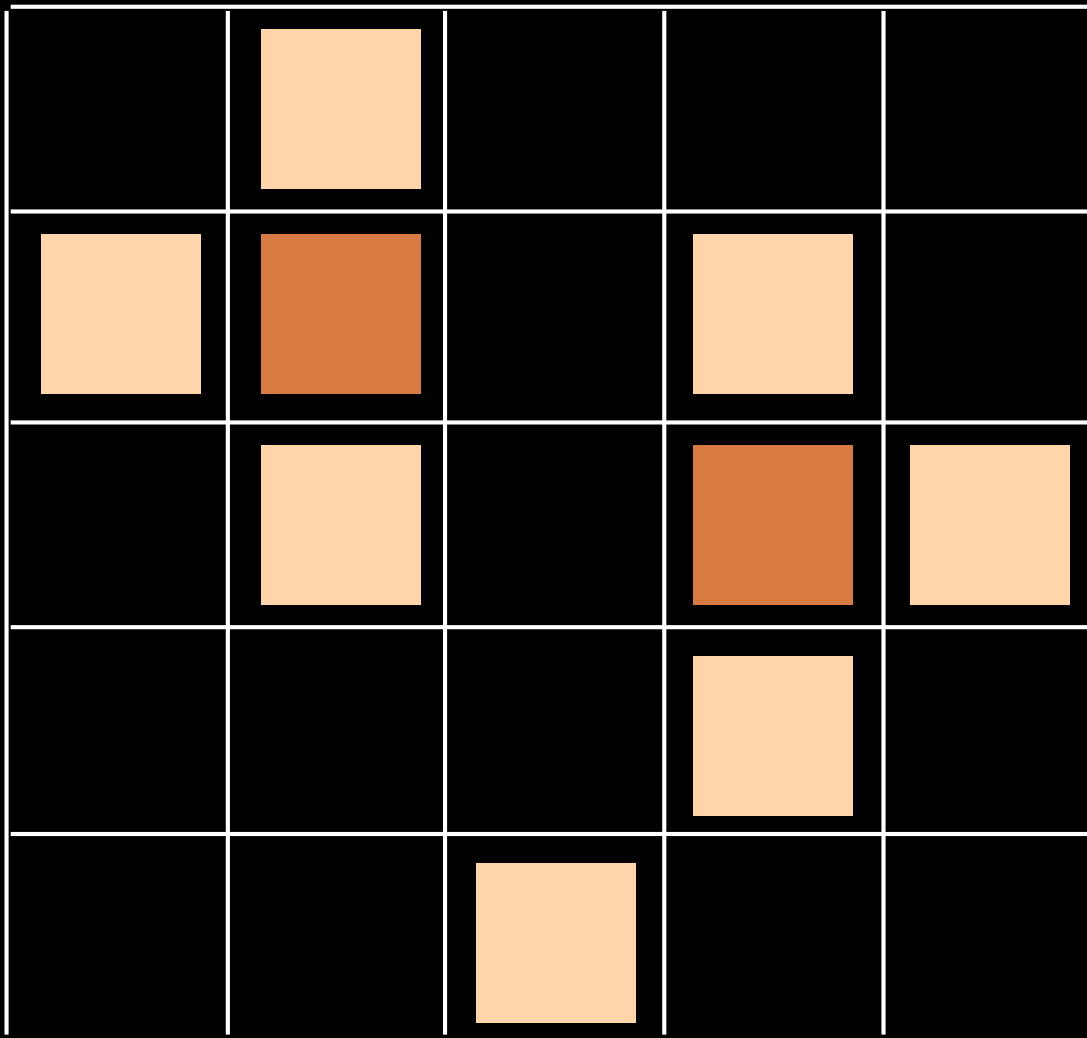
4 generators $B_0 A_0 BA$
8 parameters $q_{...}, t_{...}$

$$\left\{ \begin{array}{l} BA = q_{00} AB + t_{00} A_B \\ B_A = q_{00} A_B + t_{00} AB \\ B_0 A = q_{00} A_B + \text{○} A_B \\ BA_0 = q_{00} A_B + \text{○} AB \end{array} \right.$$

$$w = B^n A^n$$

$$uv = A_0^n B_0^n$$

$$c(u, v; w) = \text{nb of ASM } n \times n$$

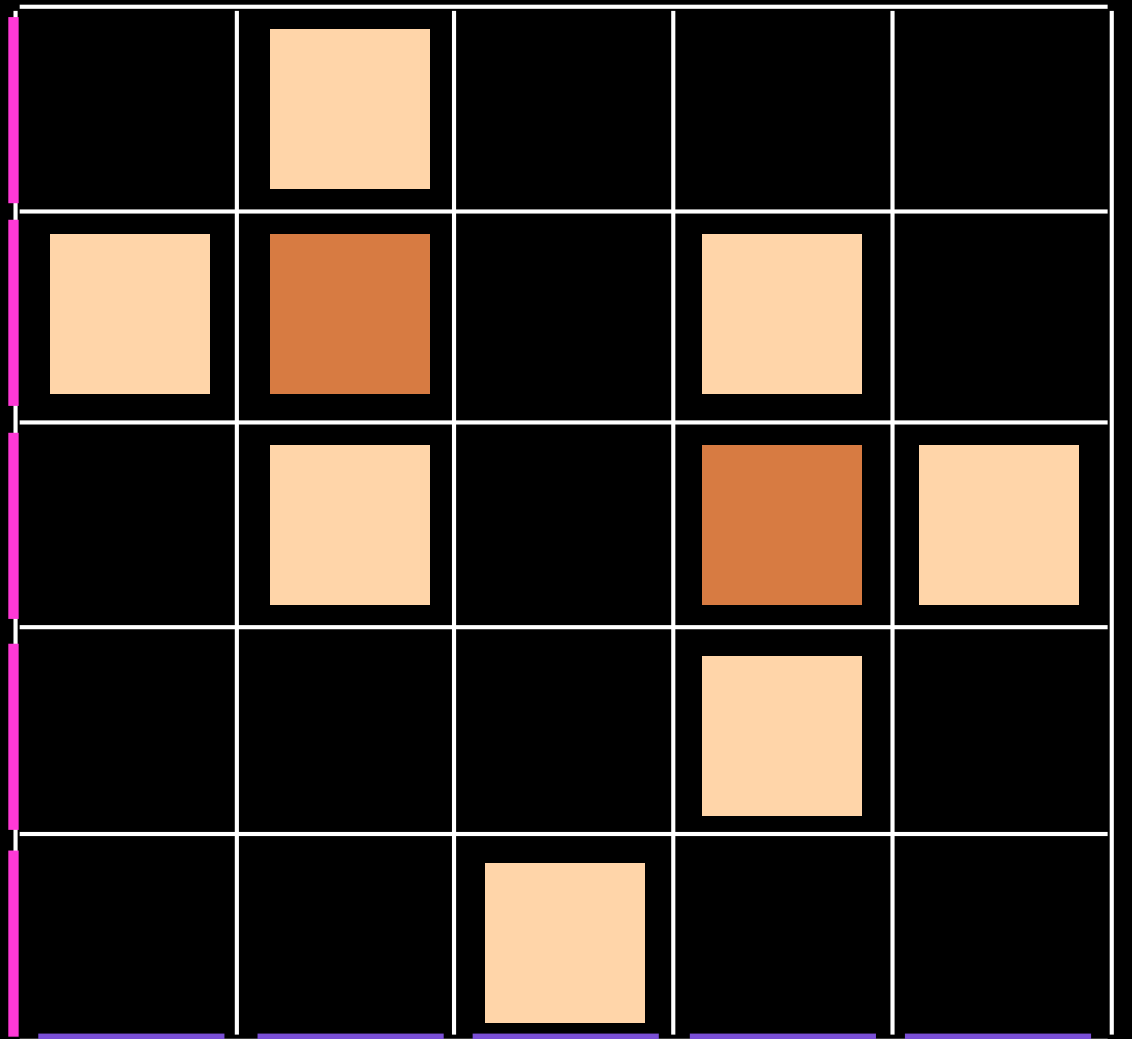


A'

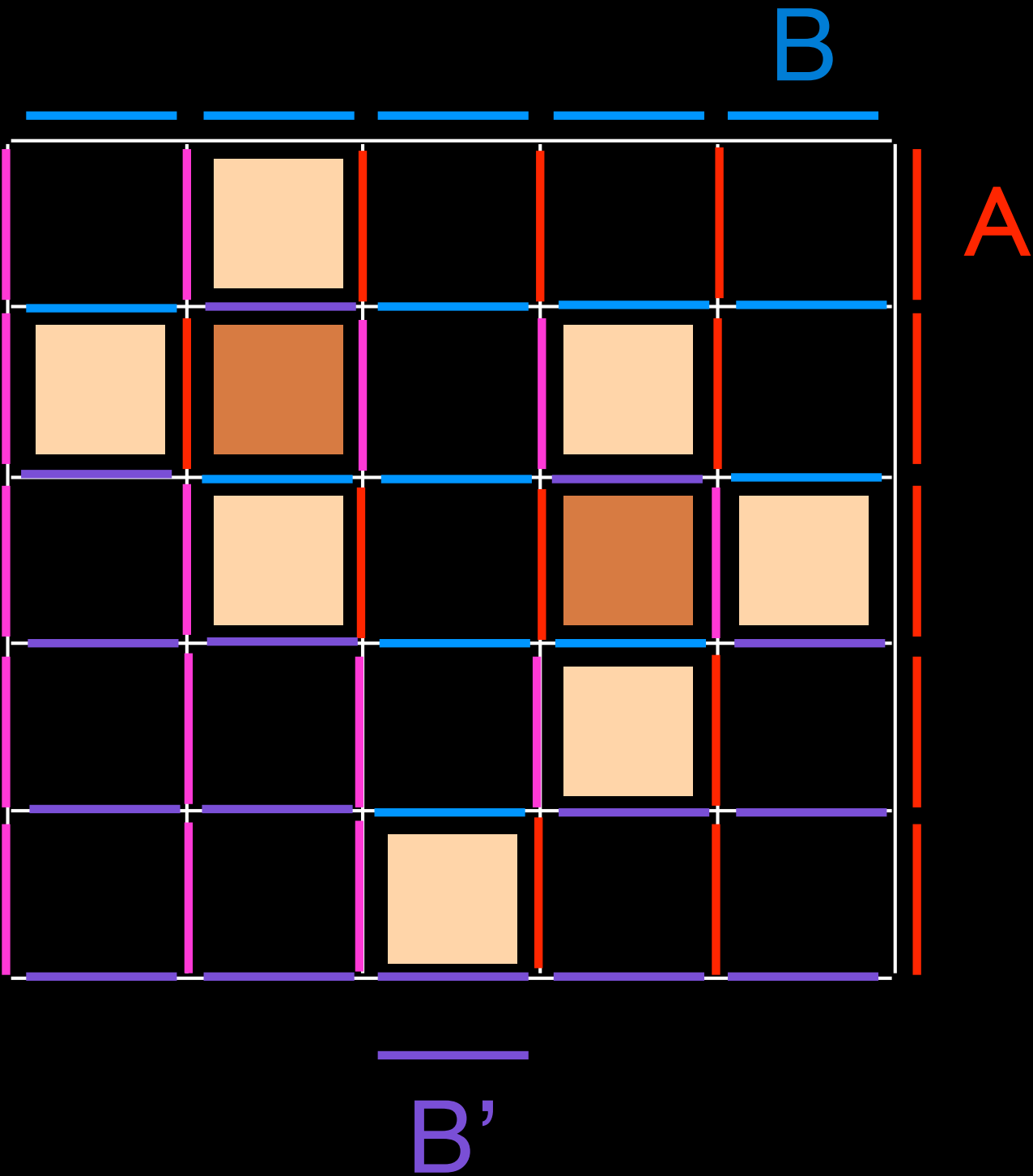
B

A

B'



A'

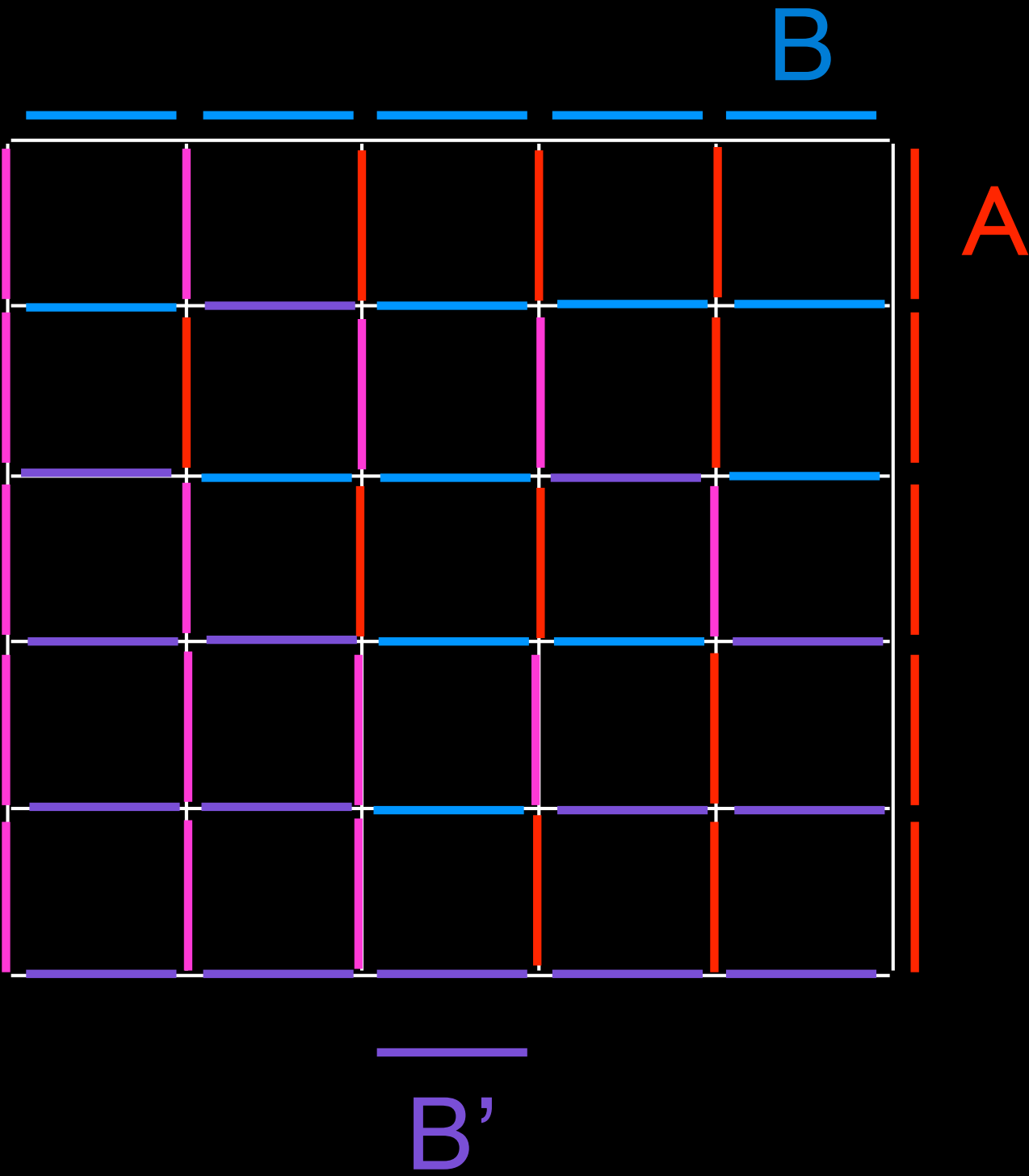


B

A

B'

A'



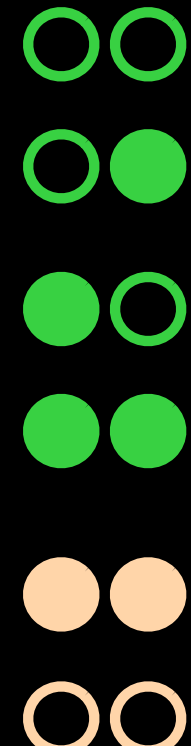
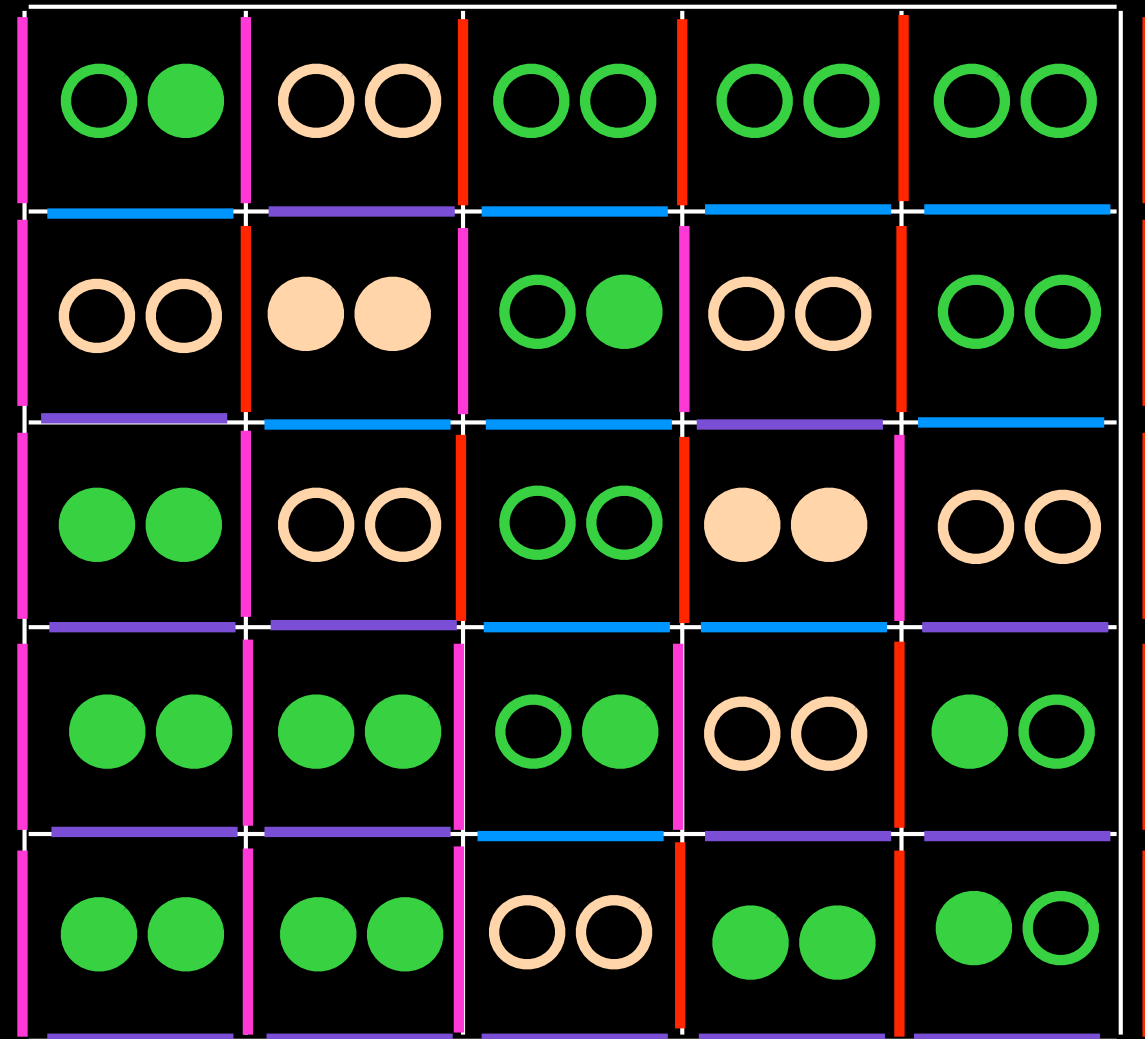
B'

A'

B

A

B'

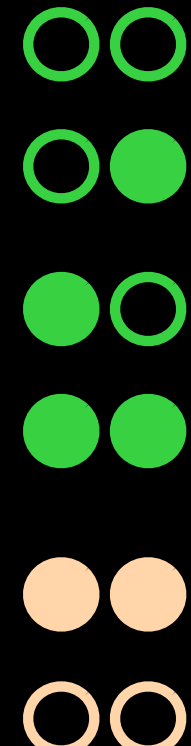


A'

B

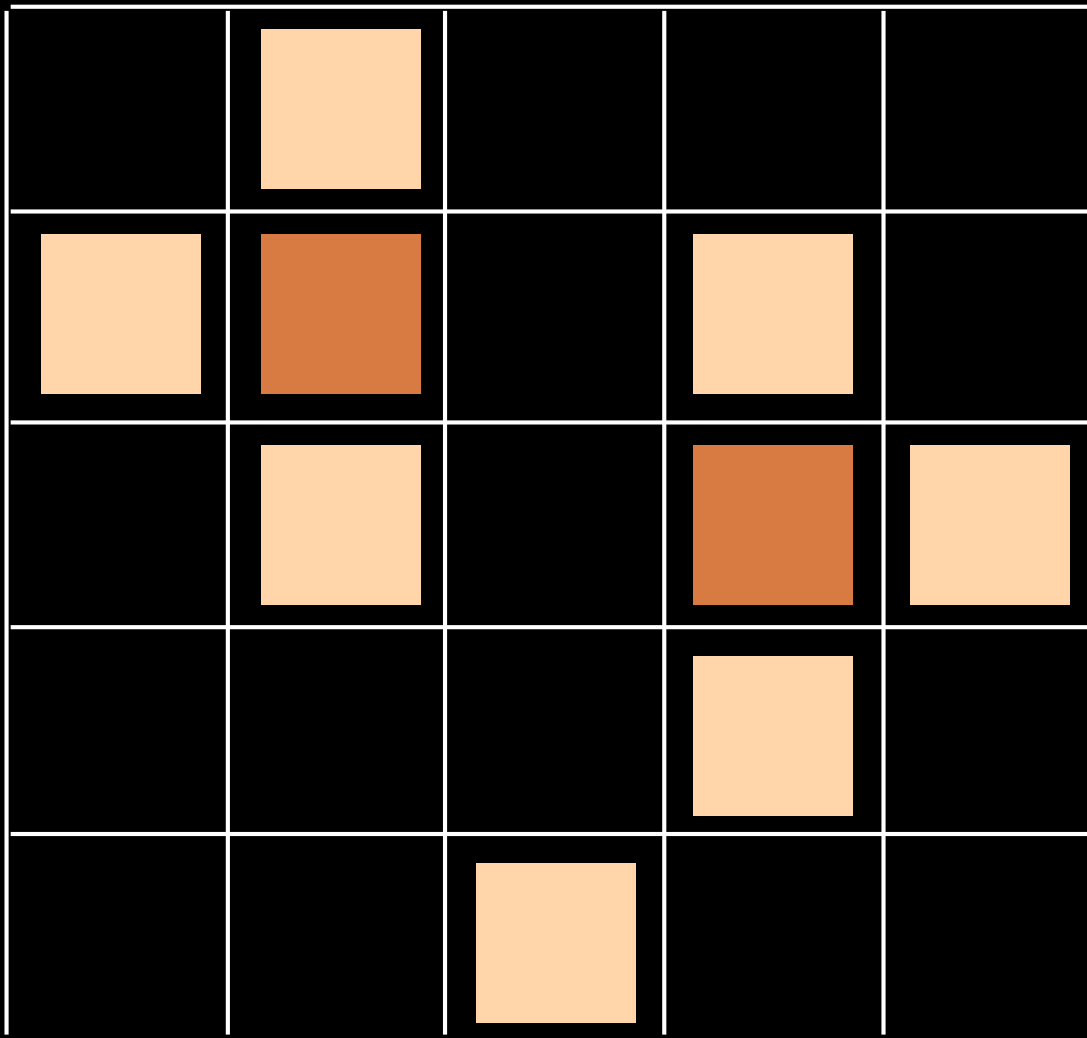
A

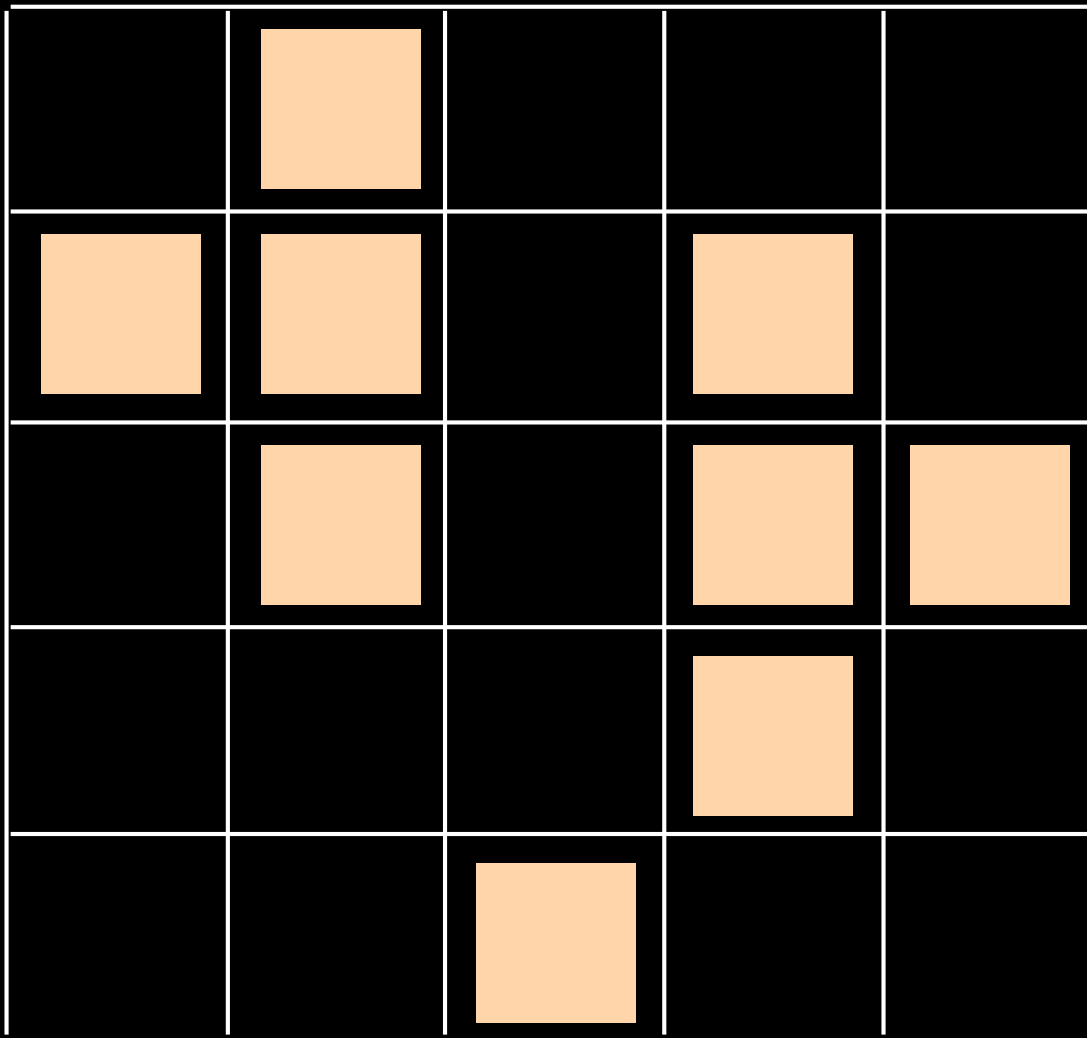
B'

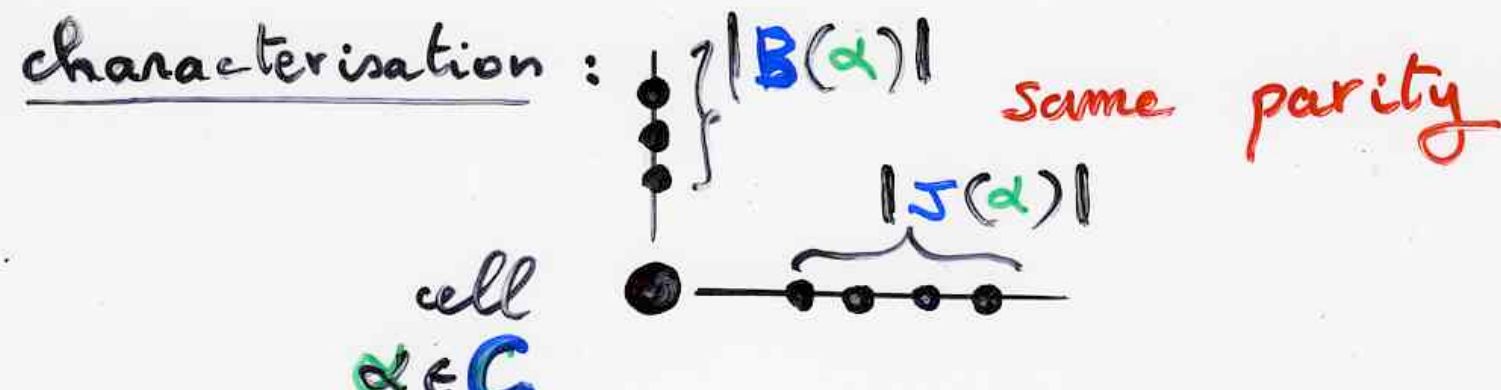
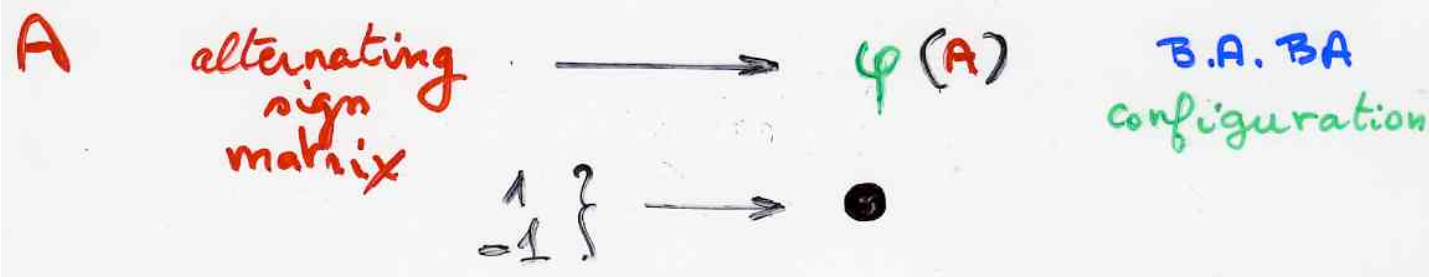


A alternating sign matrix $\longrightarrow \varphi(A)$ B.A. BA configuration

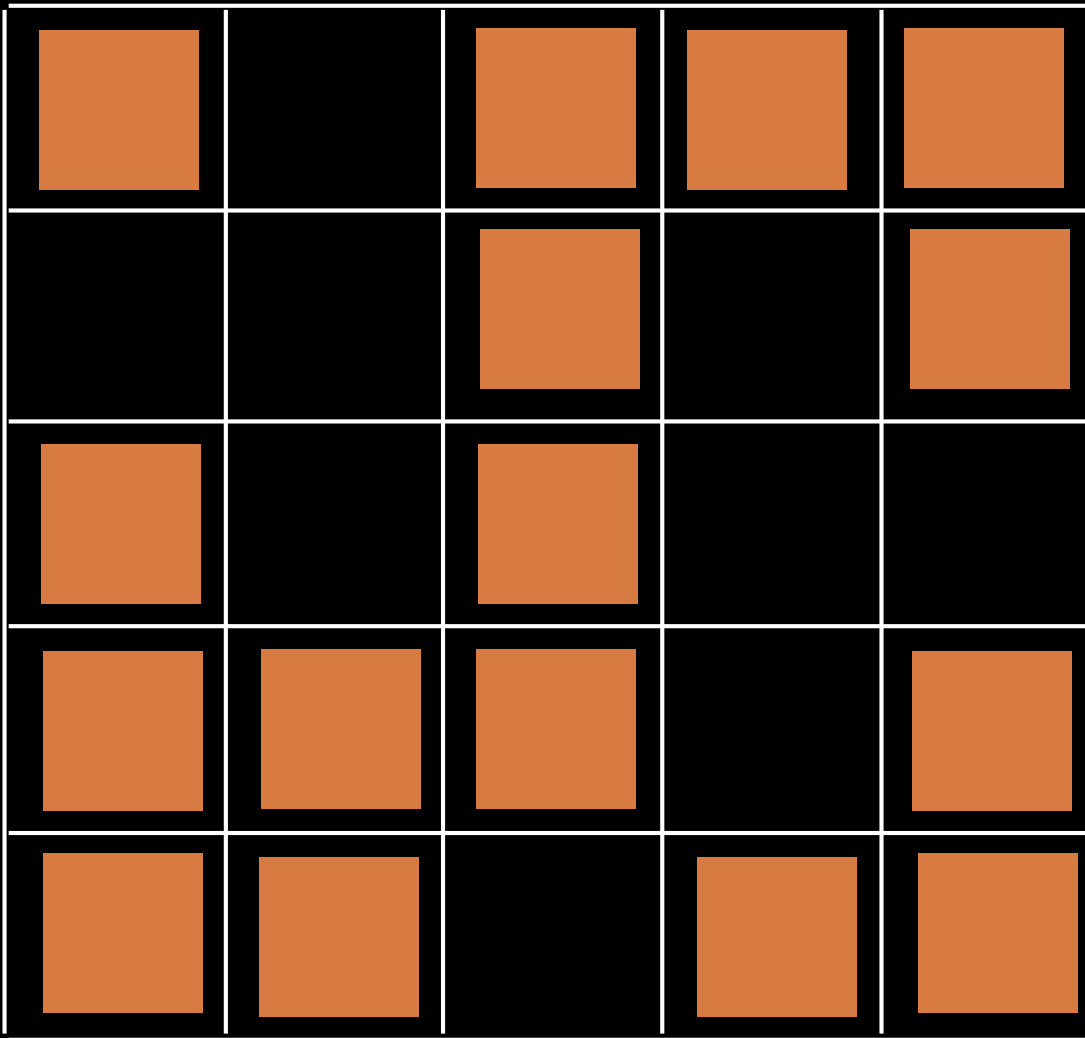
$$\begin{matrix} 1 \\ -1 \end{matrix} \xrightarrow{\quad} \bullet$$





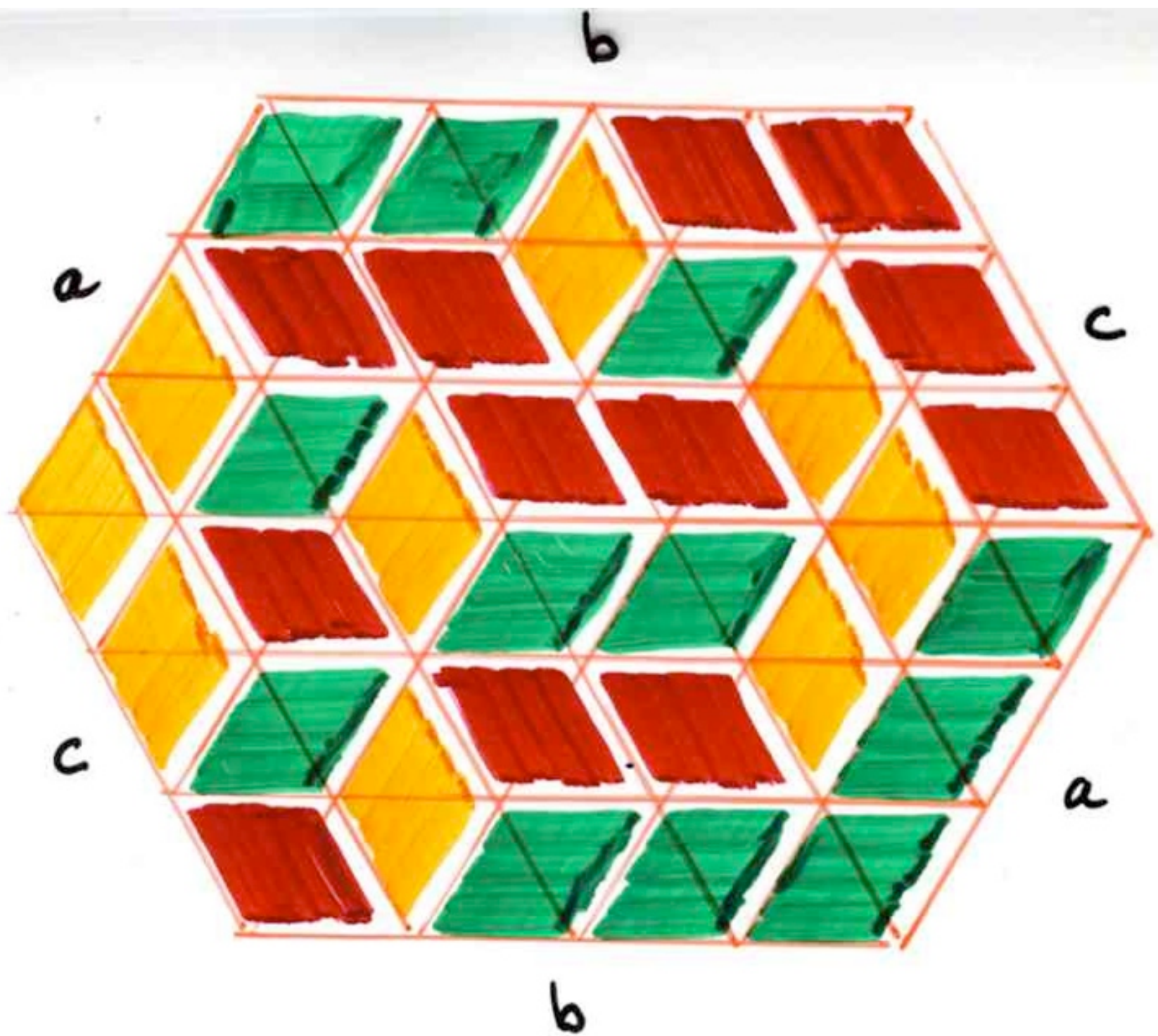


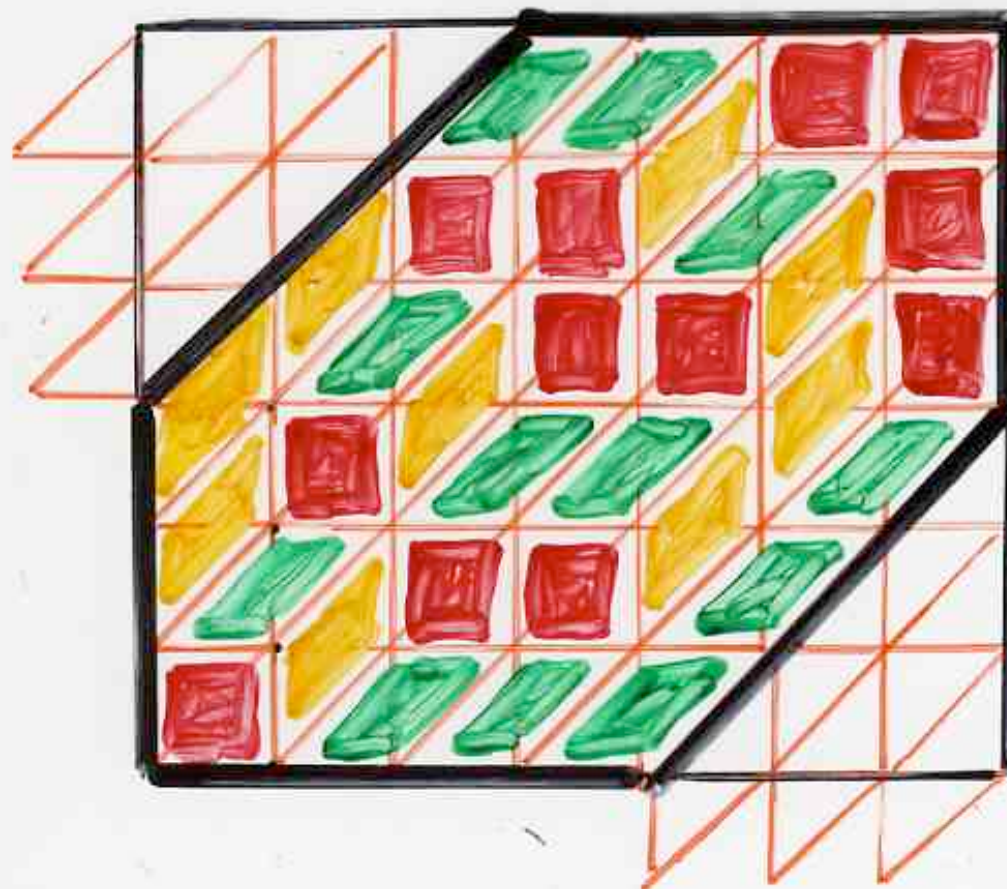
+ in each row and column
odd number of cells in C

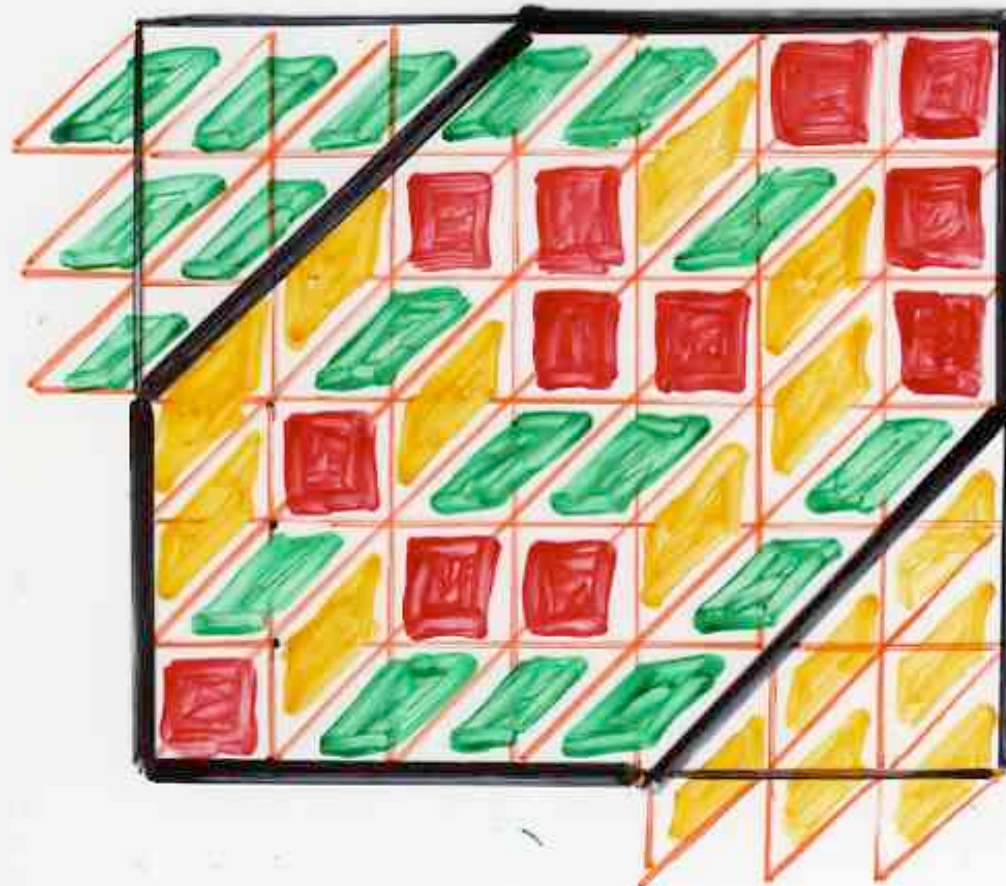


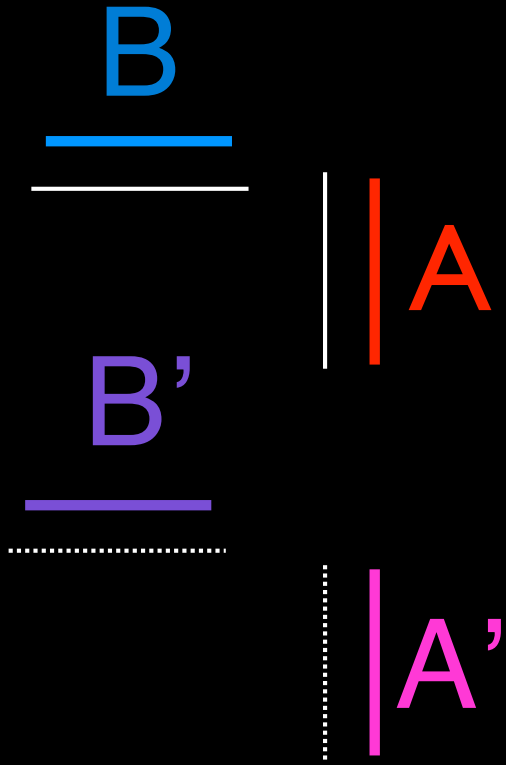
Prop. - The number of configurations B.A. BA
on $n \times n$ is $2^{(n^2)}$

rhombus tilings

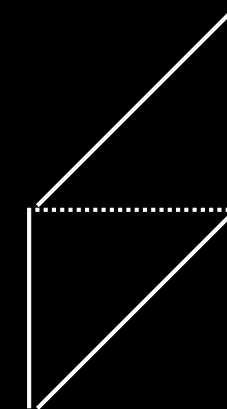
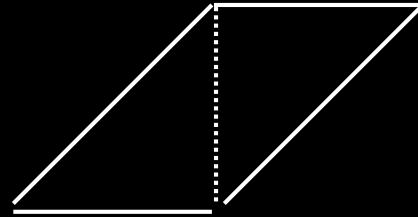








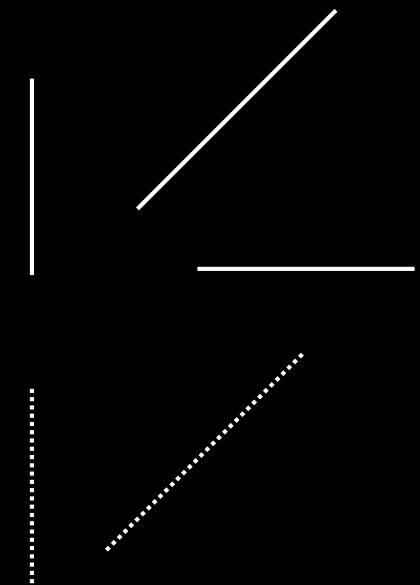
coding of the edges
for tilings
of the triangular lattice



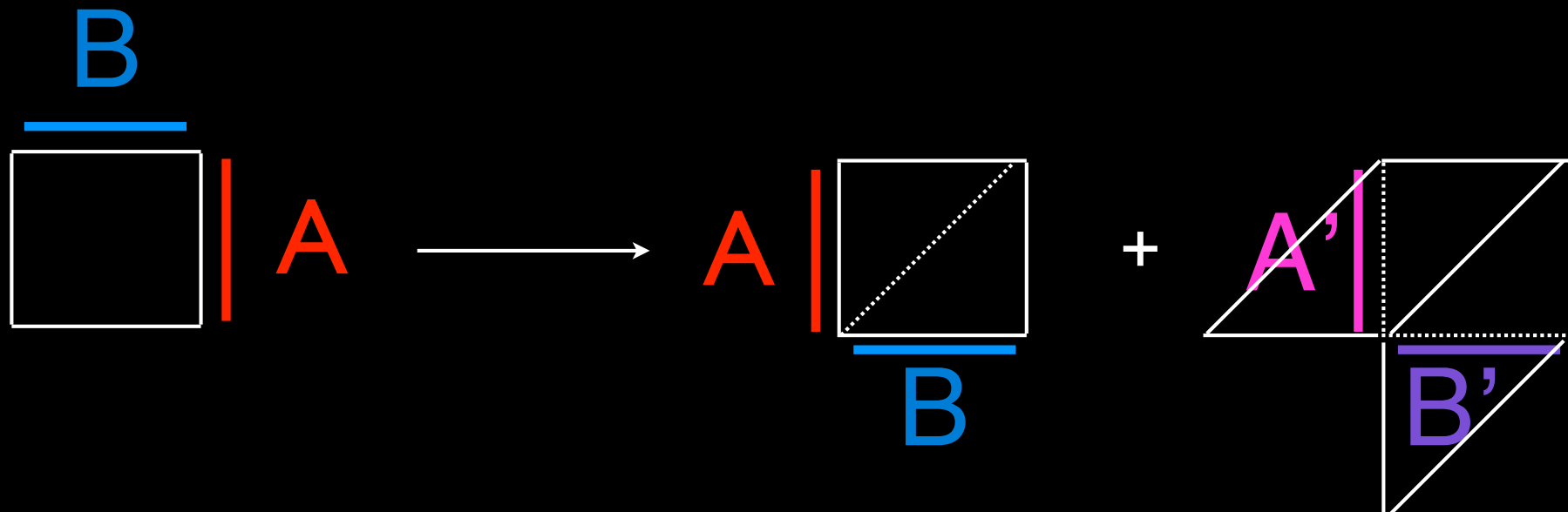
3 type of tiles

border of a tile

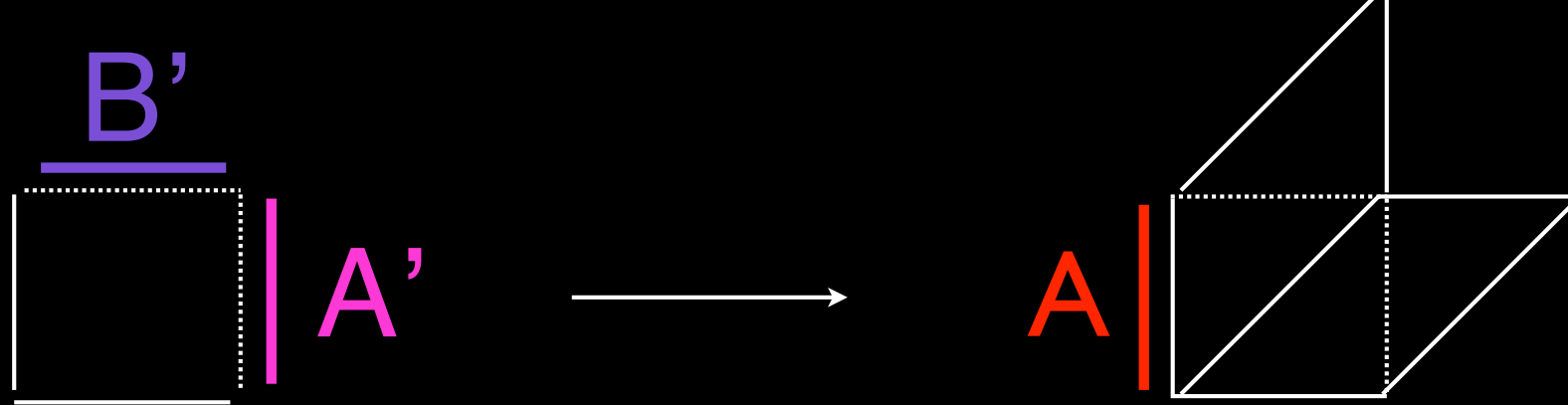
inside a tile



“rewriting rules” for tilings of the triangular lattice

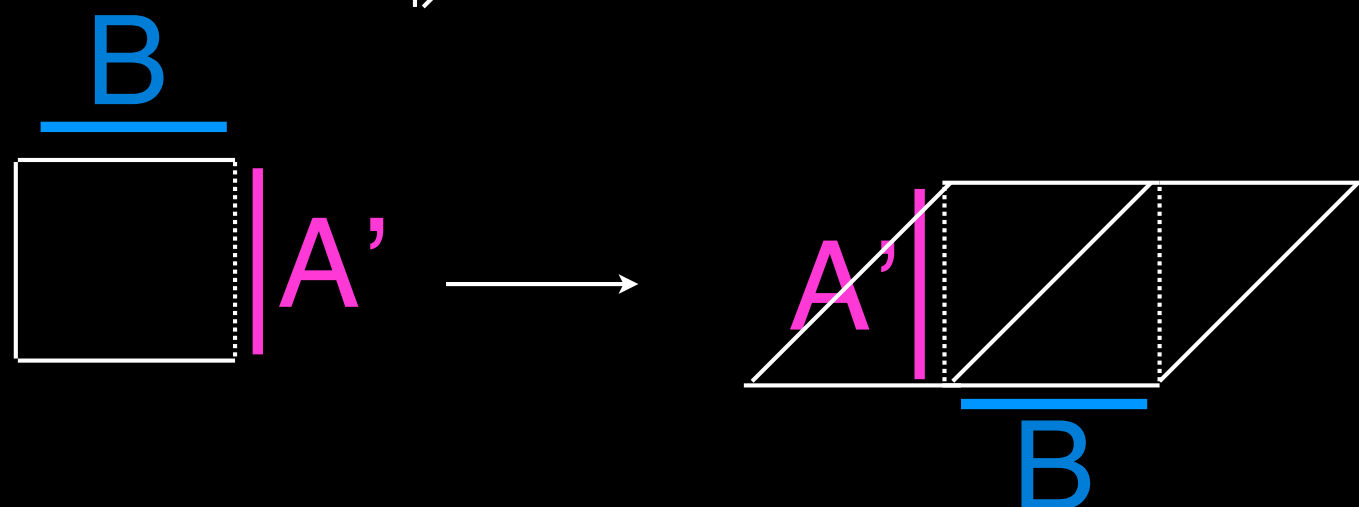
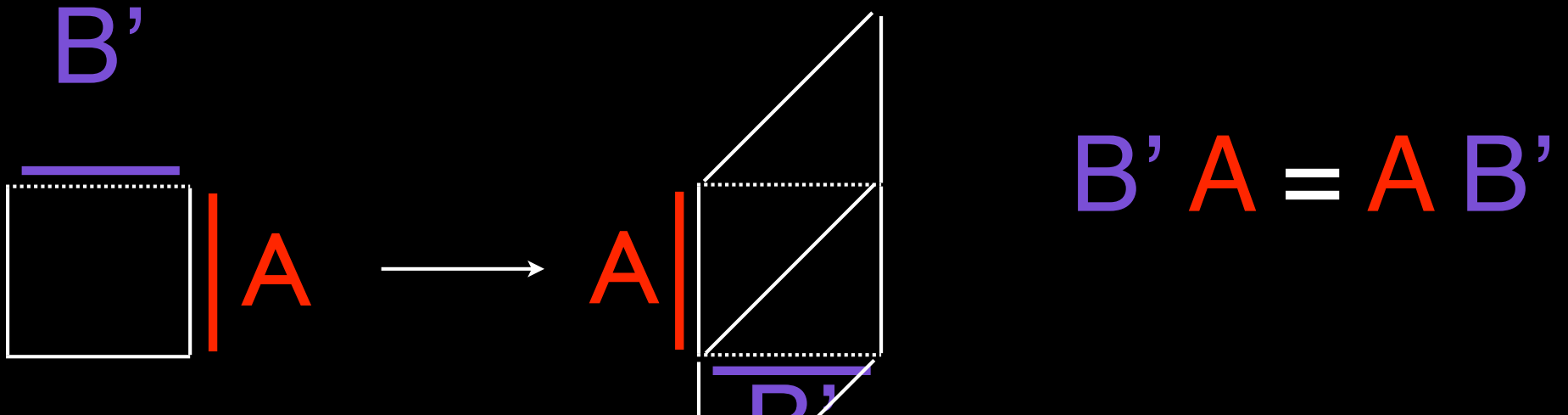


$$BA = AB + A'B'$$



$$B'A' = AB$$

“rewriting rules” for tilings of the triangular lattice



“rewriting rules” for tilings of the triangular lattice

$$BA = AB + A'B'$$

$$B'A' = AB$$

$$B'A = AB'$$

$$BA' = A'B$$

same as for ASM , except the rewriting rule

$$B'A' \longrightarrow A'B' \text{ is forbidden}$$

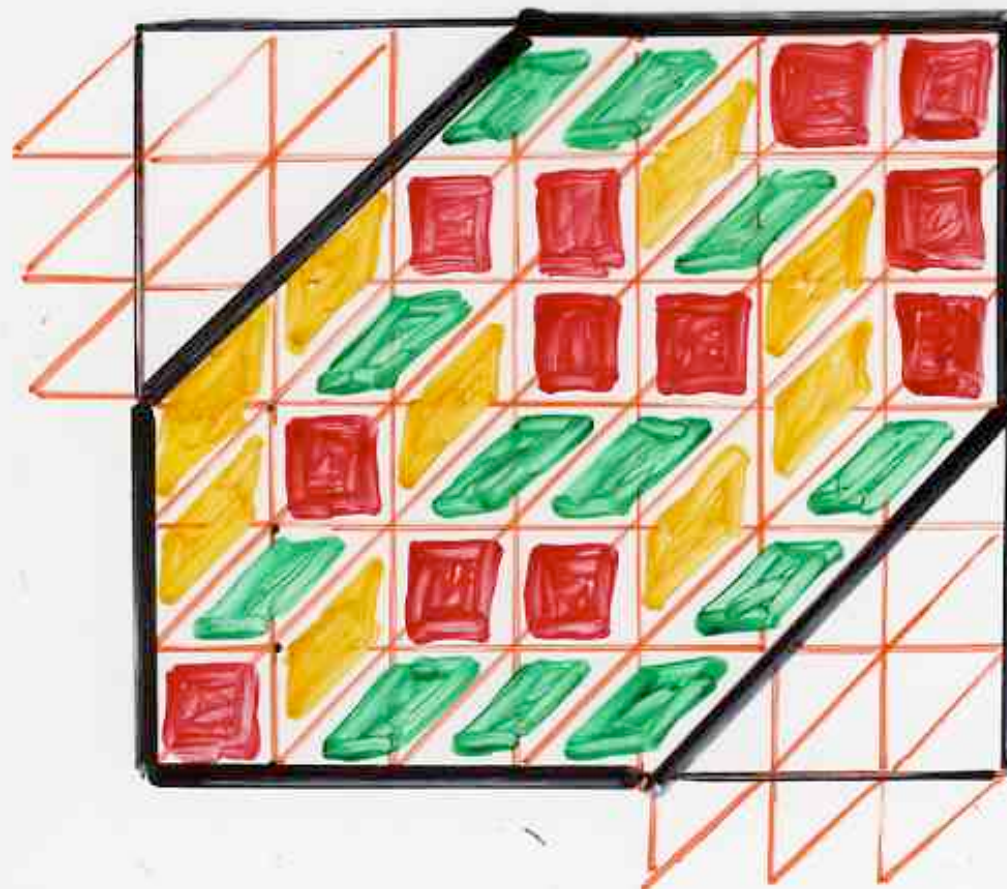
$$\left\{ \begin{array}{l} t_{00} = t_{00} = 0 \\ q_{00} = 0 \end{array} \right. \quad (\text{ASM})$$

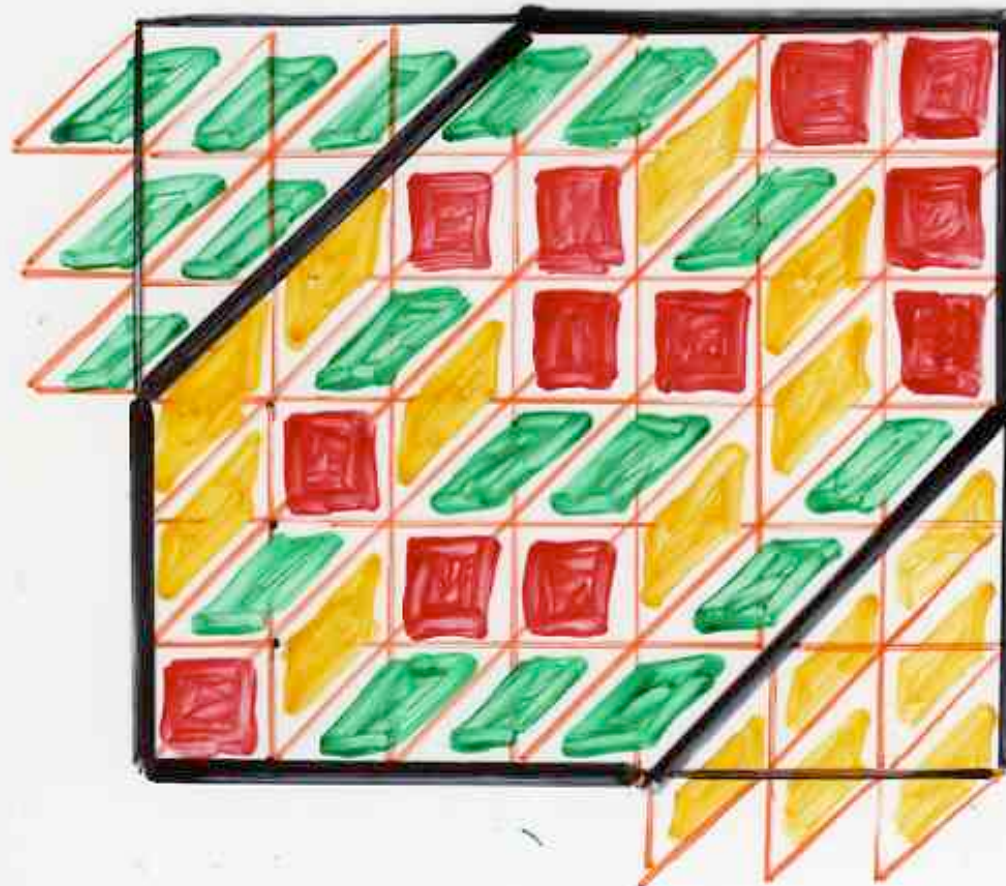
Rhombus tilings

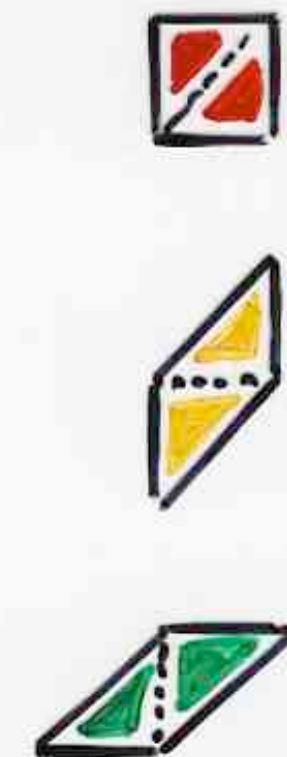
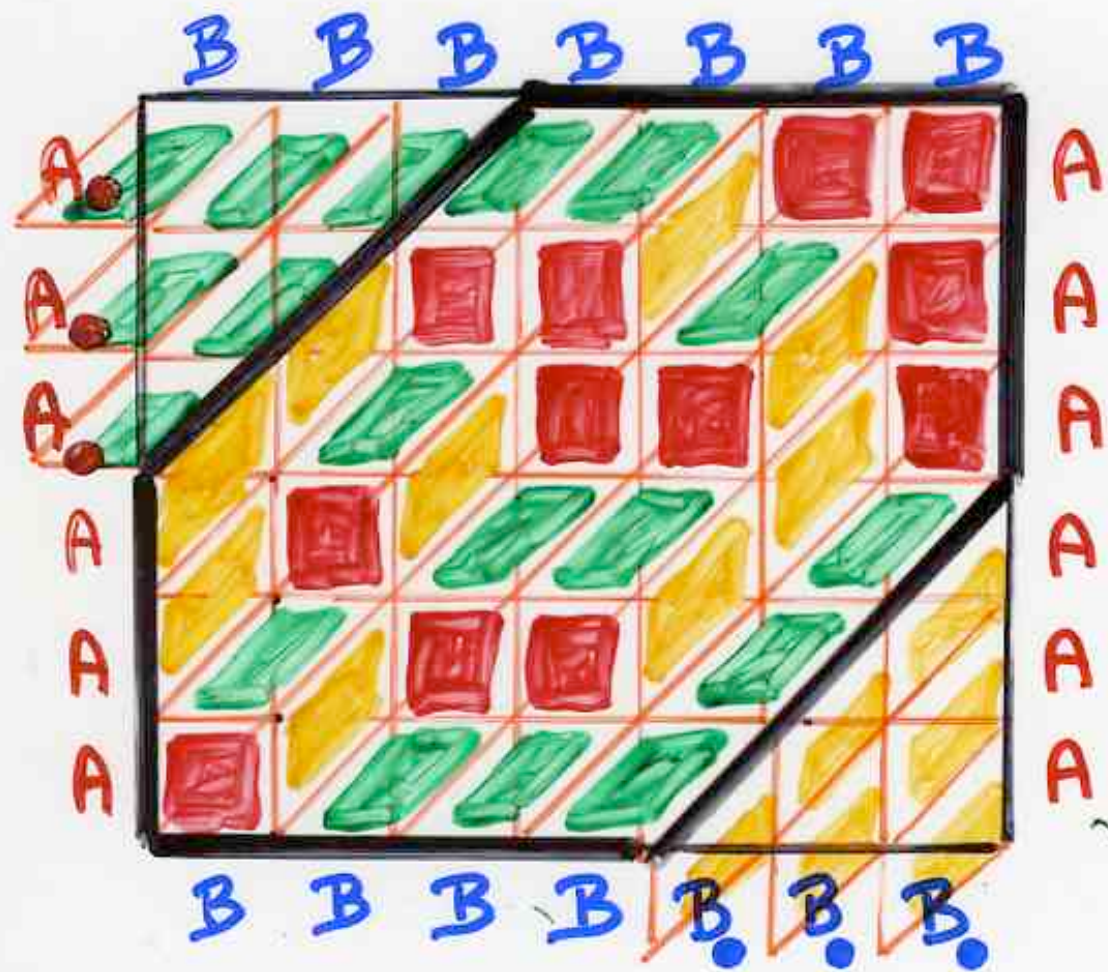
The quadratic algebra \mathbb{Z}

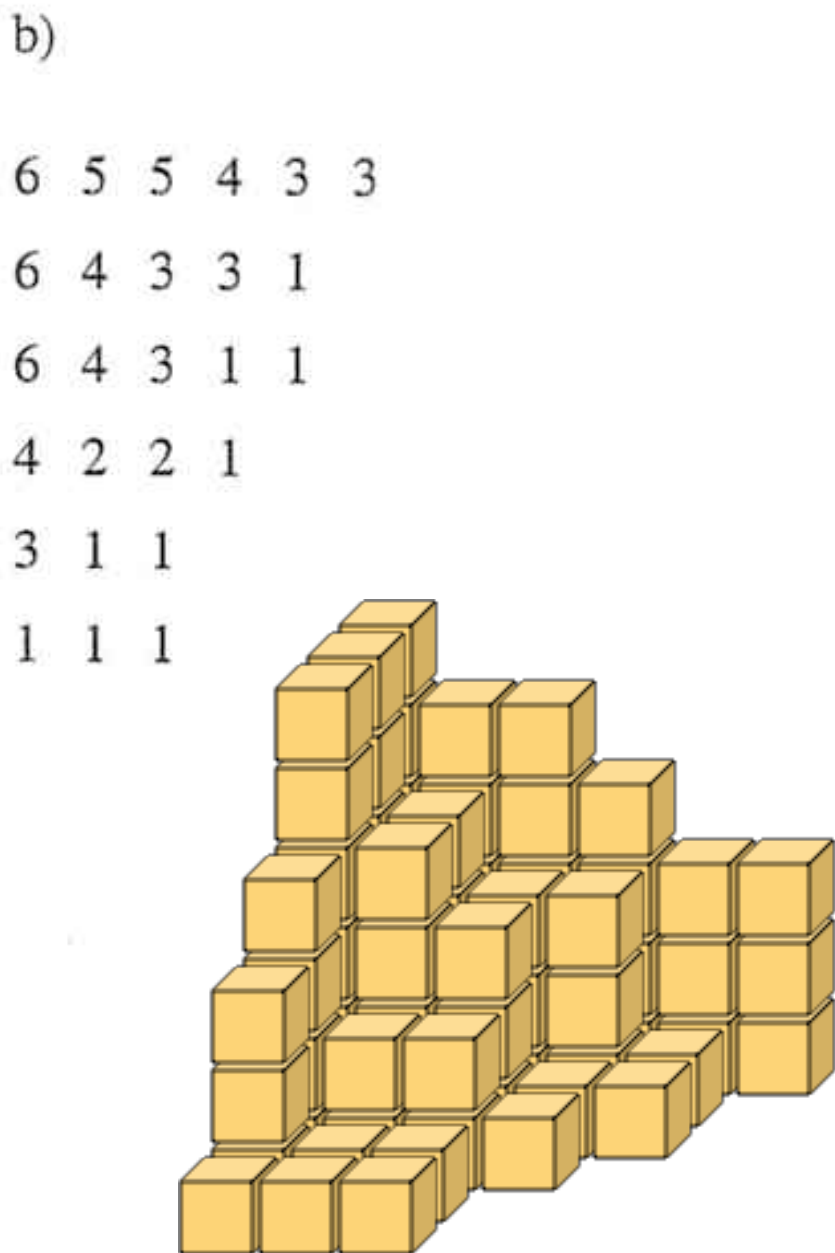
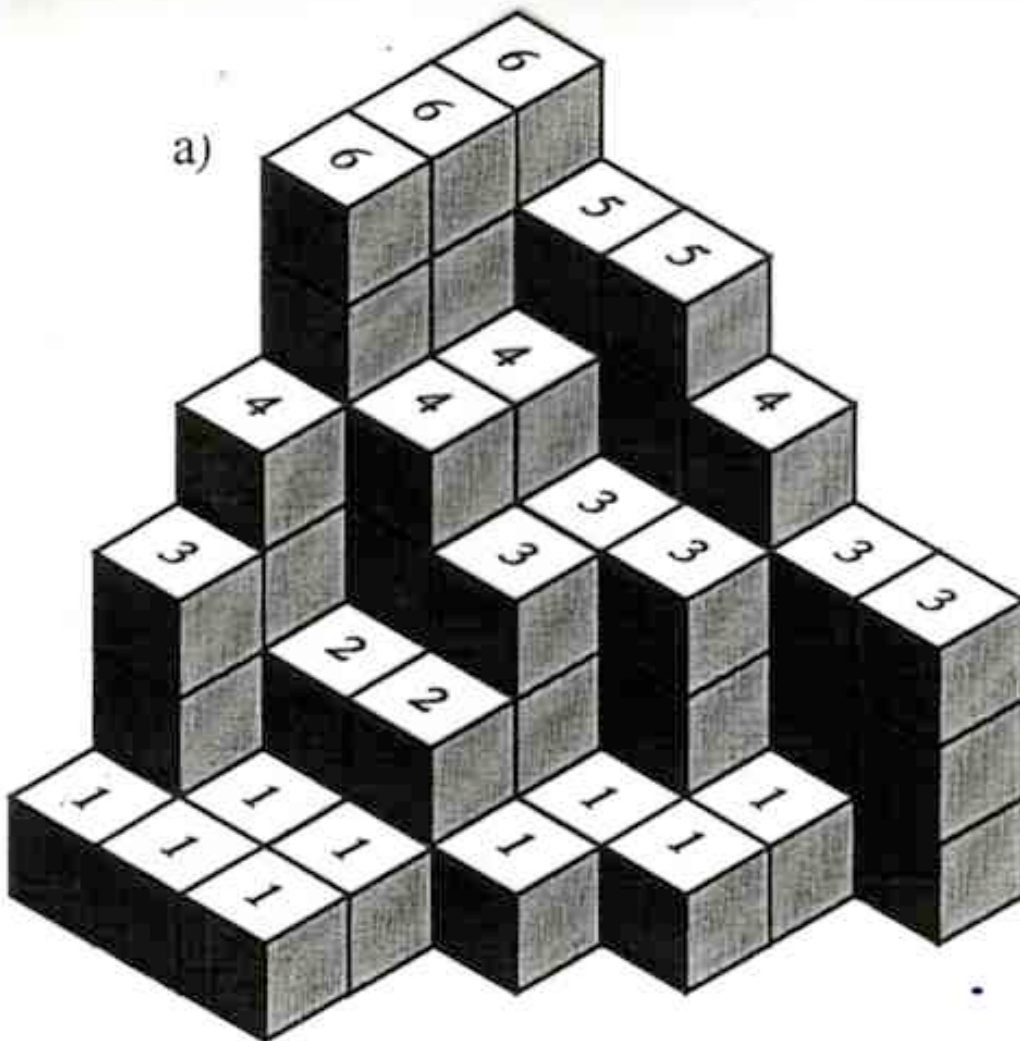
4 generators $B_0 A_0 B A$
8 parameters $q_{...}, t_{...}$

$$\left\{ \begin{array}{l} BA = q_{00} AB + t_{00} A_B \\ B_A = \bigcirc A_B + t_{00} AB \\ B_A = q_{00} AB + \bigcirc A_B \\ BA = q_{00} A_B + \bigcirc AB \end{array} \right.$$



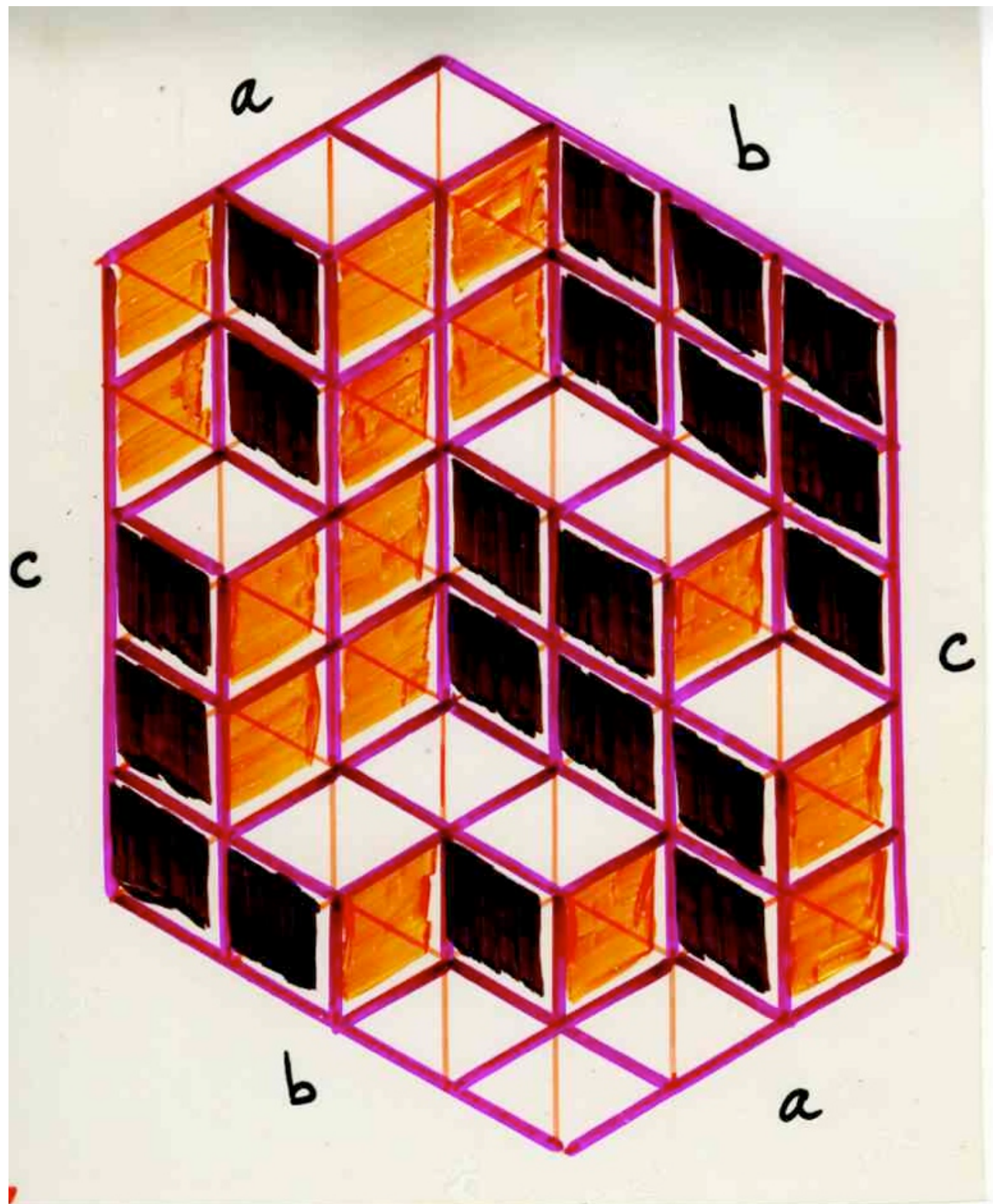






example:
plane
partitions
in a box

(MacMahon
formula)



\prod

$$1 \leq i \leq a$$

$$1 \leq j \leq b$$

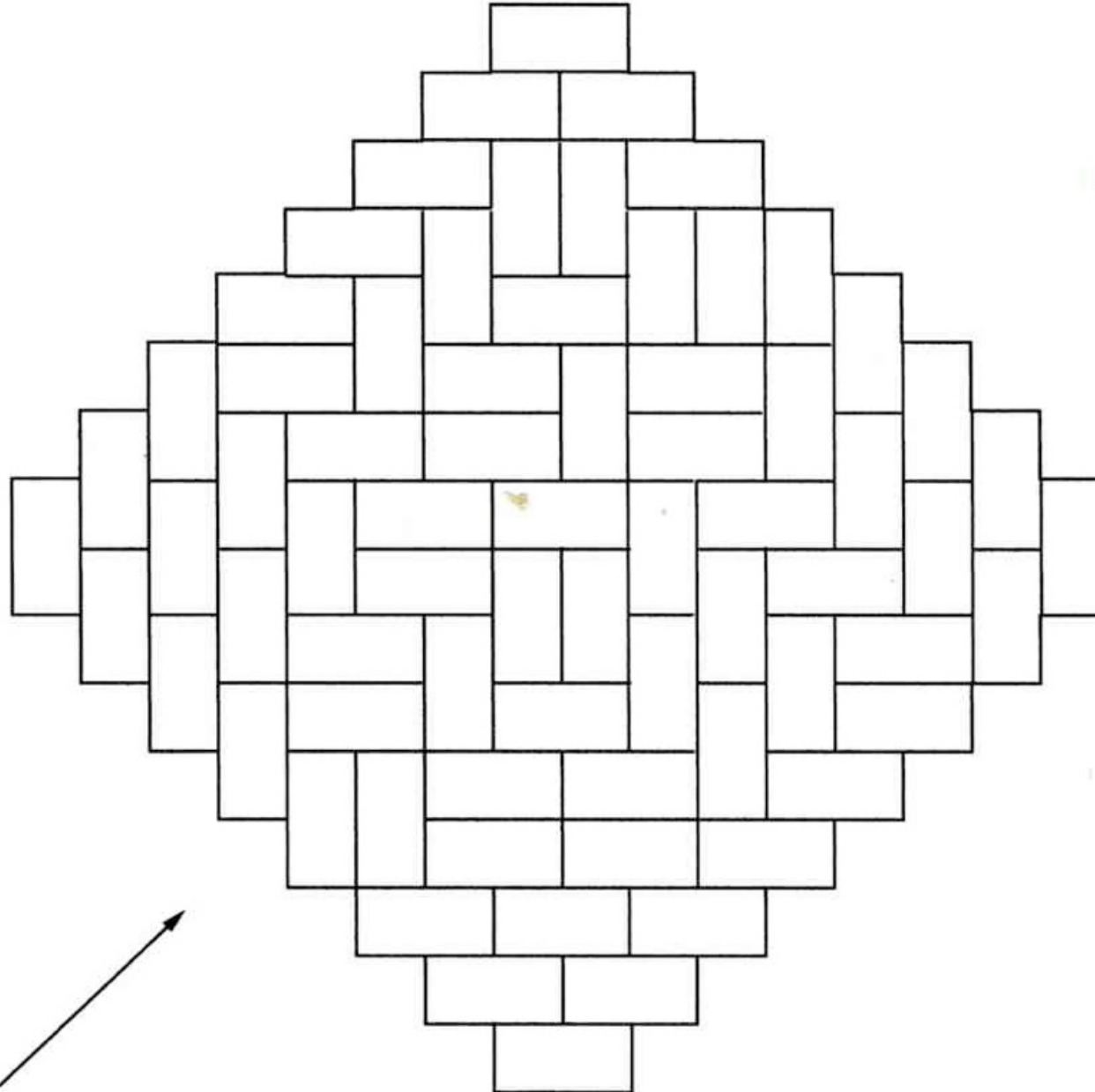
$$1 \leq k \leq c$$

$$\frac{i+j+k-1}{i+j+k-2}$$

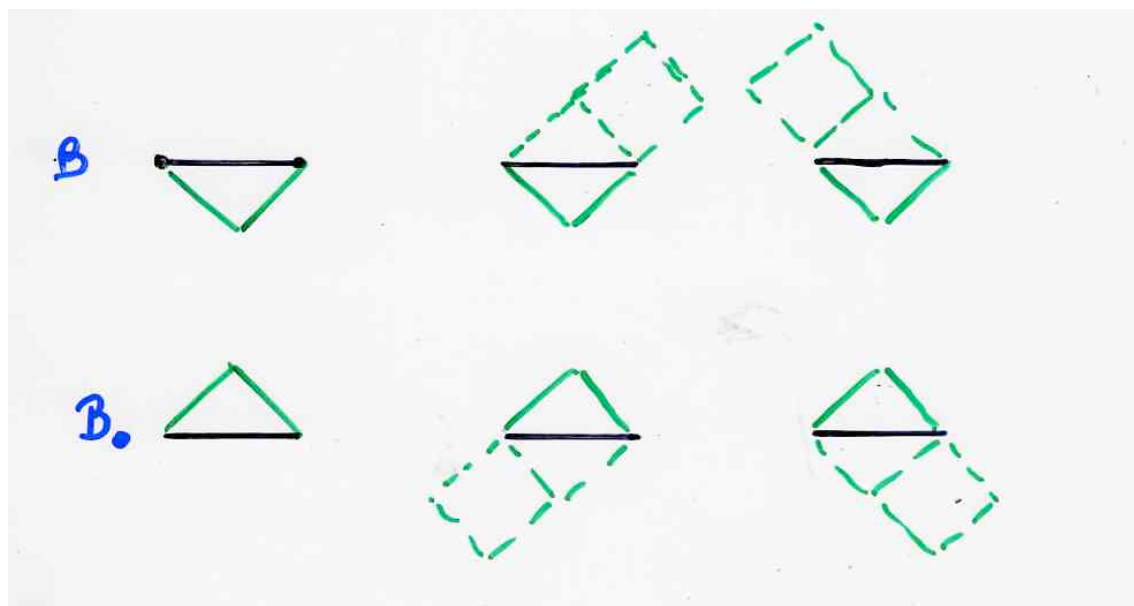
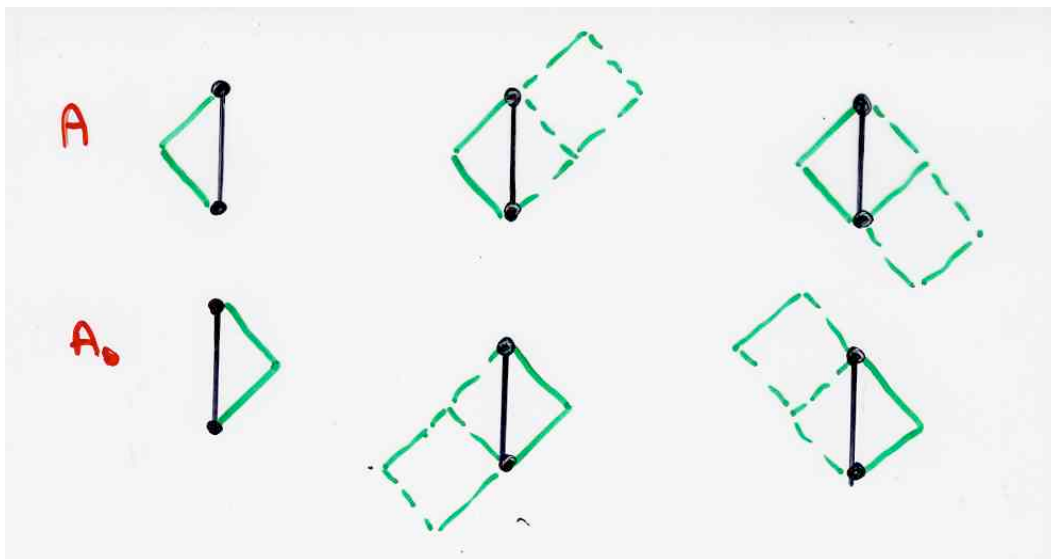


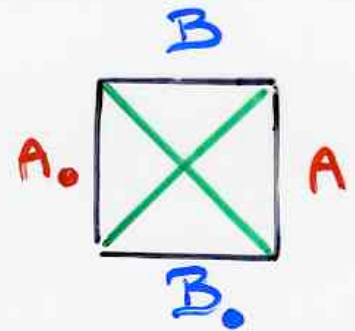
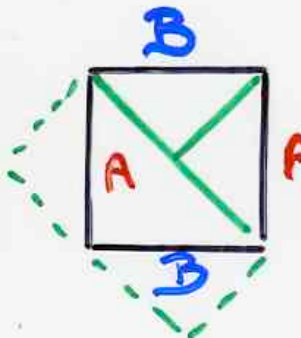
Aztec tilings

$$2^{n(n-1)/2}$$

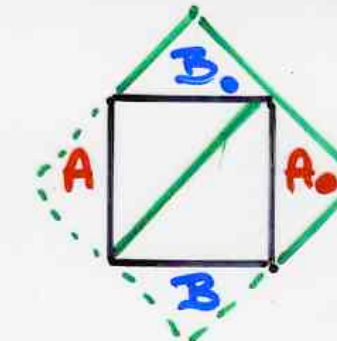
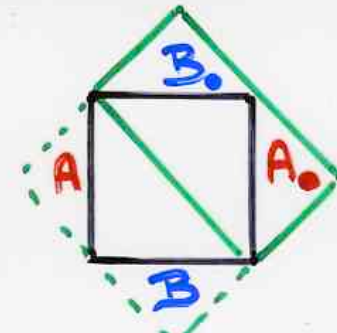
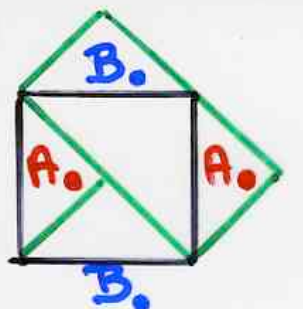


Elkies,
Kuperberg,
Larsen,
Propp
(1992)

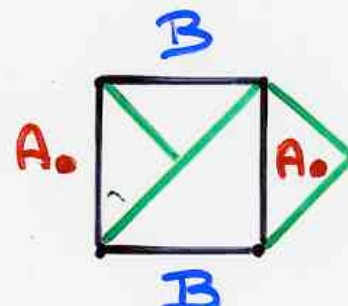




$$BA = AB + A_0 B_0$$



$$B_0 A_0 = A_0 B_0 + 2AB$$



$$B_0 A = A B_0$$

$$B A_0 = A_0 B$$

Aztec tilings

$$t_{00} = t_{00} = 0 \quad (\text{ASM})$$

$$t_{00} = 2 \quad (\text{nb of } -1 \text{ in ASM})$$

The quadratic algebra \mathbb{Z}

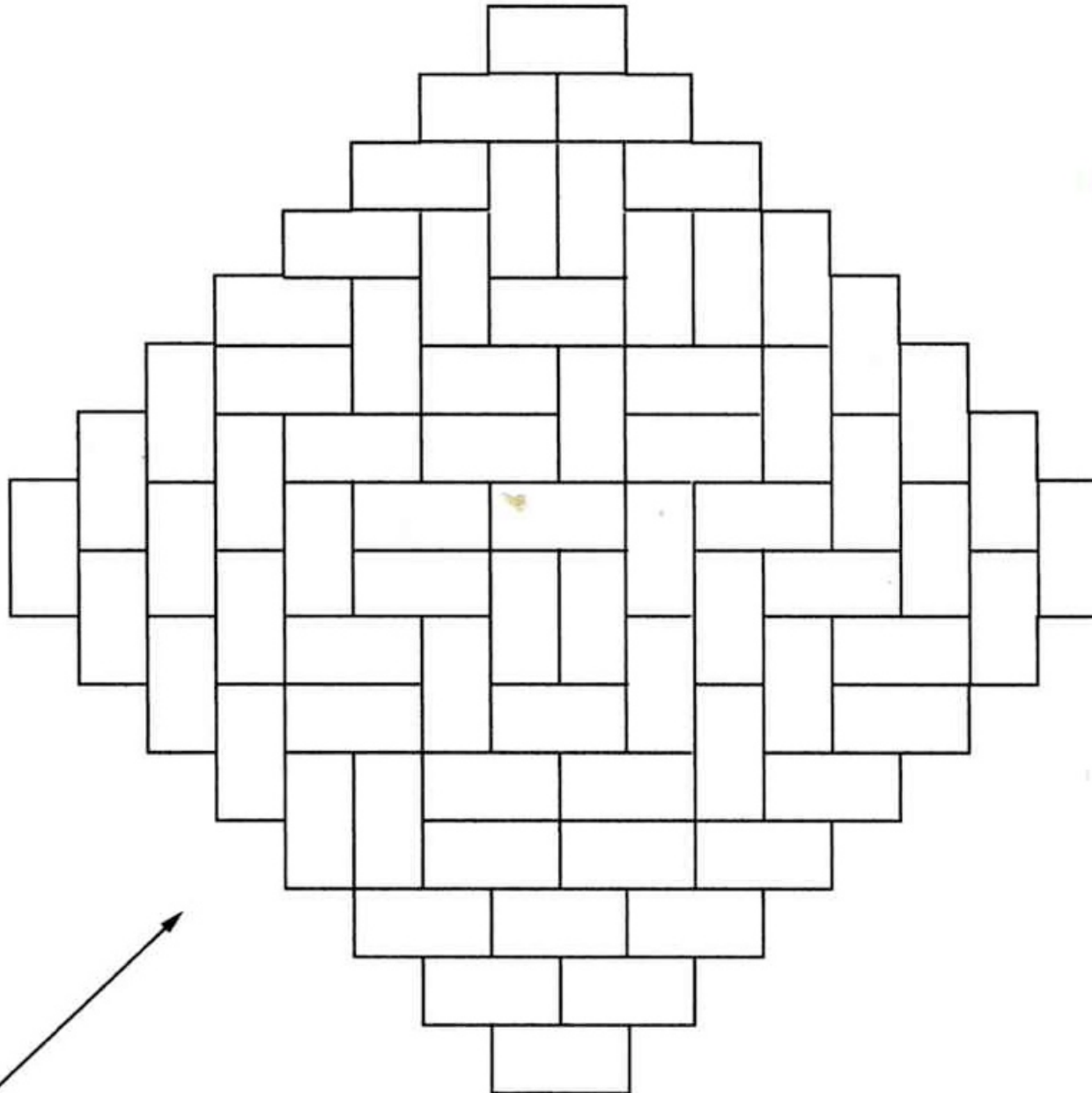
4 generators $B_0 A_0 B A$
8 parameters $q \dots, t \dots$

$$\left\{ \begin{array}{l} BA = q_{00} AB + t_{00} A_0 B_0 \\ B_0 A_0 = q_{00} A_0 B_0 + 2 AB \\ B_0 A = q_{00} AB_0 + \bigcirc A_0 B \\ BA_0 = q_{00} A_0 B + \bigcirc A B_0 \end{array} \right.$$

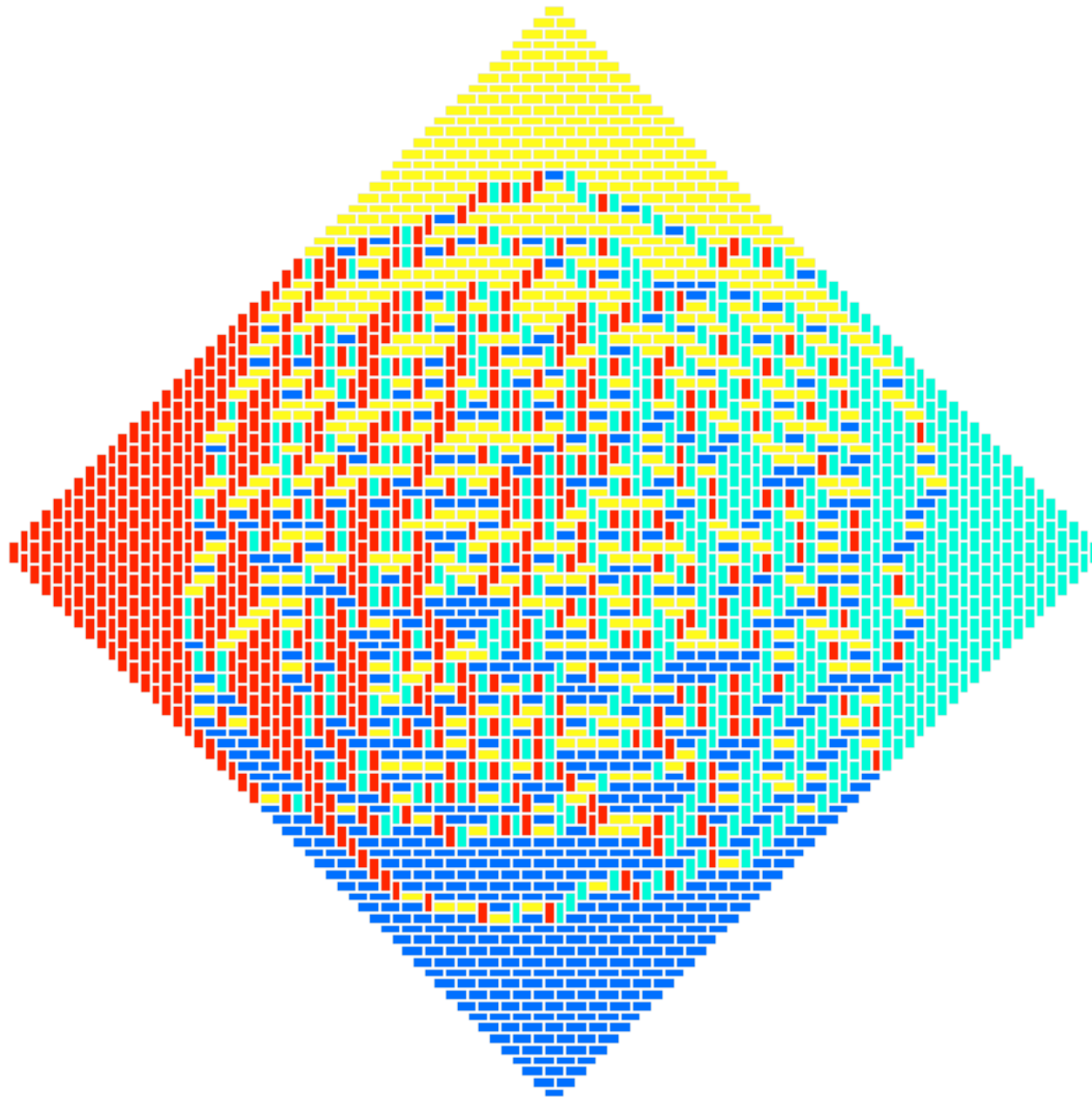
$$2^{n(n-1)/2}$$

$$A_n(2)$$

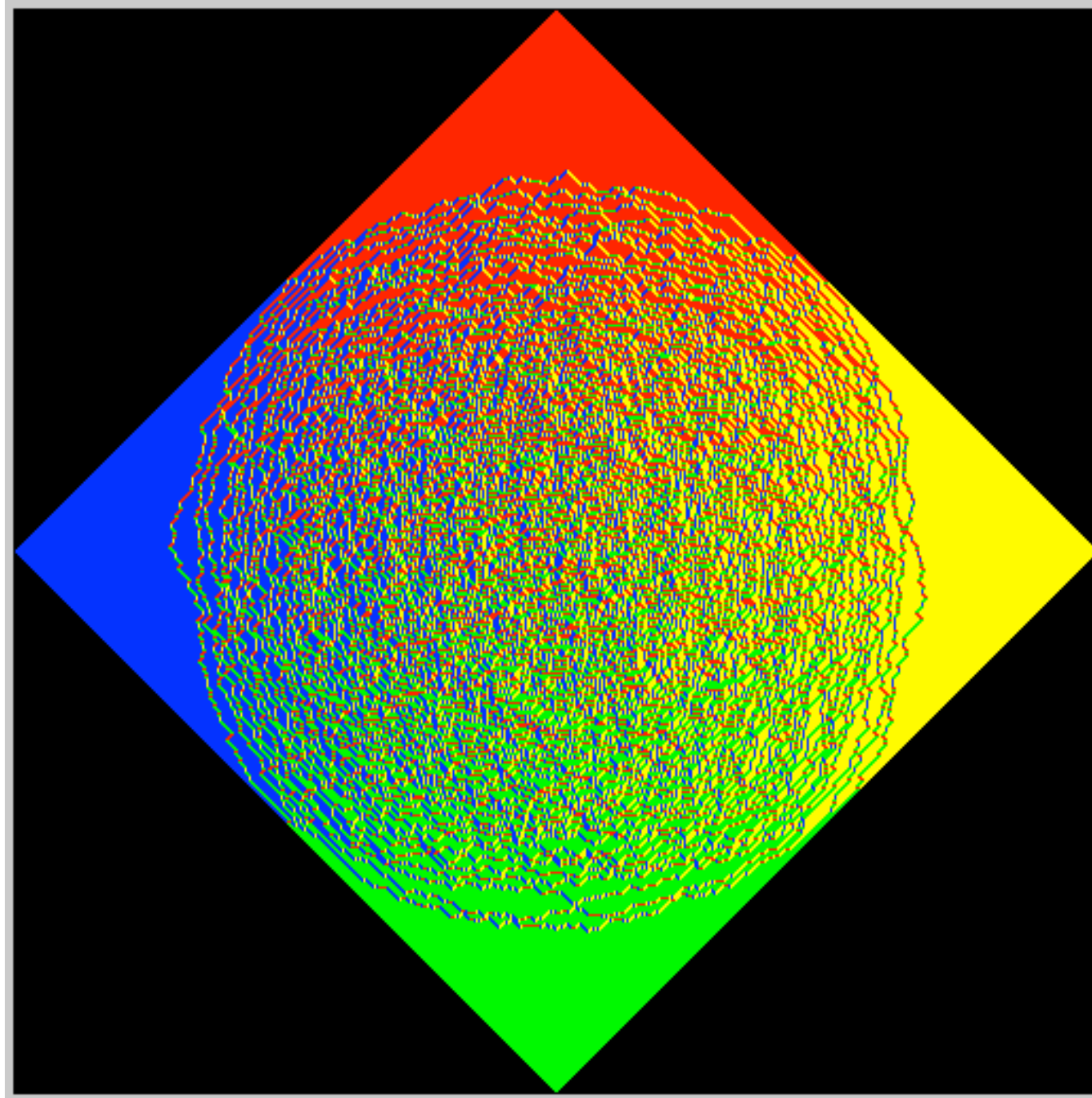
Elkies,
Kuperberg,
Larsen,
Propp
(1992)



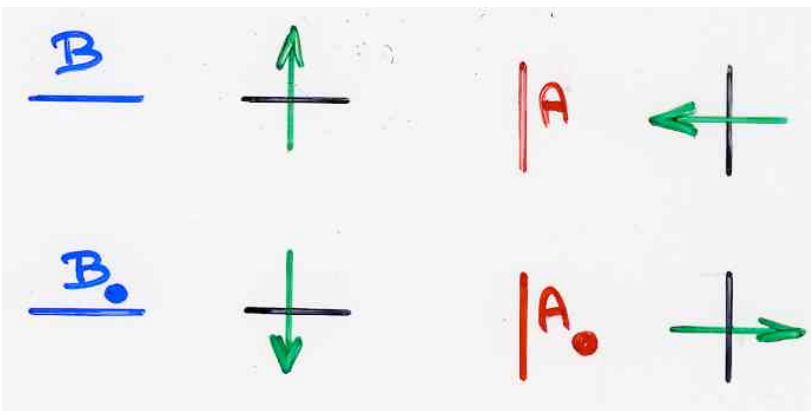
random
Aztec
tilings



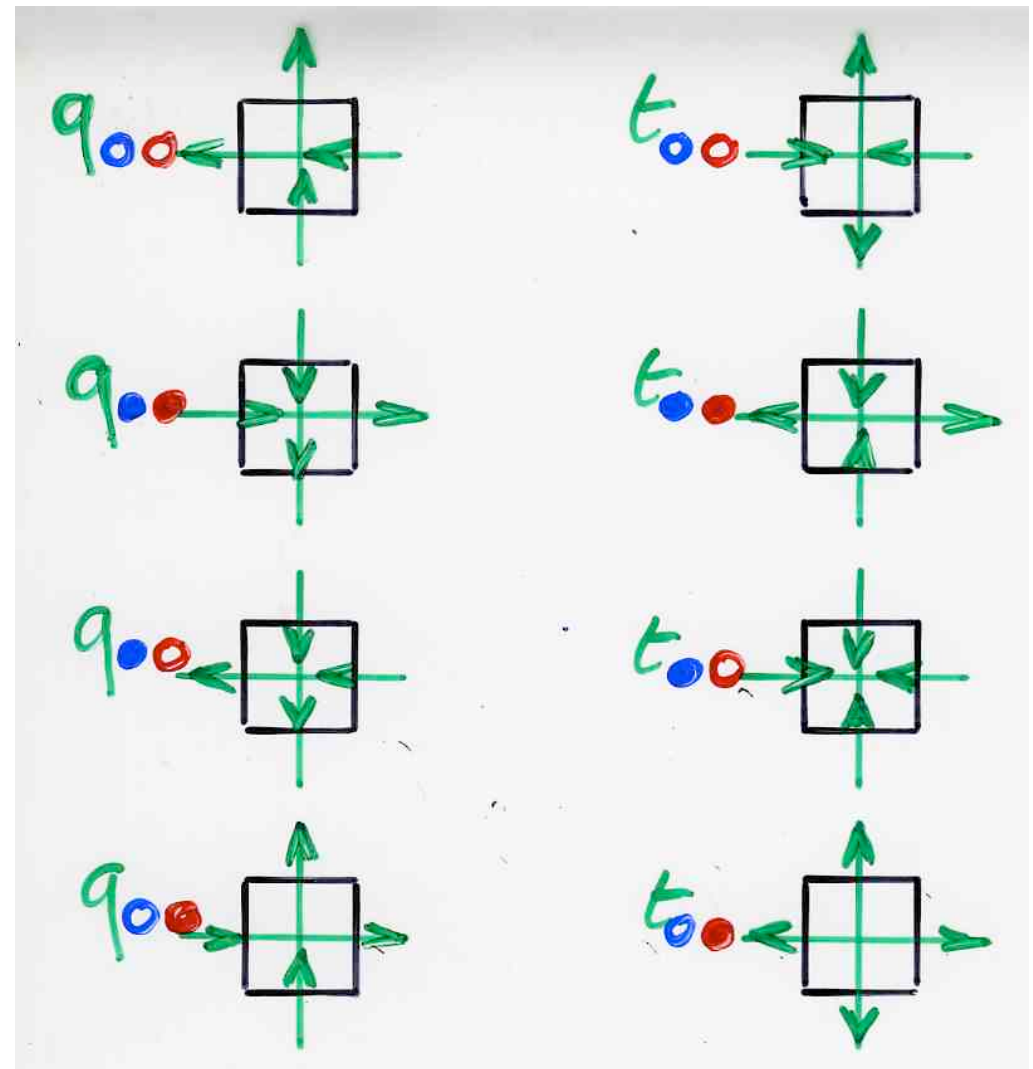
the
«artic
circle»
theorem



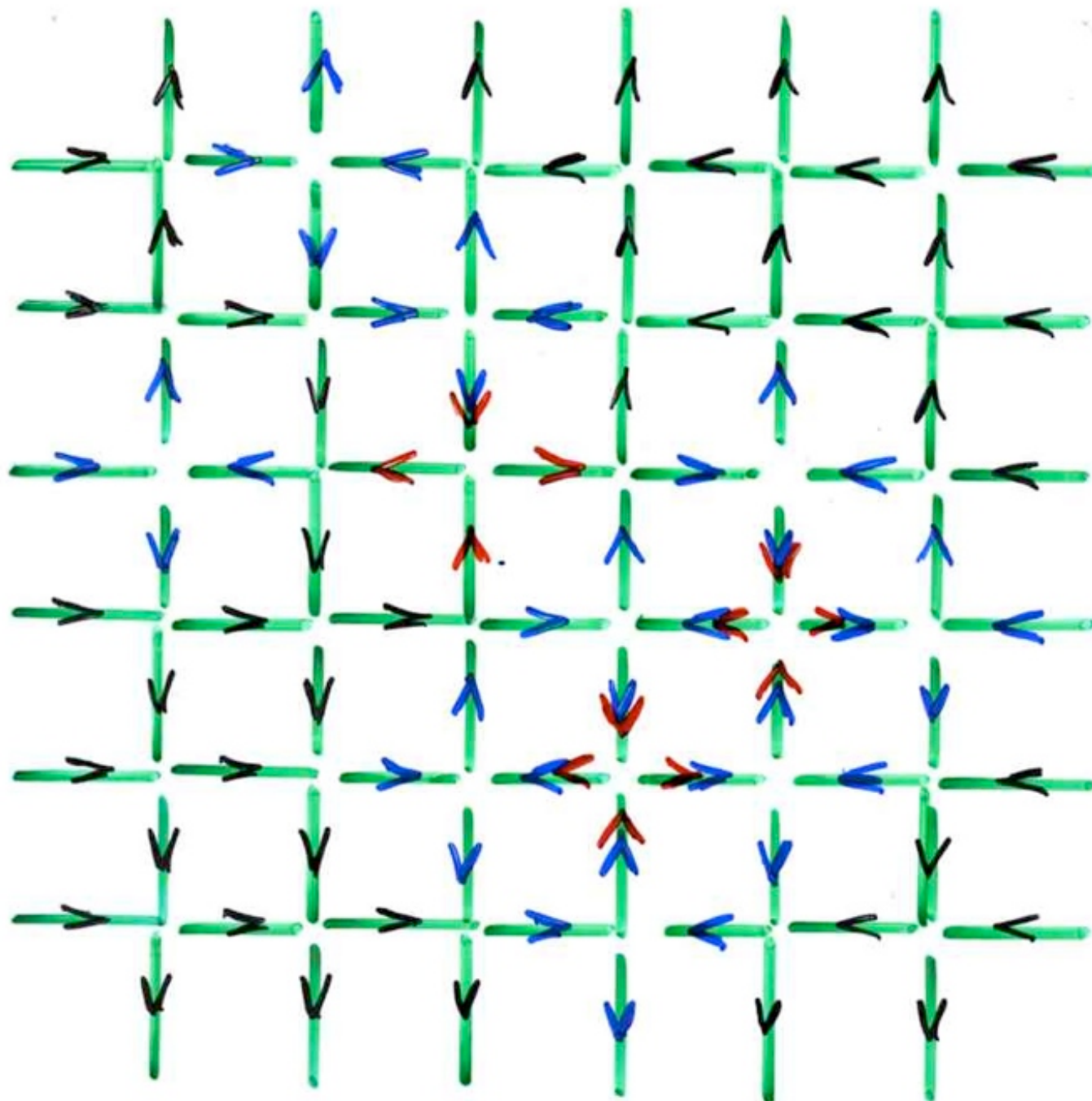
geometric interpretation
of
XYZ-tableaux



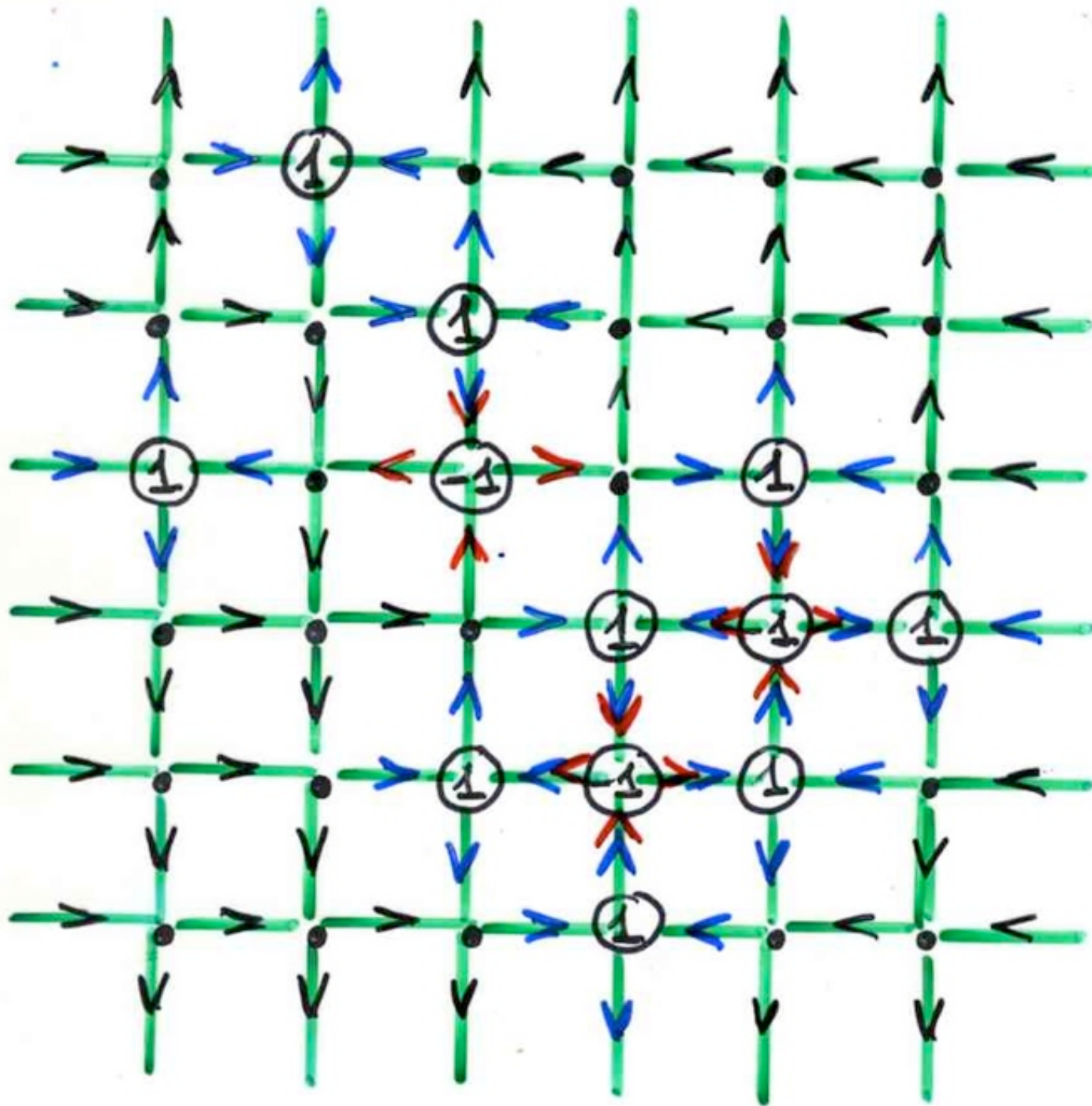
8 - vertex
model



The 6-vertex model



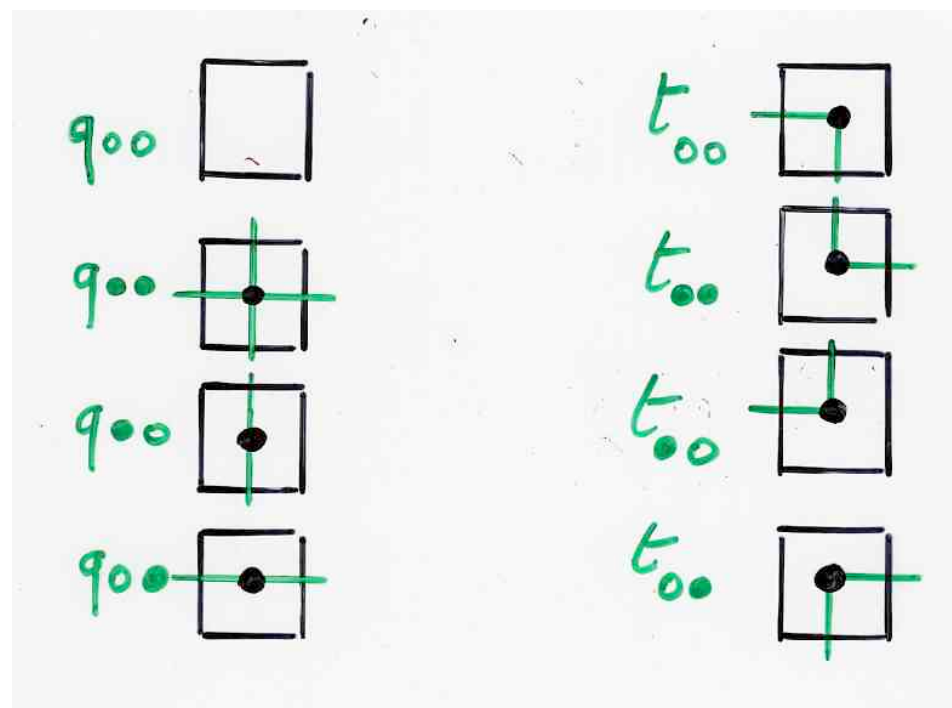
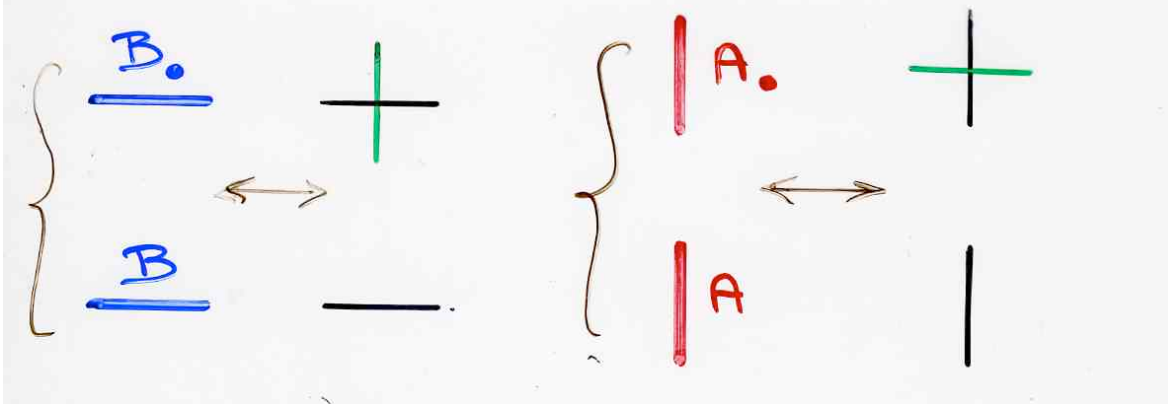
The
6-vertex
model



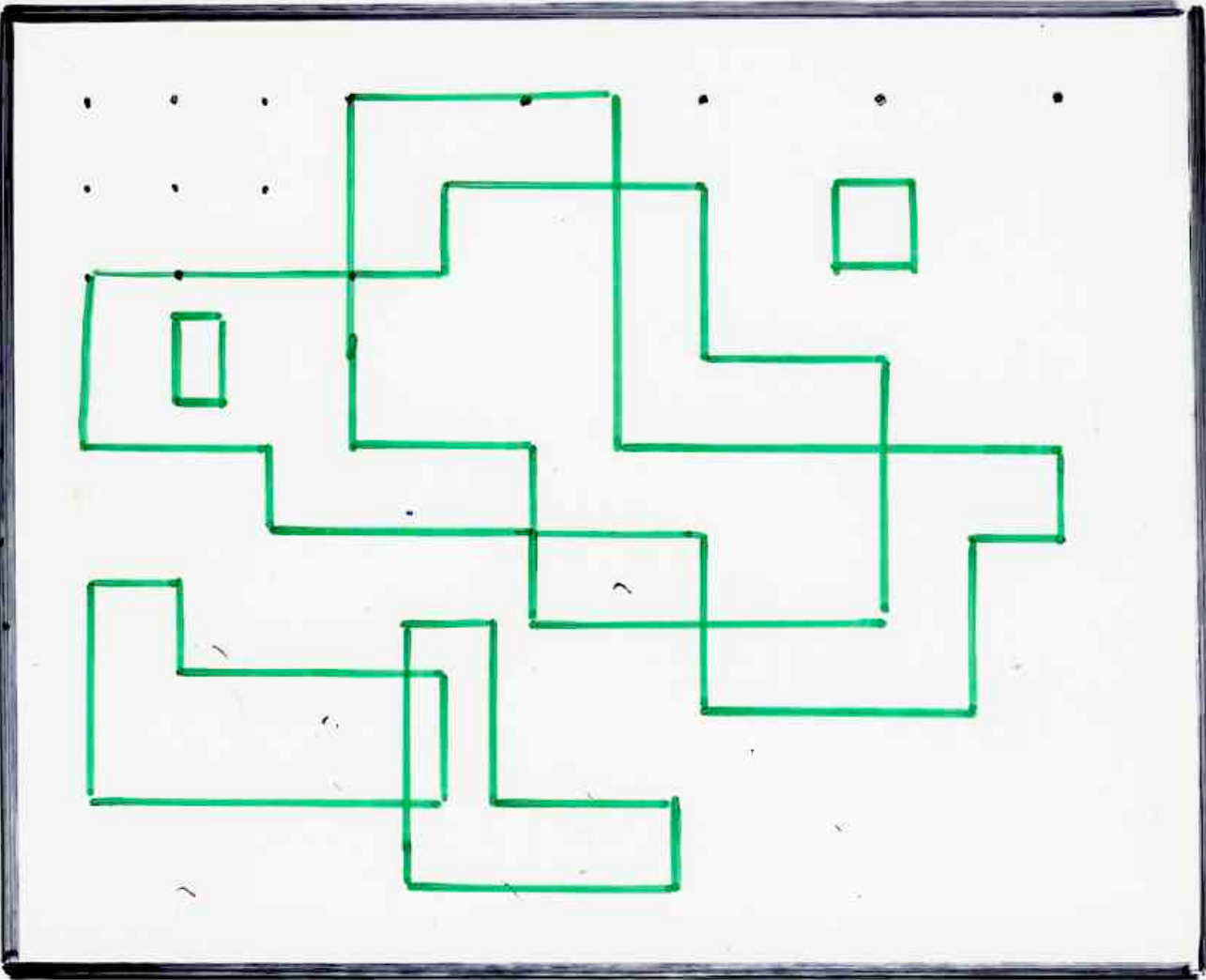
Razumov - Stroganov (ex)-conjecture 2000-2001
on quantum spin chains XXZ

proof by:
L. Cantini and A. Sportiello (2010)
completely combinatorial proof

geometric interpretations of \mathbb{Z} -tableaux



8-vertex
model

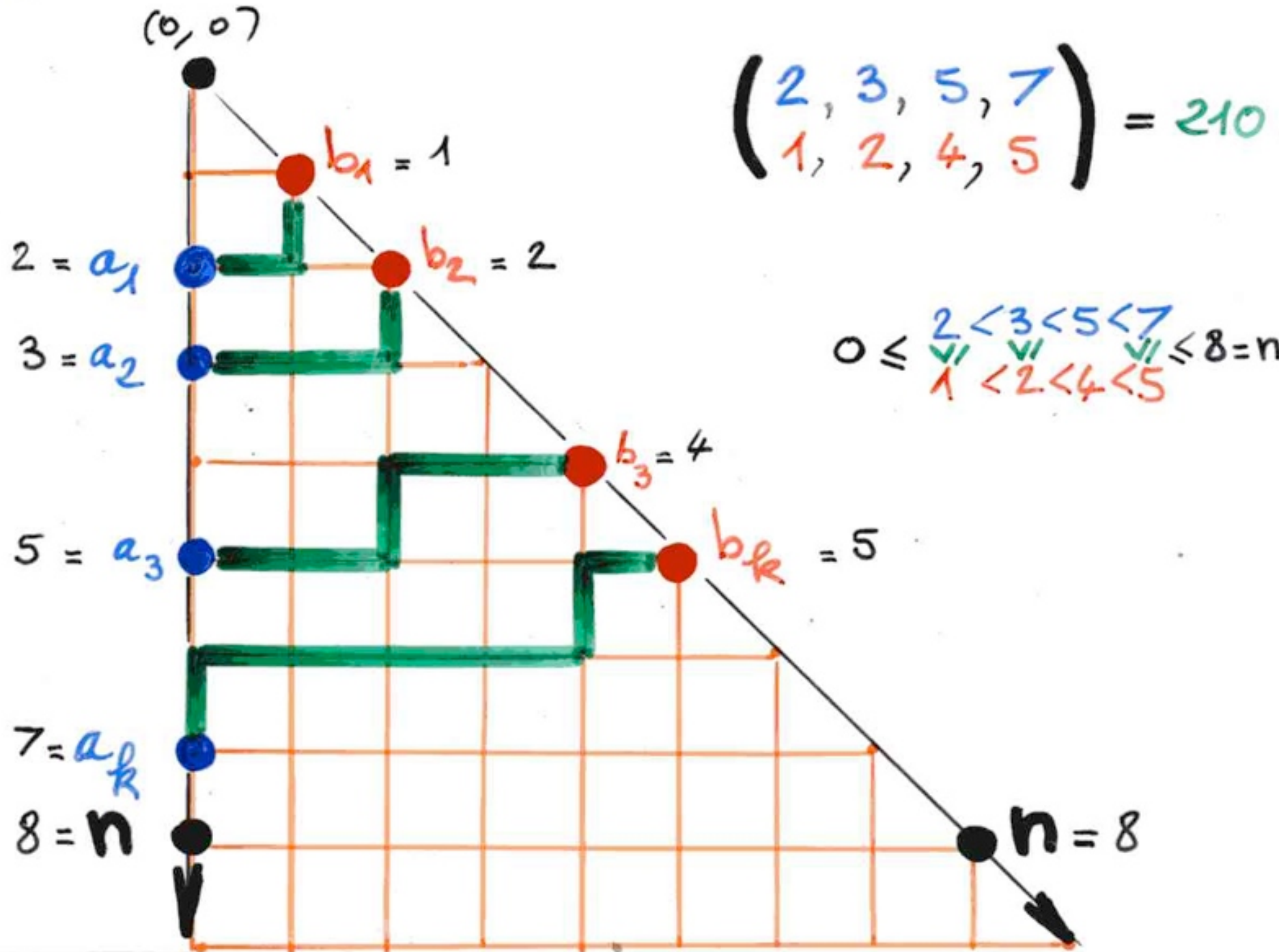


"closed" graph

Ising model

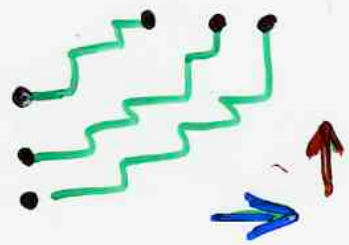
$$w = B^m A^n$$
$$uv = A^n B^m$$

non-intersecting paths



$$0 \leq \begin{matrix} 2 < 3 < 5 < 7 \\ \swarrow \quad \swarrow \quad \swarrow \quad \swarrow \\ 1 < 2 < 4 < 5 \end{matrix} \leq 8 = n$$

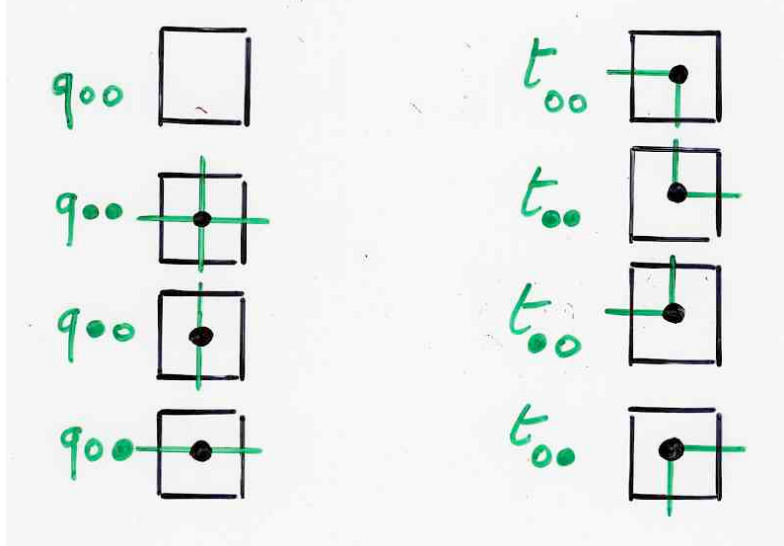
example: binomial determinant



$A \leftrightarrow A_0$
exchanging

$$\left\{ \begin{array}{l} t_{00} = 0 \\ q_{00} = t_{00} = 0 \end{array} \right.$$

$$\left\{ \begin{array}{l} t_{00} = 0 \\ q_{00} = t_{00} = 0 \end{array} \right.$$



The quadratic algebra \mathbb{Z}

4 generators B, A, BA, A_B
8 parameters $q_{...}, t_{...}$

$$\left\{ \begin{array}{l} BA = q_{00} AB + \text{circle} A_B \\ B_A = \text{circle} A_B + \text{circle} AB \\ B_A = q_{00} AB + t_{00} A_B \\ BA = q_{00} A_B + t_{00} AB \end{array} \right.$$

The quadratic algebra \mathbb{Z}

4 generators B, A, BA, A_B
8 parameters $q_{...}, t_{...}$

$$\left\{ \begin{array}{l} BA = q_{00} AB + t_{00} A_B \\ B_A = q_{00} A_B + t_{00} AB \\ B_A = \text{circle} A_B + \text{circle} A_B \\ BA = q_{00} A_B + \text{circle} AB \end{array} \right.$$

non intersecting paths

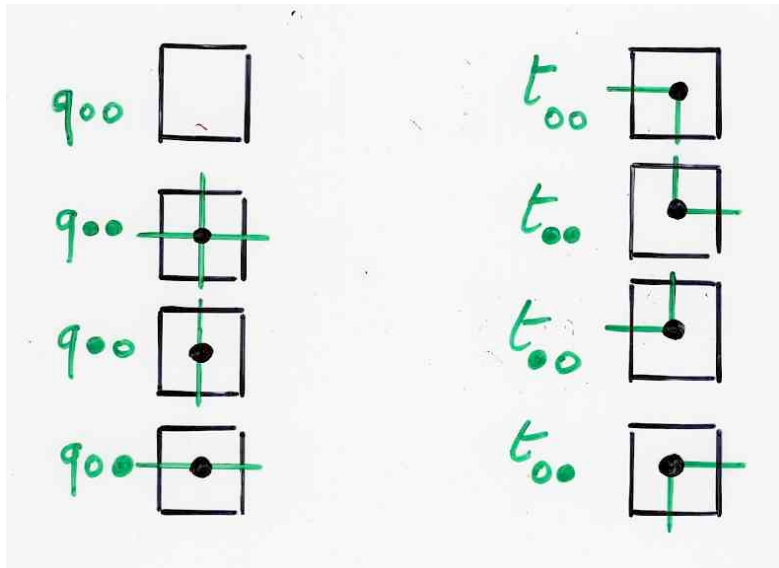


$$\left\{ \begin{array}{l} q_{00} = 0 \\ t_{00} = t_{00} = 0 \end{array} \right. \quad \begin{array}{l} (\text{ASM}) \\ (\text{osc. paths}) \end{array}$$

The quadratic algebra \mathbb{Z}

4 generators $B_0 A_0 B A$
8 parameters $q_{...}, t_{...}$

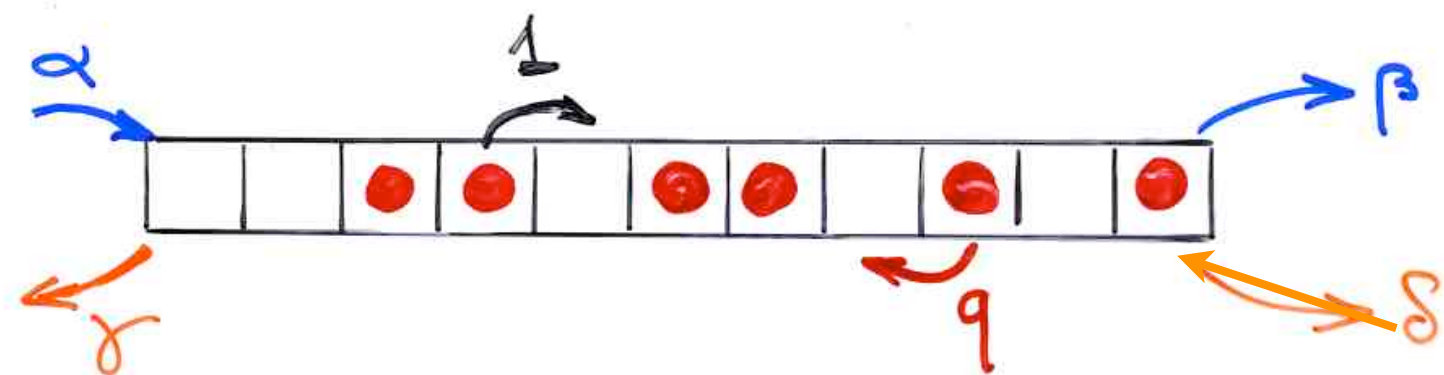
$$\left\{ \begin{array}{l} BA = q_{00} AB + t_{00} A_B \\ B_A = \text{○} A_B + t_{00} AB \\ B_A = q_{00} A_B + \text{○} A_B \\ BA = q_{00} A_B + \text{○} AB \end{array} \right.$$



The PASEP algebra

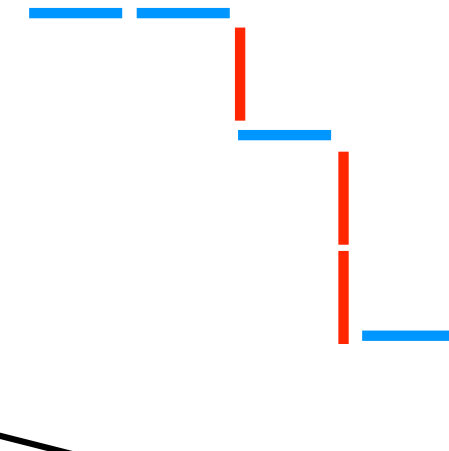
$$DE = qED + E + D$$

ASEP
TASEP
PASEP



D D E D E E D E

D D E (D E) E D E

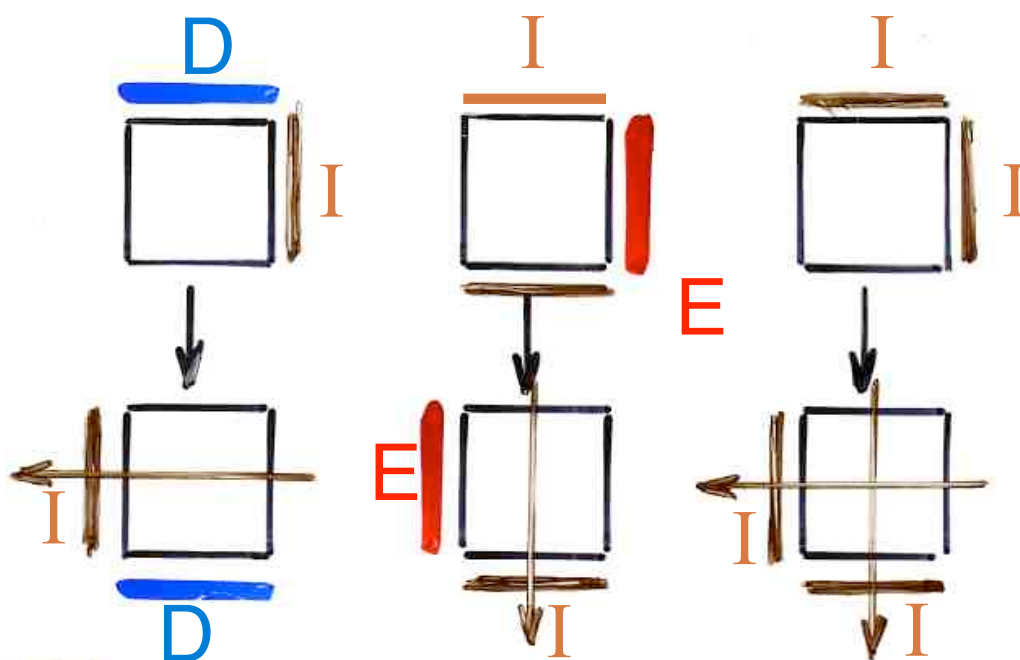


DDE(E)EDE + DDE(ED)EDE + DDE(D)EDE

Proof: "planarization" of the rewriting rules

$$\boxed{D} \mid E \rightarrow q \boxed{E} \mid \boxed{\cancel{X}} + \boxed{E} \mid \boxed{I} + I \mid \boxed{D}$$

\boxed{I} identity

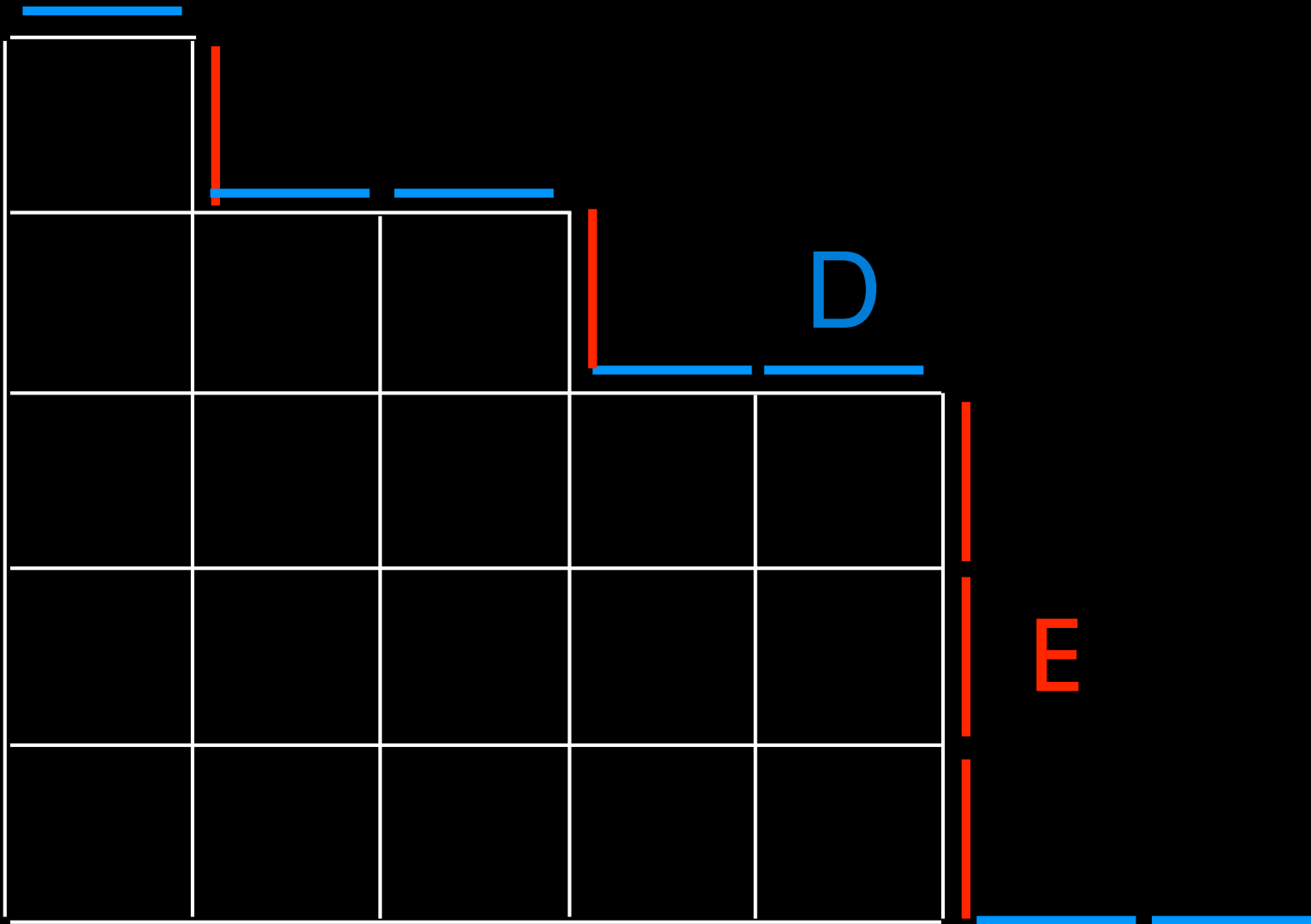


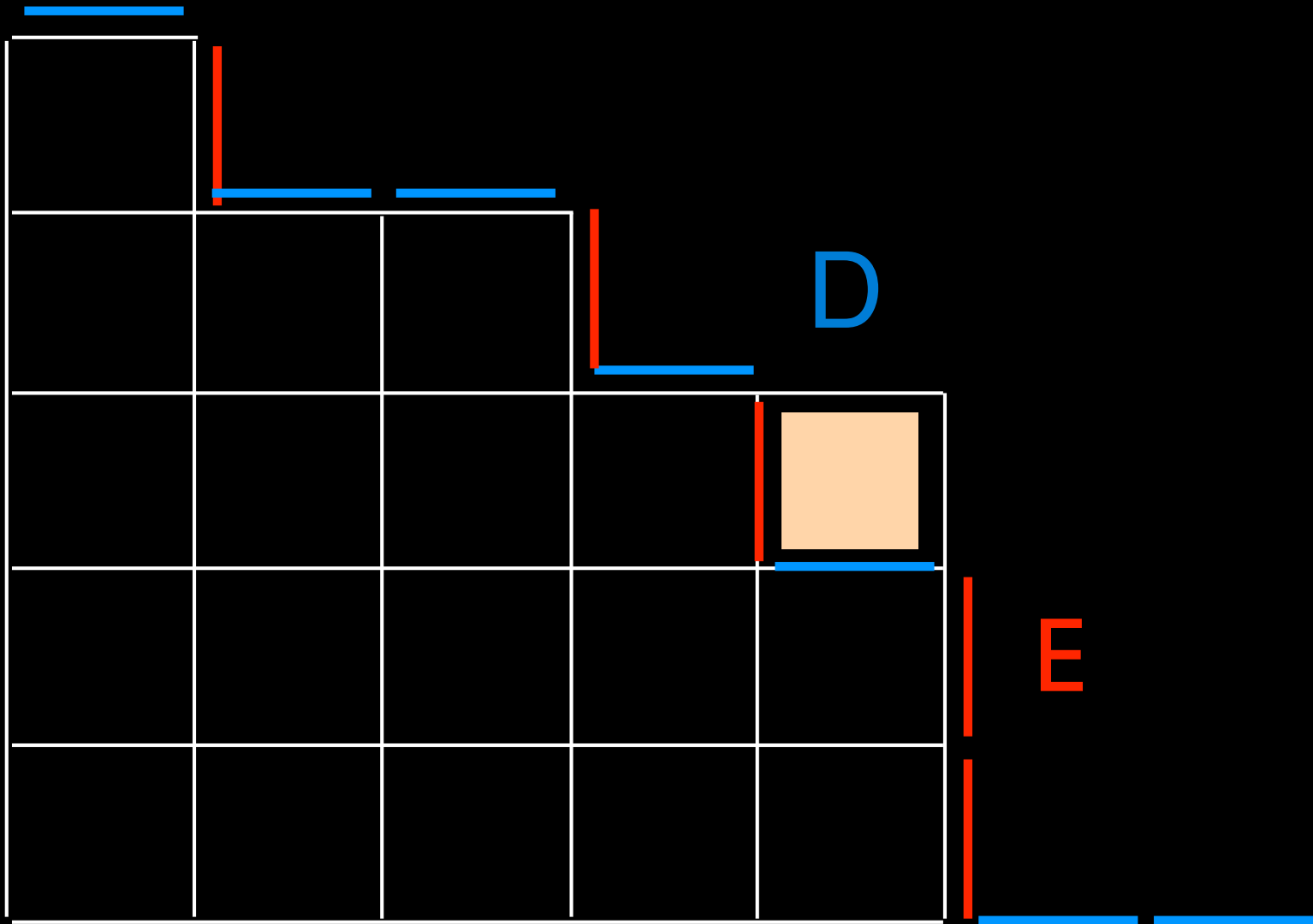
$$DE = qED + EI_h + I_v D$$

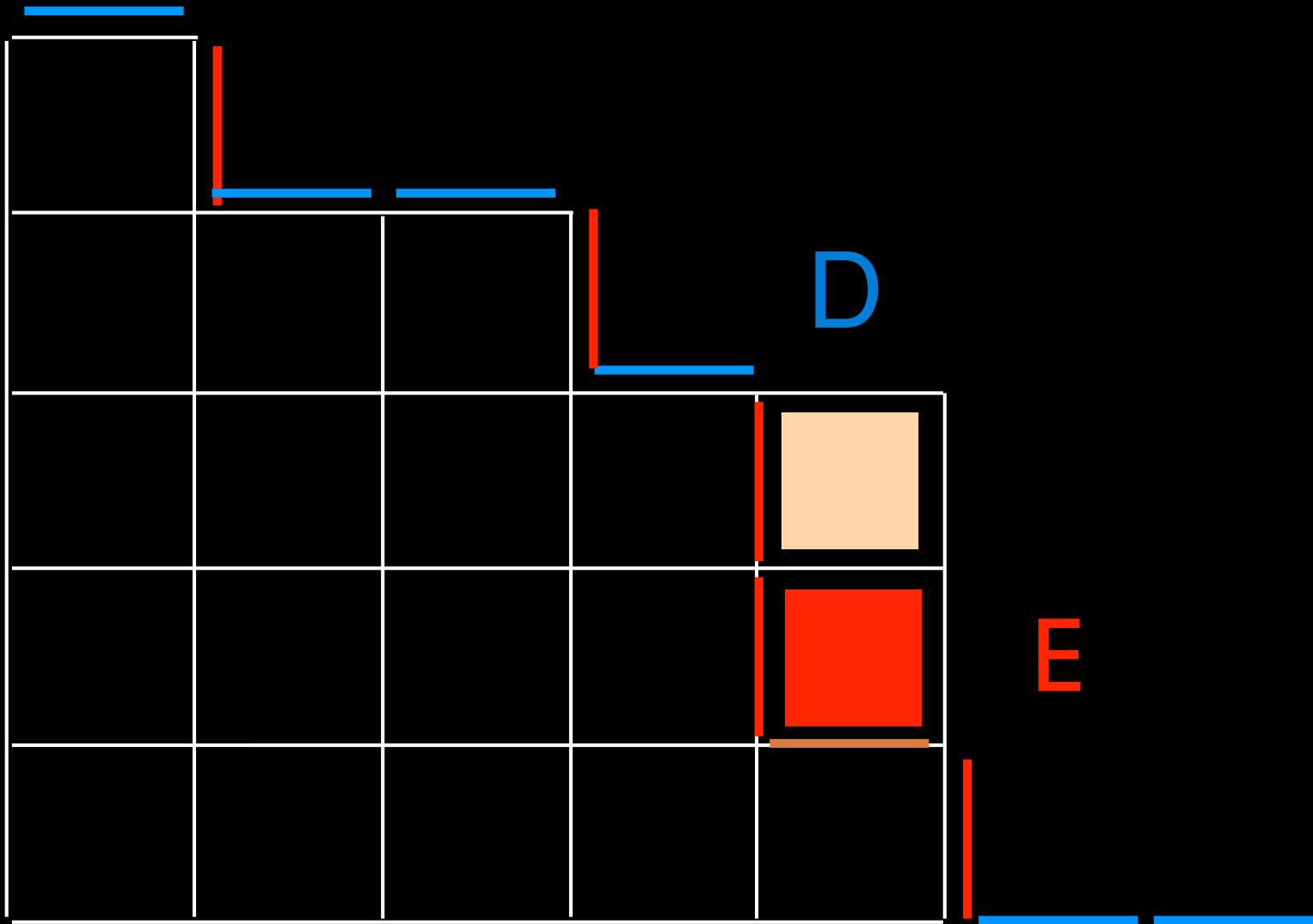
$$DI_v = I_v D$$

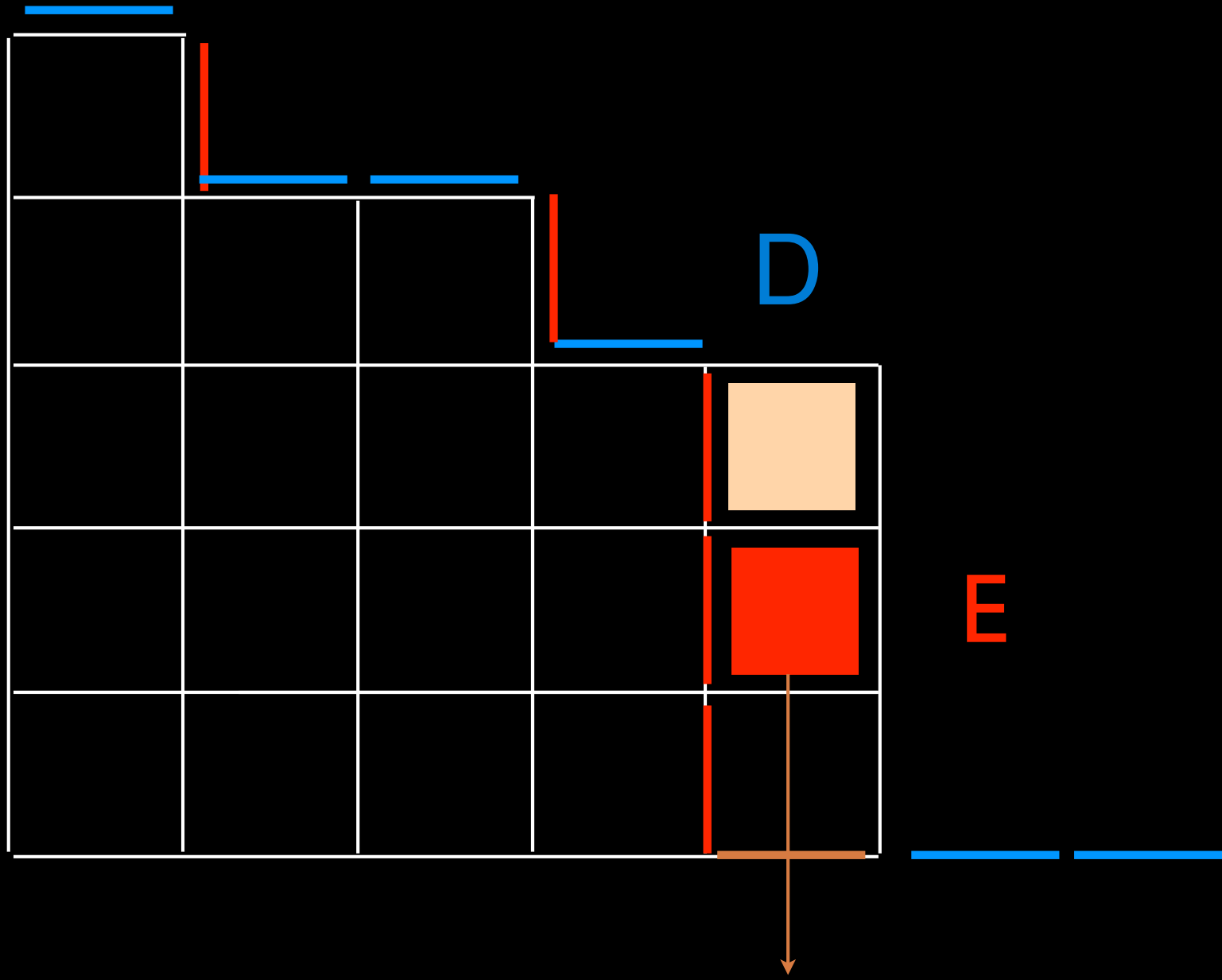
$$I_h E = EI_h$$

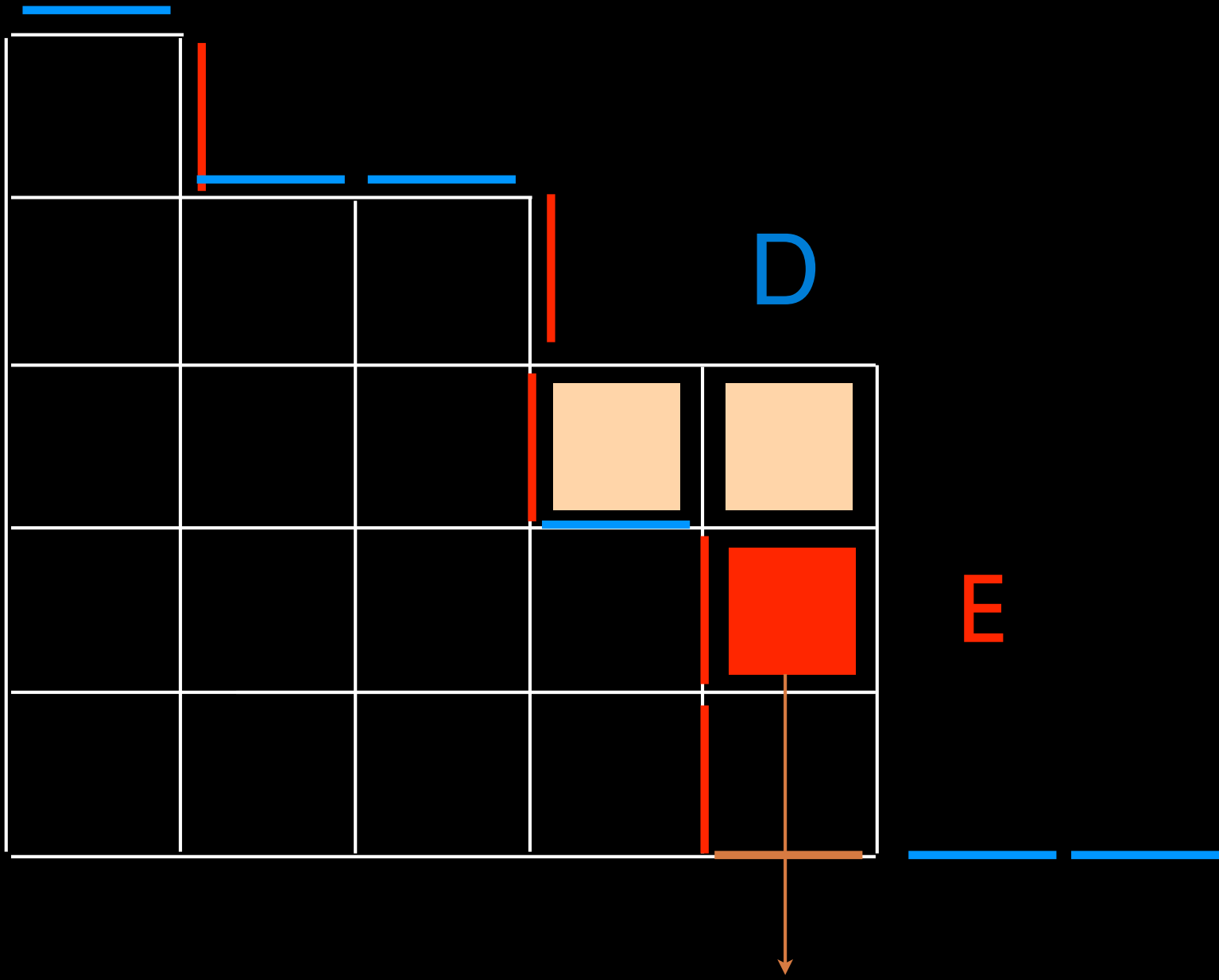
$$I_h I_v = I_v I_h$$

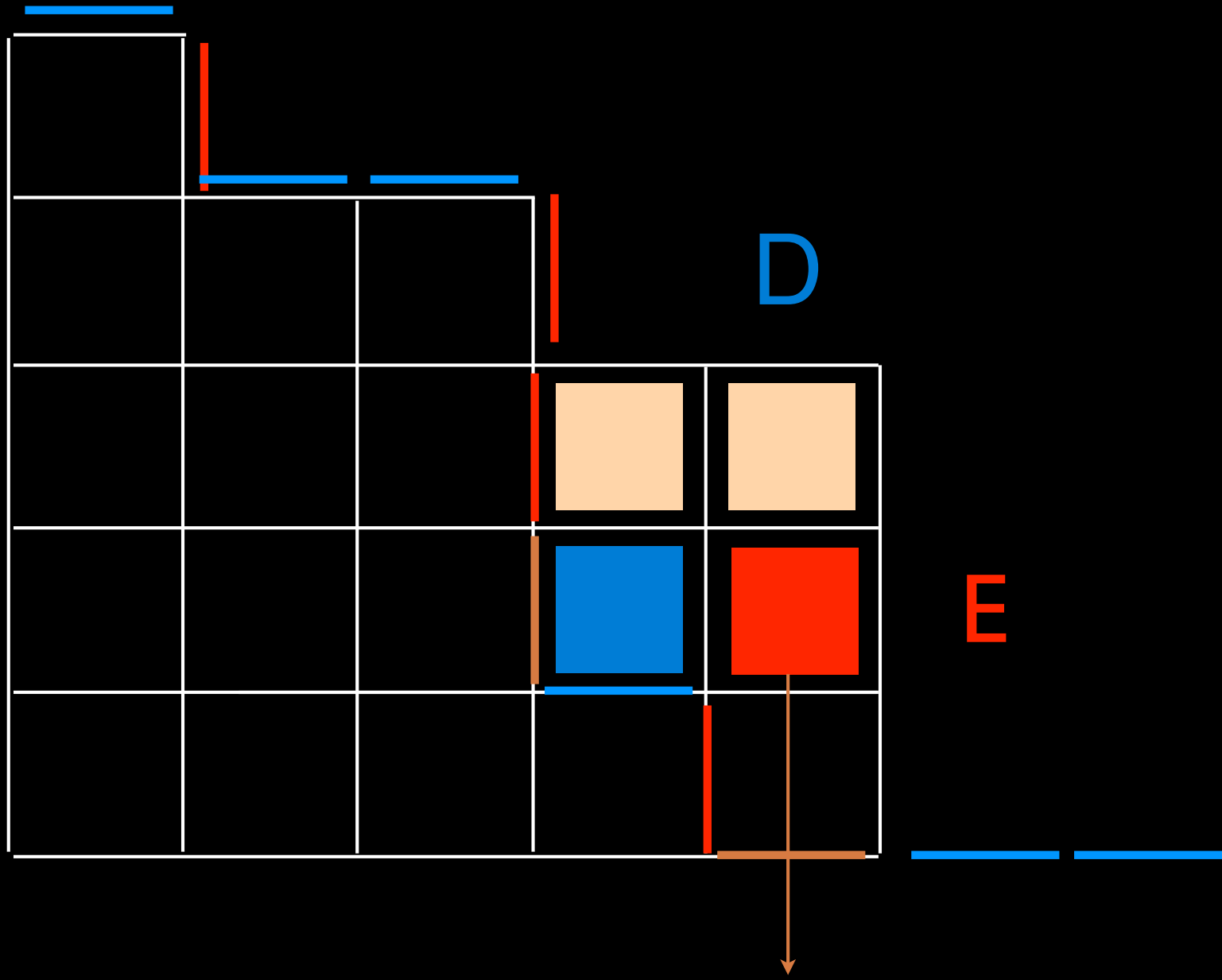


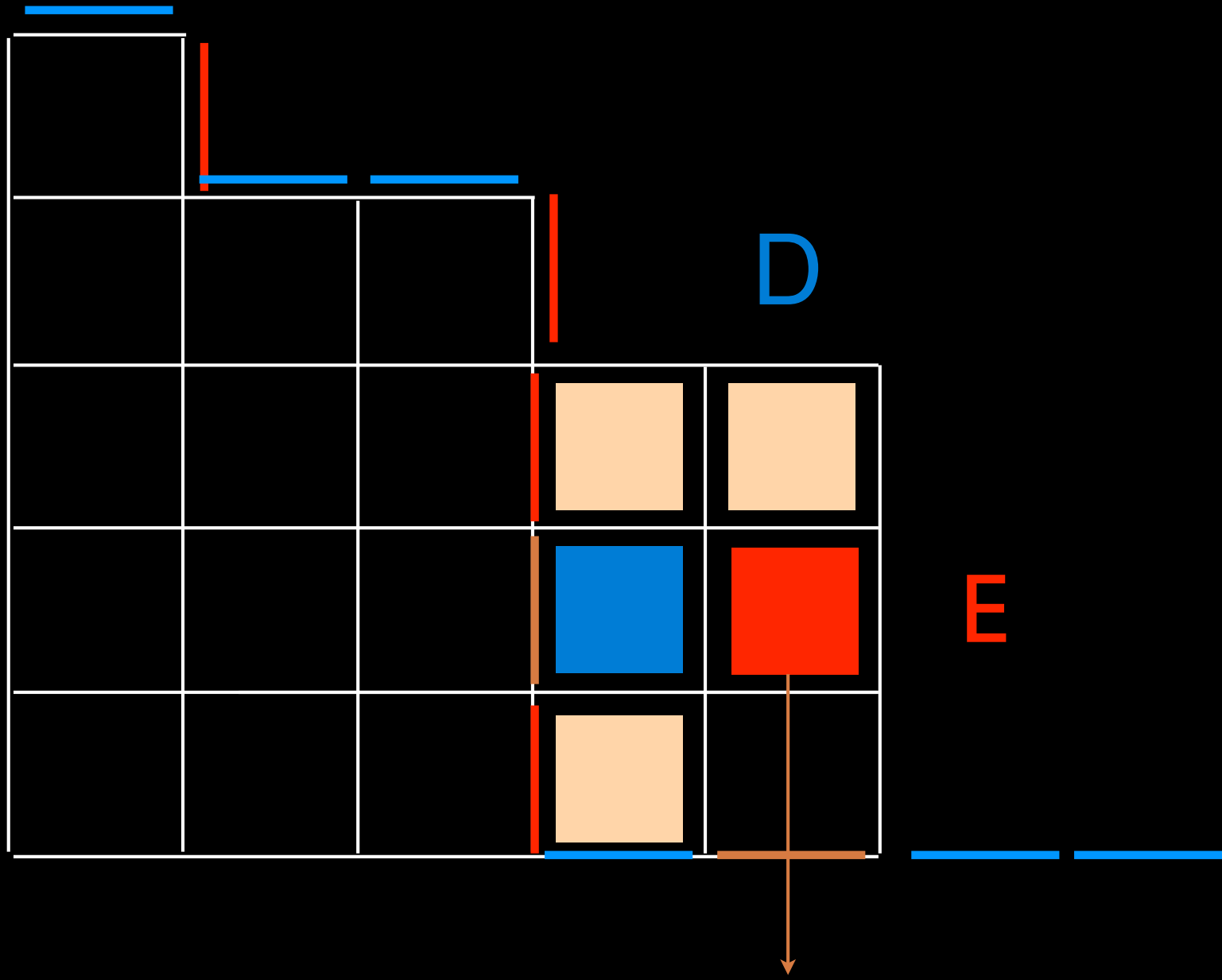


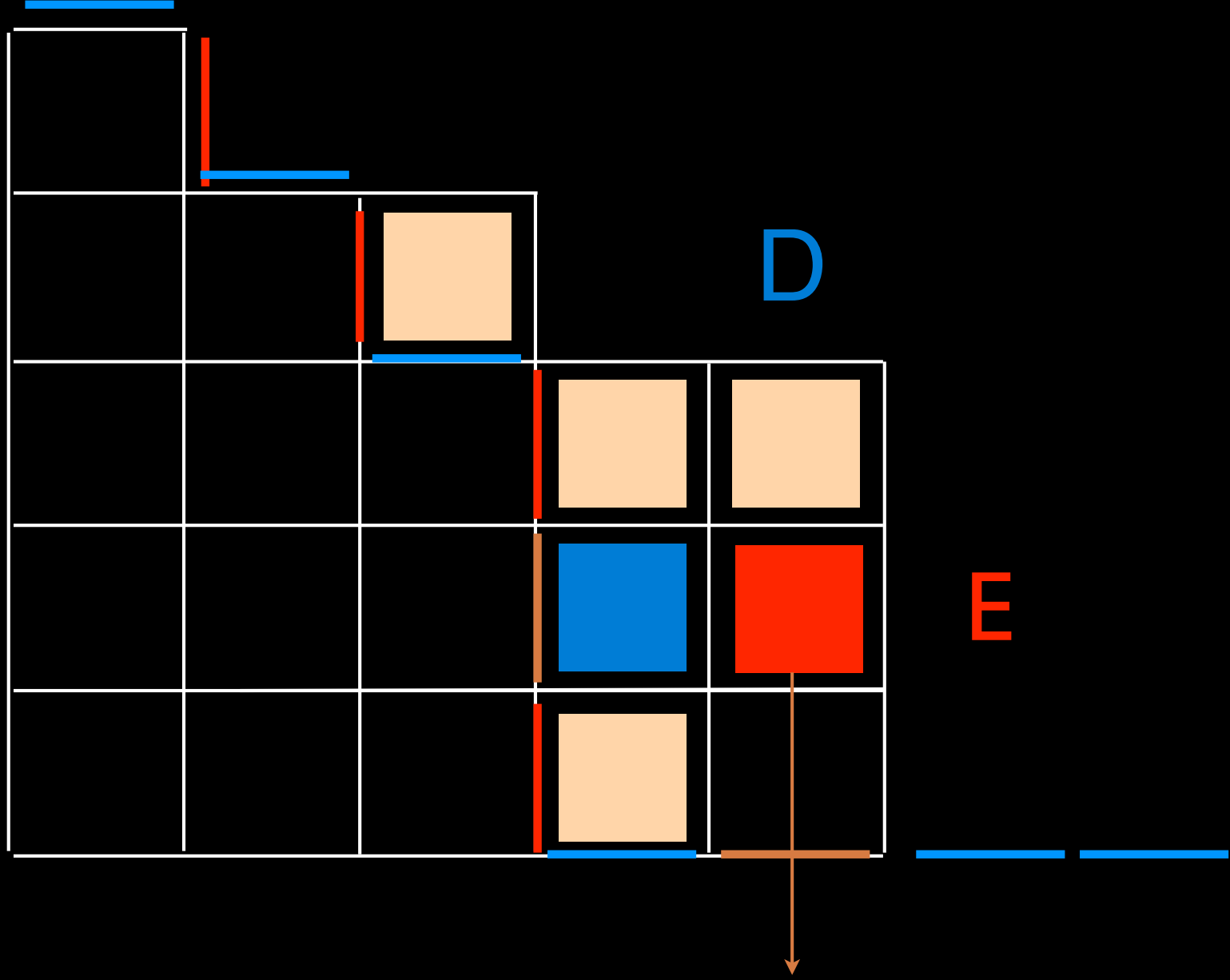


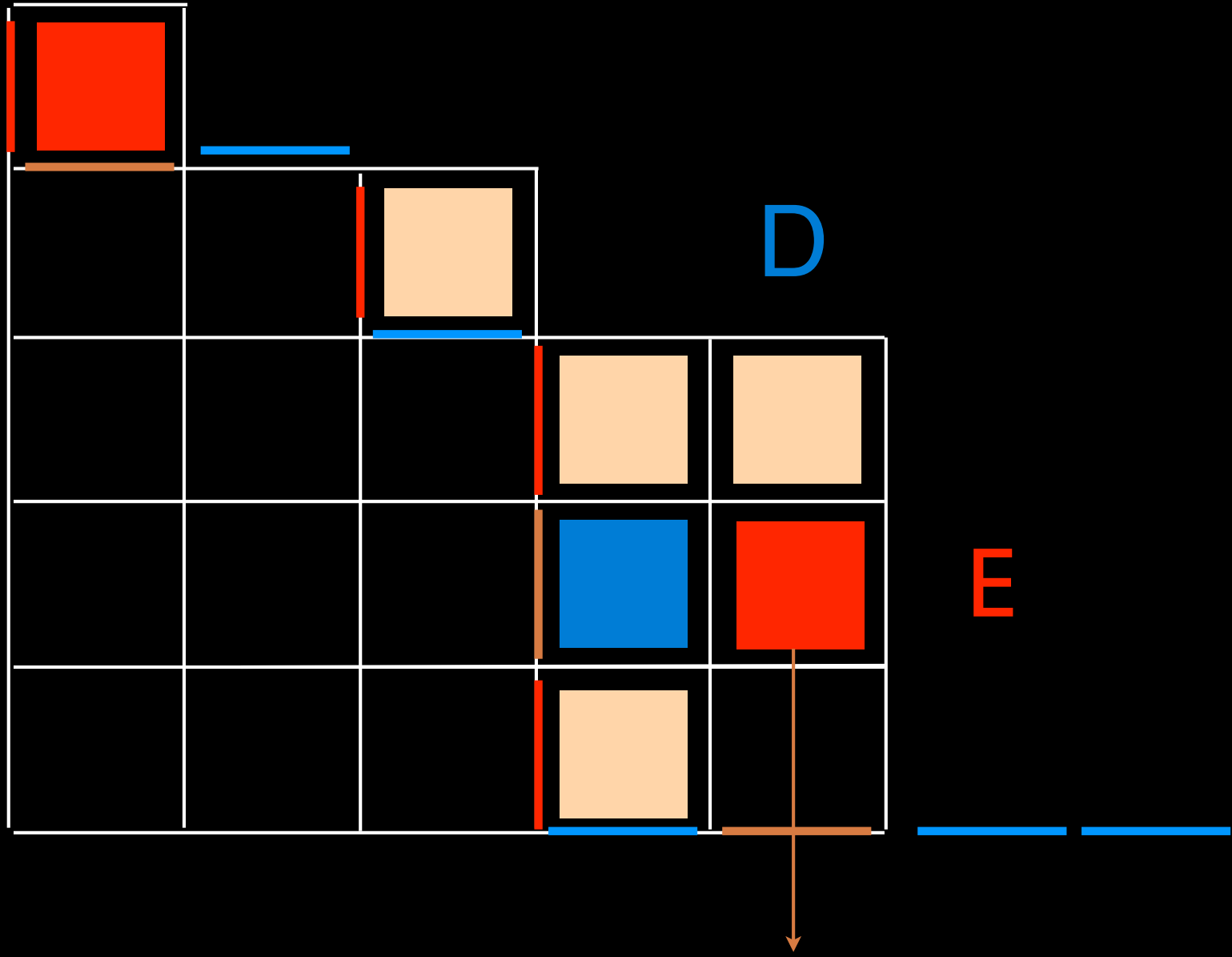


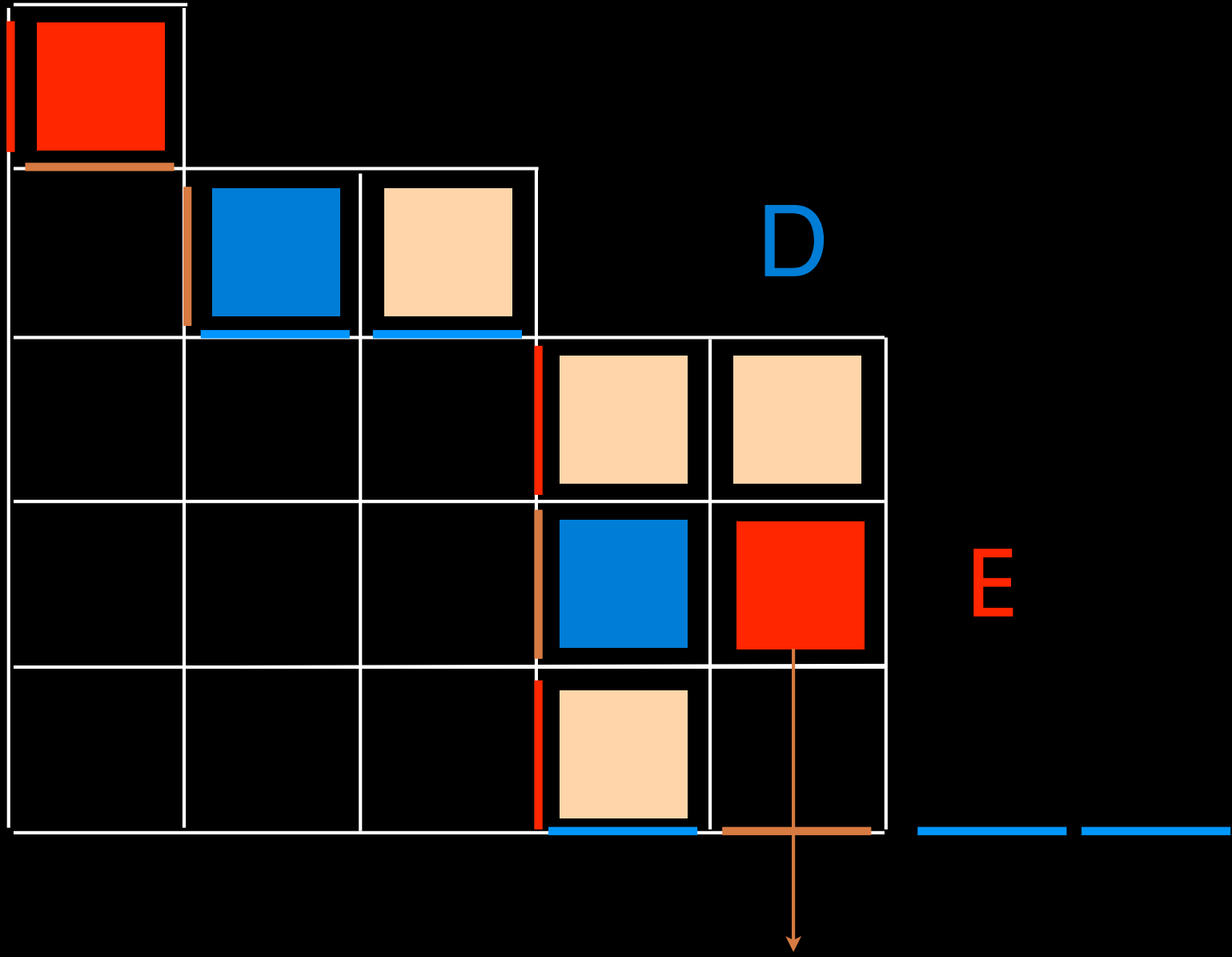


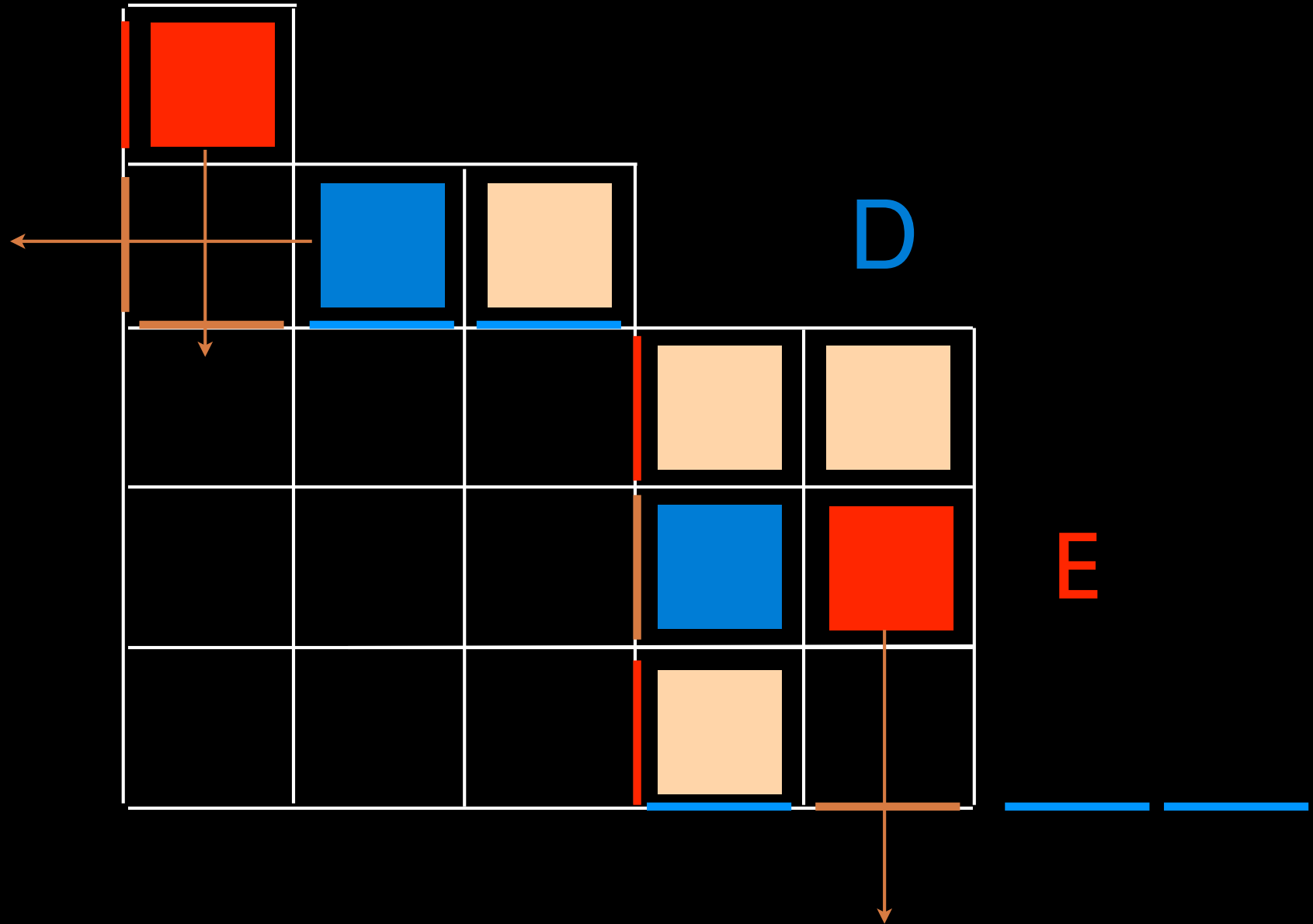


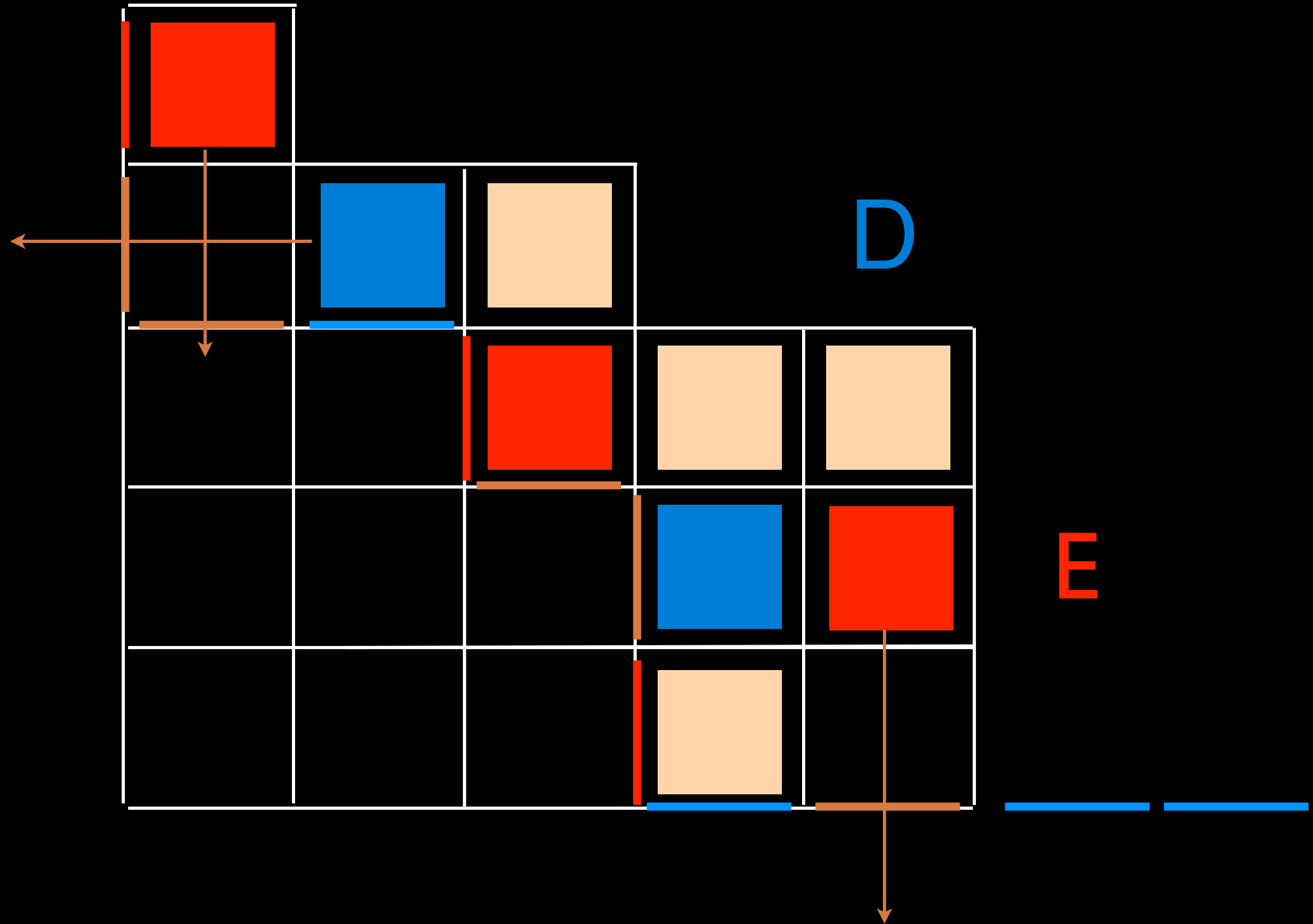


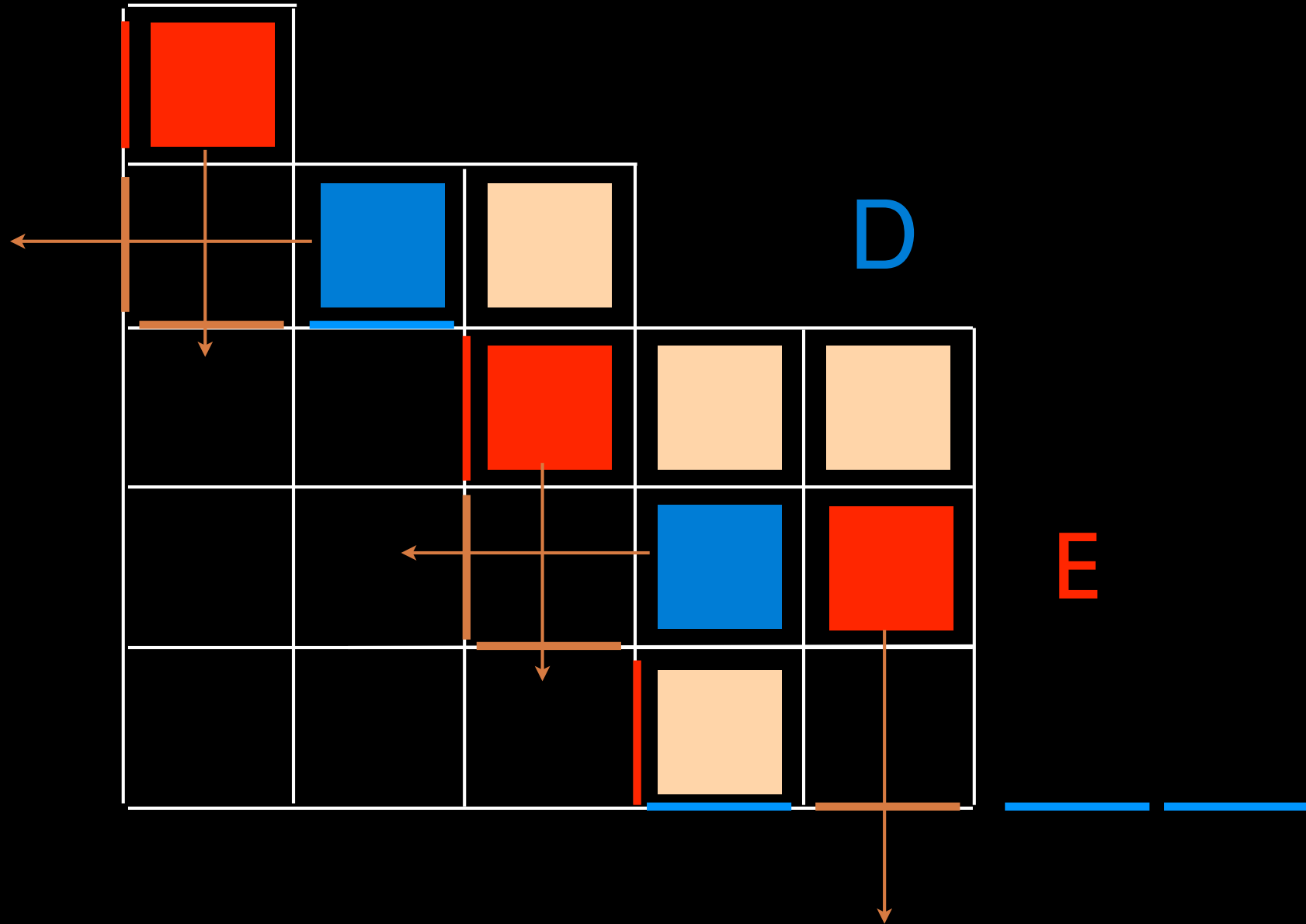


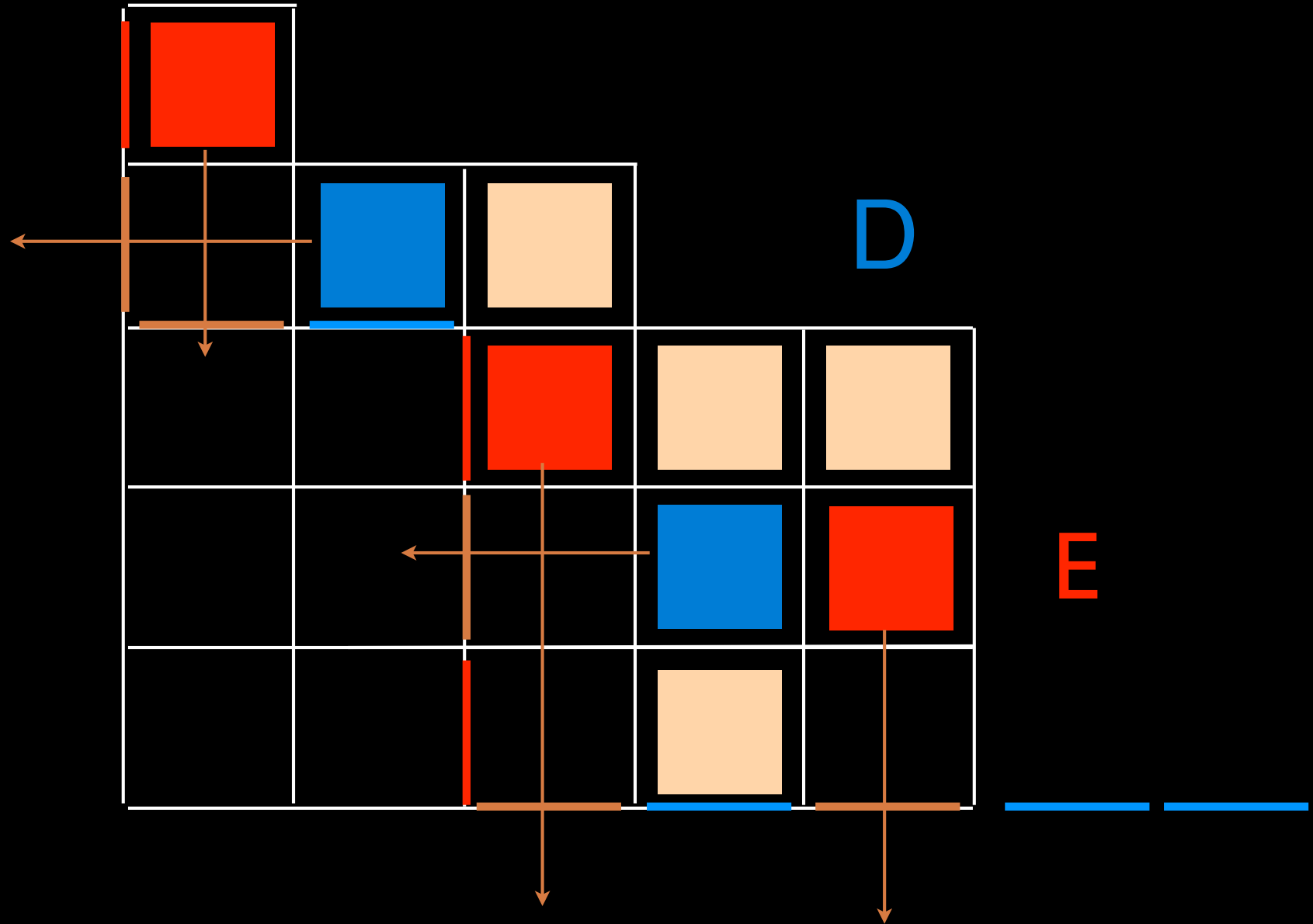


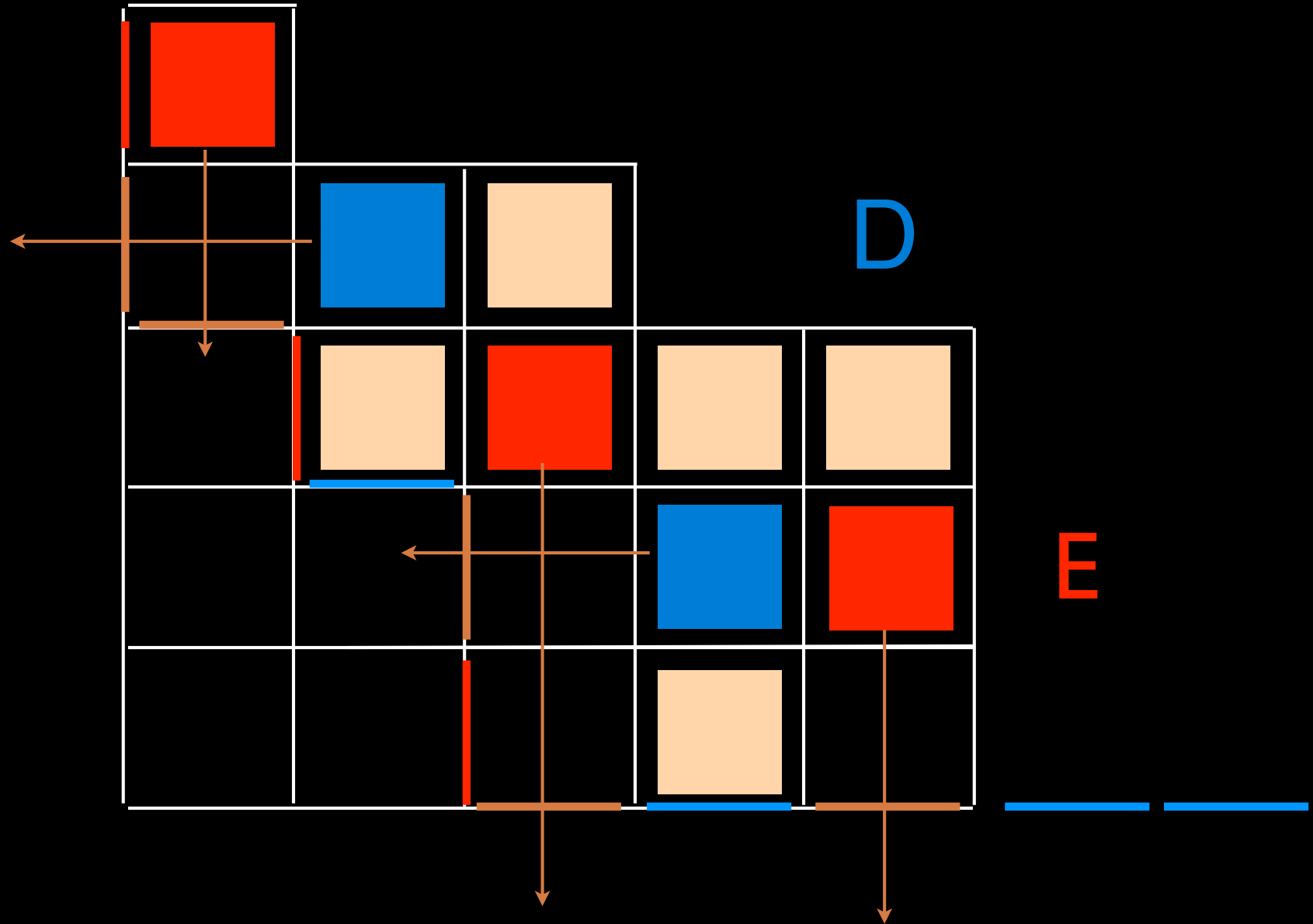


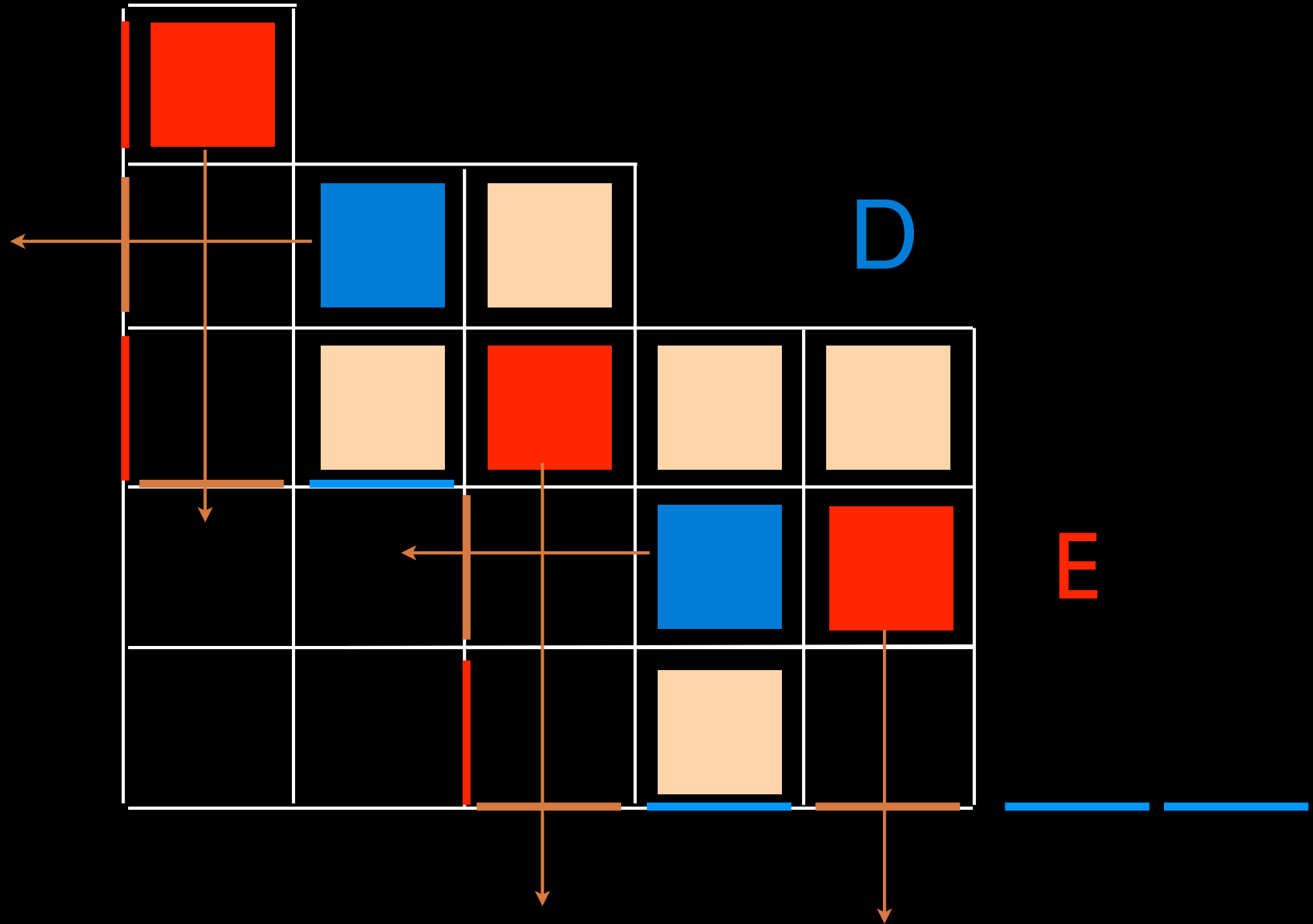


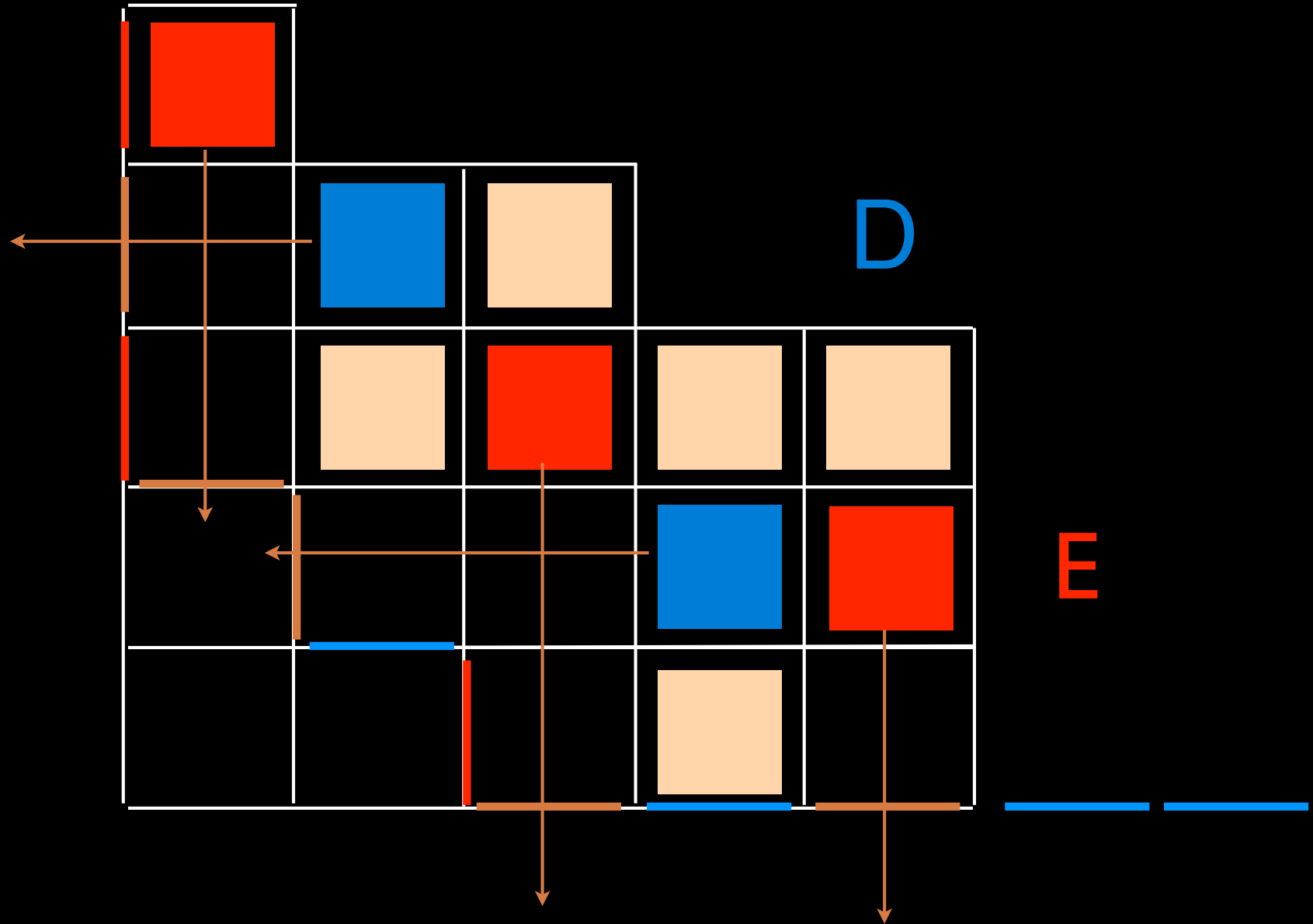


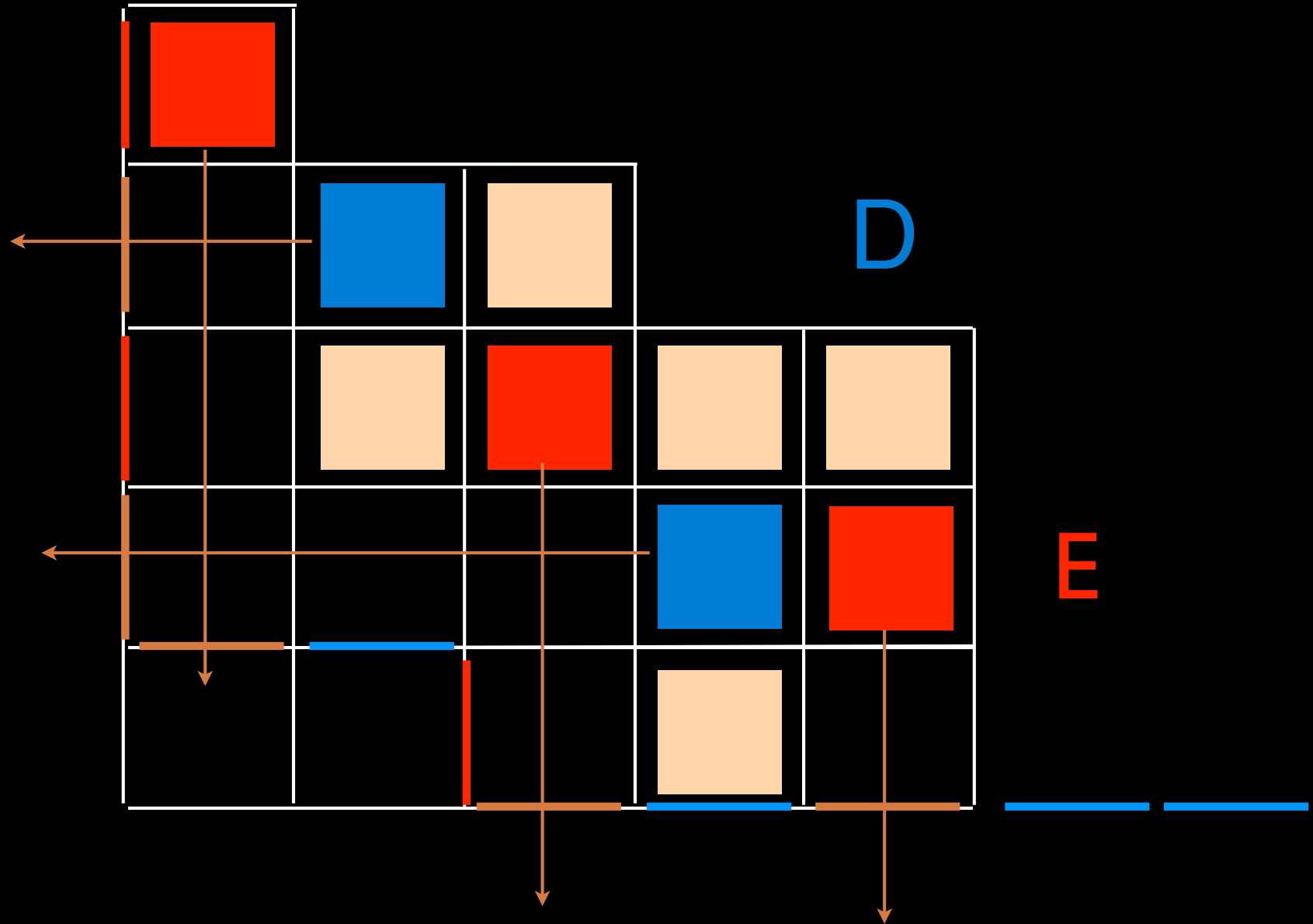


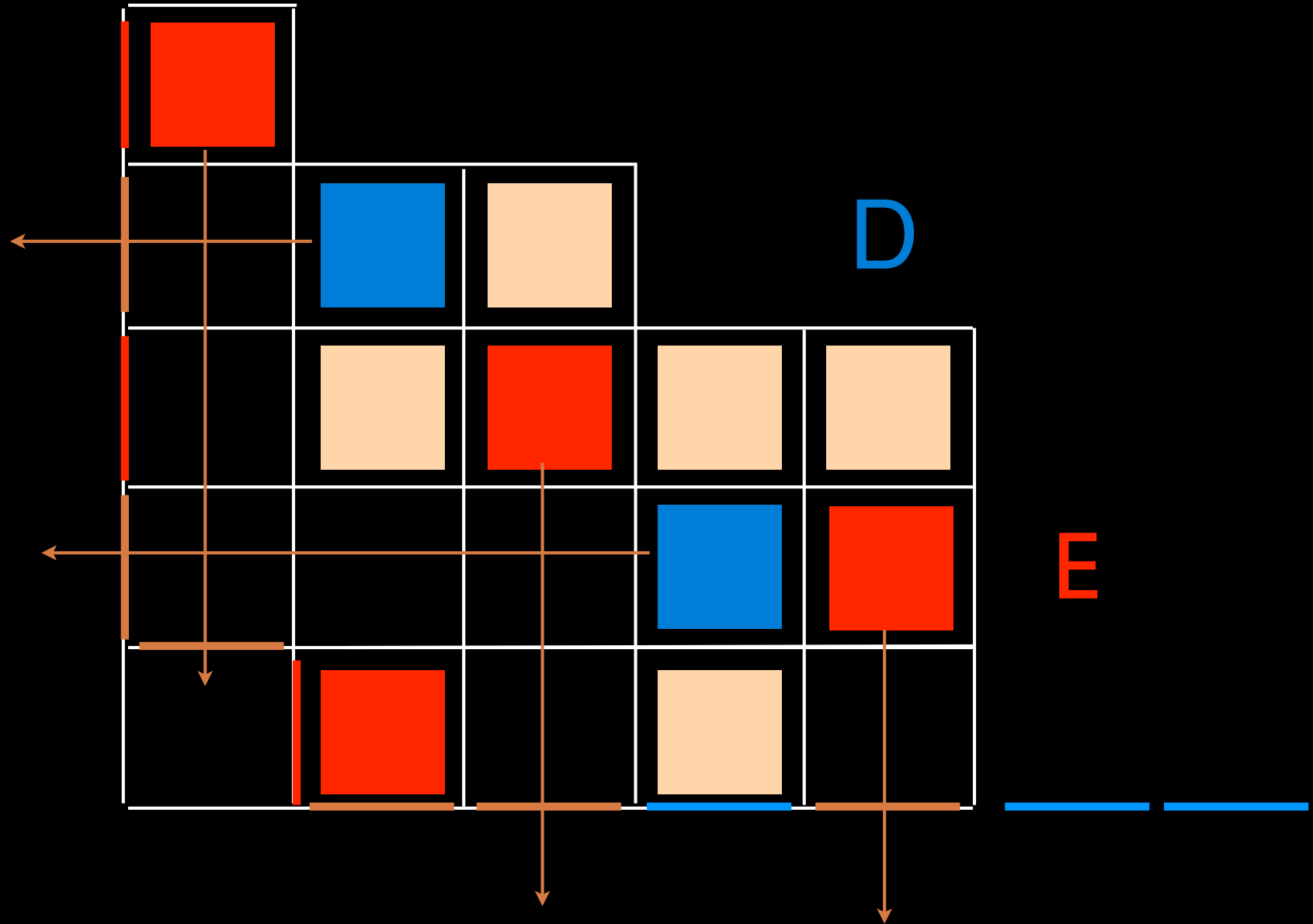


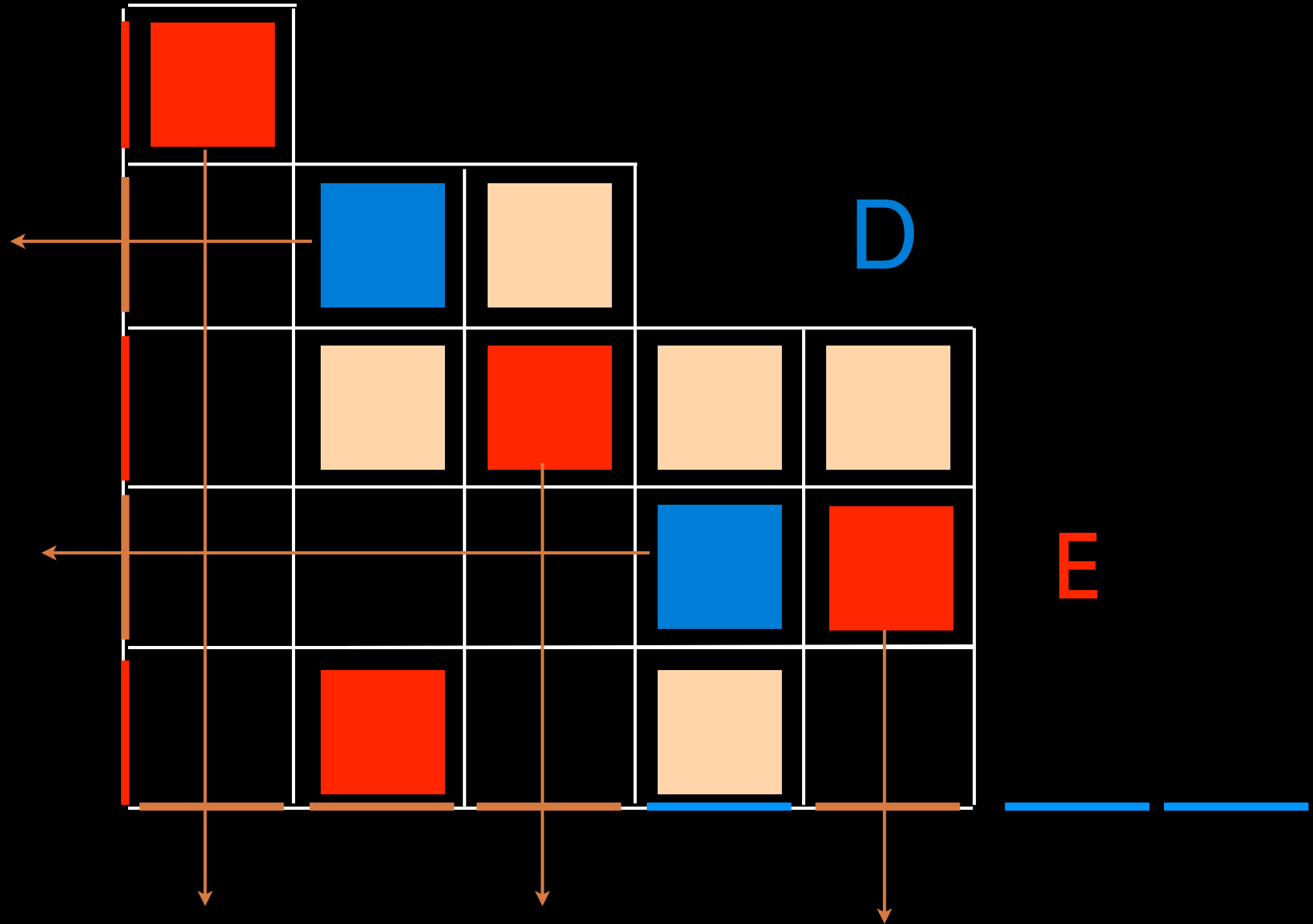


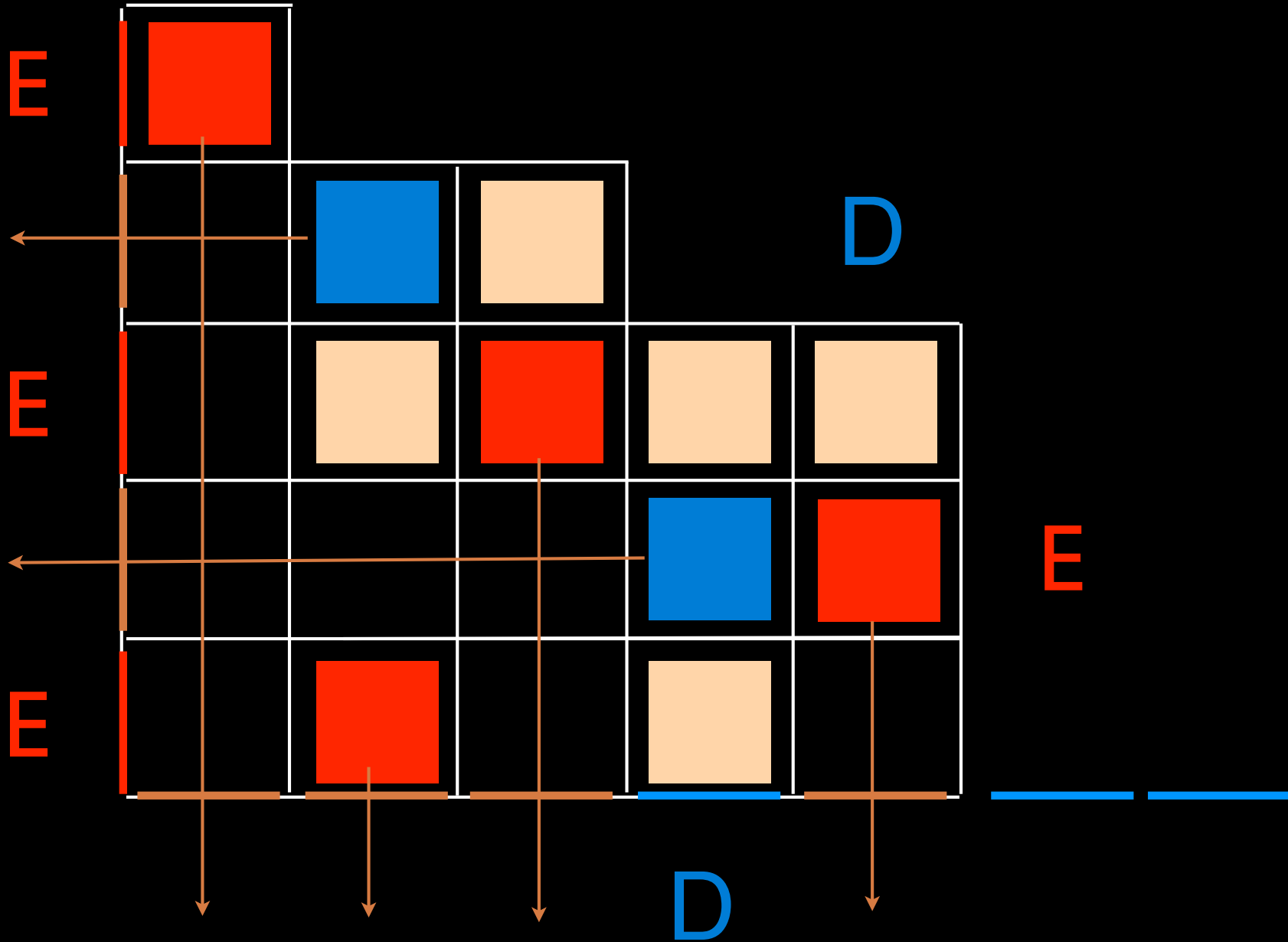








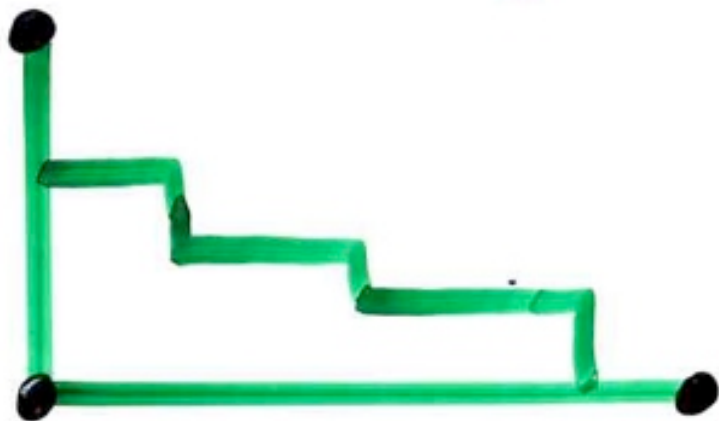




alternative tableaux

alternative tableau

- Ferrers diagram F

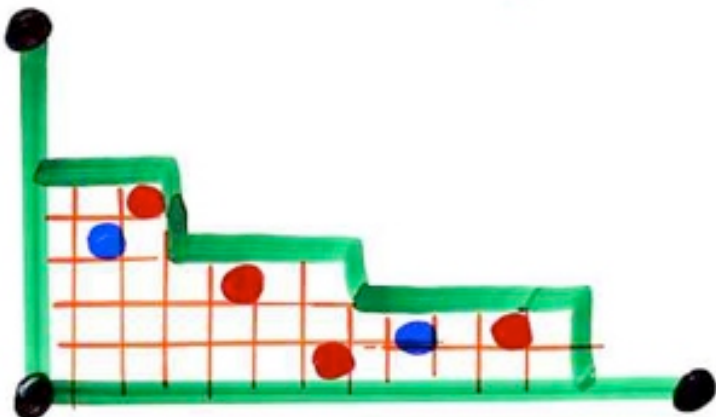


(possibly
empty rows
or columns)

$$\begin{aligned} & (\text{nb of rows}) + (\text{nb of columns}) \\ & = n \end{aligned}$$

alternative tableau

- Ferrers diagram F



(possibly
empty, rows
or column)

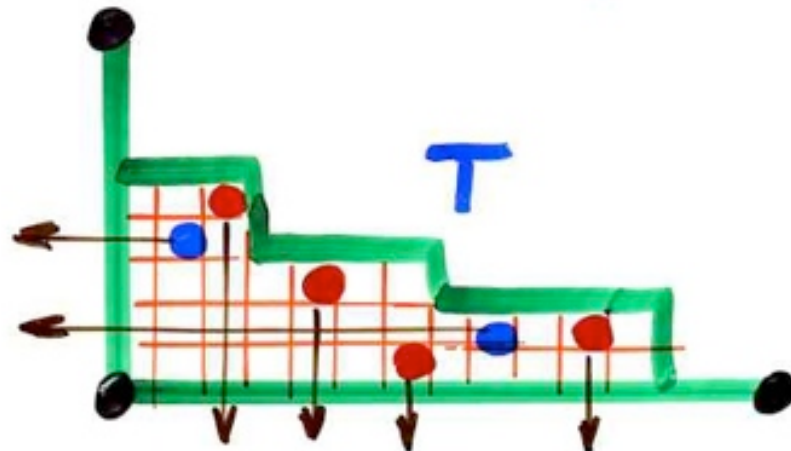
$$(\text{nb of rows}) + (\text{nb of columns}) = n$$

- some cells are

coloured **red** or **blue**

alternative tableau T

- Ferrers diagram F



(possibly
empty rows
or column)

$$(\text{nb of rows}) + (\text{nb of columns}) = n$$

- some cells are coloured **red** or **blue**

- - { no coloured cell at the left of \square
 - { no coloured cell ~~below~~ \blacksquare

n size of T

alternative tableau

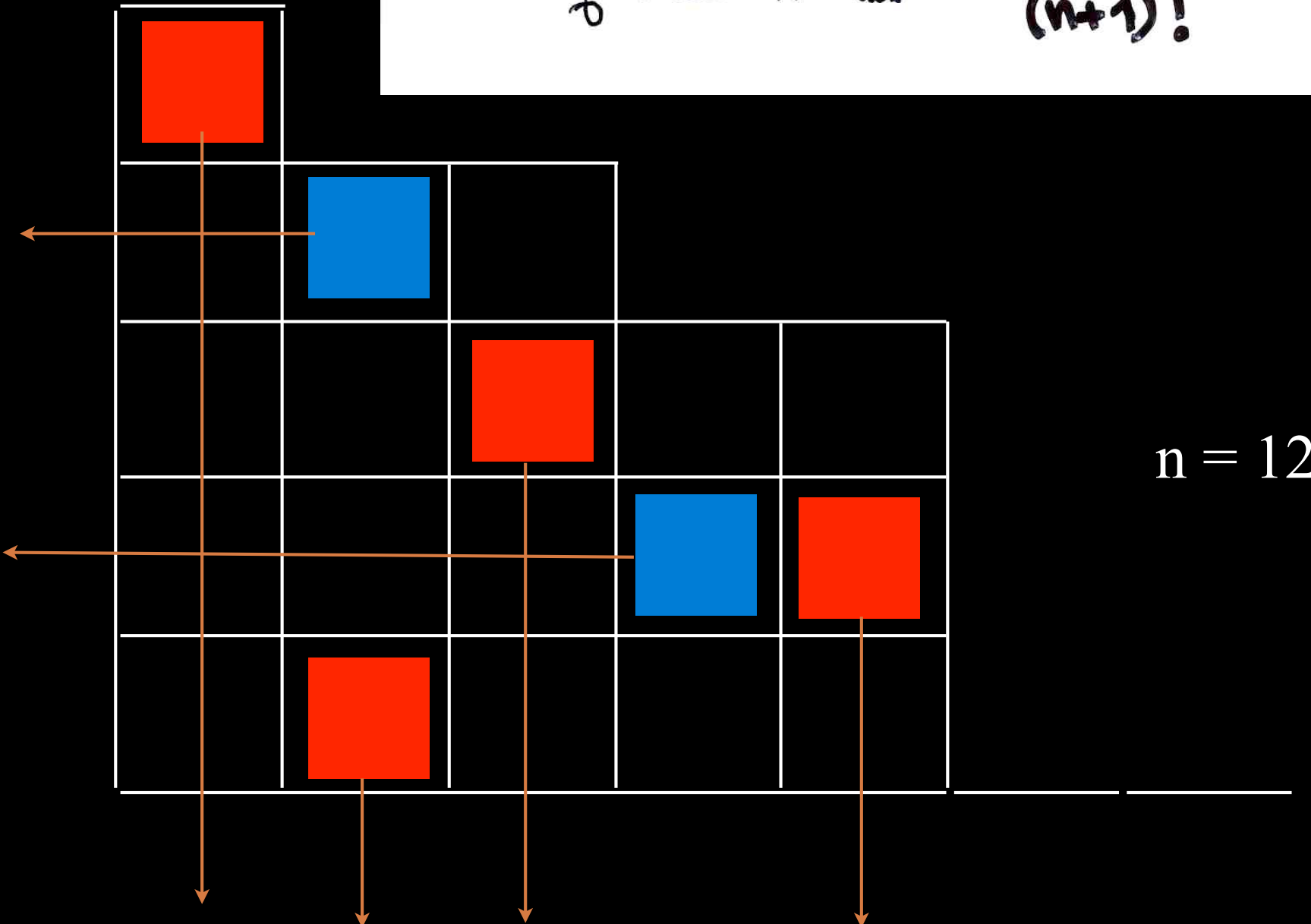
Ferrers diagram
(=Young diagram)

alternative tableau

A 5x5 grid with the following colored squares:

- Top-left square (row 1, column 1) is orange.
- Middle row, second column from left: a blue square at (2, 2) and an orange square at (4, 2).
- Bottom row, first column from left: an orange square at (6, 1).
- Bottom row, third column from left: a blue square at (6, 3) and an orange square at (6, 4).

Prop. The number of alternative tableaux of size n is $(n+1)!$



$$DE = qED + E + D$$

$$w(E, D) = \sum_T q^{k(T)} E^{i(T)} D^{j(T)}$$

unicity

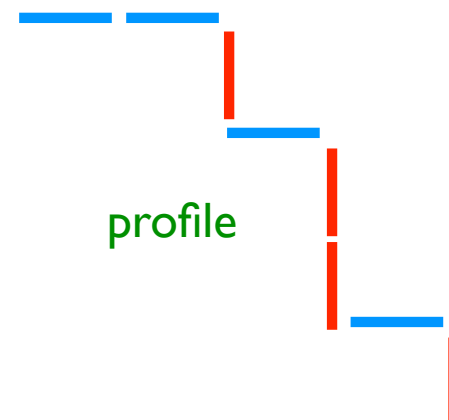
$k(T)$ = nb of  alternative tableau with profile w

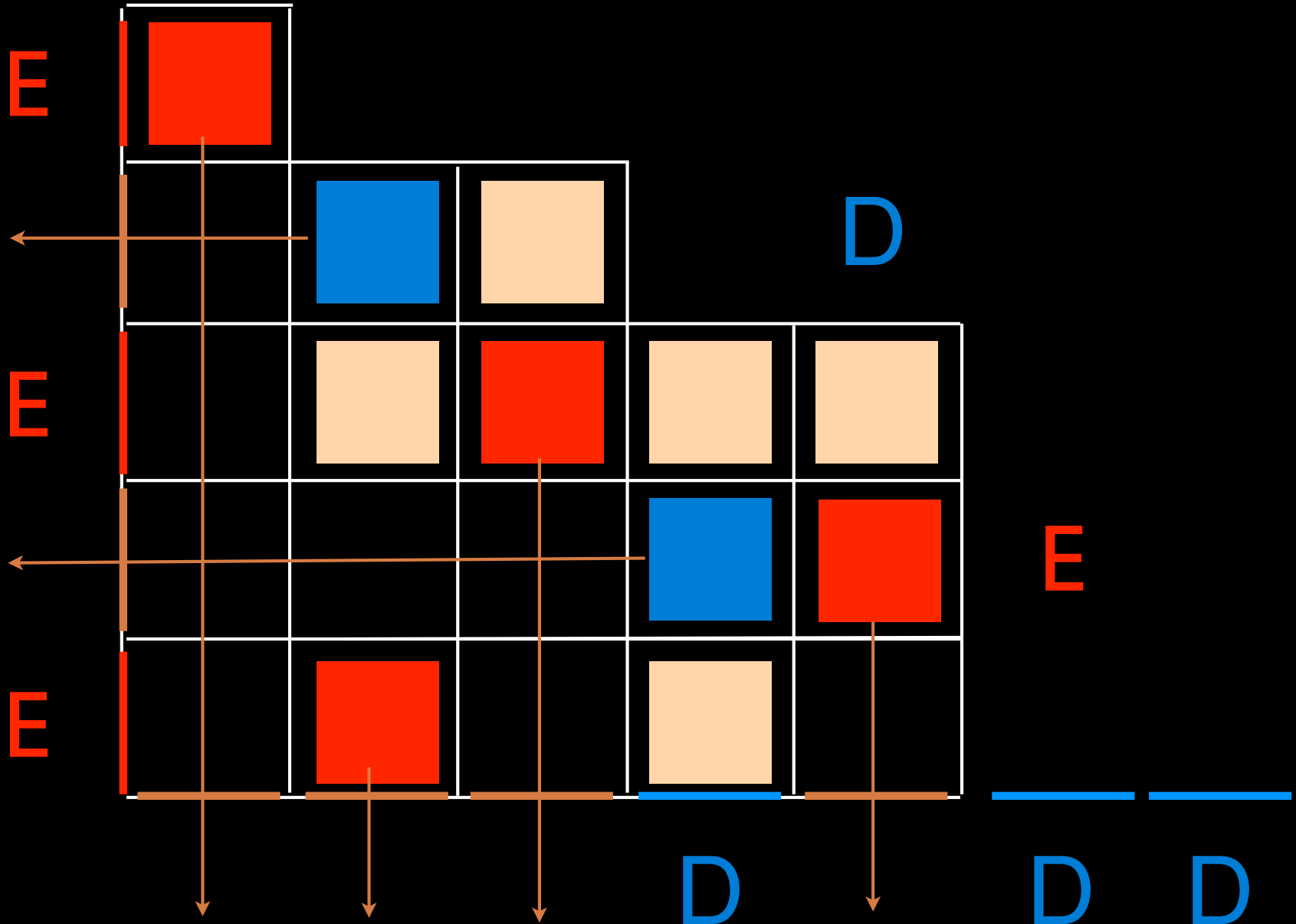
$i(T)$ = nb of rows without blue cell

$j(T)$ = nb of columns without red cell

$w = D D E E D E E D E$ →

profile





PASEP -tableaux:
complete tableaux
alternative tableaux

$$DE = qED + E + D$$

PASEP algebra

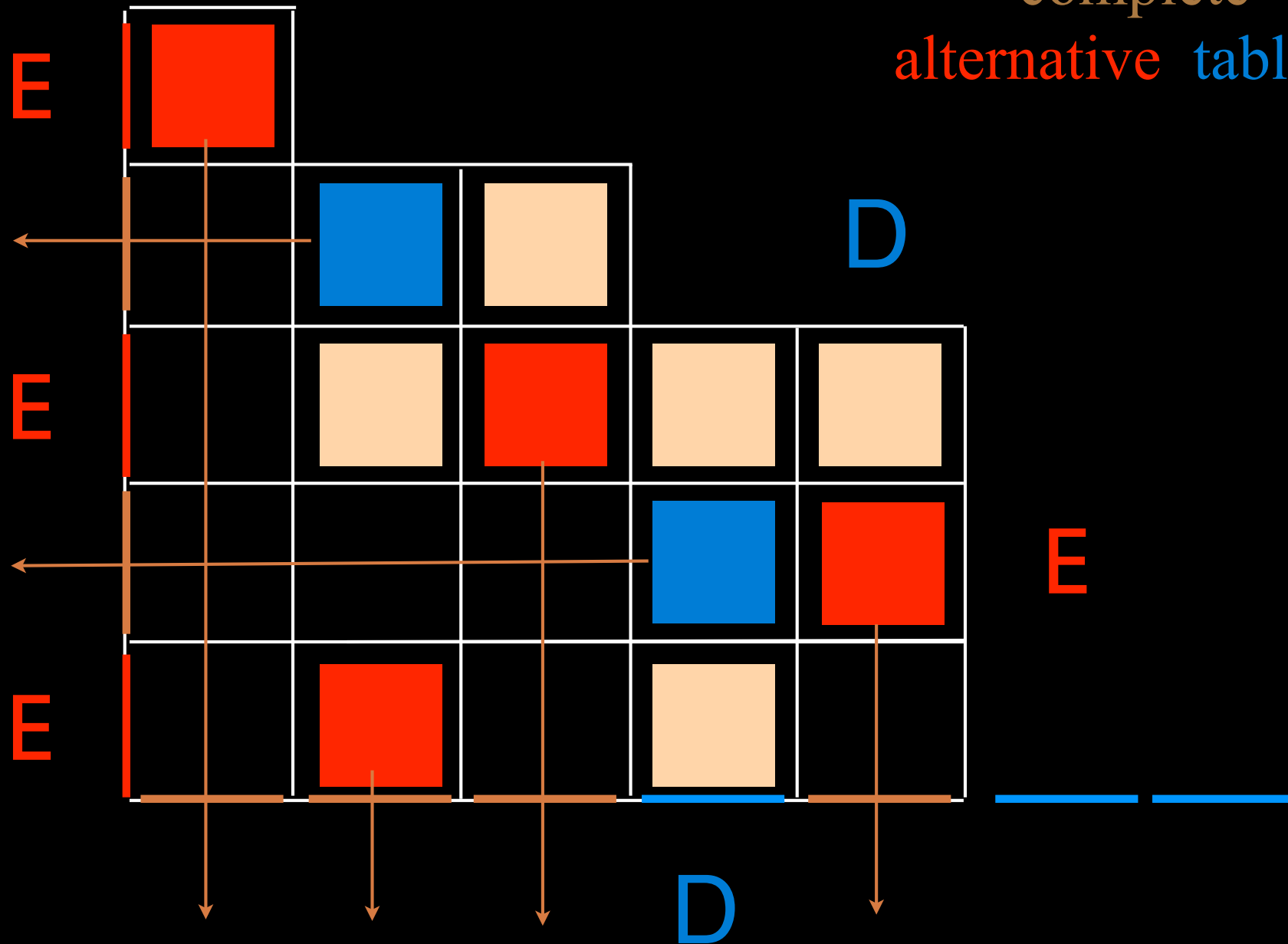
$$DE = qED + EI_h + I_v D$$

$$DI_v = I_v D$$

$$I_h E = EI_h$$

$$I_h I_v = I_v I_h$$

complete
alternative tableau



complete

Q-tableau

Q PASEP algebra



alternative
tableaux

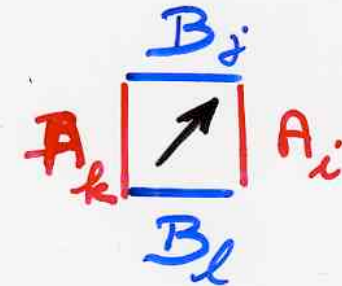
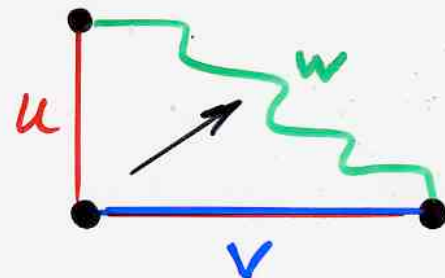
alternative tableau

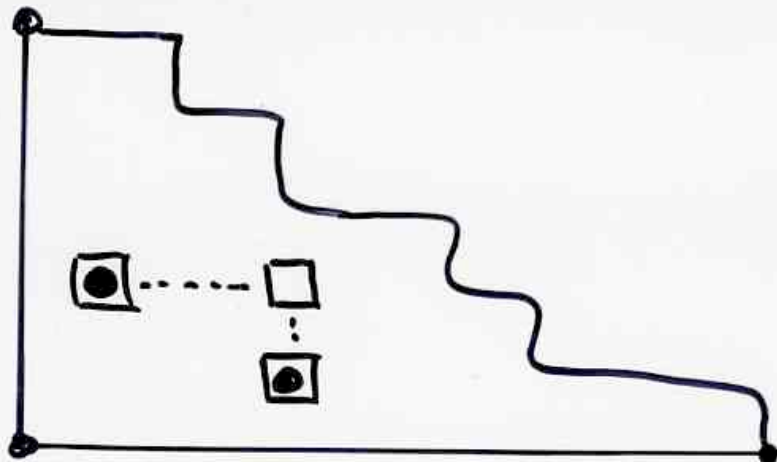
A 5x5 grid with the following colored squares:

- Top-left square (row 1, column 1) is orange.
- Middle row, second column from left: a blue square at (2, 2), a black square at (2, 3), and a black square at (2, 4).
- Third row, fourth column from left: a black square at (3, 1), an orange square at (3, 2), a black square at (3, 3), and a black square at (3, 4).
- Fourth row, third column from left: a black square at (4, 1), a black square at (4, 2), a blue square at (4, 3), and an orange square at (4, 4).
- Bottom row, first column from left: a black square at (5, 1), an orange square at (5, 2), a black square at (5, 3), and a black square at (5, 4).

reverse quadratic algebra
reverse planar automata

reverse planar automata





Postnikov

J-diagrams

Le - ...

B

X

A |

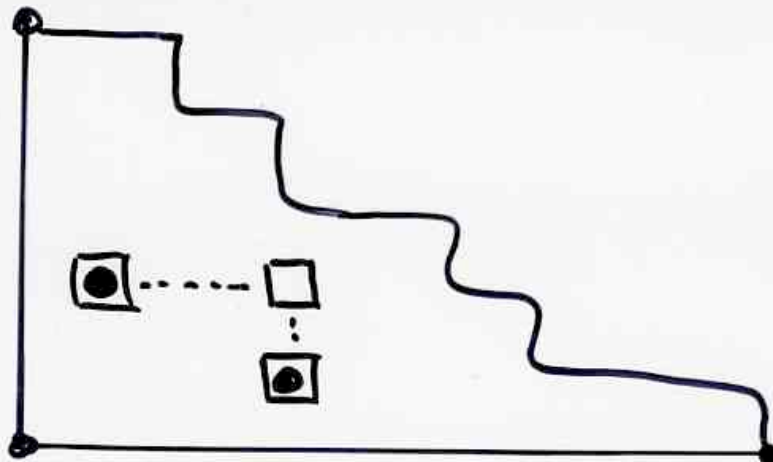
• | Y

$$A B = B A + X Y$$

$$Y X = X Y$$

$$A X = X A + X Y$$

$$Y B = B Y + X Y$$



Postnikov

J-diagrams

Le - ...

B

X

A |

• | Y

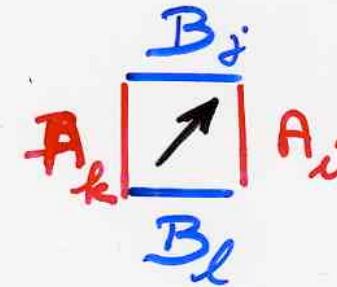
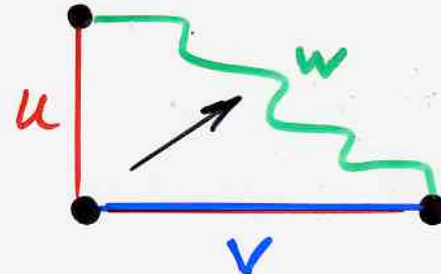
$$A B = \square B A + \blacksquare X Y$$

$$Y X = \blacksquare X Y$$

$$A X = \square X A + \blacksquare X Y$$

$$Y B = \square B Y + \blacksquare X Y$$

reverse planar automata



reverse
(or dual?)

quadratic algebra

$$Q : \{ B_j A_i = \sum_{k,l} c_{ij}^{kl} A_k B_l \}$$

& $i \in I, j \in J$

$$Q^+ : \{ A_k B_l = \sum_{i,j} c_{ij}^{kl} B_j A_i \}$$

$\forall k \in I, l \in J$

(possibly)
0

ex

TASEP α

$$\left\{ \begin{array}{l} DE = q ED + EX + YD \\ DY = YD \\ XE = EX \\ XY = YX \end{array} \right.$$

$$\underline{\alpha} \quad |_E \quad \underline{x} \quad |_Y$$

α^+

$$\left\{ \begin{array}{l} ED = q DE \\ EX = DE + XE \\ YD = DE + DY \\ XY = XY \end{array} \right.$$

ex

Weyl-Heisenberg

$$\frac{U}{D} \frac{X}{Y} = I_Y$$

$$Q \left\{ \begin{array}{l} U D = q^D U + t Y X \\ U Y = q^Y U \\ X D = D X \\ X Y = q_2^Y Y X \end{array} \right.$$

$$Q^\dagger \left\{ \begin{array}{l} Y X = t U D + q_2^X Y \\ D U = q^U D \\ Y U = U Y \\ D X = X D \end{array} \right.$$

The quadratic algebra \mathbb{Z}

4 generators $B_0 A_0 BA$

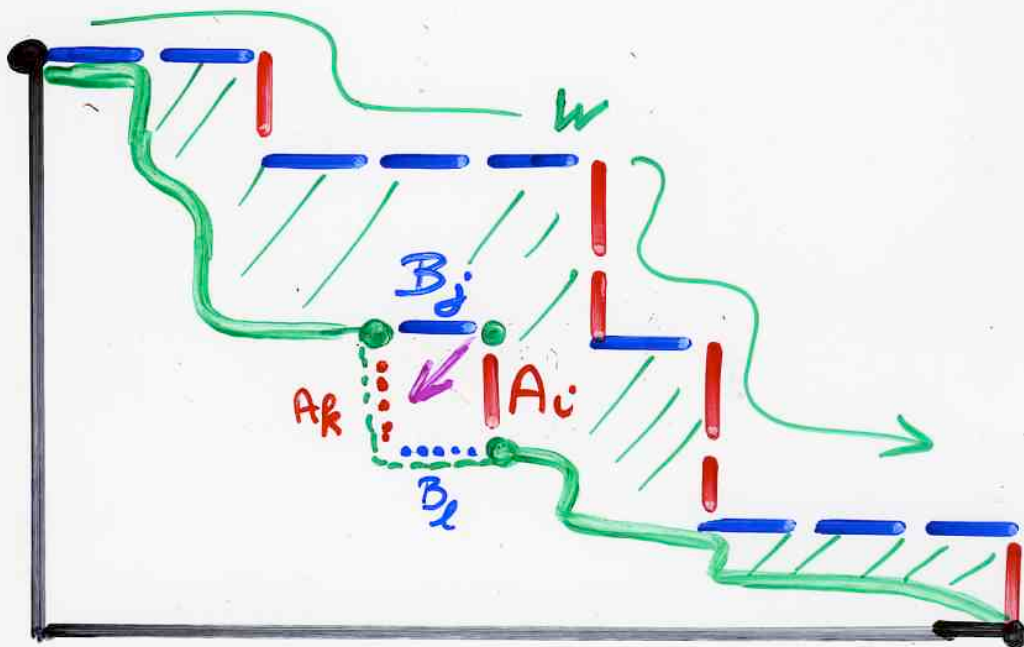
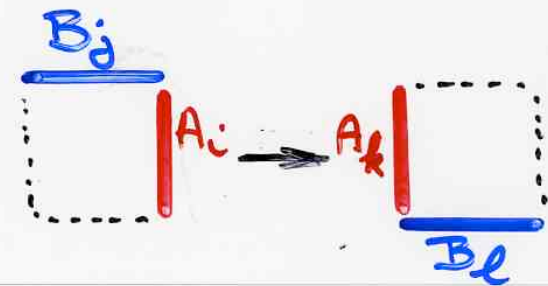
8 parameters $q_{...}, t_{...}$

$$\left\{ \begin{array}{l} BA = q_{00} AB + t_{00} A_0 B_0 \\ B_0 A_0 = q_{00} A_0 B_0 + t_{00} AB \\ B_0 A = q_{00} A B_0 + t_{00} A_0 B \\ BA_0 = q_{00} A_0 B + t_{00} A B_0 \end{array} \right.$$

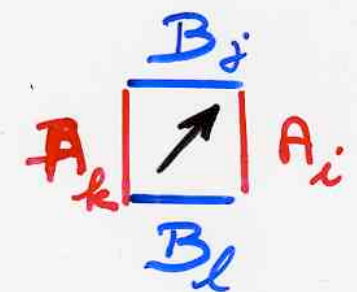
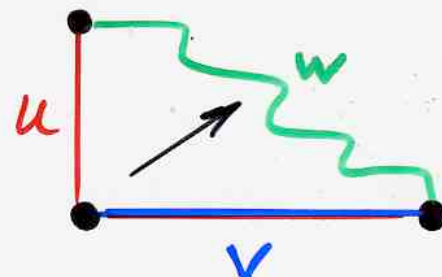
$$\mathbb{Z}^+ \left\{ \begin{array}{l} AB = q_{00} BA + t_{00} B_0 A_0 \\ A_0 B_0 = q_{00} B_0 A_0 + t_{00} BA \\ A_0 B = q_{00} BA_0 + t_{00} B_0 A \\ A B_0 = q_{00} B_0 A + t_{00} BA_0 \end{array} \right.$$

reverse Q-tableaux

"planar" rewriting



reverse planar automata



PASEP

algebra

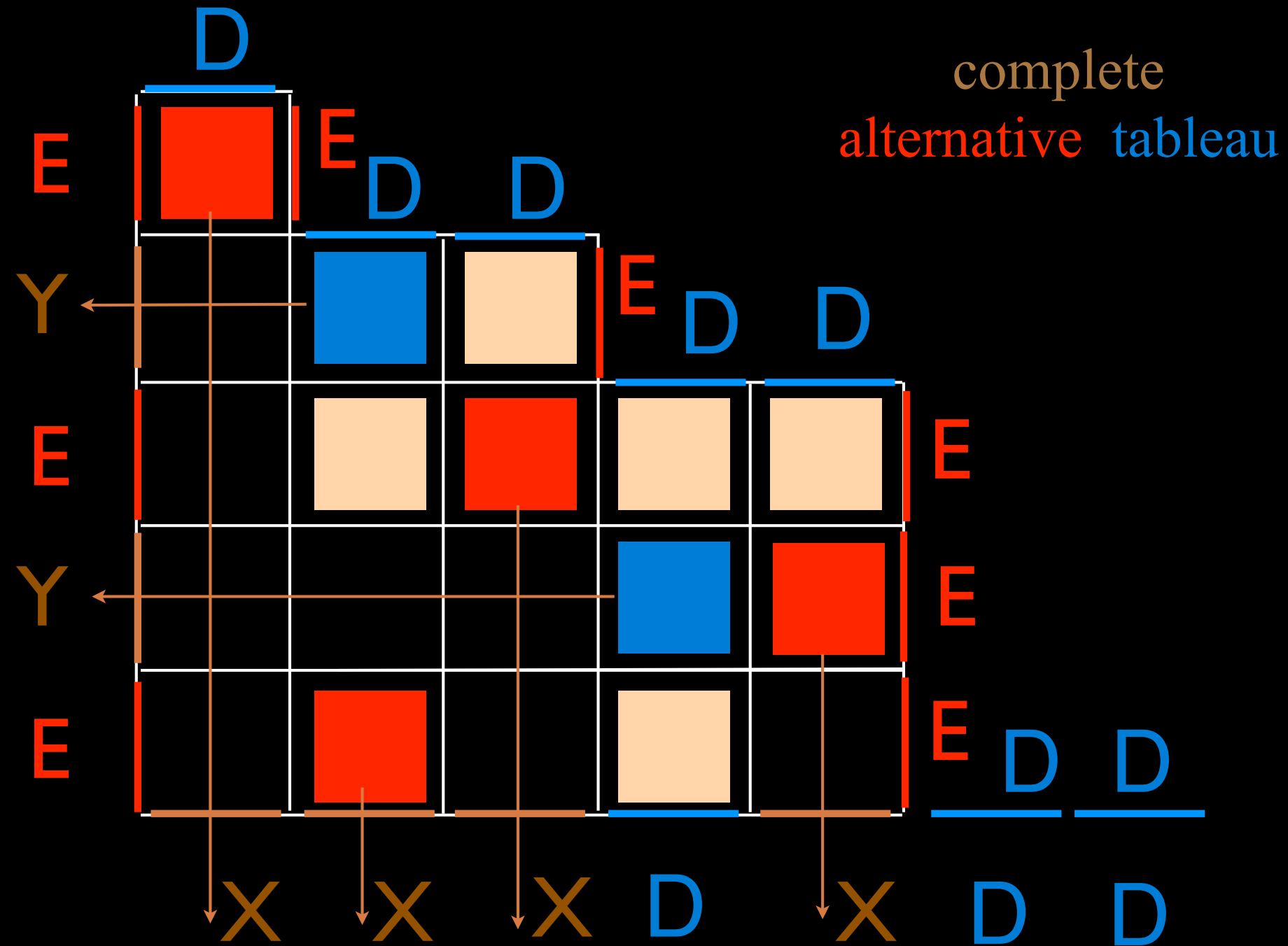
$$Q \left\{ \begin{array}{l} DE = q ED + EX + YD \\ XE = EX \\ DY = YD \\ XY = YX \end{array} \right.$$

$\overbrace{X}^D \quad \overbrace{YE}^Y$

reverse PASEP algebra

(dual)

$$Q^+ \left\{ \begin{array}{l} ED = q DE \\ EX = XE + DE \\ YD = DY - DE \\ YX = XY \end{array} \right.$$



$$Q \left\{ \begin{array}{l} DE = \square ED - EX + YD \\ XE = \square EX \\ DY = \square YD \\ XY = \square YX \end{array} \right.$$

\overbrace{D}^{\square} $\overbrace{Y}^{\square} \overbrace{E}^{\square}$

alternative tableaux

$$Q^+ \left\{ \begin{array}{l} ED = \square DE \\ EX = \square XE + DE \\ YD = \square DY - DE \\ YX = \square XY \end{array} \right.$$

alternative tableau

D

E

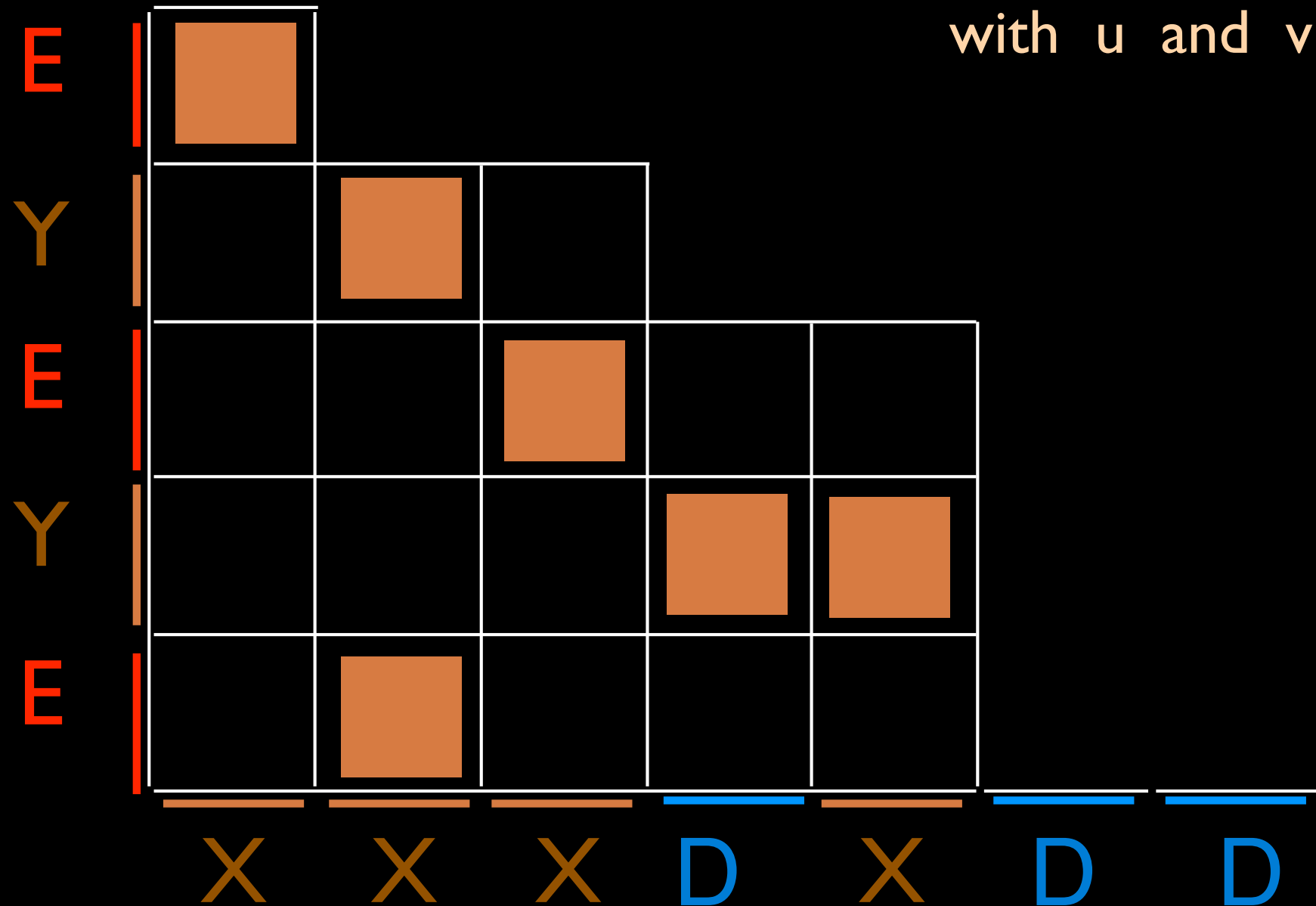
$$Q \left\{ \begin{array}{l} DE = \square ED - \blacksquare EX + \blacksquare YD \\ XE = \square EX \\ DY = \square YD \\ XY = \square YX \end{array} \right.$$

\xrightarrow{D} $\begin{matrix} Y \\ \downarrow E \end{matrix}$

tree-like tableaux

$$Q^+ \left\{ \begin{array}{l} ED = \square DE \\ EX = \square XE - \blacksquare DE \\ DY = \square DY - \blacksquare DE \\ YX = \square XY \end{array} \right.$$

tree-like tableau
with u and v

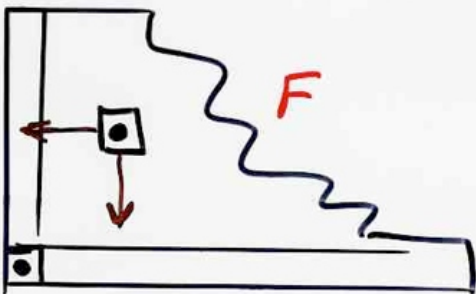


tree-like tableau

Def-

Tree-like tableaux

(Aval, Boucicault, Nadeau) 2011

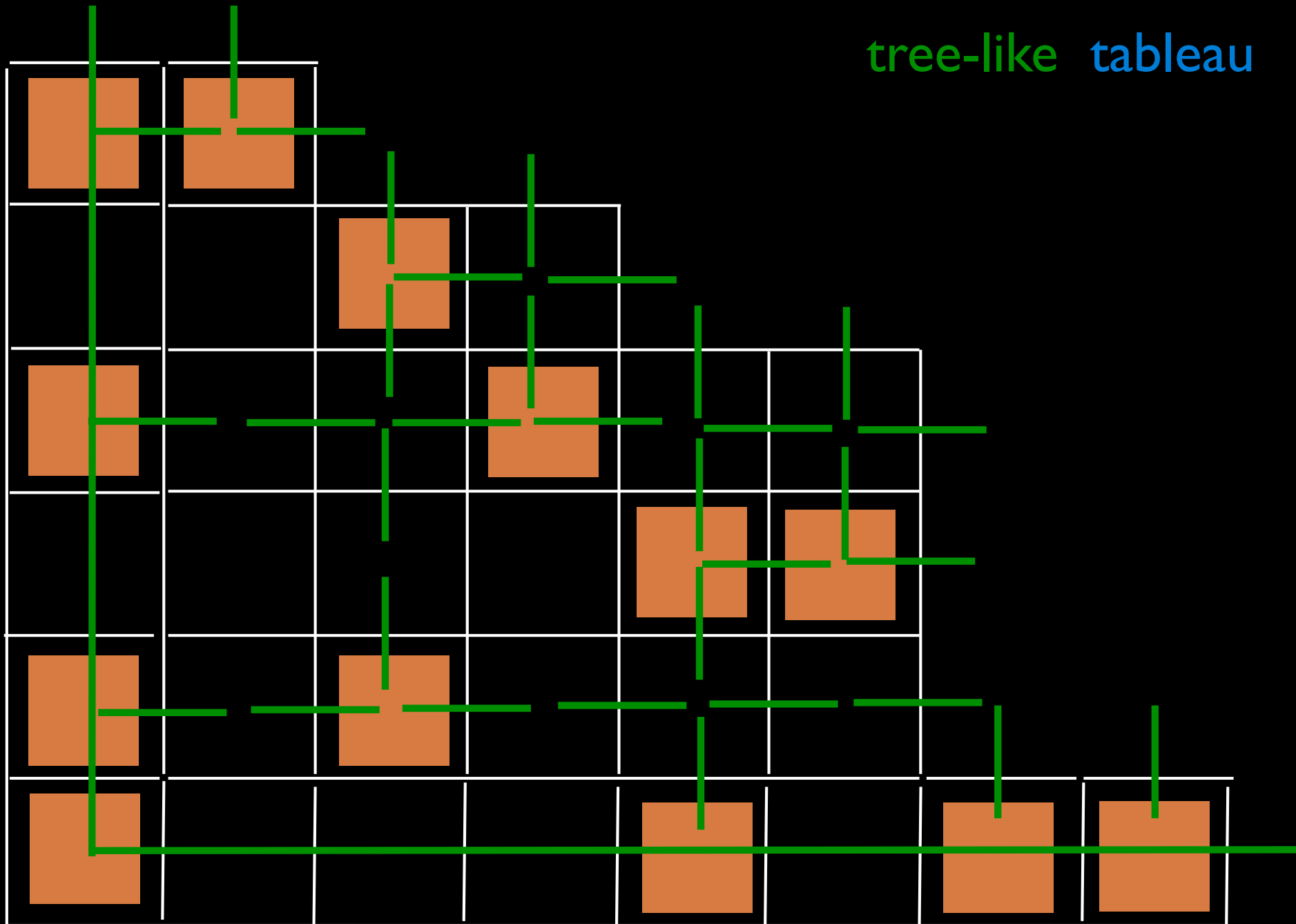


Ferrers diagram

\square empty cell \blacksquare pointed cell

- { (i) bottom left cell possesses a point \blacksquare
called root point
- (ii) for every non-root pointed cell c ,
either a pointed cell below c in same column
or a pointed cell to its left in same row
but no both
- (iii) every column and every row possesses
at least one pointed cell

tree-like tableau



$$Q \left\{ \begin{array}{l} DE = \boxed{\textcolor{red}{E}} D + \boxed{\textcolor{brown}{E}} X + \boxed{\textcolor{brown}{D}} Y \\ XE = \boxed{\textcolor{brown}{X}} E X \\ DY = \boxed{\textcolor{brown}{Y}} D Y \\ XY = \boxed{\textcolor{brown}{X}} Y X \end{array} \right.$$

$\overbrace{D}^{\textcolor{blue}{D}} \quad \overbrace{Y}^{\textcolor{brown}{Y}} \quad \overbrace{E}^{\textcolor{red}{E}}$

Permutation tableaux

$$Q^+ \left\{ \begin{array}{l} ED = \boxed{\textcolor{blue}{E}} DE \\ EX = \boxed{\textcolor{brown}{X}} X E + \boxed{\textcolor{brown}{D}} DE \\ DY = \boxed{\textcolor{brown}{D}} Y Y D - \boxed{\textcolor{brown}{D}} DE \\ YX = \boxed{\textcolor{brown}{X}} X Y \end{array} \right.$$

permutation tableau
with v

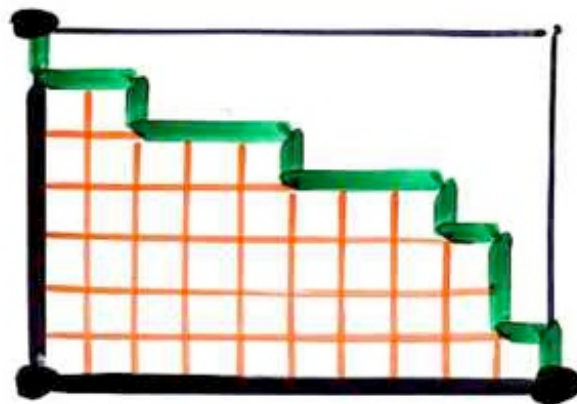
$X \quad X \quad X \quad D \quad X \quad D \quad D$

permutation tableau

permutation
tableaux

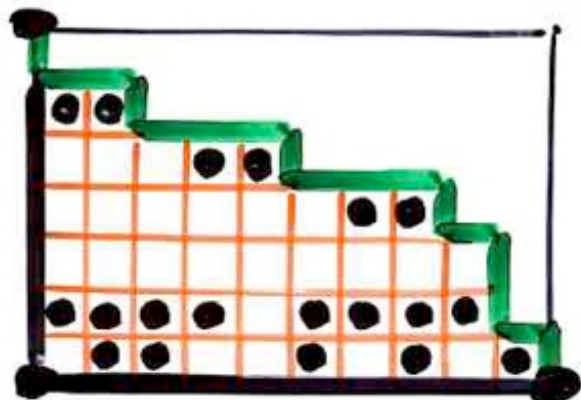
Permutation Tableau

Ferrers diagram $F \subseteq k \times (n-k)$
rectangle



Permutation Tableau

Ferrers diagram $F \subseteq k \times (h-k)$
rectangle



filling of the cells
with 0 and 1

(i)

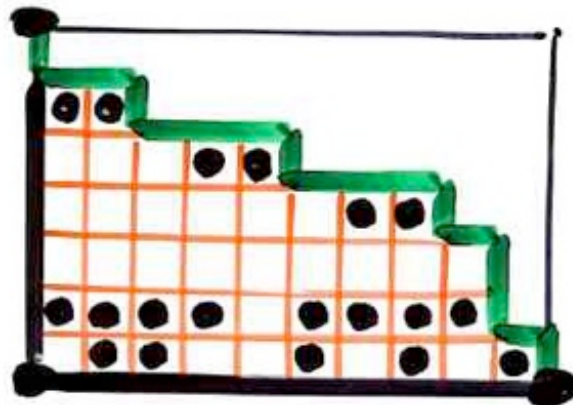
$$\square = 0$$

$$\bullet = 1$$

(ii)

Permutation Tableau

Ferrers diagram $F \subseteq k \times (n-k)$
rectangle



filling of the cells
with O₂ and H₂

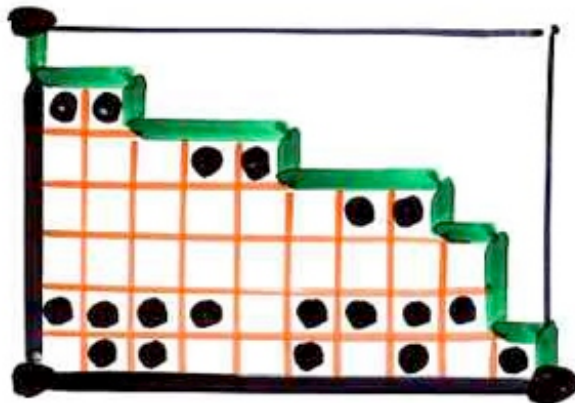
(i) in each column :
at least one 1

$$\square = 0 \quad \square \bullet = 1$$

(ii)

Permutation Tableau

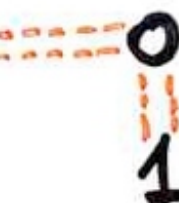
Ferrers diagram $F \subseteq k \times (n-k)$
rectangle



filling of the cells
with 0 and 1

(i) in each column :
at least one 1

$$\square = 0 \quad \bullet = 1$$

(ii)  **forbidden**

permutation tableau

A. Postnikov (2001, ...)

totally nonnegative part of the Grassmannian

E. Steingrímsson, L. Williams (2005)

combinatorial interpretations of the
stationary probabilities for the PASEP

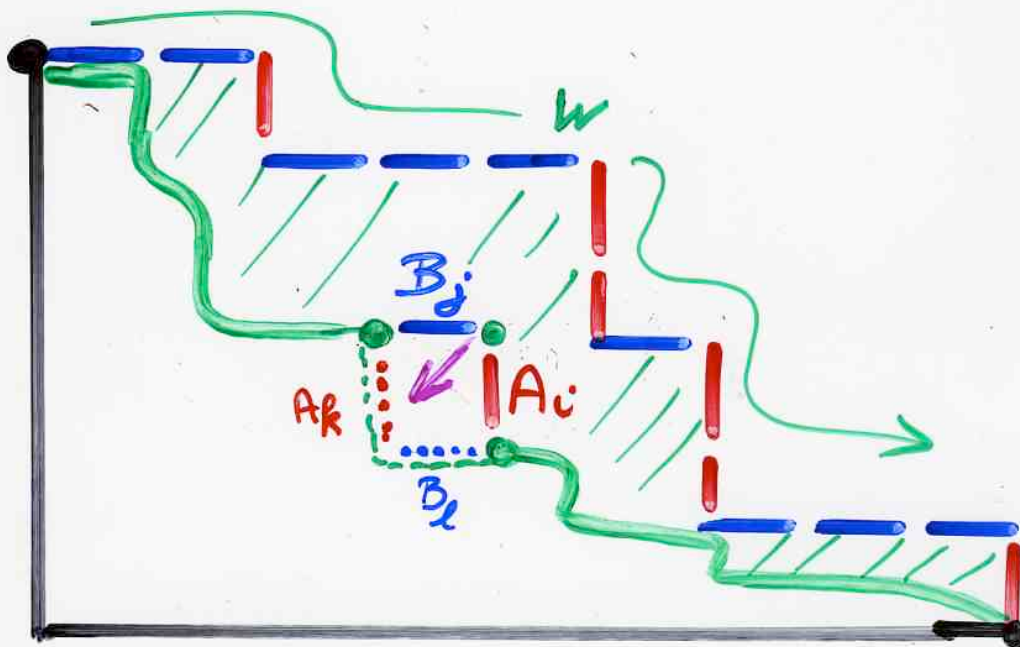
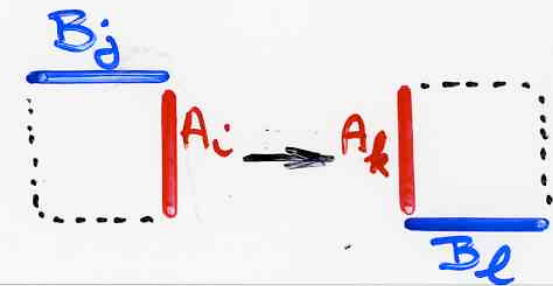
Corteel, Williams (2006) PASEP

Partially Asymmetric Exclusion Process

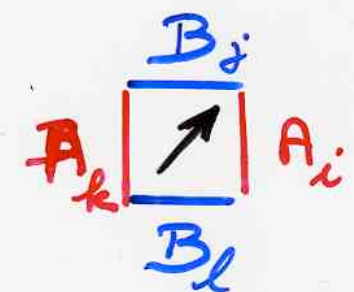
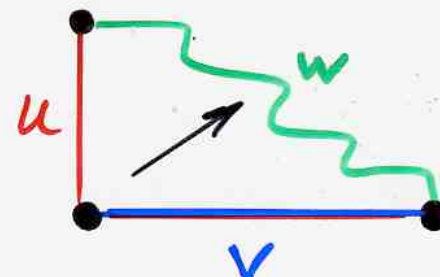
M. Josuat-Vergès (2007)

rewriting planar automata

"planar" rewriting



reverse planar automata



«Figures»
accepted by planar automata ?

Bijections between pattern-avoiding fillings of Young diagrams

Jorssat-Vergès (2008)



T-diagrams

X-diagrams

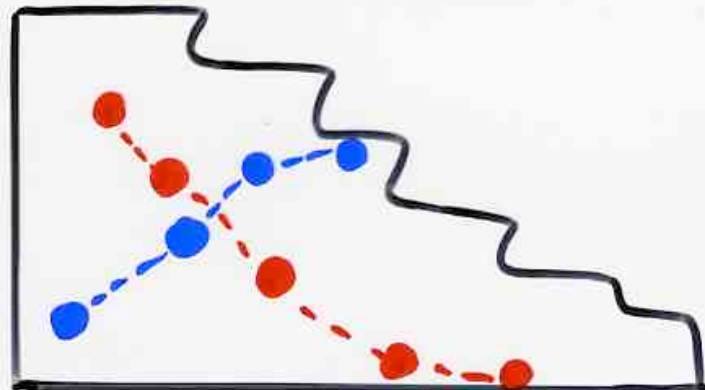


?

increasing
decreasing chains in fillings of Ferrers shapes

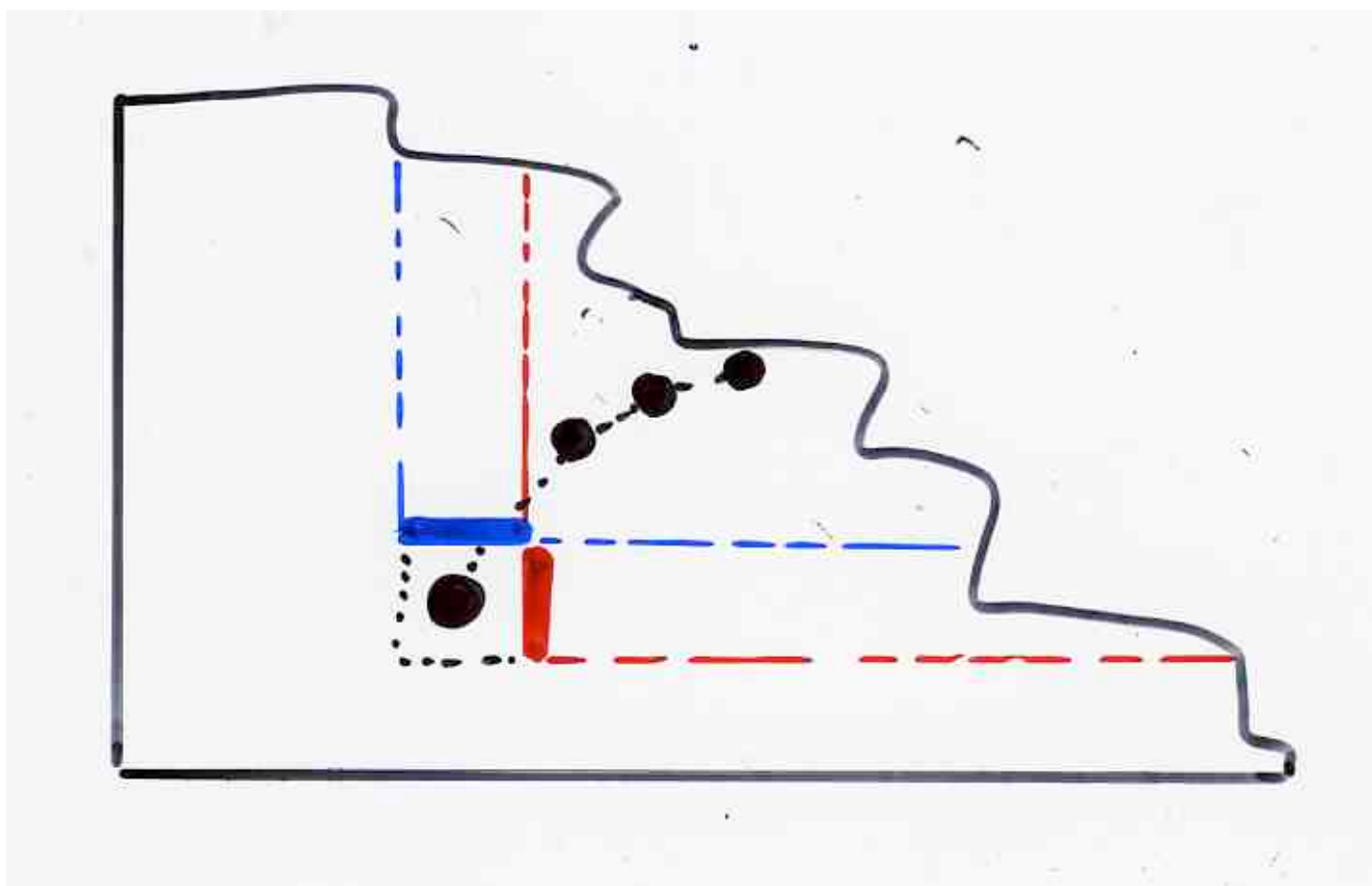
(Jonsson, 2005) . (Krattenthaler, 2006)

(Backelin, West, Xin, 2005) (Bousquet-Mélou,
Steingrímsson, 2005)



increasing
decreasing

subsequences
(chains)

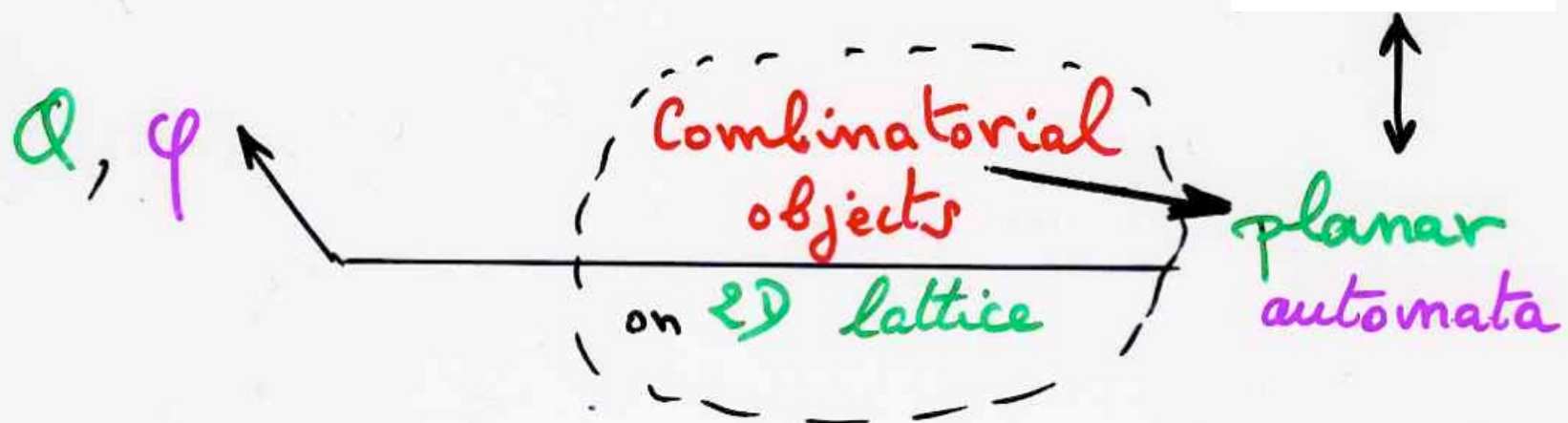


conclusion

problems

more

\mathbb{Q} quadratic algebra \rightarrow complete \mathbb{Q} -tableaux $\xrightarrow{\varphi}$ \mathbb{Q} -tableaux



- formula
for $c(u, v; w)$?
Q determinant ?

- or at least efficient procedure
for computing $c(u, v; w)$?

- generating function ?

"The cellular Ansatz"

Physics

"normal ordering"

$$UD = DU + \text{Id}$$

Weyl-Heisenberg

$$DE = qED + E + D$$

PASEP

quadratic algebra Q

commutations

rewriting rules

planarisation

combinatorial
objects
on a 2d lattice

representation
by operators

bijections

towers placements

permutations

tableaux alternatifs

RSK

pairs of Tableaux Young

permutations

Laguerre histories

Q-tableaux

ex: ASM,

(alternating sign matrices)

FPL(fully packed loops)

tilings, 8-vertex

planar
automata

?

Koszul algebras
duality
J.L.Loday

March 1, IMSc

"Combinatorial operators and quadratic algebras"
(RSK and PASEP)

March 2, IIT Madras

"The combinatorics of some exclusion models
in physics" (PASEP)

Thank you !

planar automata

ex1: permutations

ex2: Genocchi

ex3: ASM

Fig accepted

$UD=DU+I$

Q algebras for ASM

complete Q-tableaux

Q-tableaux

ex Q-tableaux

the equivalence

8-vertex algebra

ASM

rhombus tilings

Aztec tilings

geometric interp XYZ tableaux

non-intersec paths

PASEP algebra

AT

more PASEP tableaux

reverse automata

reverse Q-tableaux

perm tableaux

rewriting auto

Fig accepted

conclusion, pb, more